

Traitement du Signal Analogique

I. Introduction

Traitements des signaux numérique ou analogique ?

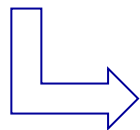
Traitement numérique

Algorithmes puissants et souples

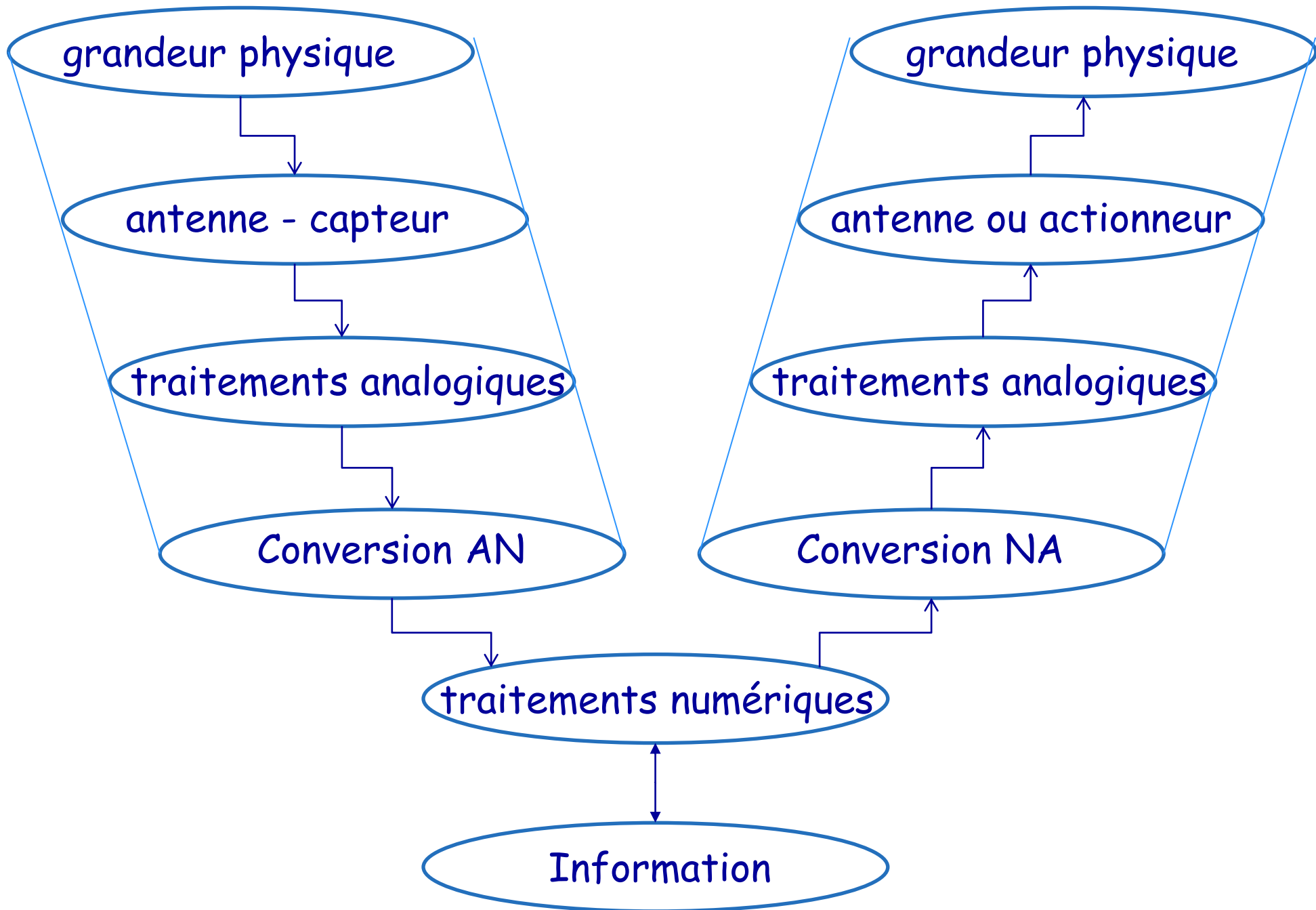
Fonctions et transformations inaccessibles en analogique

Limité/processeurs

Mais le monde est analogique

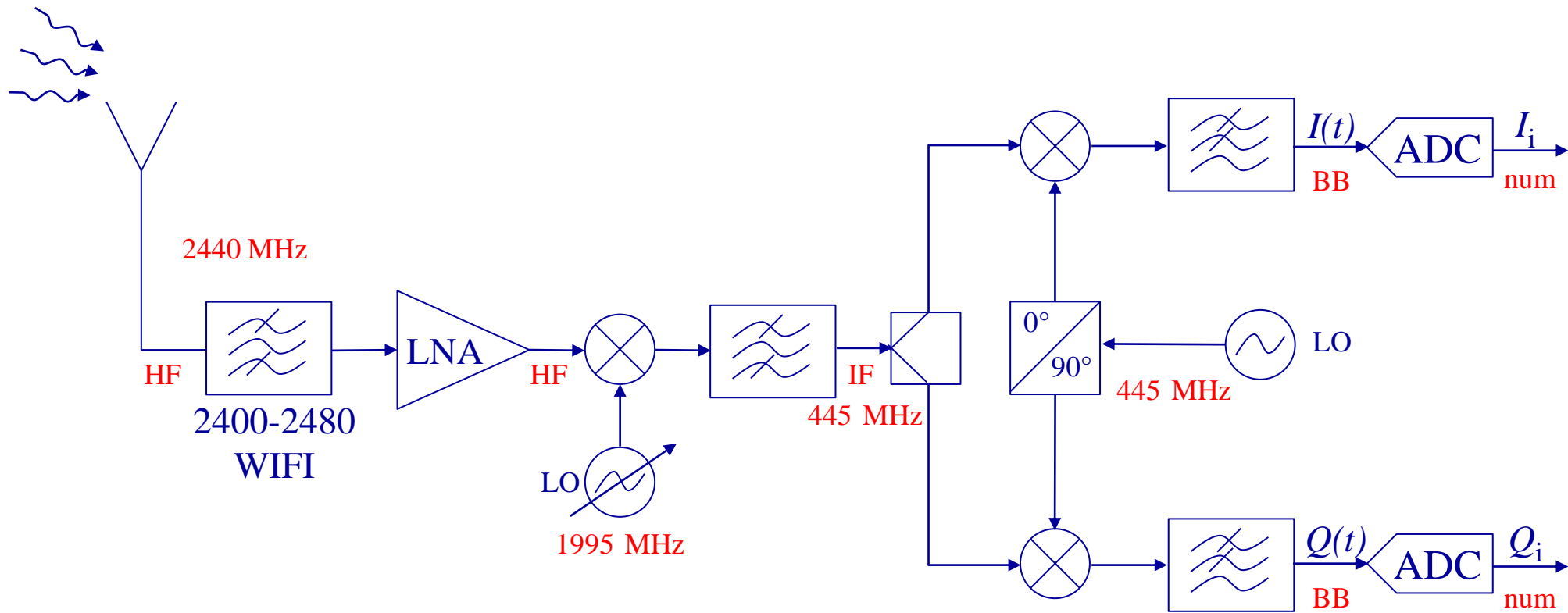


Traitement analogique obligatoire



I. Introduction

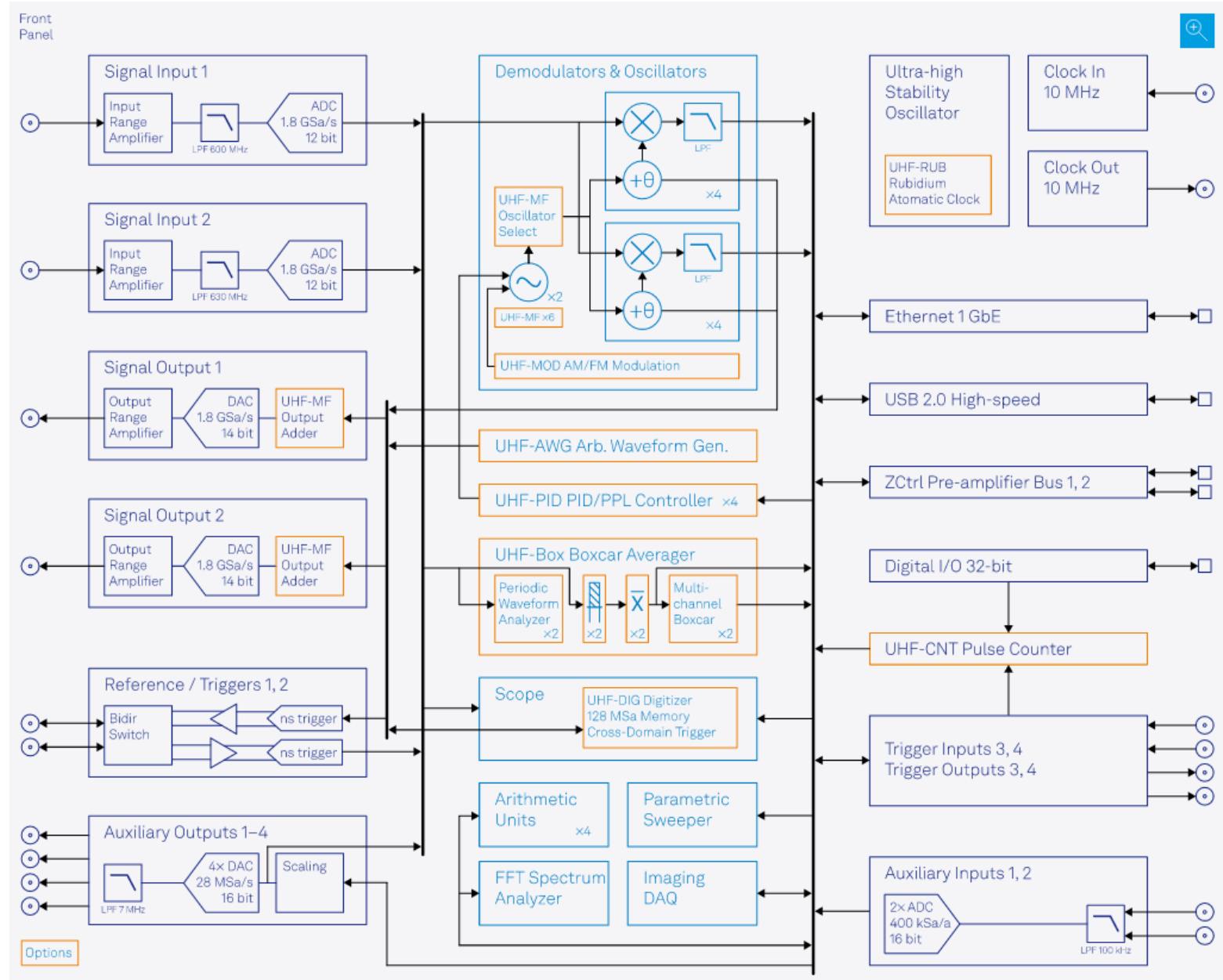
Architecture d'un récepteur hétérodyne en télécommunication



I. Introduction

UHFLI

Détection synchrone 600 MHz



I. Introduction

Extraction d'un signal noyé dans le bruit - Détecteur synchrone

Grandeur $A(t)$ à mesurer

- très faible amplitude
- Cste ou variant lentement

Bruit large bande de très forte amplitude

Capteur f_0

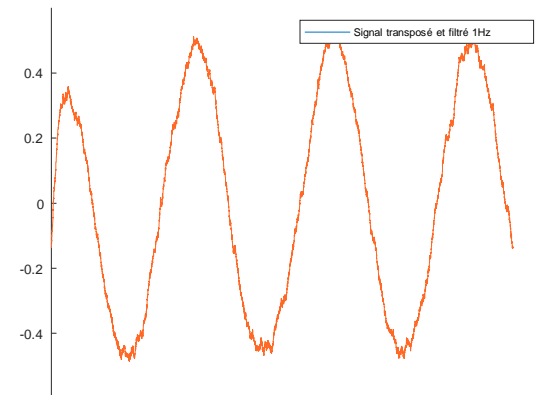
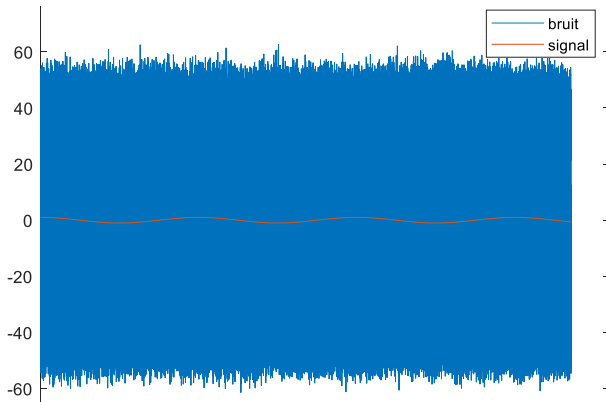
Capteur qui transpose $A(t)$ à la fréquence f_0

$A(t) \cos(2\pi f_0 t)$

$b(t)$

f_0 φ_0

$A(t)$



I. Introduction

Fonctions utiles dans une chaine analogique de transmission de l'information

- Filtres (très sélectifs à bande fixe, moins sélectif, à bande variable...)
- Transposition de fréquence (multiplieurs, mélangeurs)
- Modulations d'amplitude, de fréquence ou de phase
- Additionneurs
- Diviseurs
- Amplificateurs
- Déphaseurs
- PLL
- ...

II. Les systèmes linéaires

II. Les systèmes linéaires

Signal : Toute grandeur physique

Température = fonction (lieu)

Tension = fonction (temps)

Signaux : continus (physique) ou discontinus (approximation de certains cas physiques)

transitoires commence à un instant ($t=0$)
se termine au bout d'un temps fini ou \longrightarrow **O**
 $t \longrightarrow \infty$

périodiques

II. Les systèmes linéaires

Exemples de signaux

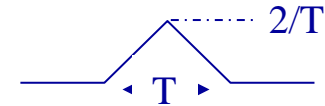
Signal sinusoidal 

Signaux transitoires ou impulsionnels

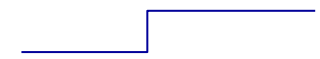
Portes Π_T



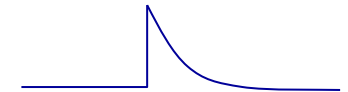
Impulsion triangulaire Δ_T



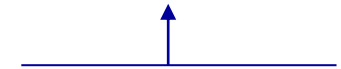
Echelon de Heavyside $u(t)$



Impulsion exponentielle $e^{-t/T} u(t)$



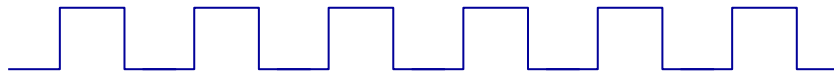
Impulsion de Dirac $\delta(t)$



Signaux périodiques discontinus

peignes 

créneau



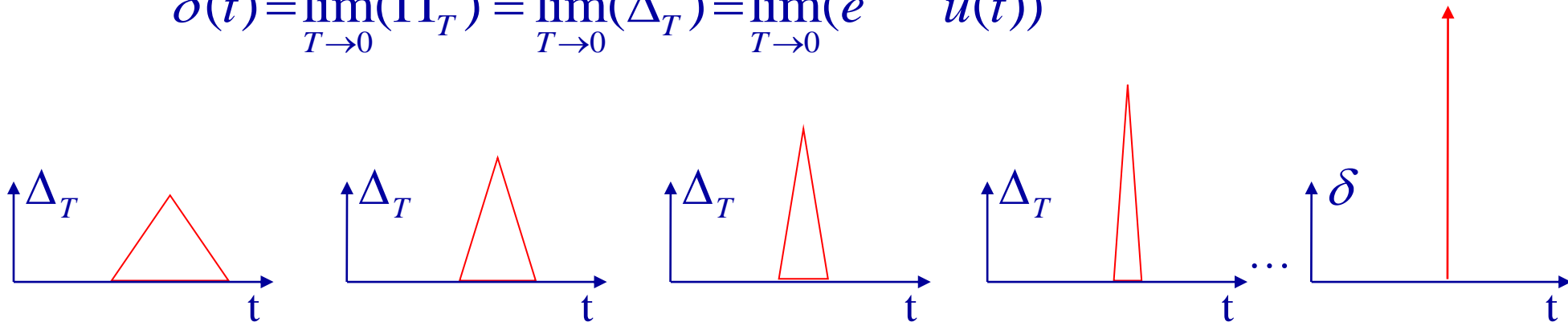
II. Les systèmes linéaires

On remarque que :
$$\int_{-\infty}^{+\infty} \Pi_T dt = \int_{-\infty}^{+\infty} \Delta_T dt = \int_{-\infty}^{+\infty} e^{-t/T} u(t) dt = 1$$

→ Définition de l'Impulsion de Dirac : $\delta(t)$

$\delta(t)$: Impulsion de largeur nulle mais de surface unité :
$$\int_{-\infty}^{+\infty} \delta(t) dt = 1$$

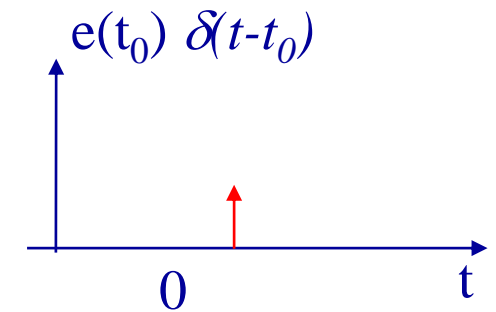
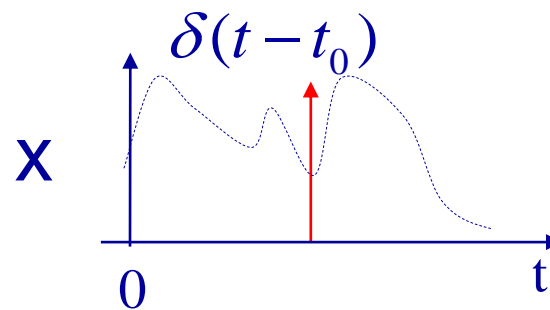
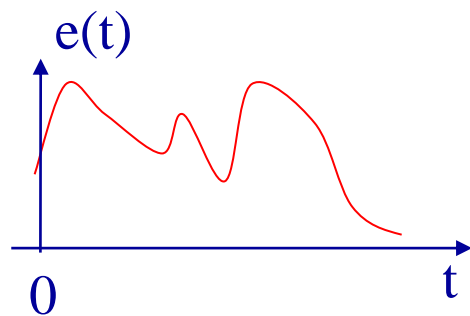
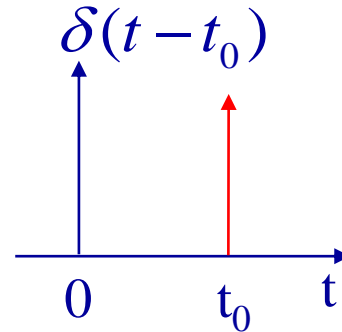
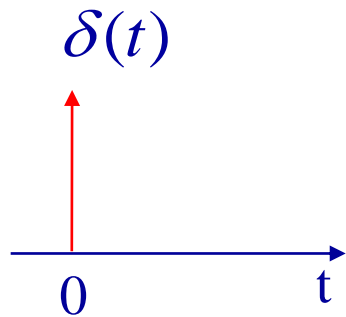
$$\delta(t) = \lim_{T \rightarrow 0} (\Pi_T) = \lim_{T \rightarrow 0} (\Delta_T) = \lim_{T \rightarrow 0} (e^{-t/T} u(t))$$



Exemple avec l'impulsion triangulaire

II. Les systèmes linéaires

Quelques propriétés de l'Impulsion de Dirac : $\delta(t)$



$$e(t) \cdot \delta(t-t_0) = e(t_0) \delta(t-t_0)$$

II. Les systèmes linéaires

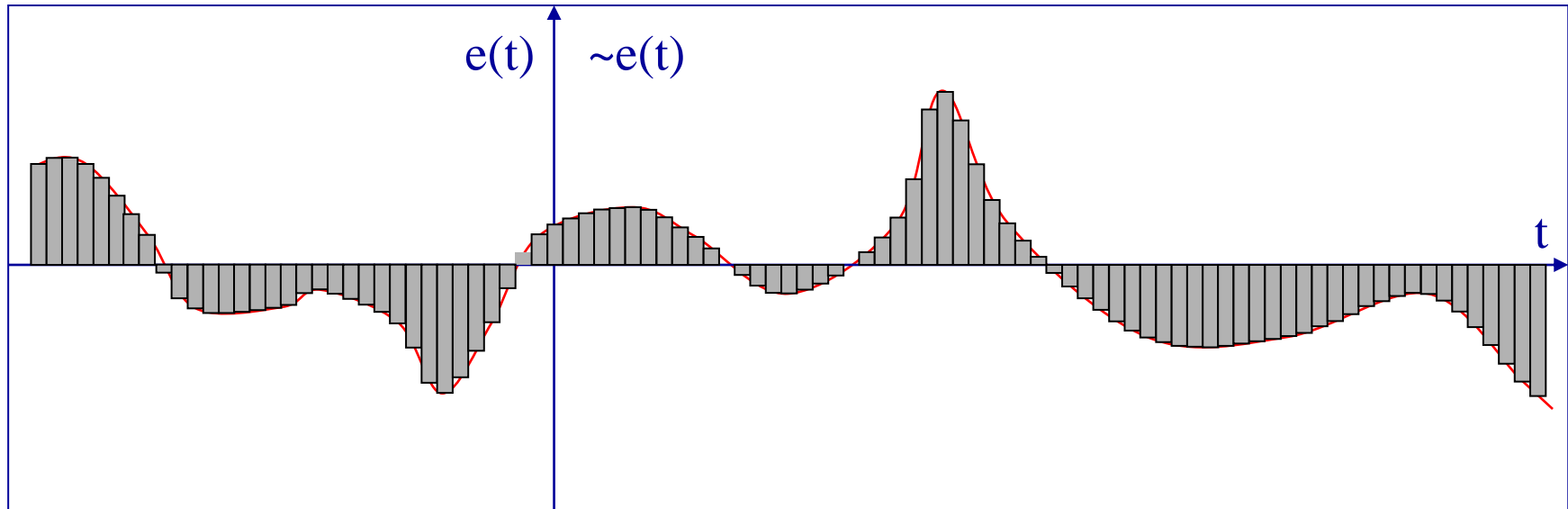


linéaires : $\alpha e_1(t) + \beta e_2(t) \longrightarrow \alpha s_1(t) + \beta s_2(t)$

Invariant dans le temps : $e(t-\tau)$ (e retardé de τ) \longrightarrow $s(t-\tau)$ (s retardé de τ)

Système Linéaire
Indépendant du temps
S.L.I

II. Les systèmes linéaires



signal $e(t)$ et signal approché $\tilde{e}(t)$:

$$\tilde{e}(t) = \sum_{n=-\infty}^{+\infty} e(t = nT) \underbrace{\Pi_T(t - nT) T}_{\text{Impulsion carrée amplitude } 1/T}$$

$$\varepsilon(t) = e(t) - \tilde{e}(t) \xrightarrow{T \rightarrow 0} 0$$

Impulsion carrée
amplitude $1/T$

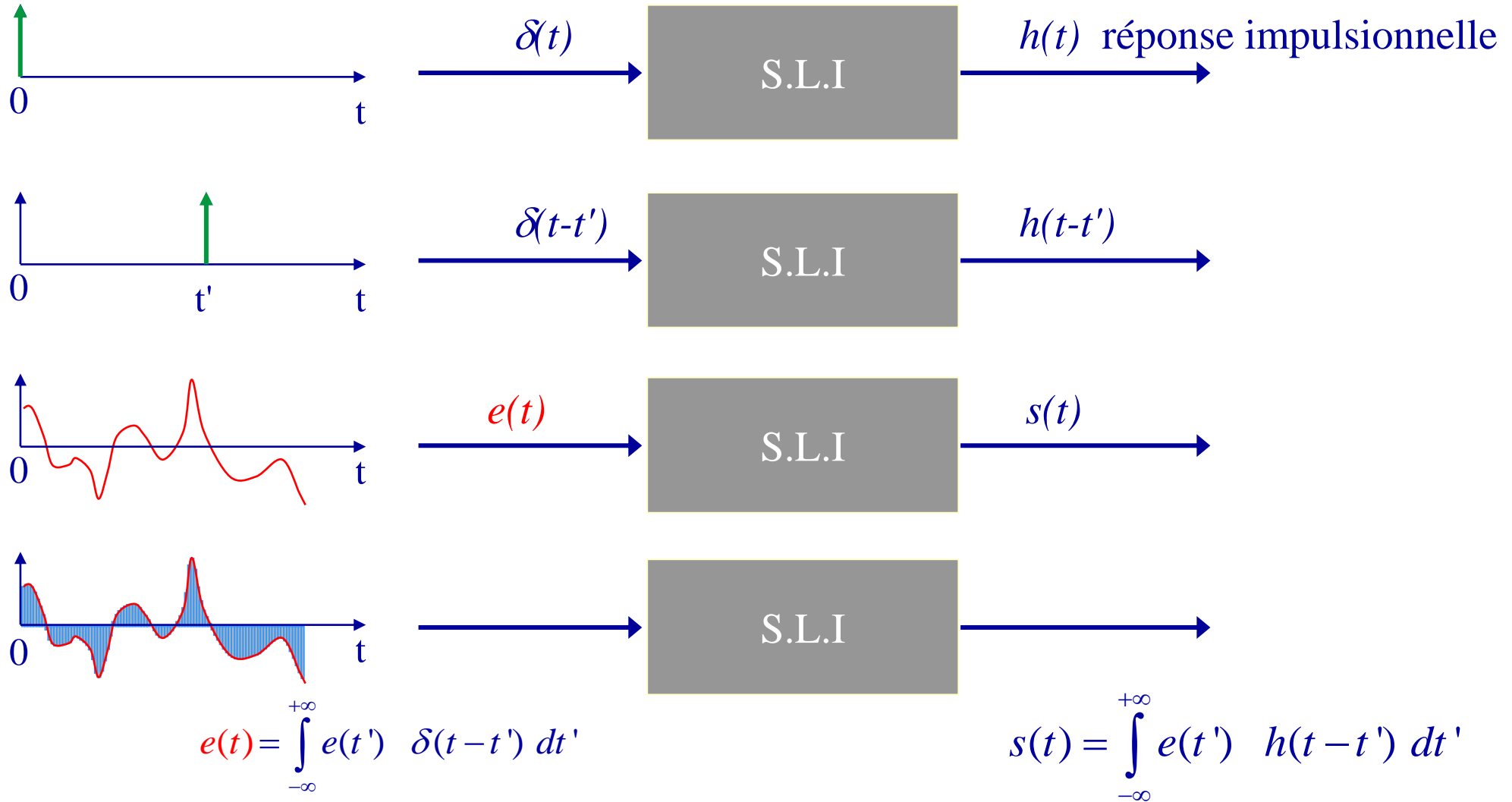
donc

$$e(t) = \lim_{T \rightarrow 0} \left[\sum_{n=-\infty}^{+\infty} e(t = nT) \Pi_T(t - nT) T \right]$$

$$e(t) = \int_{-\infty}^{+\infty} e(t') \delta(t - t') dt' = e(t) * \delta(t)$$

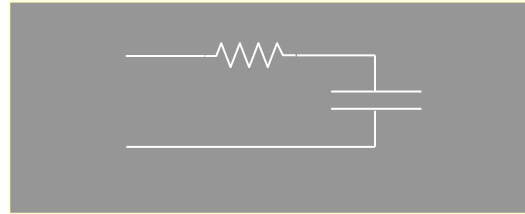
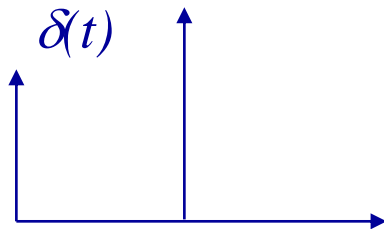
Produit de convolution

II. Les systèmes linéaires

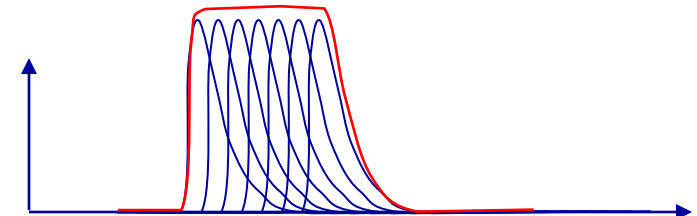
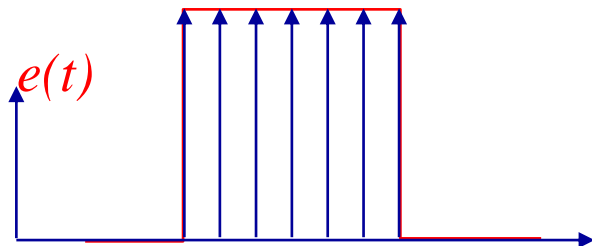
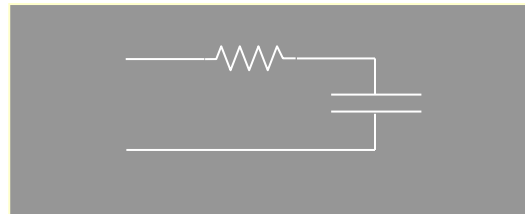
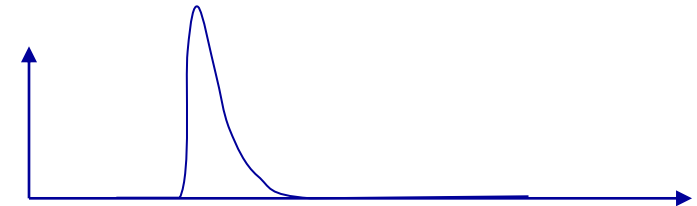


$$s(t) = e(t) * h(t)$$

II. Les systèmes linéaires



$h(t)$ réponse impulsionnelle



$$s(t) = e(t) * h(t)$$

III. Les systèmes linéaires par Transformée de Laplace et de Fourier

III.1 Les systèmes linéaires Par Transformée de Laplace

III.1 Les systèmes linéaires par Transformée de Laplace

Transformée de Laplace unilatérale (signaux causaux)

$$s(t) \xrightarrow{\text{T.L.}} S(p) = \int_0^{+\infty} s(t) e^{-pt} dt$$

$$s(t) = \frac{1}{2\pi j} \int_{-\infty}^{+\infty} S(p) e^{pt} dp \xleftarrow{\text{T.L}^{-1}} S(p)$$

Propriétés	Signal temporel	Transformée de Laplace
	$s(t < 0) = 0$	$S(p)$
Linéarité	$a s_1(t) + b s_2(t)$	$a S_1(p) + b S_2(p)$
Dérivation temporelle	$s'(t) = \frac{\partial}{\partial t} s(t)$	$p S(p) - s(t = 0^+)$
Dérivation	$s^{(n)}(t) = \frac{\partial^n}{\partial t^n} s(t)$	$p^n S(p) - p^{n-1} s(t = 0^+) - p^{n-2} s'(t = 0^+) - \dots - p s^{(n-2)}(t = 0^+) - s^{(n-1)}(t = 0^+)$
Intégration	$\int_0^t s(t') dt'$	$\frac{S(p)}{p}$
Convolution	$s_1(t) * s_2(t)$	$S_1(p) S_2(p)$
	$s_1(t) s_2(t)$	$S_1(p) * S_2(p)$

III.1 Les systèmes linéaires par Transformée de Laplace

n°	s(t) causaux (s(t<0)=0)	S(p)
1	Dirac $\delta(t)$	1
3	<i>Echelon de Heavyside</i> $u(t)$	$1/p$
6	$e^{-a t}$	$1 / (p+a)$
9	$(1-e^{-a t})$	$\frac{a}{p(p+a)}$
11	$e^{-at} - e^{-bt}$	$\frac{b-a}{(p+a)(p+b)}$
17	$1 - \frac{1}{b-a} (b e^{-at} - a e^{-bt})$	$\frac{ab}{p(p+a)(p+b)}$
18	$\frac{\omega_N}{\sqrt{1-\zeta^2}} e^{-\zeta \omega_N t} \sin(\omega_N \sqrt{1-\zeta^2} t)$	$\frac{1}{\frac{p^2}{\omega_N^2} + 2\zeta \frac{p}{\omega_N} + 1}$ avec $\zeta < 1$
19	$1 - \frac{1}{\sqrt{1-\zeta^2}} e^{-\zeta \omega_N t} \sin(\omega_N \sqrt{1-\zeta^2} t + \psi)$ avec $\psi = \text{arctg}\left(\frac{\sqrt{1-\zeta^2}}{\zeta}\right)$	$\frac{1}{p \left(\frac{p^2}{\omega_N^2} + 2\zeta \frac{p}{\omega_N} + 1 \right)}$ avec $\zeta < 1$

III.1 Les systèmes linéaires par Transformée de Laplace



$$b_n \frac{d^n s(t)}{dt^n} + b_{n-1} \frac{d^{n-1} s(t)}{dt^{n-1}} + \dots + b_0 s(t) = a_m \frac{d^m e(t)}{dt^m} + a_{m-1} \frac{d^{m-1} e(t)}{dt^{m-1}} + \dots + a_0 e(t)$$

Dans le cas d'un système du 2nd degré

$$b_2 \frac{d^2 s(t)}{dt^2} + b_1 \frac{ds(t)}{dt} + b_0 s(t) = a_2 \frac{d^2 e(t)}{dt^2} + a_1 \frac{de(t)}{dt} + a_0 e(t)$$

Par Transformée de Laplace


$$\left[\begin{array}{l} [b_2 p^2 + b_1 p + b_0] S(p) \\ + [\dots] s(t = 0^+) \\ + [\dots] s'(t = 0^+) \end{array} \right] = \left[\begin{array}{l} [a_2 p^2 + a_1 p + a_0] E(p) \\ + [\dots] e(t = 0^+) \\ + [\dots] e'(t = 0^+) \end{array} \right]$$

III.1 Les systèmes linéaires par Transformée de Laplace

$$\frac{\left[\begin{array}{l} b_2 p^2 + b_1 p + b_0 \\ + [\dots] s(t = 0^+) \\ + [\dots] s'(t = 0^+) \end{array} \right] S(p)}{=} = \frac{\left[\begin{array}{l} a_2 p^2 + a_1 p + a_0 \\ + [\dots] e(t = 0^+) \\ + [\dots] e'(t = 0^+) \end{array} \right] E(p)}{}$$

Si système au repos avant la première excitation $s(0^+) = s(0^-) = e(0^+) = e(0^-)$

$$\left[b_2 p^2 + b_1 p + b_0 \right] S(p) = \left[a_2 p^2 + a_1 p + a_0 \right] E(p)$$

C'est-à-dire

$$\frac{S(p)}{E(p)} = \frac{\left[a_2 p^2 + a_1 p + a_0 \right]}{\left[b_2 p^2 + b_1 p + b_0 \right]}$$

noté

$$H(p) = \frac{\left[a_2 p^2 + a_1 p + a_0 \right]}{\left[b_2 p^2 + b_1 p + b_0 \right]}$$

Fonction de Transfert (opérationnelle)

III.1 Les systèmes linéaires par Transformée de Laplace

plus généralement

$$H(p) = \frac{S(p)}{E(p)} = \frac{a_m p^m + a_{m-1} p^{m-1} + \dots + a_0}{b_n p^n + b_{n-1} p^{n-1} + \dots + b_0}$$

Fonction de Transfert (opérationnelle)

Remarque : le dénominateur est l'équation caractéristique vue au chapitre II



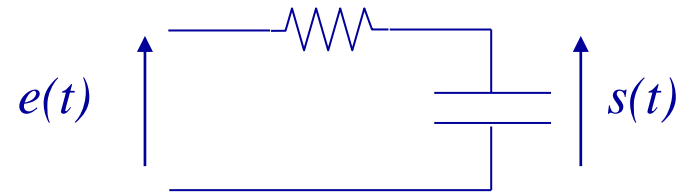
$$S(p) = E(p) \cdot TL(h(t))$$

Donc

$$H(p) = TL(h(t))$$

la fonction de Transfert est la Transformée de Laplace
de la réponse impulsionnelle

III.1 Les systèmes linéaires par Transformée de Laplace



Calculons la fonction de transfert de ce système

Domaine temporel

$$e - s = R i$$

$$i = C \frac{ds}{dt}$$

→
T.L

Domaine de Laplace

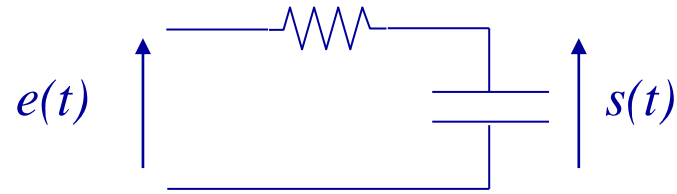
$$E(p) - S(p) = R I(p)$$

$$I(p) = C p S(p) \quad (Z_c = \frac{1}{Cp})$$

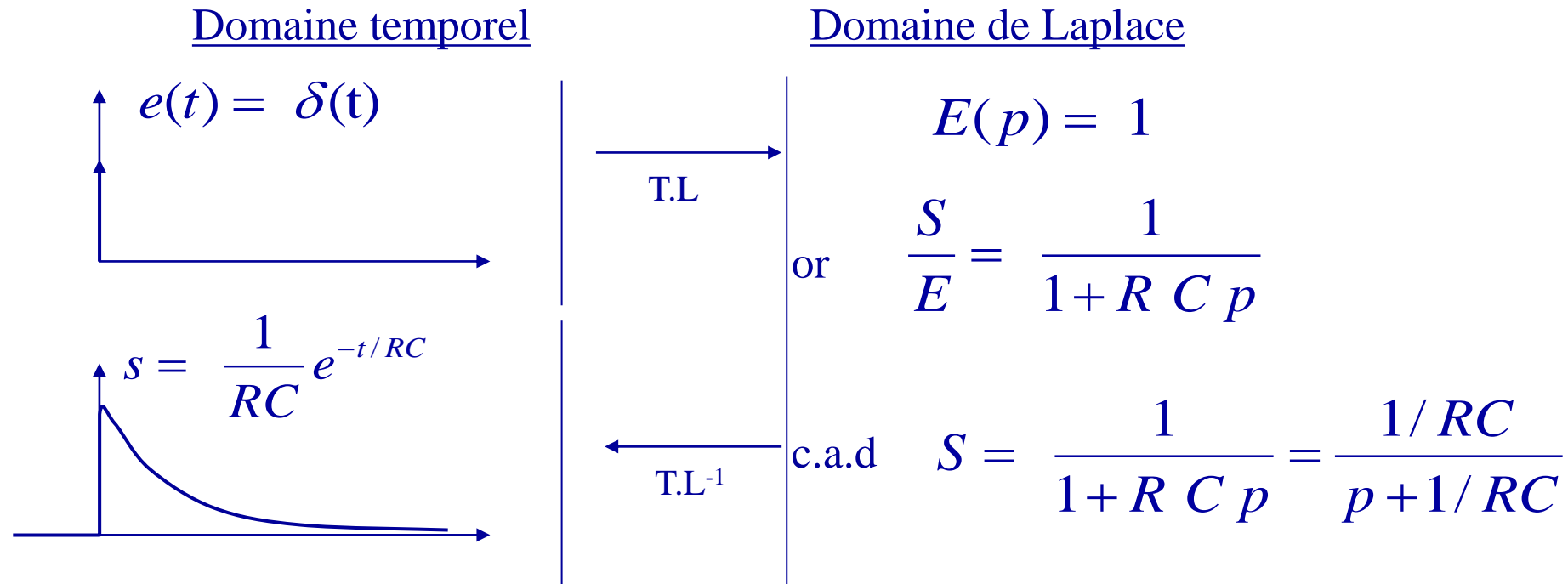
d'où $E - S = R C p S$

c.a.d $\frac{S}{E} = H = \frac{1}{1 + R C p}$

III.1 Les systèmes linéaires par Transformée de Laplace



Calculons la réponse impulsionnelle $h(t)$ de ce système



III.2 Les systèmes linéaires Par Transformée de Fourier

Etudions maintenant la réponse des systèmes à un signal d'entrée périodique



Transformée de Fourier

III.2 Transformée de Fourier

signaux périodiques ($T_0 = 1/f_0$)



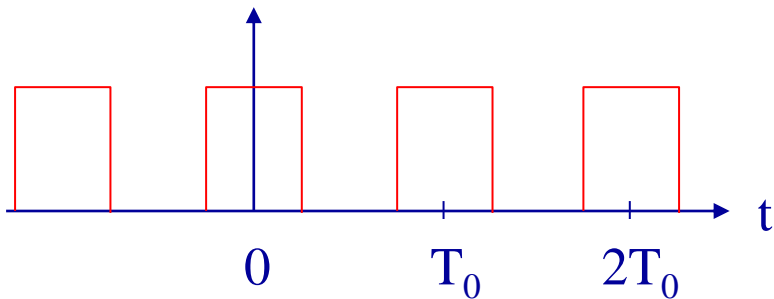
Série de Fourier

$$s(t) = \sum_{n=-\infty}^{+\infty} c_n e^{jn\omega_0 t}$$

où $\omega_0 = 2\pi/T_0$

$$\text{où } c_n = \int_{-T_0/2}^{T_0/2} s(t) e^{-jn\omega_0 t} dt$$

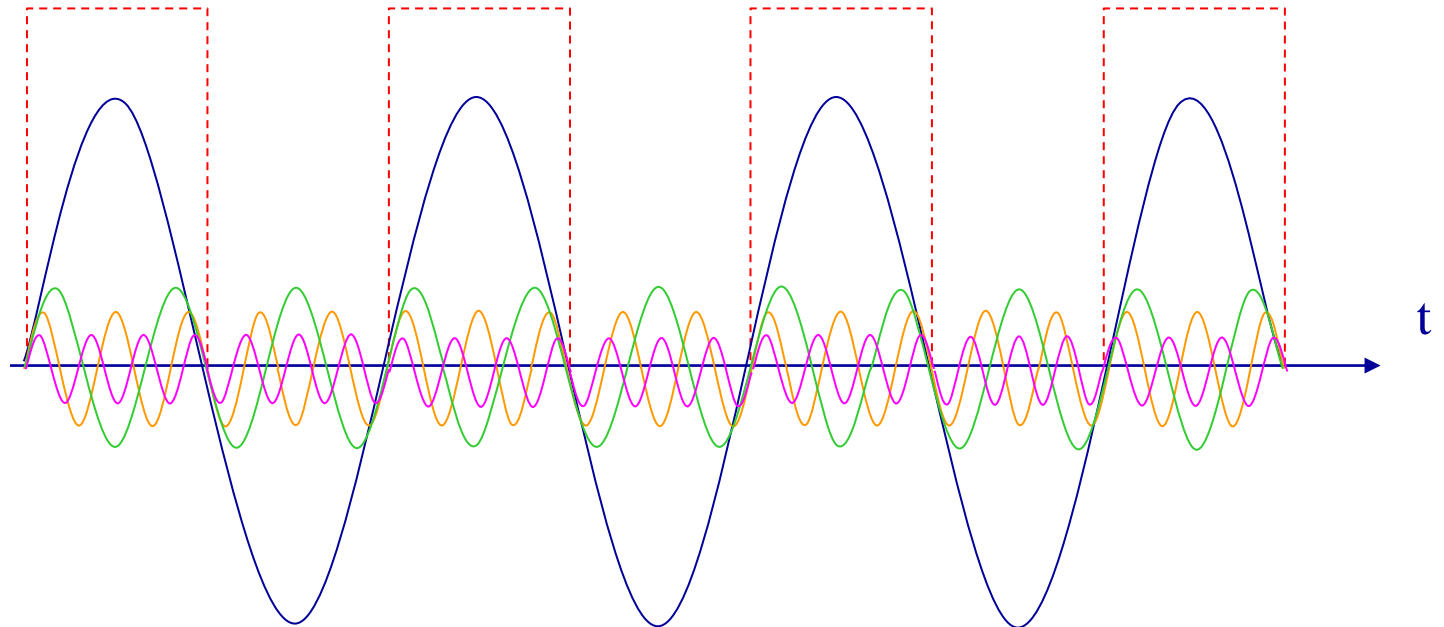
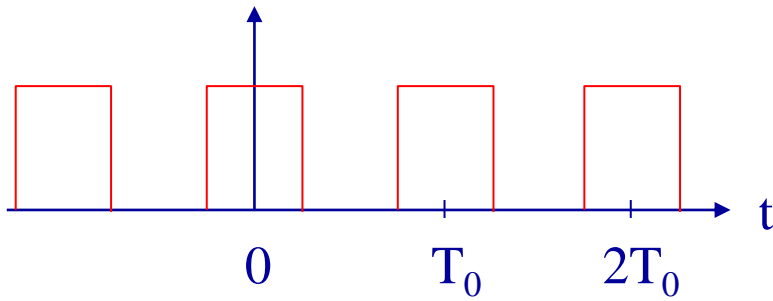
par exemple : créneau de période T_0



	0.5
$2/\pi$	$\cos(\omega_0 t)$
$2/3\pi$	$\cos(3\omega_0 t)$
$2/5\pi$	$\cos(5\omega_0 t)$
$2/7\pi$	$\cos(7\omega_0 t)$
	⋮

III.2 Transformée de Fourier

Série de Fourier d'un créneau de période T_0



III.2 Transformée de Fourier

signaux périodiques (période finie) \longrightarrow Signaux non périodiques (période infinie)

$$s(t) = \sum_{n=-\infty}^{+\infty} c_n e^{jn\omega_0 t} \longrightarrow s(t) = \int_{-\infty}^{+\infty} S(f) e^{j\omega t} df$$

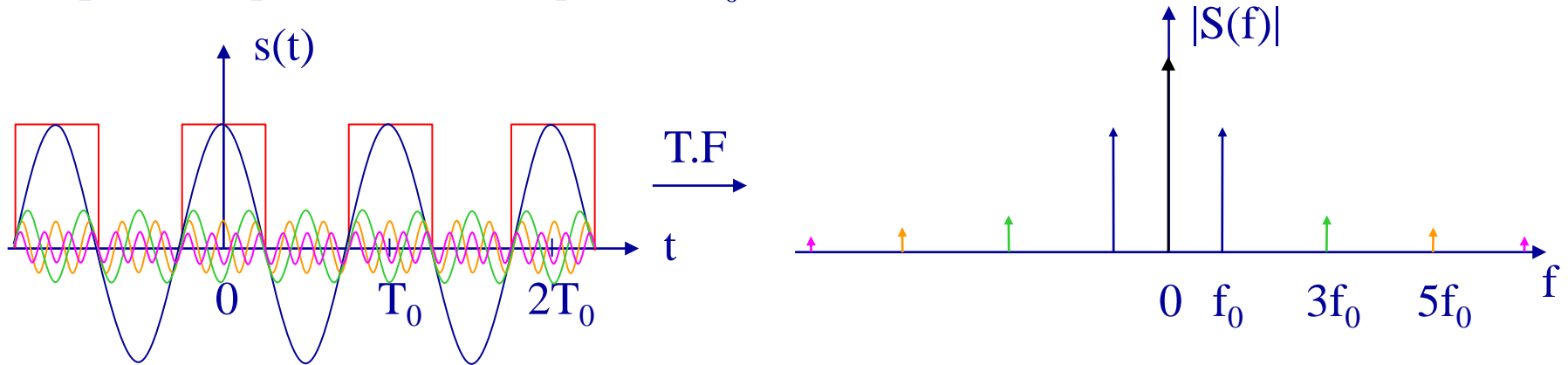
$$c_n = \int_{-T_0/2}^{T_0/2} s(t) e^{-jn\omega_0 t} dt \longrightarrow S(f) = \int_{-\infty}^{+\infty} s(t) e^{-j\omega t} dt$$

Série de Fourier

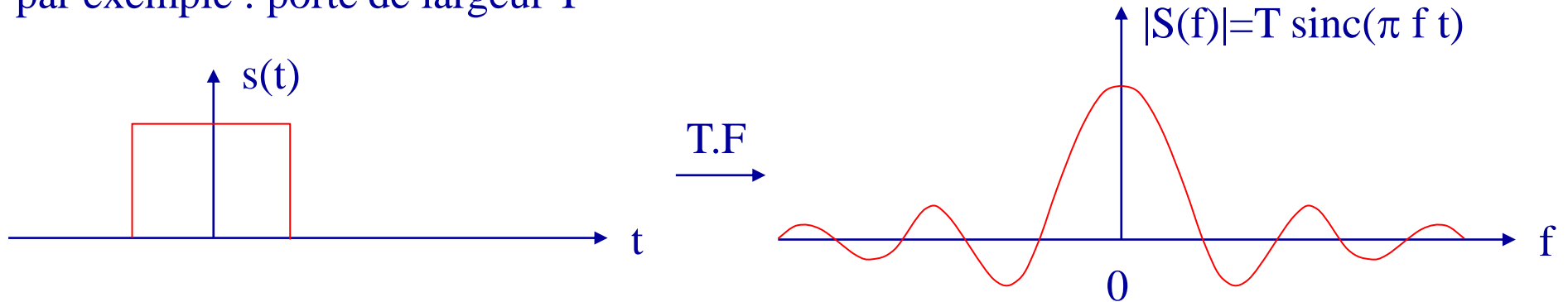
Transformée de Fourier

III.2 Transformée de Fourier

par exemple : créneau de période T_0



par exemple : porte de largeur T



III.2 Transformée de Fourier

	$s(t)$	$S(f)$
Linéarité	$a s_1(t) + b s_2(t)$	$a S_1(f) + b S_2(f)$
Dérivation temporelle	$s'(t) = \frac{\partial}{\partial t} s(t)$	$j\omega S(f)$
Convolution	$s_1(t) * s_2(t)$	$S_1(f) S_2(f)$
produit	$s_1(t) s_2(t)$	$S_1(f) * S_2(f)$
Dirac	$\delta(t)$	1
Peigne de Dirac	$p g n_{T_e}(t) = \sum_{n=-\infty}^{+\infty} \delta(t - nT_e)$	$\frac{1}{T_e} \sum_{n=-\infty}^{+\infty} \delta(f - n \frac{1}{T_e})$
Décalage temp	$s(t - t_0)$	$e^{-j\omega t_0} S(f)$
Décalage fréq	$e^{j\omega_0 t} s(t)$	$S(f - f_0)$

III.2 Transformée de Fourier



$$b_n \frac{d^n s(t)}{dt^n} + b_{n-1} \frac{d^{n-1} s(t)}{dt^{n-1}} + \dots + b_0 s(t) = a_m \frac{d^m e(t)}{dt^m} + a_{m-1} \frac{d^{m-1} e(t)}{dt^{m-1}} + \dots + a_0 e(t)$$

Par Transformée de Fourier :

$$\begin{aligned} b_n (j\omega)^n S(f) + b_{n-1} (j\omega)^{n-1} S(f) + \dots + b_0 S(f) \\ = a_m (j\omega)^m E(f) + a_{m-1} (j\omega)^{m-1} E(f) + \dots + a_0 E(f) \end{aligned}$$

$$H(f) = \frac{S(f)}{E(f)} = \frac{a_m (j\omega)^m + a_{m-1} (j\omega)^{m-1} + \dots + a_0}{b_n (j\omega)^n + b_{n-1} (j\omega)^{n-1} + \dots + b_0}$$

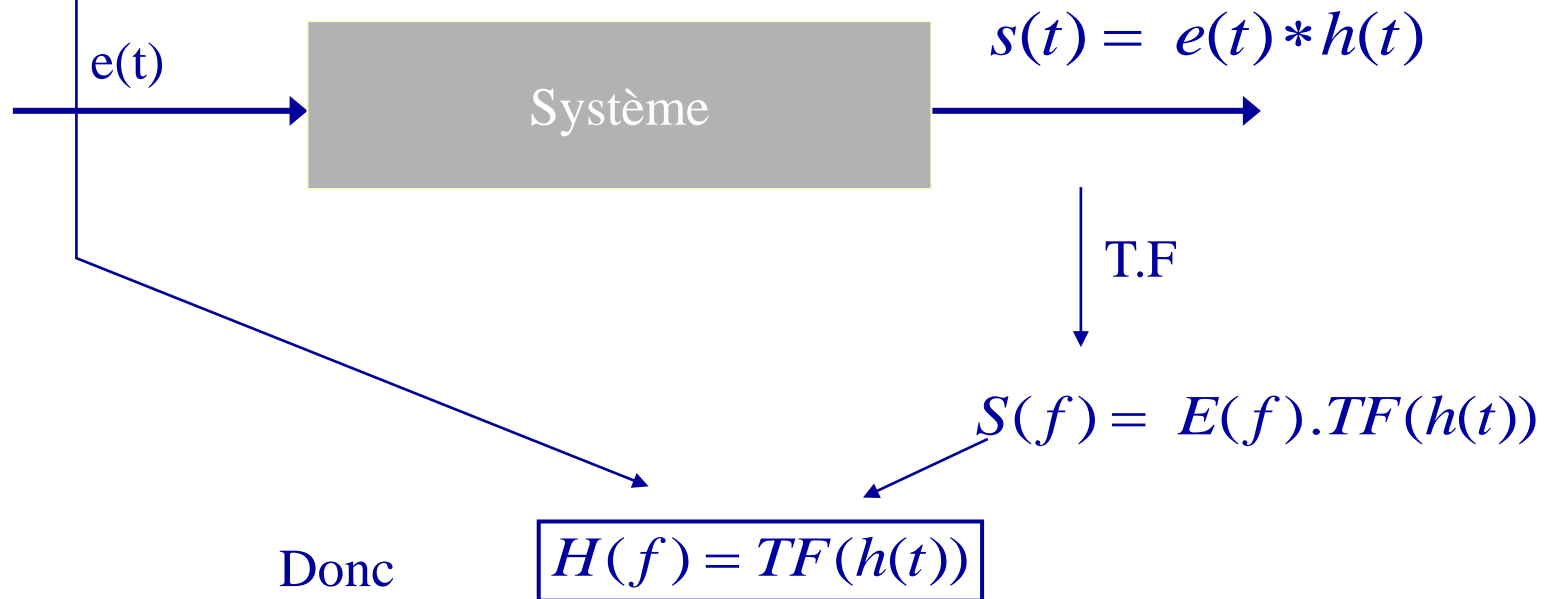
Réponse
fréquentielle

Obtenu en remplaçant p par $j\omega$
dans la fct de transfert opérationnelle

III.2 Transformée de Fourier

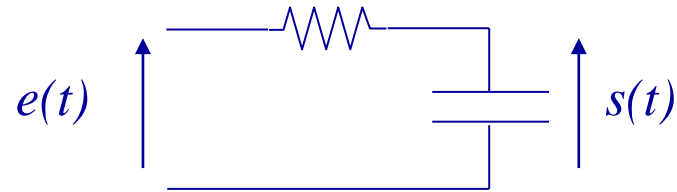
$$H(f) = \frac{S(f)}{E(f)} = \frac{a_m (j\omega)^m + a_{m-1} (j\omega)^{m-1} + \dots + a_0}{b_n (j\omega)^n + b_{n-1} (j\omega)^{n-1} + \dots + b_0}$$

Réponse fréquentielle



la réponse fréquentielle est la Transformée de Fourier
de la réponse impulsionnelle

III.2 Transformée de Fourier



Calculons la réponse fréquentielle de ce système

Domaine temporel

$$e - s = R i$$
$$i = C \frac{ds}{dt}$$

→
T.F

Domaine de Fourier

$$E(f) - S(f) = R I(f)$$

$$I(f) = C j\omega S(f) \quad (Z_c = \frac{1}{jC\omega})$$

d'où $E - S = R C j\omega S$

c.a.d $\frac{S}{E} = H = \frac{1}{1 + jRC\omega}$

III.2 Transformée de Fourier

Prenons une entrée sinusoïdale :

$$e(t) = e_0 \cos(\omega_0 t) \xrightarrow{\text{T.F}} E(\omega) = \frac{e_0}{2} [\delta(\omega - \omega_0) + \delta(\omega + \omega_0)]$$

La réponse à cette entrée vaut :

$$S(\omega) = E(\omega) H(\omega) = \frac{e_0}{2} [\delta(\omega - \omega_0) + \delta(\omega + \omega_0)] H(\omega)$$

$$S(\omega) = \frac{e_0}{2} [H(\omega_0) \delta(\omega - \omega_0) + H(-\omega_0) \delta(\omega + \omega_0)]$$

or $H(\omega_0) = |H(\omega_0)| e^{j\varphi(\omega_0)}$ et $H(-\omega_0) = |H(\omega_0)| e^{-j\varphi(\omega_0)}$

donc $S(\omega) = \frac{e_0}{2} |H(\omega_0)| [e^{j\varphi(\omega_0)} \delta(\omega - \omega_0) + e^{-j\varphi(\omega_0)} \delta(\omega + \omega_0)]$

III.2 Transformée de Fourier

$$S(\omega) = \frac{e_0}{2} |H(\omega_0)| \left[e^{j\varphi(\omega_0)} \underbrace{\delta(\omega - \omega_0)} + e^{-j\varphi(\omega_0)} \underbrace{\delta(\omega + \omega_0)} \right]$$

↓ T.F⁻¹

$$s(t) = \frac{e_0}{2} |H(\omega_0)| \left[e^{j\varphi(\omega_0)} e^{j\omega_0 t} + e^{-j\varphi(\omega_0)} e^{-j\omega_0 t} \right]$$

$$s(t) = e_0 |H(\omega_0)| \cos(\omega_0 t + \varphi(\omega_0))$$

donc

- Le gain $G(\omega_0)$ du système e_0/s_0 à ω_0 = $|H(\omega_0)|$
- Le déphasage $\varphi(\omega_0)$ de $s(t)$ par rapport à $e(t)$ à ω_0 = $\text{argument}(H(\omega_0))$

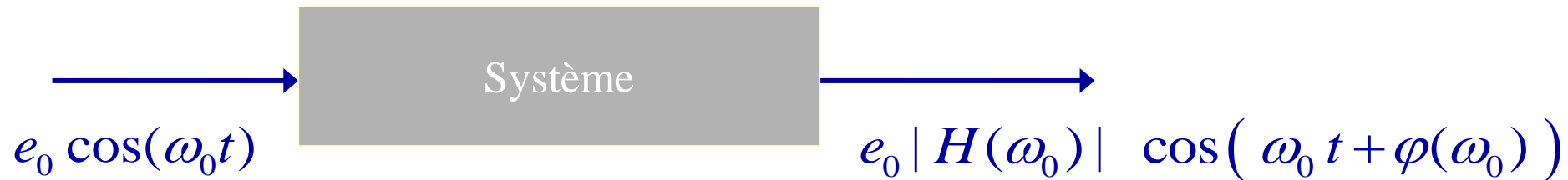


Diagramme de Bode = représentation de $|H(\omega_0)|$ et de $\varphi(\omega_0)$

III.3 Diagramme de Bode

III.3 Diagramme de Bode

On a montré que :



Cad

- Le gain $G(\omega_0) = |H(\omega_0)|$
- Le déphasage de $s(t)$ par rapport à $e(t) = \varphi(\omega_0) = \text{argument}(H(\omega_0))$



Diagramme de Bode = représentation de $\log_{10} |H(\omega)|$ et de $\varphi(\omega)$

III.3 Diagramme de Bode

Exemple : soit un filtre du 1^{er} ordre

$$H(\omega) = \frac{1}{1 + j\omega\tau}$$

$$G_{dB}(\omega) = 20\log_{10} |H(\omega)| \quad \text{et} \quad \varphi(\omega) = -\text{arctg}\left(\frac{\omega\tau}{1}\right)$$

$$G_{dB}(\omega) = 20\log_{10} |H(\omega)| = 10\log_{10} |H(\omega)|^2 = 10\log_{10} \left(\frac{1}{1 + (\omega\tau)^2} \right)$$



$$G_{dB}(\omega) = -10\log_{10} (1 + (\omega\tau)^2)$$

III.3 Diagramme de Bode

Comportement asymptotique



comportement du système à certaines fréquences caractéristiques

par ex qd $\omega \rightarrow 0$ ou qd $\omega \rightarrow \infty$

Quand $\omega \rightarrow 0$

- $G_{dB} = \lim_{\omega \rightarrow 0} \left(-10 \log_{10} \left(1 + (\omega\tau)^2 \right) \right) = -10 \log_{10} (1) = 0dB$



Droite horizontale 0 dB

III.3 Diagramme de Bode

Comportement asymptotique

Quand $\omega \rightarrow \infty$

- $\lim_{\omega \rightarrow \infty} \left(-10 \log_{10} \left(1 + (\omega\tau)^2 \right) \right) = -10 \log_{10} ((\omega\tau)^2) = -20 \log_{10} (\omega\tau)$

$$\lim_{\omega \rightarrow \infty} (G_{dB}) = -20 \log(\omega) - 20 \log(\tau)$$

quand $\omega \rightarrow 10 \omega$ alors $-20 \log(\omega) \rightarrow -20 \log(10\omega) = -20 \log(\omega) - 20$



Droite de pente -20 dB/décade

d'ordonnée à l'origine $-20 \log(\tau)$

III.3 Diagramme de Bode

Comportement asymptotique

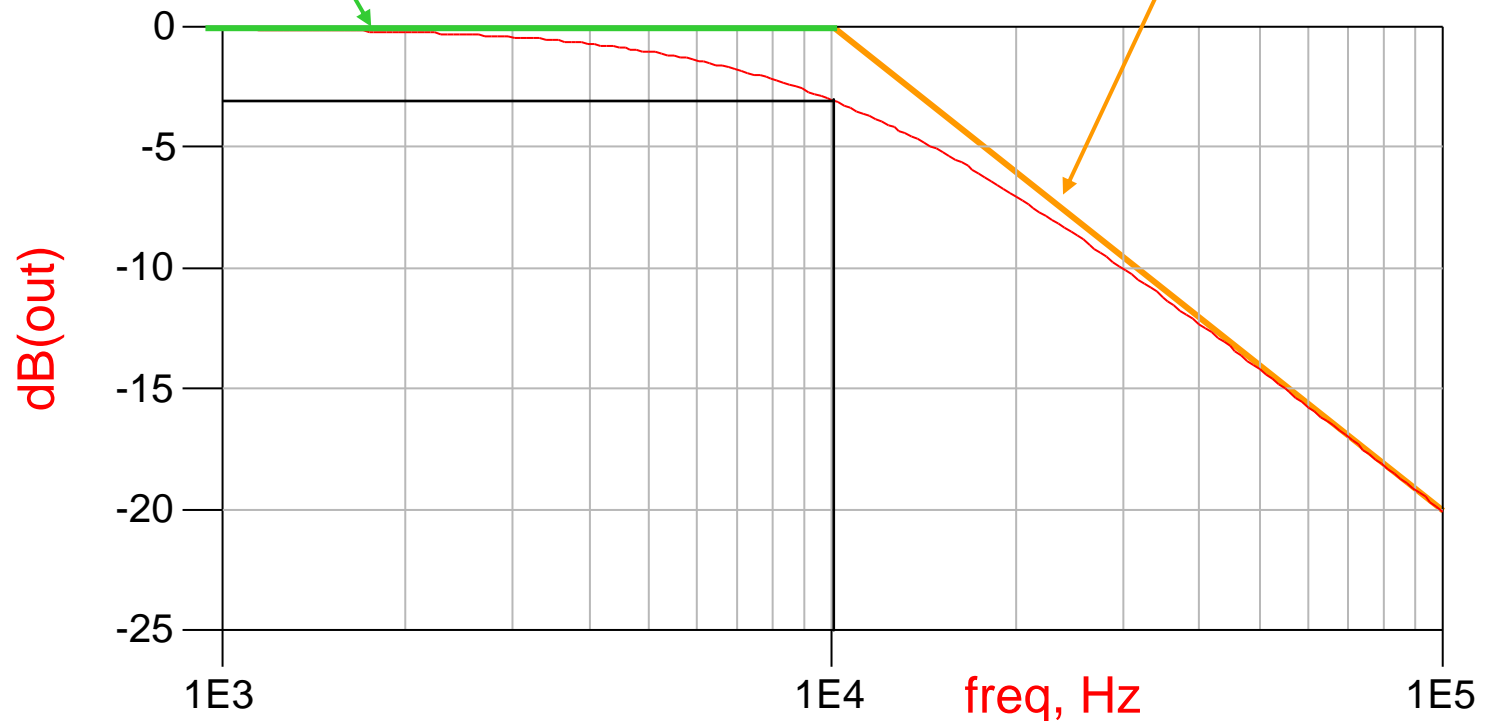
- $\lim_{\omega \rightarrow 0} (G_{dB})$

Droite horizontale 0dB

- $\lim_{\omega \rightarrow \infty} (G_{dB})$

Droite de pente -20 dB/decade

d'ordonnée à l'origine $-20\log(\tau)$

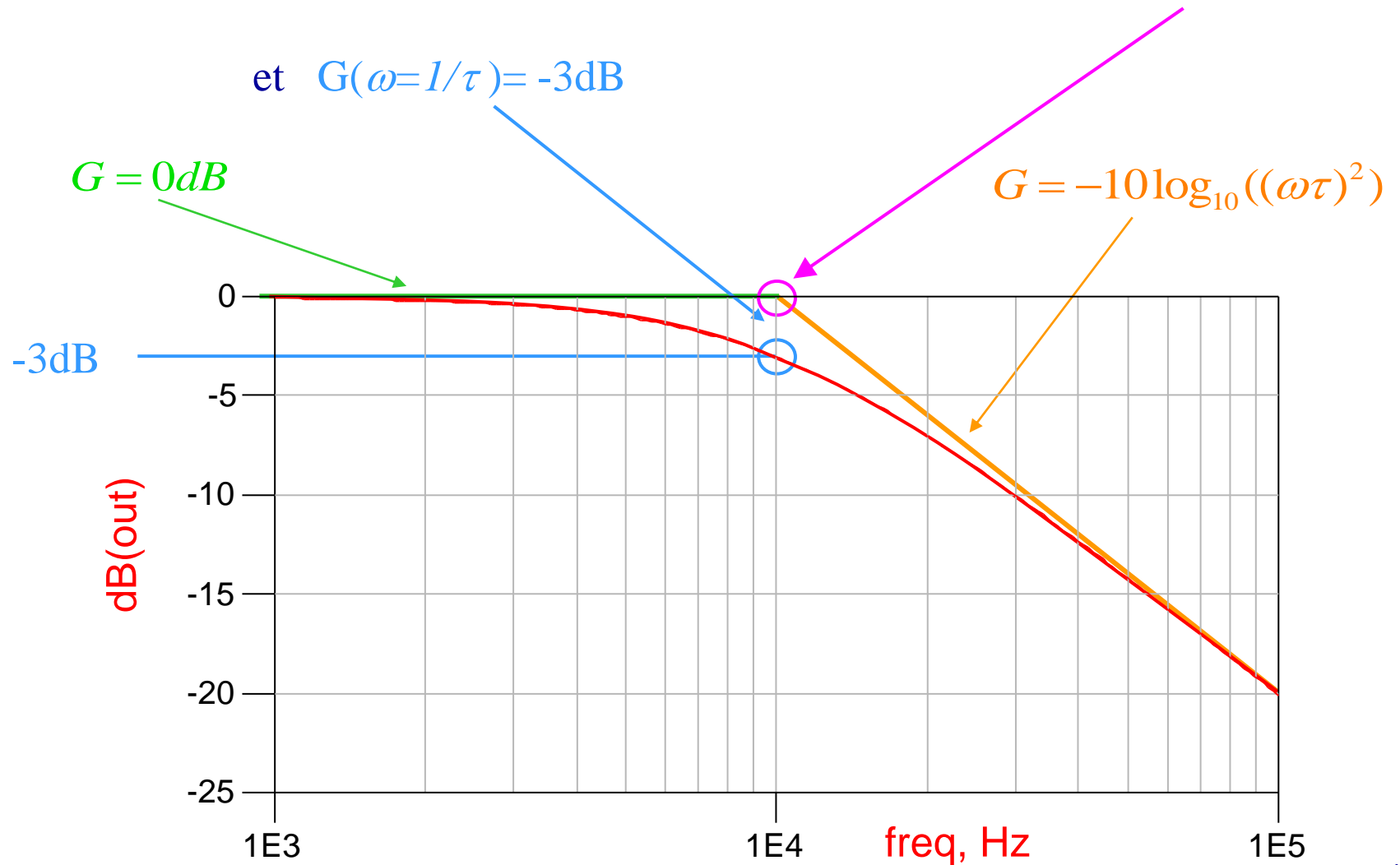


III.3 Diagramme de Bode

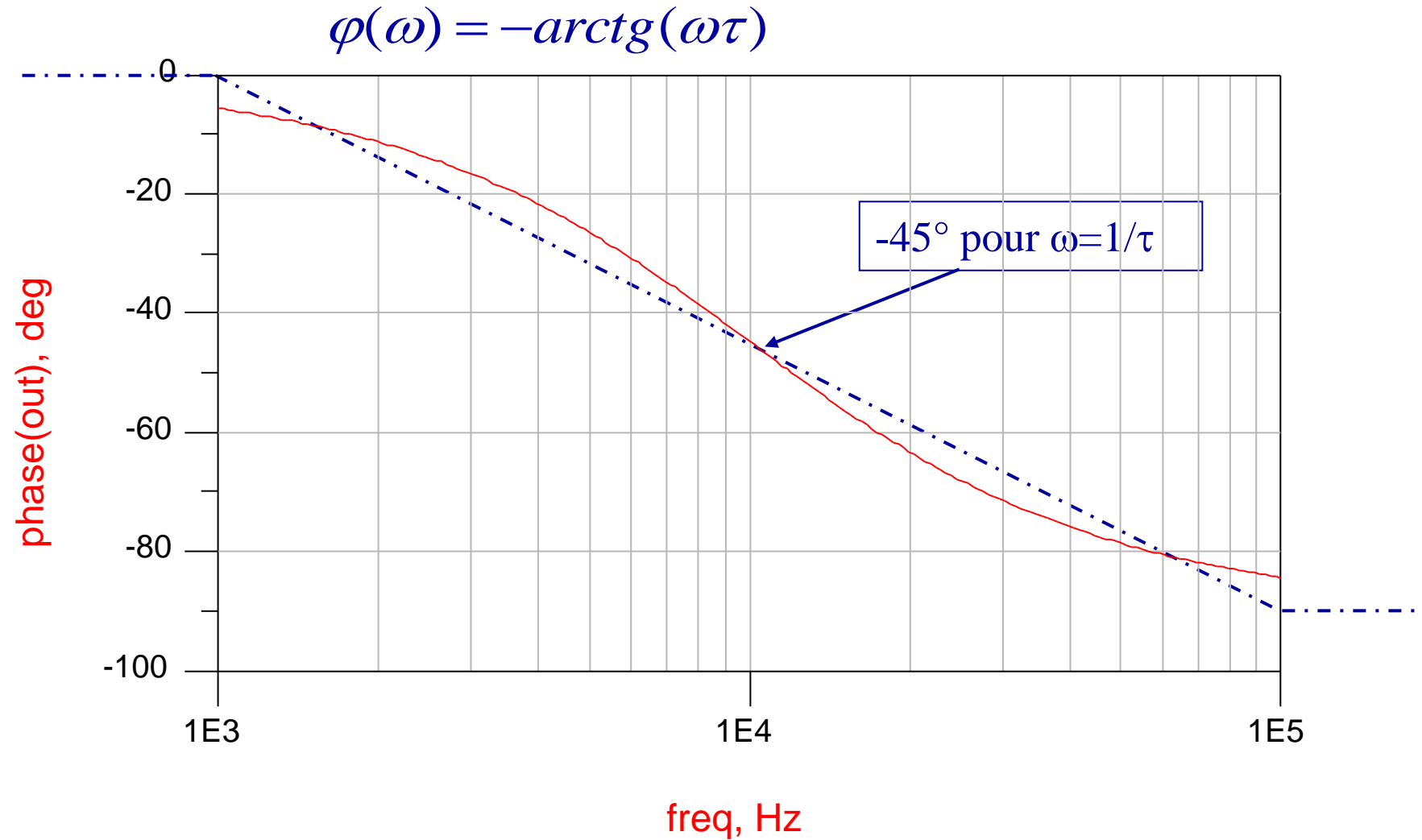
Comportement asymptotique

Les asymptotes se croisent quand $-10\log_{10}((\omega\tau)^2) = 0$ cad quand $\omega = 1/\tau$

et $G(\omega = 1/\tau) = -3\text{dB}$



III.3 Diagramme de Bode



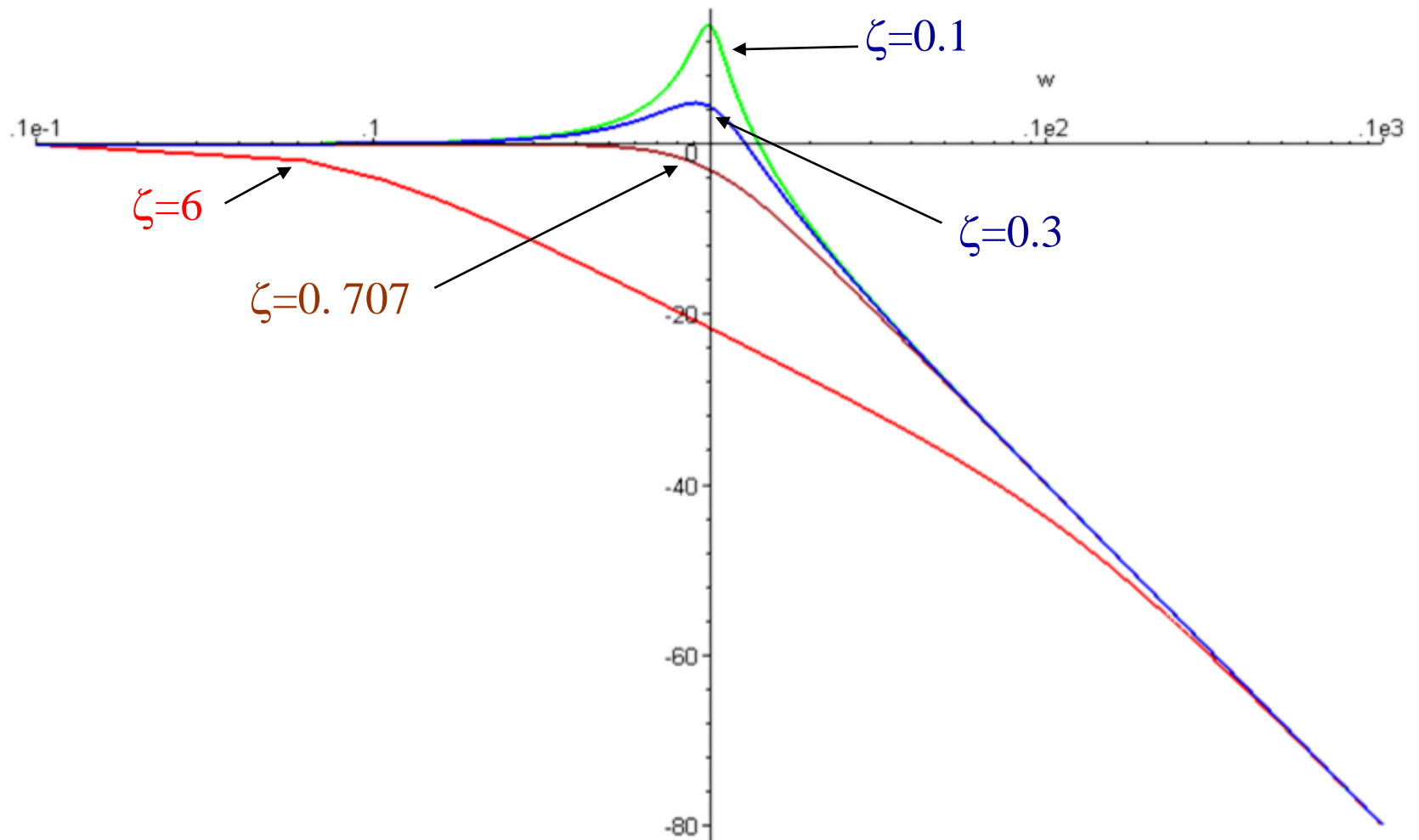
IV. Les systèmes du 1^{er} et du 2nd ordre

Seuls les systèmes du 2eme ordres sont traités très rapidement dans cette présentation.

(Les systèmes du 1^{er} et du 2nd ordre sont traités dans le polycopié de cours)

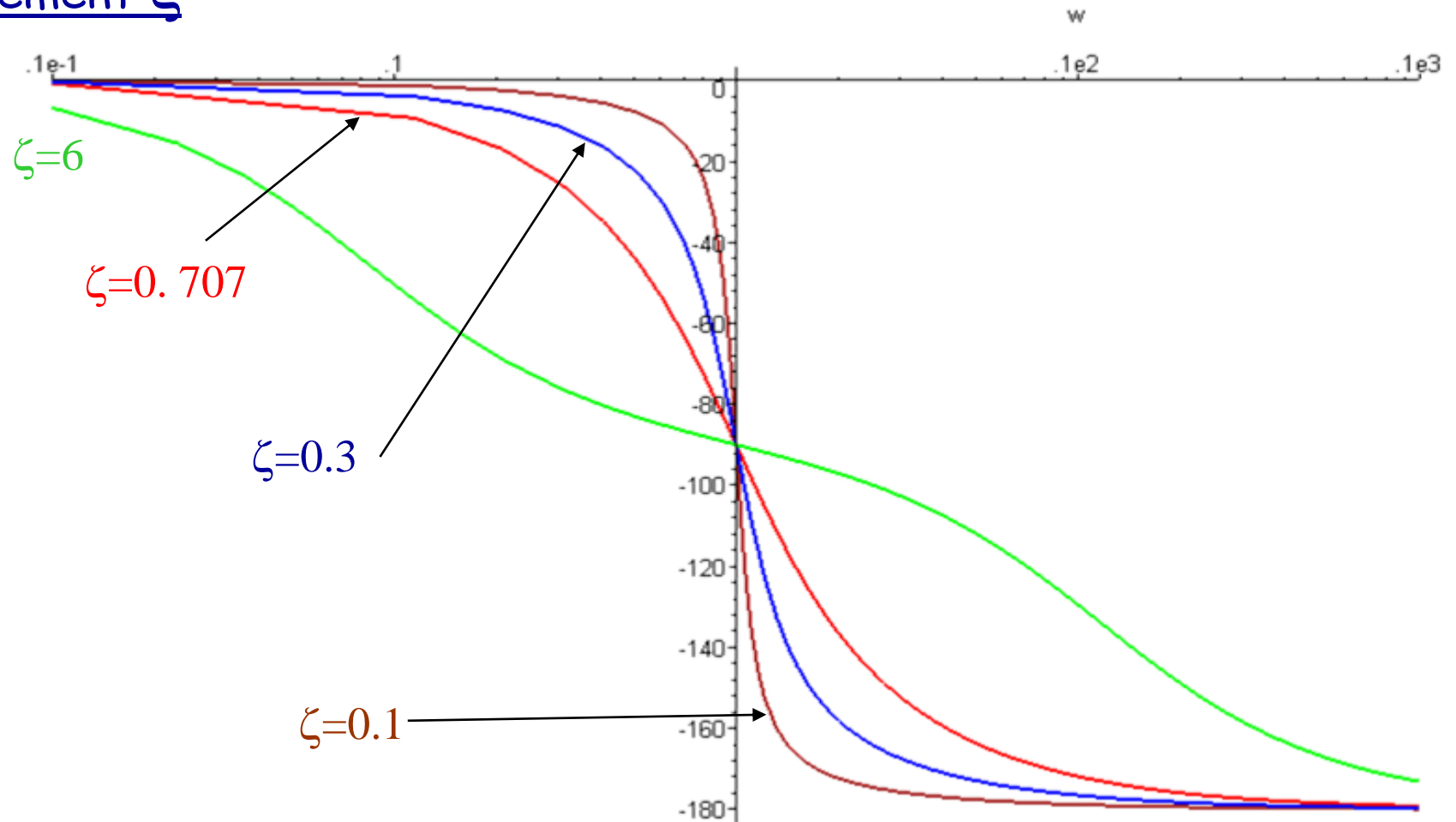
IV. Les systèmes du 1^{er} et 2^{ème} ordre

Gain en fonction de la fréquence normalisée pour plusieurs coefficients d'amortissement ζ



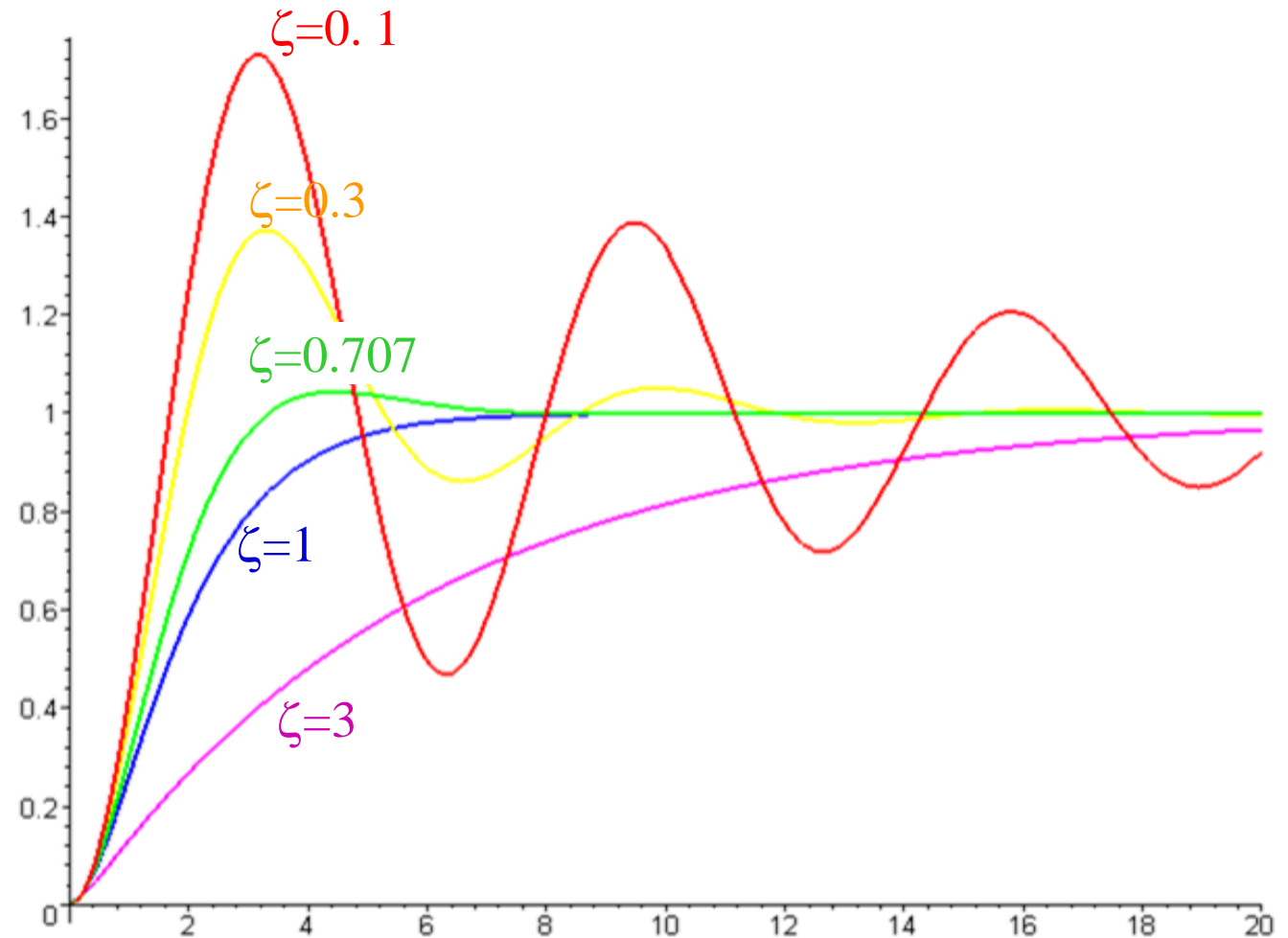
IV. Les systèmes du 1^{er} et 2^{ème} ordre

Phase en fonction de la fréquence normalisée pour plusieurs coefficients d'amortissement ζ



IV. Les systèmes du 1^{er} et 2^{ème} ordre

Réponse indicielle pour plusieurs coefficients d'amortissement ζ



V. Filtrage

V. Filtrage

les filtres passifs

- fréquences HF (qq 10 MHz \rightarrow 1GHz) ou μ Onde (1GHz \rightarrow 100GHz)
car tailles des bobines...

les filtres actifs (à Amplificateurs Opérationnels)

- fréquences BF (0 à qq MHz)
car gain AOP...

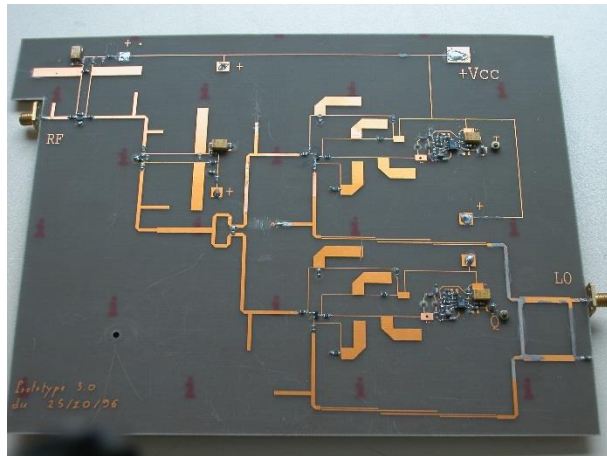
les filtres à résonateurs

- à quartz ou céramique (piézo-électrique) (\rightarrow qq 100MHz)
- cavité métallique ou diélectrique (1GHz \rightarrow 100GHz)
- les filtres à ondes de surface (qq 100 MHz)

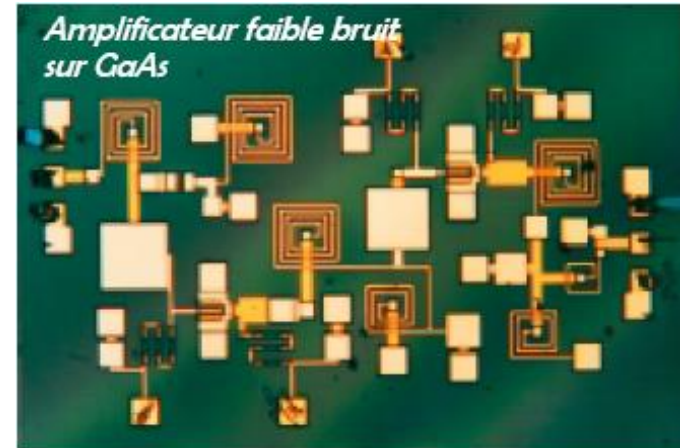
V. Filtrage

les filtres passifs en hyperfréquence (μ Onde)

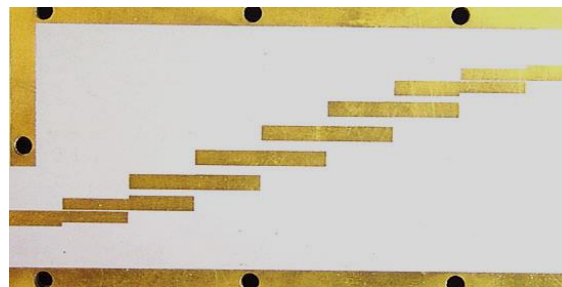
Optimisation de la puissance disponible \longrightarrow composants non dispersifs : C, L,...



Technologie hybride

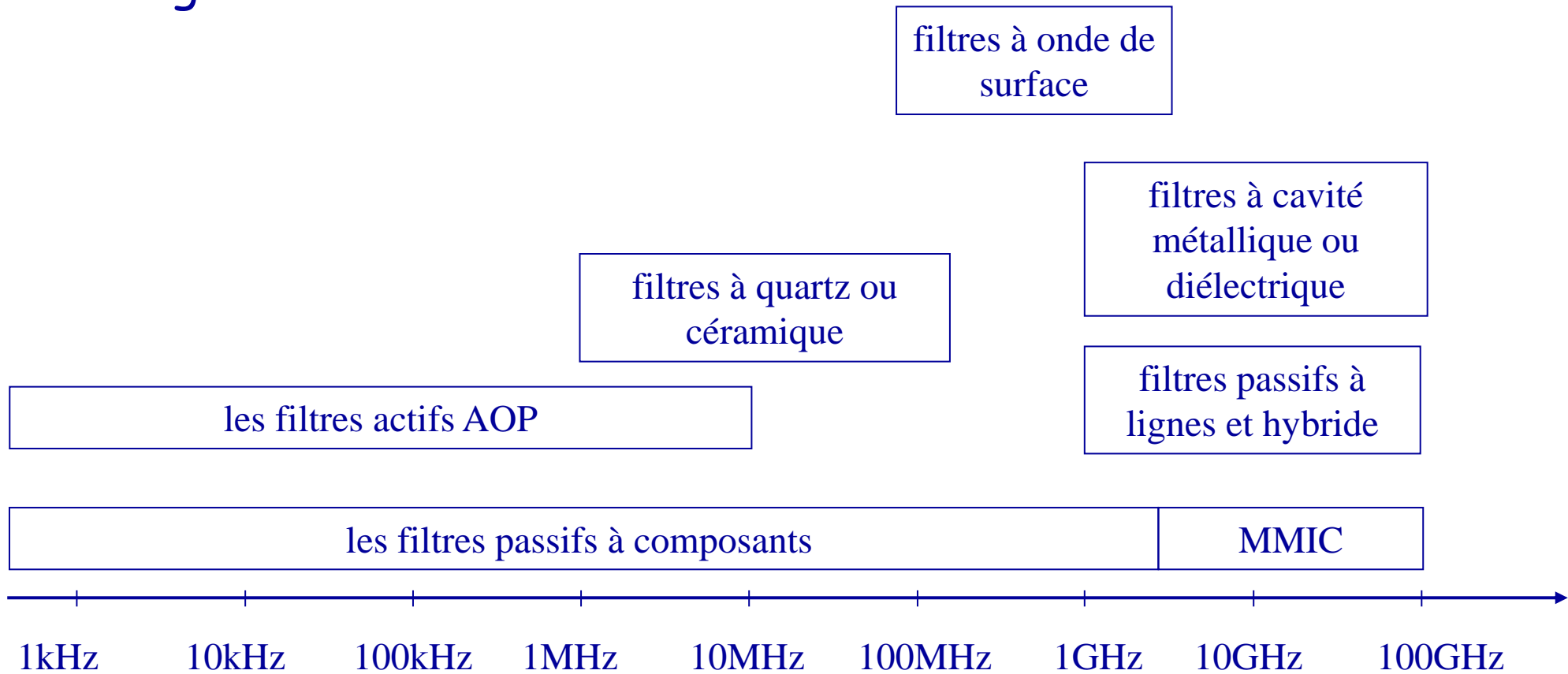


Technologie Intégrée (MMIC)



Technologie Lignes

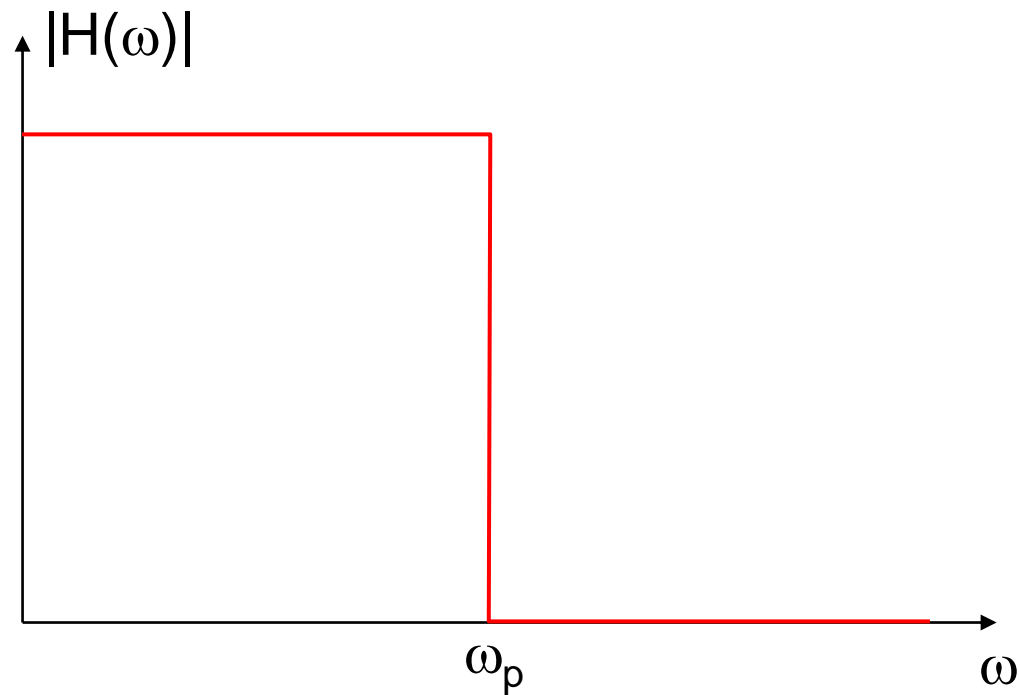
V. Filtrage



V.2 Gabarits - Normalisation - Transposition

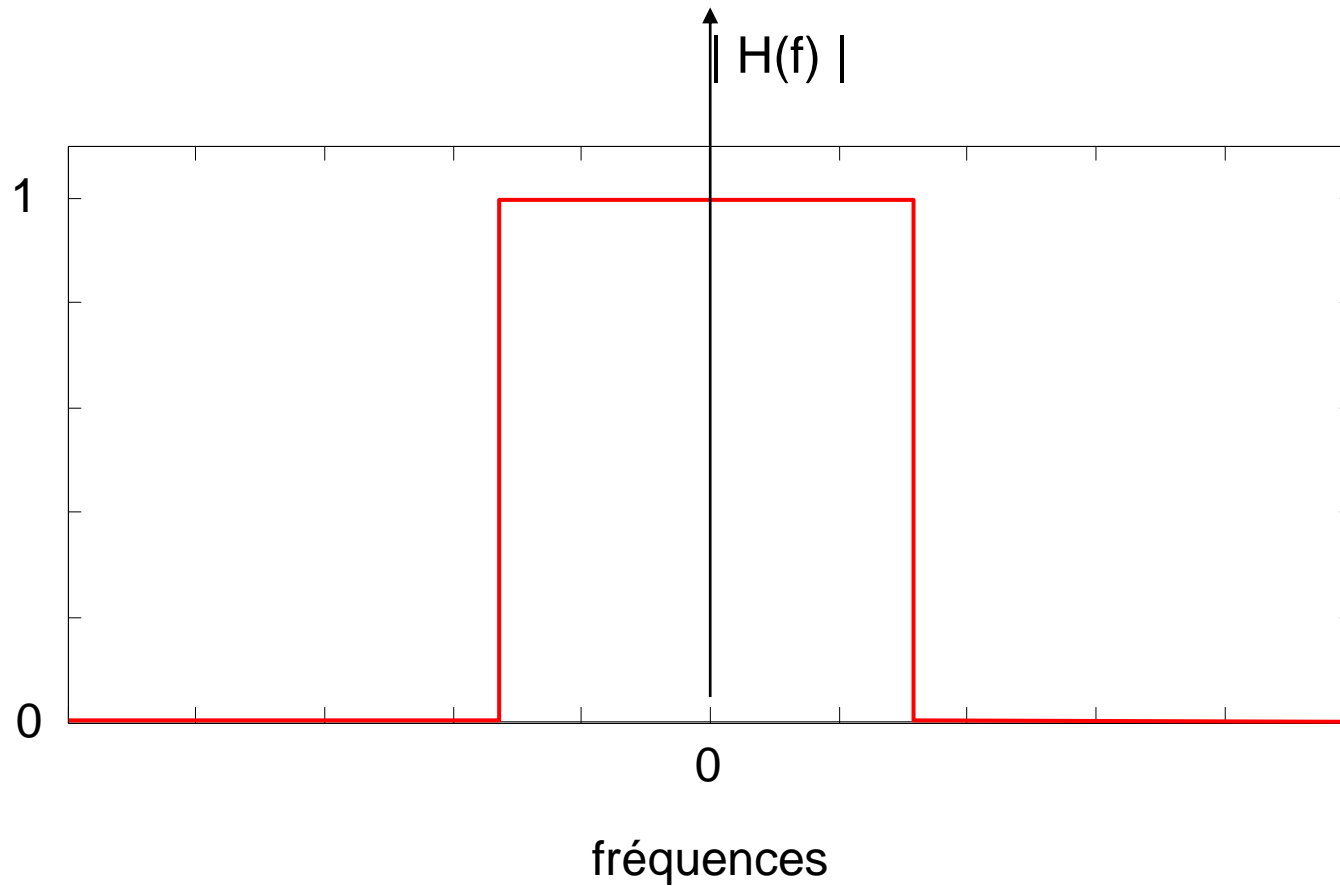
V.2 Gabarits - normalisation - transposition

Filtre Passe Bas parfait ... est il possible ?



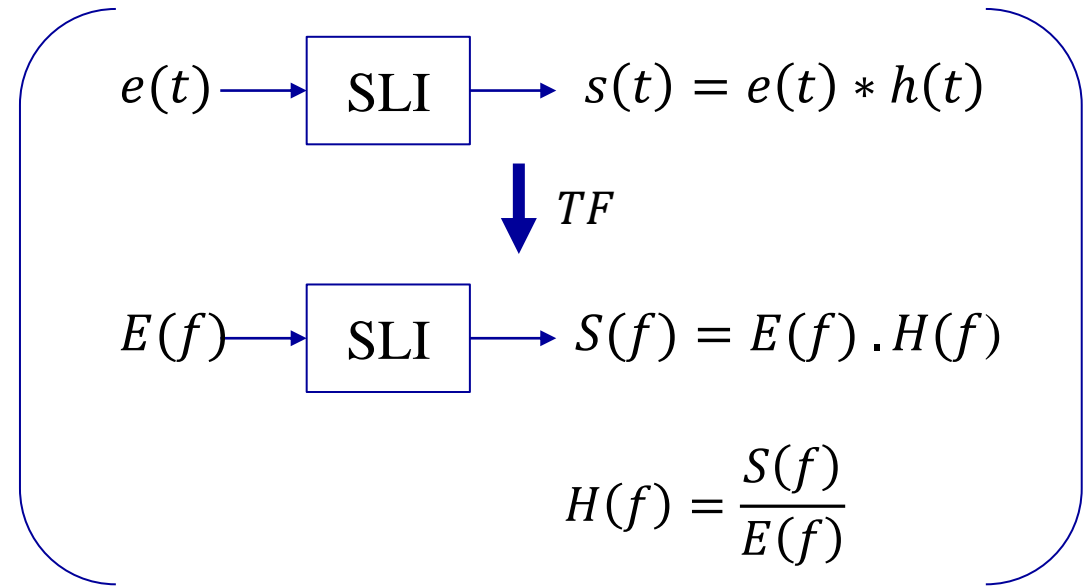
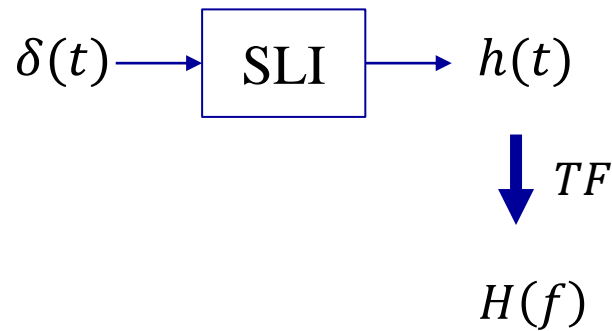
V.2 Gabarits - normalisation - transposition

Filtre Passe Bas parfait ... est il possible ?



V.2 Gabarits - normalisation - transposition

Filtre Passe Bas parfait ... est il possible ?



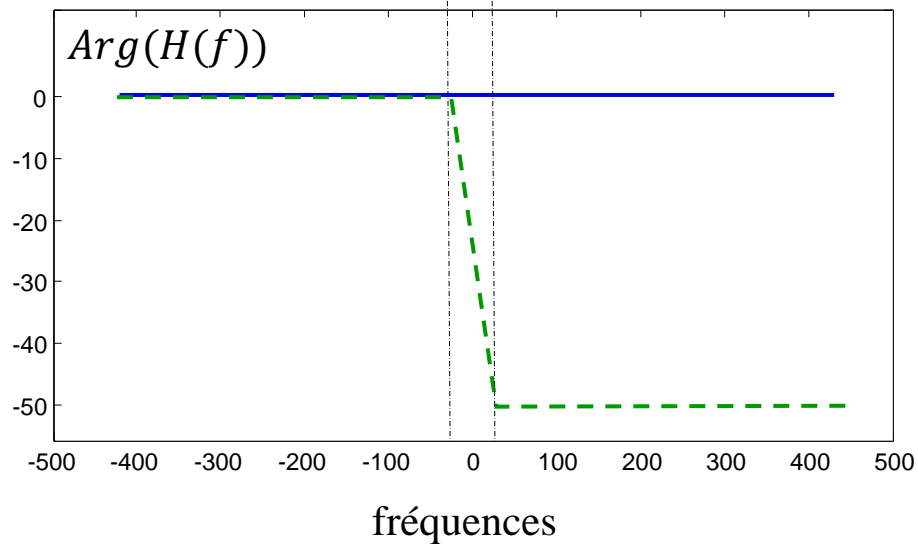
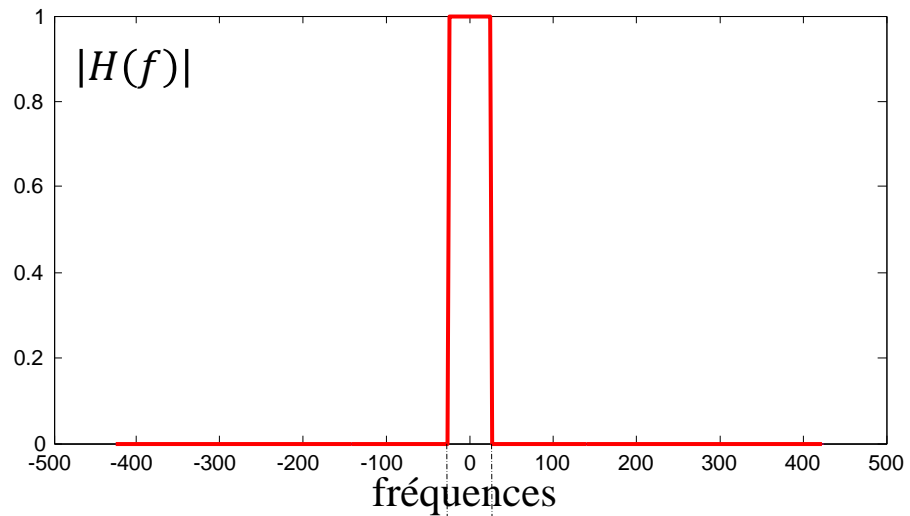
↳ $H(f) = TF^{-1}(h(t))$

Ici, on connaît $|H(f)|$ donc il manque la phase de $H(f)$

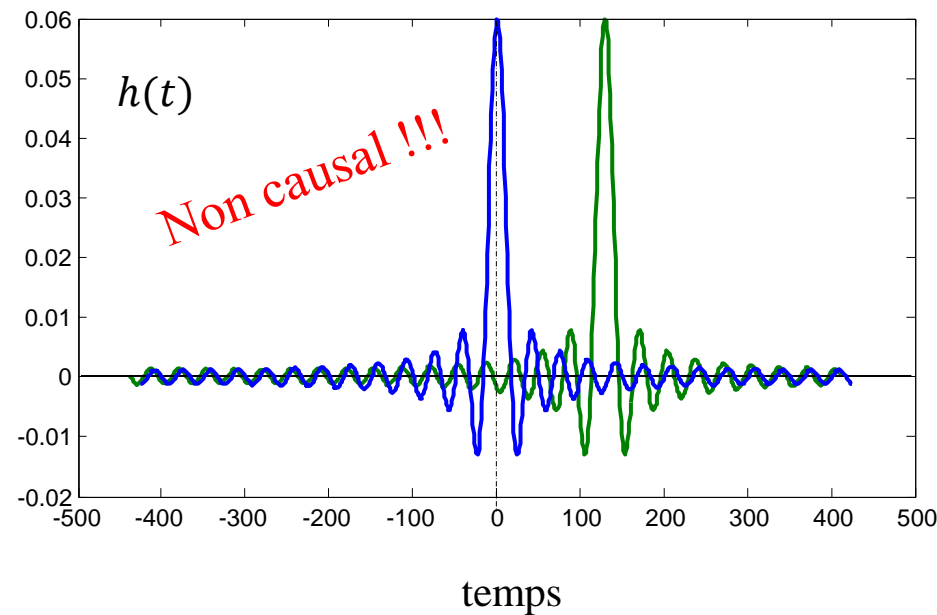
↳ donc on choisit artificiellement une phase de $H(f)$

V.2 Gabarits - normalisation - transposition

Filtre Passe Bas parfait ... est il possible ?



TF⁻¹

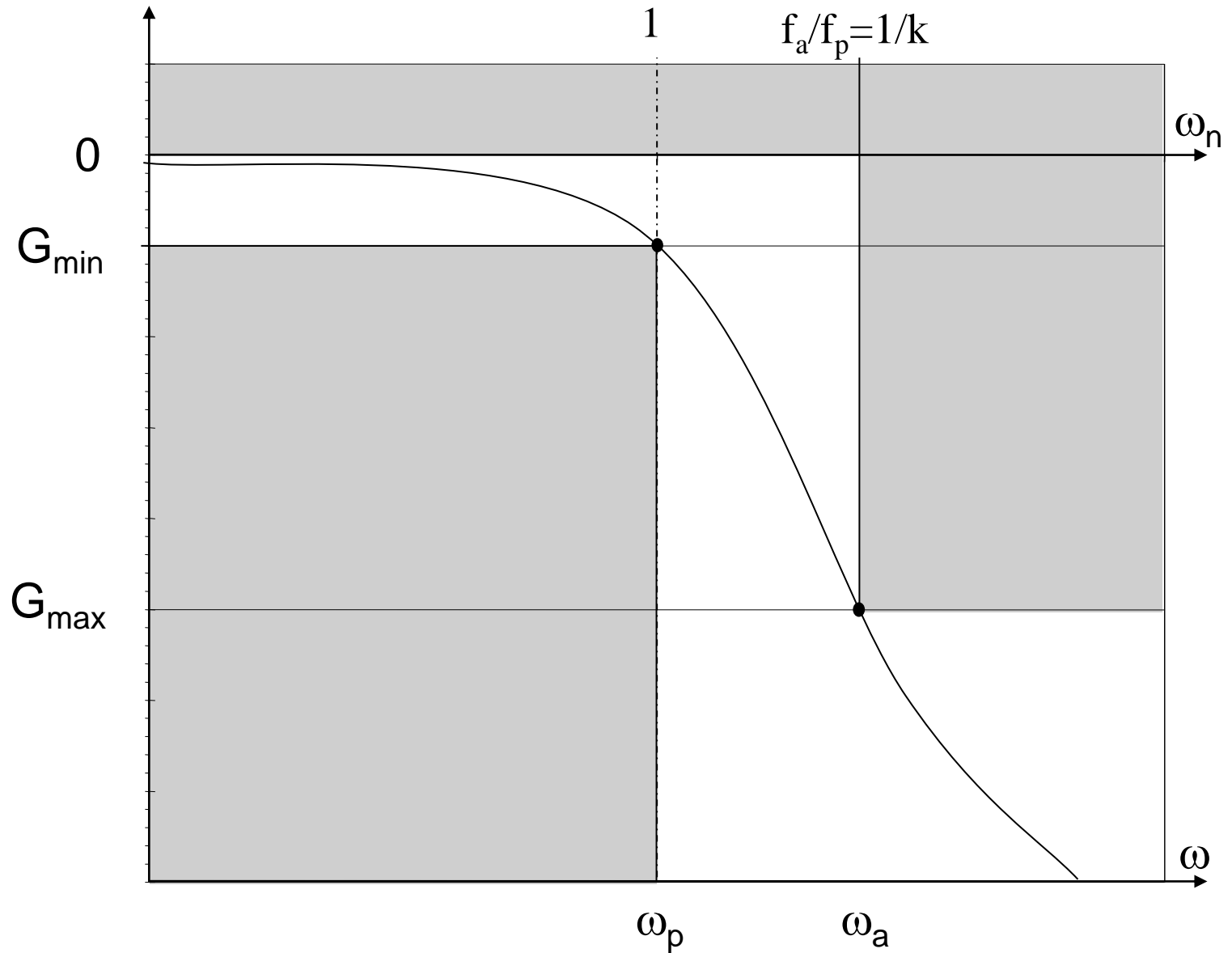


V.2 Gabarits - normalisation - transposition

V.2 Traité au tableau et dans le poly de
cours

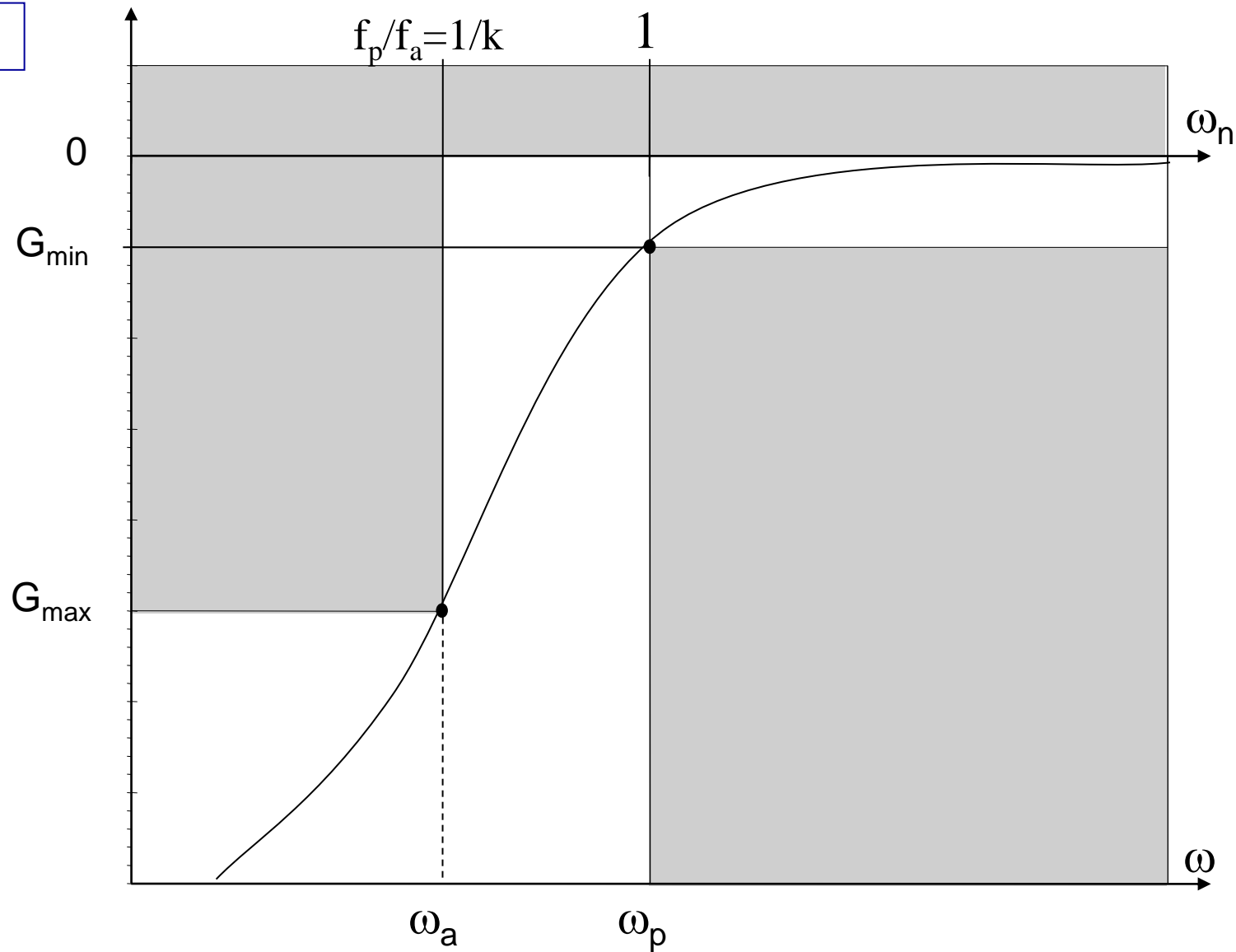
V.2 Gabarits - normalisation - transposition

Passe Bas



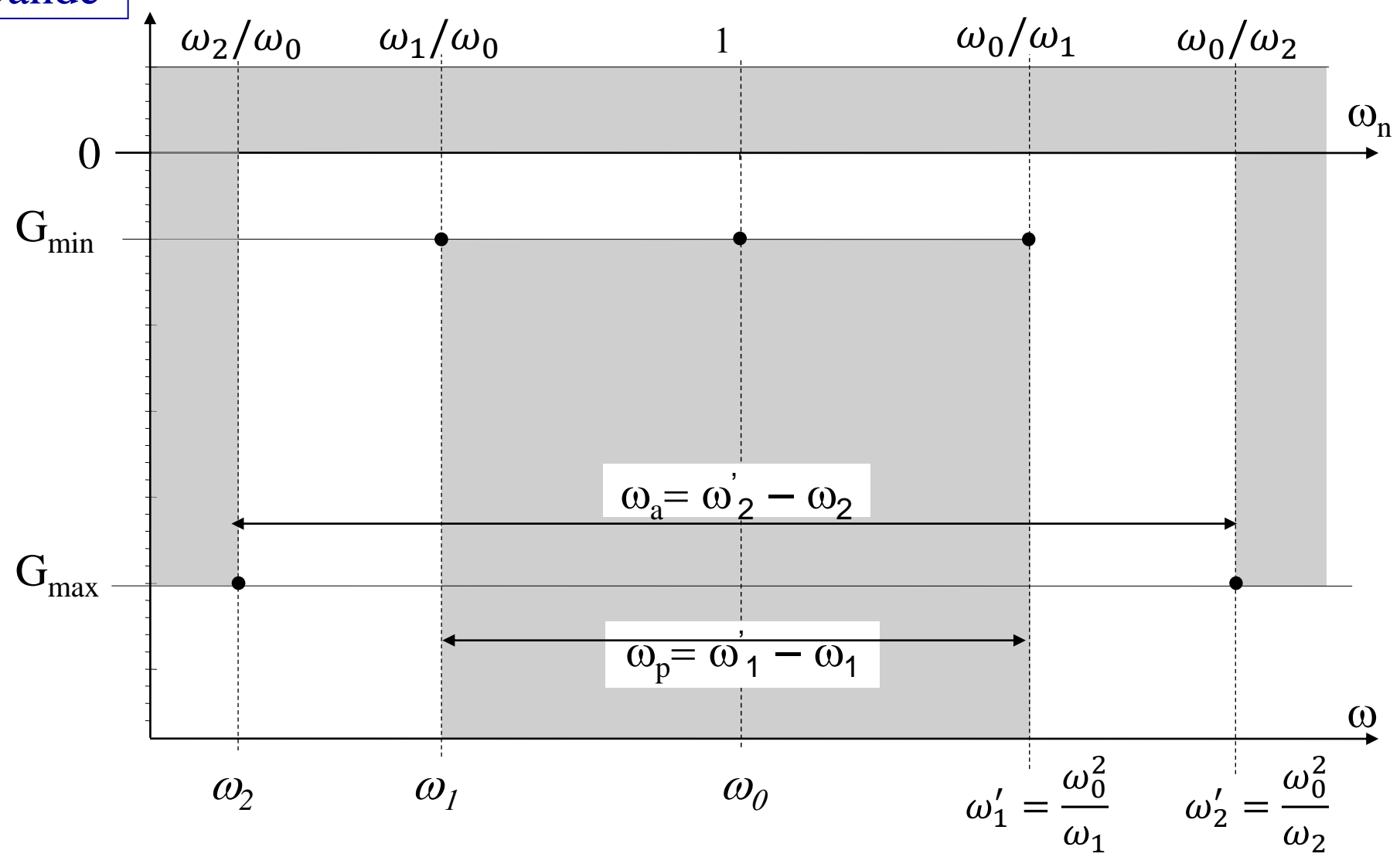
V.2 Gabarits - normalisation - transposition

Passe Haut



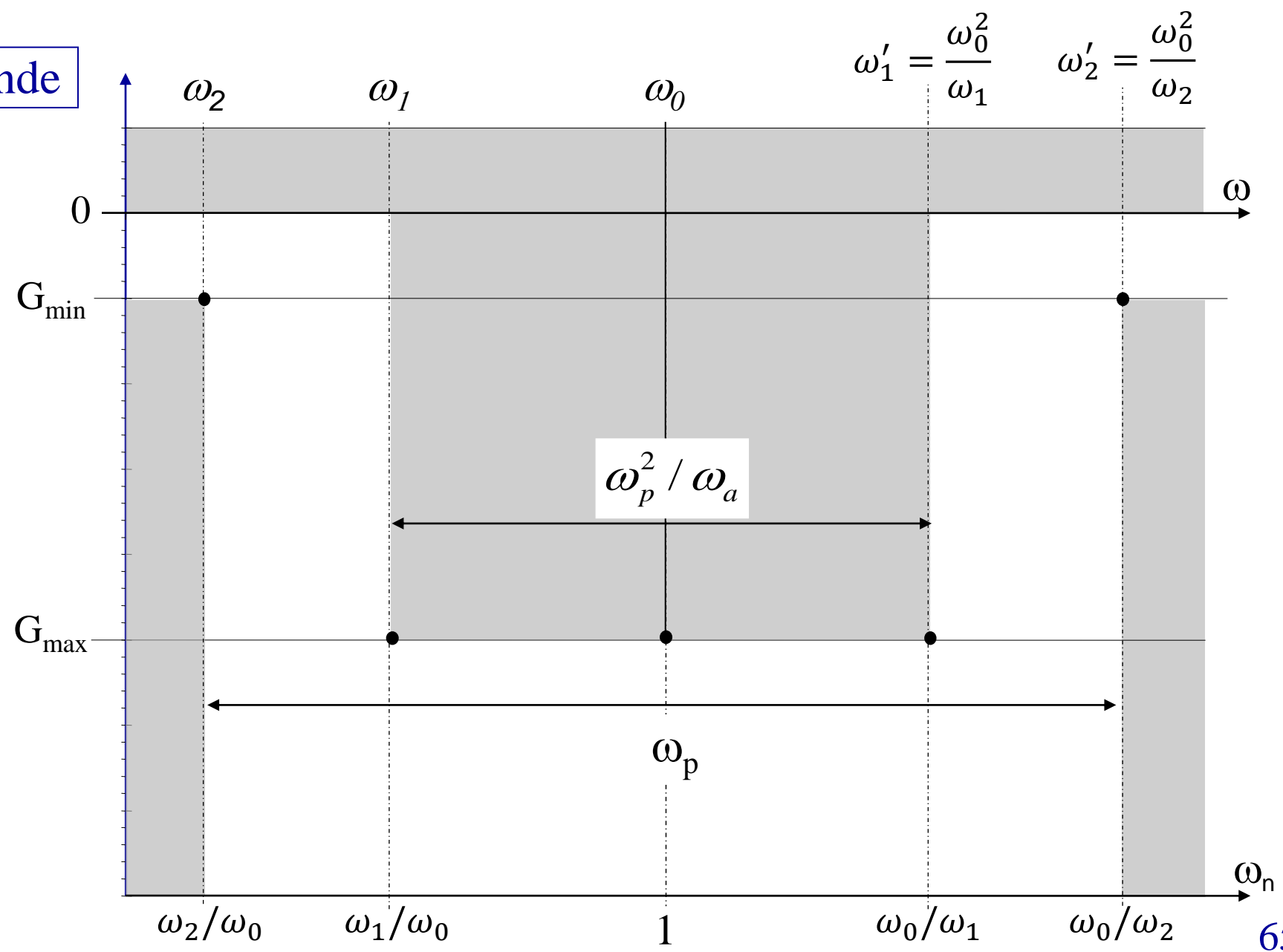
V.2 Gabarits - normalisation - transposition

Passe Bande



V.2 Gabarits - normalisation - transposition

Coupe Bande



V.3 Calcul de la fonction de transfert $H(p)$ à partir du gain $|H(\omega)|$

V.3.A Stabilité des systèmes linéaires

V.3.A Stabilité des systèmes linéaires

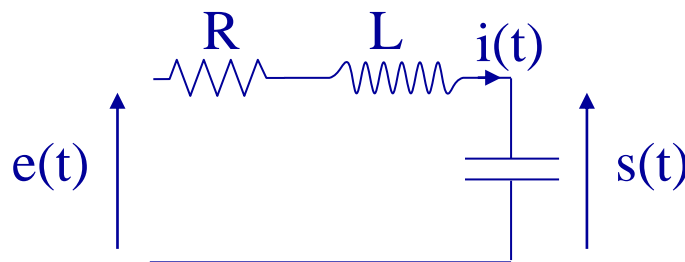


$$b_n \frac{d^n s(t)}{dt^n} + b_{n-1} \frac{d^{n-1} s(t)}{dt^{n-1}} + \dots + b_0 s(t) = a_m \frac{d^m e(t)}{dt^m} + a_{m-1} \frac{d^{m-1} e(t)}{dt^{m-1}} + \dots + a_0 e(t)$$

de fonction de Transfert :

$$H(p) = \frac{S(p)}{E(p)} = \frac{a_m p^m + a_{m-1} p^{m-1} + \dots + a_0}{b_n p^n + b_{n-1} p^{n-1} + \dots + b_0}$$

Par exemple, dans le cas d'un circuit RLC série, on a un système du 2^{ème} ordre



$$e(t) = Ri + L \frac{di}{dt} + s(t)$$

$$i(t) = C \frac{ds}{dt}$$

$$LC \frac{d^2 s(t)}{dt^2} + RC \frac{ds(t)}{dt} + s(t) = e(t)$$

V.3.A Stabilité des systèmes linéaires

Solutions de l'équation différentielle : $LC \frac{d^2 s(t)}{dt^2} + RC \frac{ds(t)}{dt} + s(t) = e(t)$

solution générale : solution de l'équation sans second membre

cad ($e(t)=0$ régime libre)

+ solution particulière : solution de l'équation avec second membre

cad (régime forcé = transitoire + régime permanent)

Stabilité

étude du régime libre, cad étude de la réponse du système avec $e(t)=0$

un système est dit **stable** si $\lim_{t \rightarrow \infty} s(t) = 0$ quand $e(t>0) = 0$

V.3.A Stabilité des systèmes linéaires

$$b_n \frac{d^n s(t)}{dt^n} + b_{n-1} \frac{d^{n-1} s(t)}{dt^{n-1}} + \dots + b_0 s(t) = 0$$

les fonction de la forme $s(t) = e^{pt}$ sont solutions de cette équation différentielle

et on a : $\frac{de^{pt}}{dt} = pe^{pt}$; $\frac{d^2 e^{pt}}{dt^2} = p^2 e^{pt}$; $\frac{d^n e^{pt}}{dt^n} = p^n e^{pt}$

d'où : $b_n p^n e^{pt} + b_{n-1} p^{n-1} e^{pt} + \dots + b_0 e^{pt} = 0$

or : $e^{pt} \neq 0 \quad \forall p, t$

donc : $b_n p^n + b_{n-1} p^{n-1} + \dots + b_0 = 0$ appelée **équation caractéristique**

V.3.A Stabilité des systèmes linéaires

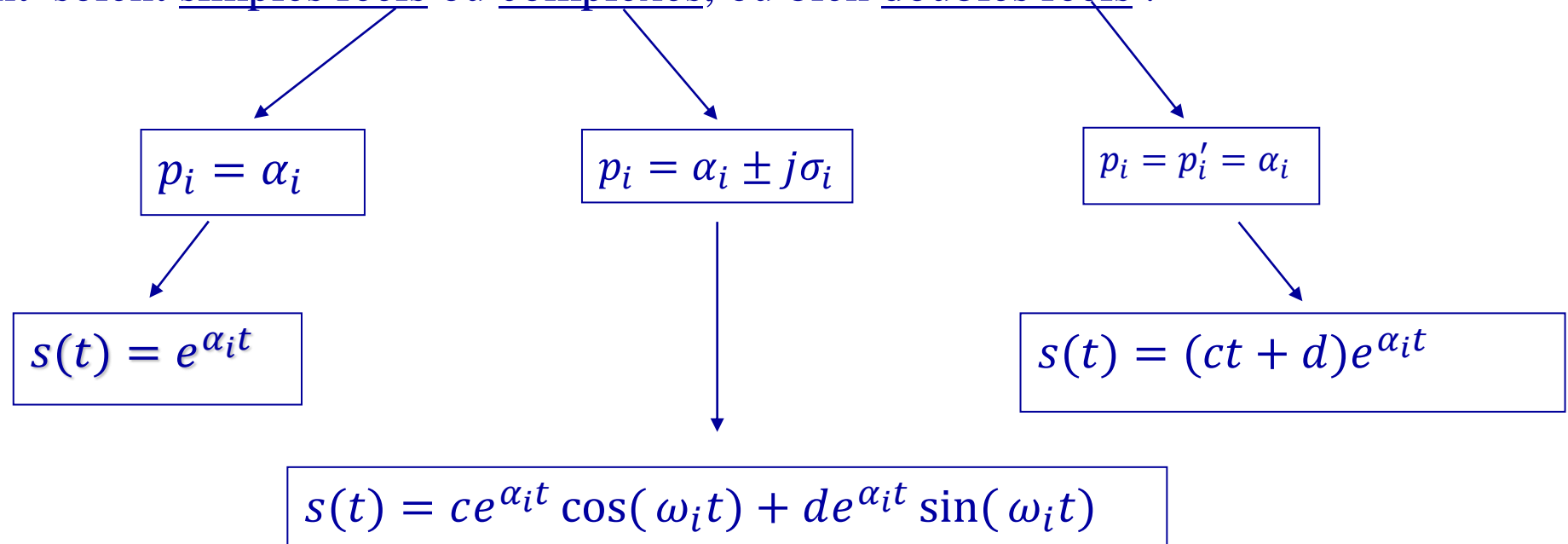
résoudre l'équation différentielle revient donc à trouver les solutions de

l'équation caractéristique : $b_n p^n + b_{n-1} p^{n-1} + \dots + b_0 = 0$

C'est-à-dire les pôles de la fonction de transfert.

Ces pôles sont notées : p_1, p_2, \dots, p_n

sont soient simples réels ou complexes, ou bien doubles réels.



V.3.A Stabilité des systèmes linéaires

Les solutions possibles de l'équation différentielle sont donc :

$$\rightarrow s(t) = e^{\alpha_i t}$$

$$\rightarrow s(t) = ce^{\alpha_i t} \cos(\omega_i t) + de^{\alpha_i t} \sin(\omega_i t)$$

$$\rightarrow s(t) = (ct + d)e^{\alpha_i t}$$

dans tous les cas, réponse stable si : $\alpha_i < 0$

où $\alpha_i = \text{Re}(\text{pôles de } H(p))$

V.3.A Stabilité des systèmes linéaires

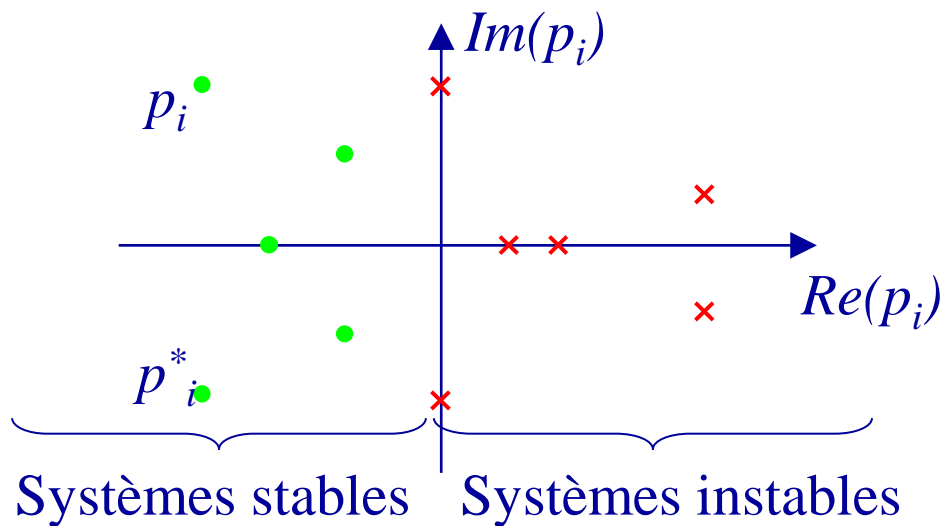


$$b_n \frac{d^n s(t)}{dt^n} + b_{n-1} \frac{d^{n-1} s(t)}{dt^{n-1}} + \dots + b_0 s(t) = a_m \frac{d^m e(t)}{dt^m} + a_{m-1} \frac{d^{m-1} e(t)}{dt^{m-1}} + \dots + a_0 e(t)$$

fonction de transfert $H(p) = \frac{S(p)}{E(p)} = \frac{a_m p^m + a_{m-1} p^{m-1} + \dots + a_0}{b_n p^n + b_{n-1} p^{n-1} + \dots + b_0}$

s(t) stable si les pôles de la fonction de transfert sont à $Re < 0$

Dans le plan complexe



V.3.B Propriétés de $|H(\omega)|$

V.3.B Propriétés de $|H(\omega)|$

propriété de $|H(\omega)|$

$$H(\omega) = H(p) \Big|_{p=j\omega} = \frac{a_m(j\omega)^m + a_{m-1}(j\omega)^{m-1} + \dots + a_0}{b_n(j\omega)^n + b_{n-1}(j\omega)^{n-1} + \dots + b_0} = \frac{N(\omega)}{D(\omega)} \in \mathbb{C}$$

$$D(\omega) = b_0 + b_1j\omega + b_2(j\omega)^2 + b_3(j\omega)^3 + b_4(j\omega)^4 + \dots$$

$$D(\omega) = b_0 - b_2\omega^2 + b_4\omega^4 - \dots + j\omega[b_1 - b_3\omega^2 + b_5\omega^4 - \dots]$$

$$D(\omega) = \underbrace{D_1(\omega^2)} + j\omega \underbrace{D_2(\omega^2)}$$

fct Réelle
paire en ω

fct réelle
paire en ω

impaire en ω

V.3.B Propriétés de $|H(\omega)|$

de même

$$N(\omega) = \underbrace{N_1(\omega^2)}_{\substack{\text{fct Réelle} \\ \text{paire en } \omega}} + j\omega \underbrace{N_2(\omega^2)}_{\substack{\text{fct réelle} \\ \text{paire en } \omega}}$$

$\underbrace{\hspace{10em}}_{\text{impaire en } \omega}$

d'où

$$H(\omega) = \frac{N_1(\omega^2) + j\omega N_2(\omega^2)}{D_1(\omega^2) + j\omega D_2(\omega^2)}$$

V.3.B Propriétés de $|H(\omega)|$

donc

$$|H(\omega)|^2 = \frac{N_1^2(\omega^2) + \omega^2 N_2^2(\omega^2)}{D_1^2(\omega^2) + \omega^2 D_2^2(\omega^2)}$$

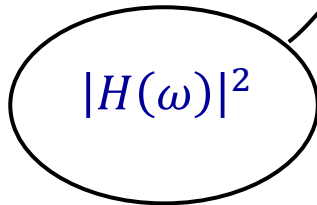
cad

$|H(\omega)|^2$ est une fonction de ω^2 uniquement

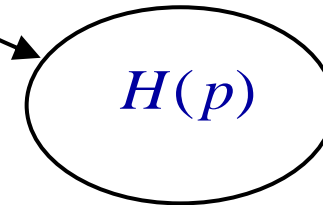
V.3.C Calcul de $H(p)$ à partir de $|H(\omega)|$

V.3.C Calcul de $H(p)$ à partir de $|H(\omega)|$

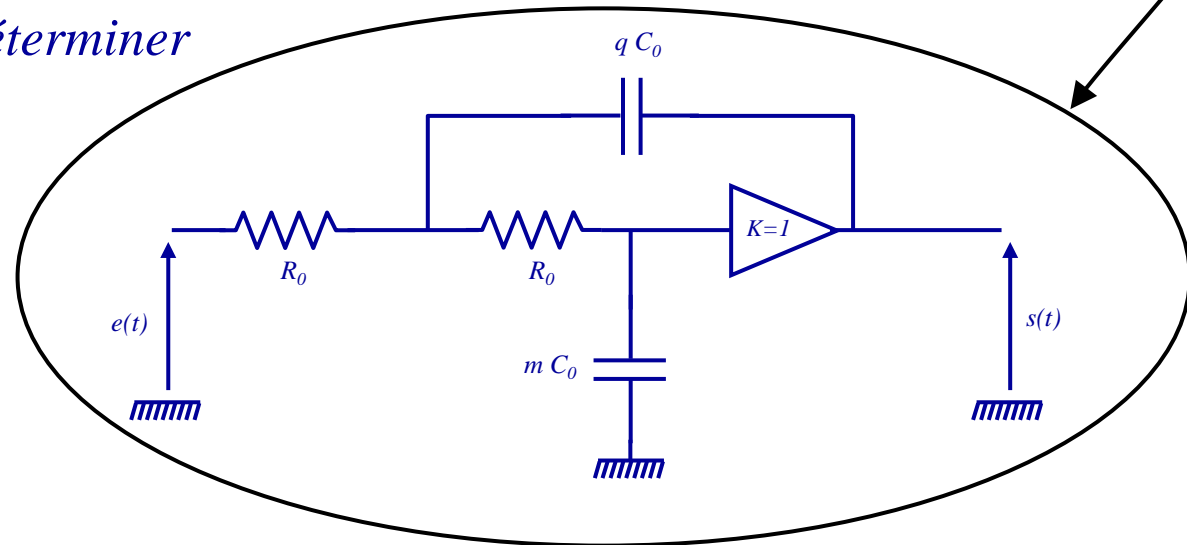
*On connaît ou
on choisit*



On cherche



Pour déterminer



V.3.C Calcul de $H(p)$ à partir de $|H(\omega)|$



$$b_n \frac{d^n s(t)}{dt^n} + b_{n-1} \frac{d^{n-1} s(t)}{dt^{n-1}} + \dots + b_0 s(t) = a_m \frac{d^m e(t)}{dt^m} + a_{m-1} \frac{d^{m-1} e(t)}{dt^{m-1}} + \dots + a_0 e(t)$$

où a_i et b_i sont réels positifs constants dans le temps

La réponse fréquentielle $H(j\omega)$ s'écrit :

$$H(\omega) = H(p) \Big|_{p=j\omega} = \frac{a_m (j\omega)^m + a_{m-1} (j\omega)^{m-1} + \dots + a_0}{b_n (j\omega)^n + b_{n-1} (j\omega)^{n-1} + \dots + b_0} = \frac{N(j\omega)}{D(j\omega)} \in \mathbb{C}$$

V.3.C Calcul de $H(p)$ à partir de $|H(\omega)|$

pôles et zéros de $H(p)$ $H(-p)$

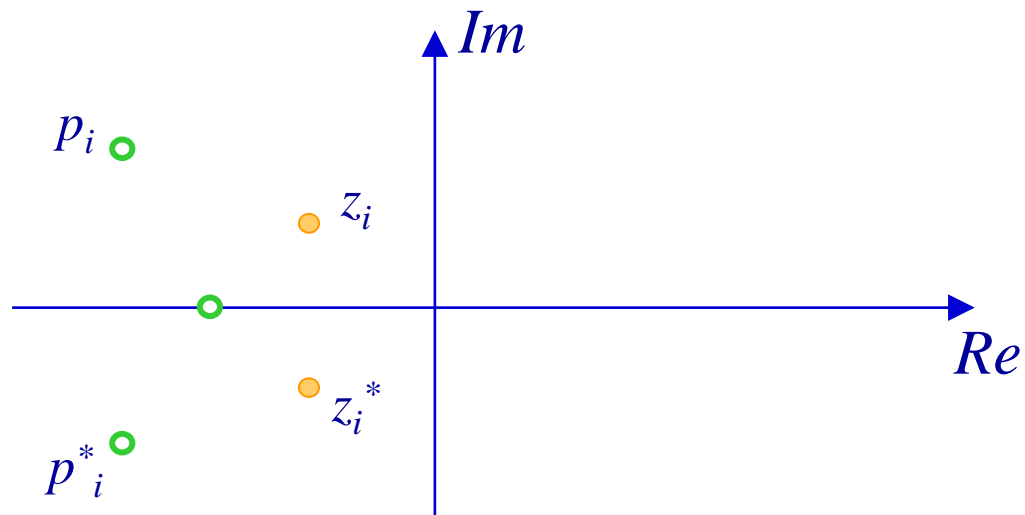
$$H(p) = K \frac{(p - z_1)(p - z_2) \dots (p - z_m)}{(p - p_1)(p - p_2) \dots (p - p_n)}$$

où p_1, p_2, \dots, p_n sont les pôles de $H(p)$ et z_1, z_2, \dots, z_m sont les zéros de $H(p)$

On a vu que :

- les pôles et les zéros de $H(p)$ sont soit réels soit complexes conjugués
- $Re(\text{pôles})$ et $Re(\text{zéros})$ sont négatives (pour stabilité et déphasage minimum)

d'où la répartition suivante :



V.3.C Calcul de $H(p)$ à partir de $|H(\omega)|$

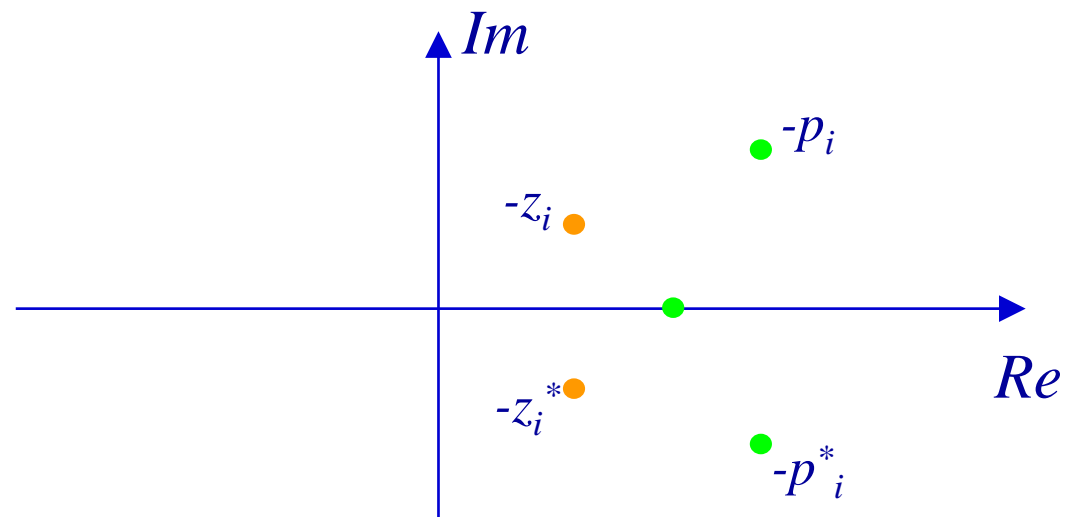
de plus

$$H(-p) = K \frac{(-p - z_1)(-p - z_2) \dots (-p - z_m)}{(-p - p_1)(-p - p_2) \dots (-p - p_n)}$$

cad

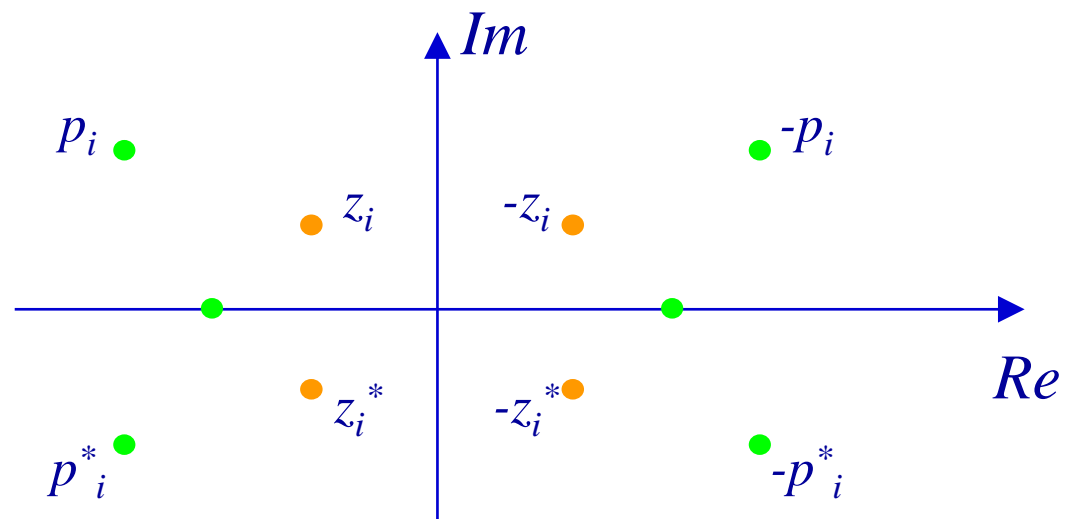
$$H(-p) = K(-1)^{m-n} \frac{(p + z_1)(p + z_2) \dots (p + z_m)}{(p + p_1)(p + p_2) \dots (p + p_n)}$$

donc les pôles et les zéros de $H(-p)$ sont répartis comme ci dessous



V.3.C Calcul de $H(p)$ à partir de $|H(\omega)|$

donc les pôles et les zéros de $H(p)H(-p)$ sont répartis comme ci dessous



V.3.C Calcul de $H(p)$ à partir de $|H(\omega)|$

On sait que : $H(\omega) = H(p)|_{p=j\omega}$

de plus : $H^*(\omega) = H(p)|_{p=-j\omega} = H(-p)|_{p=j\omega}$

donc $H(\omega)H^*(\omega) = |H(\omega)|^2 = [H(p)H(-p)]|_{p=j\omega}$

mais comme $|H(\omega)|^2$ n'est fonction que de ω^2 et que $\omega^2 = -p^2$

alors

$$H(p)H(-p) = |H(\omega^2)|_{\omega^2=-p^2}$$

V.3.C Calcul de $H(p)$ à partir de $|H(w)|$

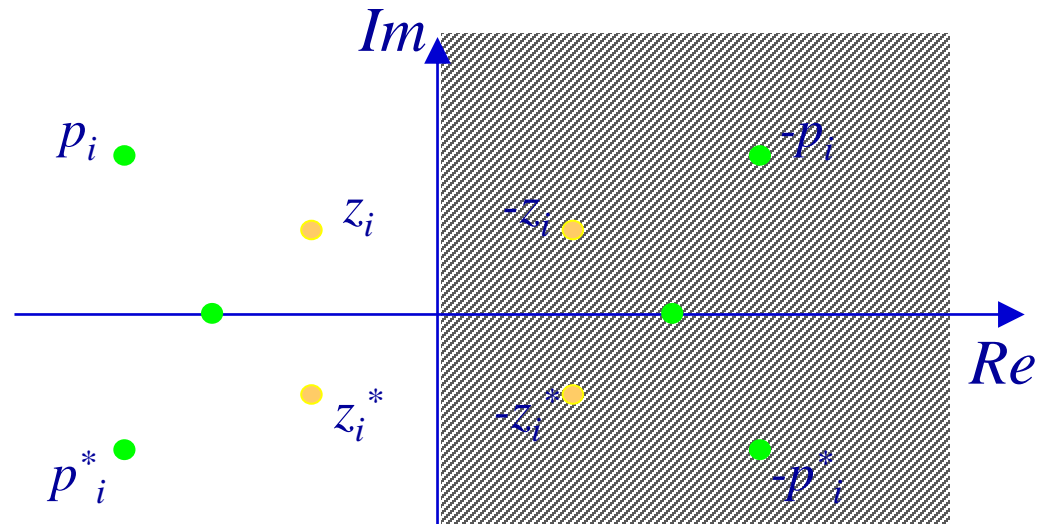
donc

$$H(p) H(-p) = |H(\omega^2)|_{\omega^2 = -p^2}$$

inconnu

connu

$H(p) H(-p)$ possède les pôles et les zéros suivants



On cherche $H(p)$ stable et à déphasage minimum

On ne garde que ces pôles et zéros que l'on associe à $H(p)$

On élimine ces pôles et zéros que l'on associe à $H(-p)$

V.3.C Calcul de $H(p)$ à partir de $|H(\omega)|$

$$\text{par ex : } |H(\omega)|^2 = \frac{1}{1+2\omega^4}$$

$$\text{d'où } H(p)H(-p) = |H(\omega)|^2 \Big|_{\omega^2=-p^2} = \frac{1}{1+2(-p^2)^2}$$

$$\text{cad } H(p)H(-p) = \frac{1}{1+2p^4}$$

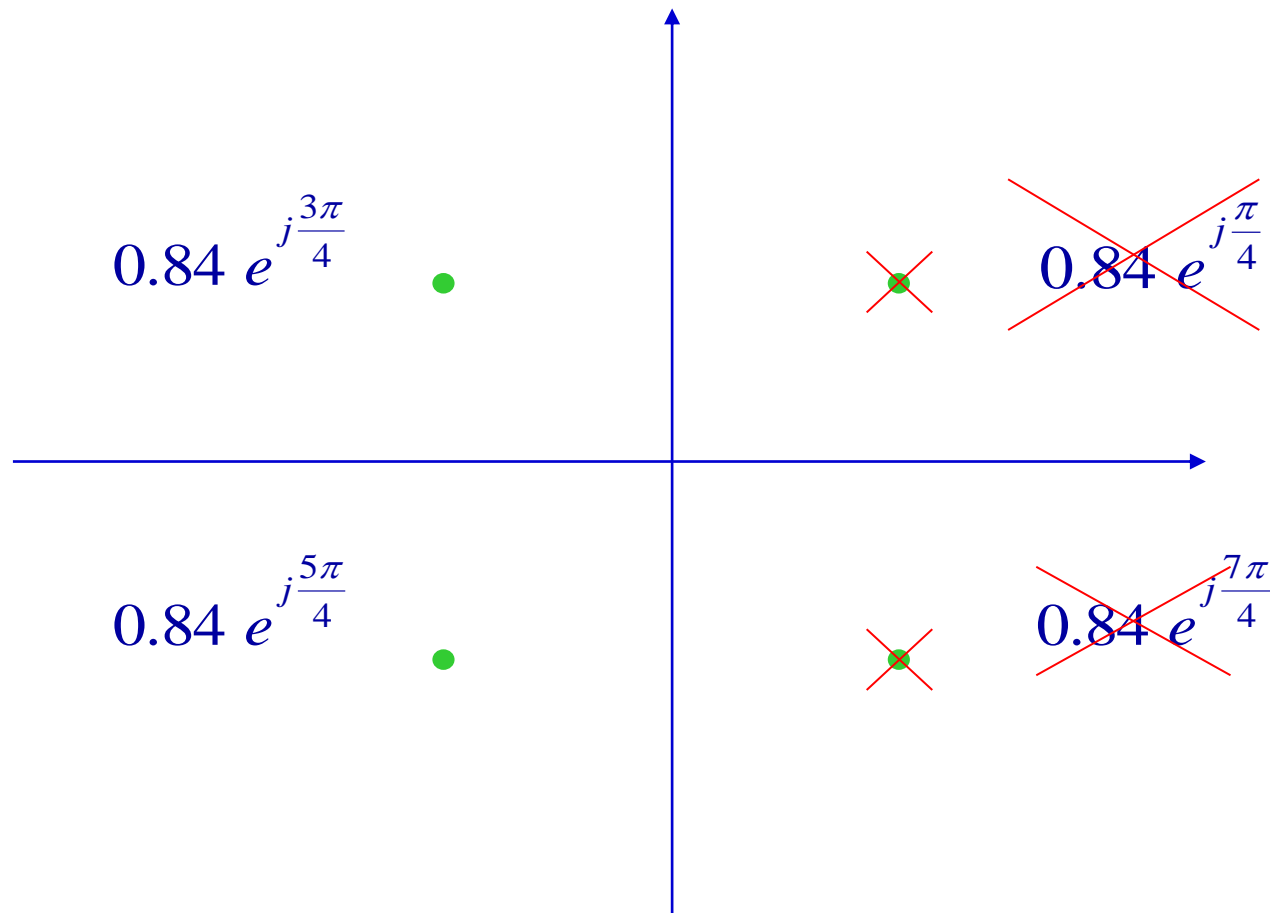
recherche des pôles et des zéros :

- pas de zéro

$$\text{- pôles : } 1+2p^4 = 0 \quad \text{cad } p^4 = -0.5 = -0.5 e^{j2k\pi} = 0.5 e^{j(2k+1)\pi}$$

$$\text{cad } p = 0.84 e^{j(2k+1)\frac{\pi}{4}}$$

V.3.C Calcul de $H(p)$ à partir de $|H(w)|$



cad

$$H(p) = \frac{K}{(p - 0.84e^{j\frac{3\pi}{4}})(p - 0.84e^{j\frac{5\pi}{4}})}$$

V.3.C Calcul de $H(p)$ à partir de $|H(w)|$

$$H(p) = \frac{K}{(p - 0.84e^{j\frac{3\pi}{4}})(p - 0.84e^{j\frac{5\pi}{4}})}$$

cad

$$H(p) = \frac{K}{p^2 + 0.84\sqrt{2}p + \sqrt{0.5}}$$

Et on peut choisir

$$K = \sqrt{0.5}$$

*Pour obtenir une fct normalisée
(gain max = 1)*

donc

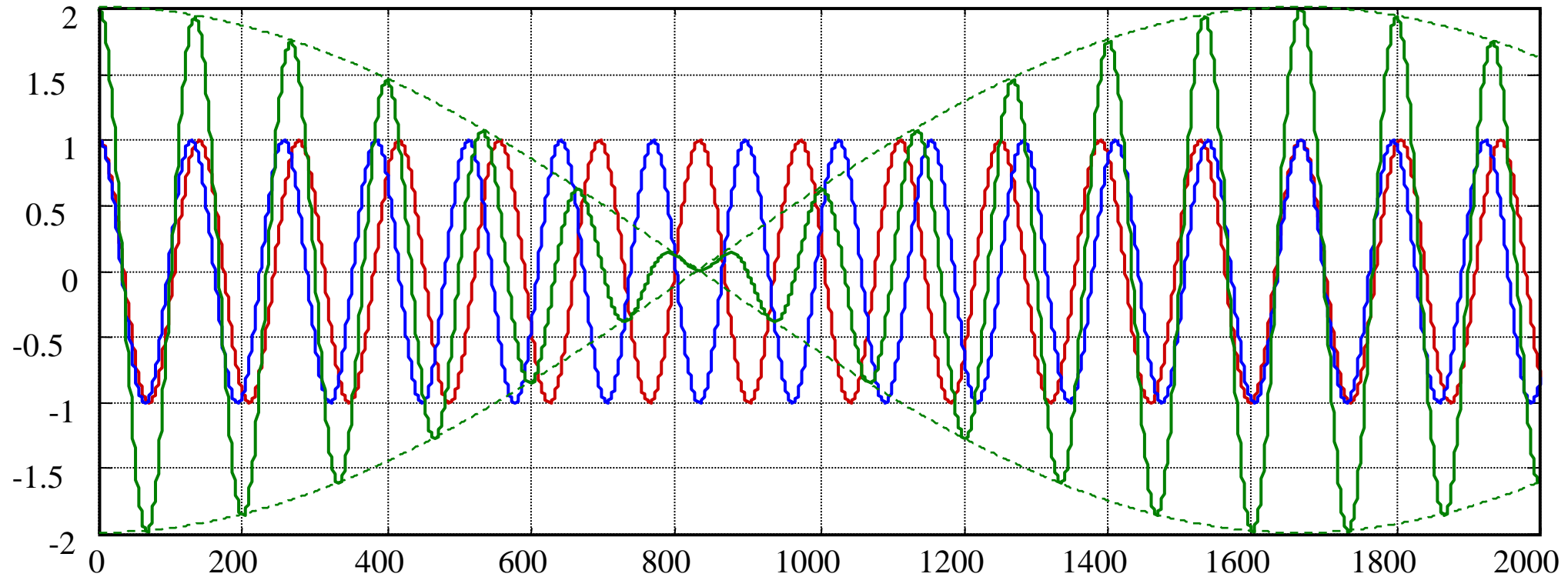
$$|H(\omega)|^2 = \frac{1}{1 + 2\omega^4}$$

$$H(p) = \frac{K}{p^2 + 0.84\sqrt{2}p + \sqrt{0.5}}$$

V.4 Filtres Prototypes

V.4.A Distorsion des signaux

V.4.A Distorsion des signaux - Temps de propagation de groupe

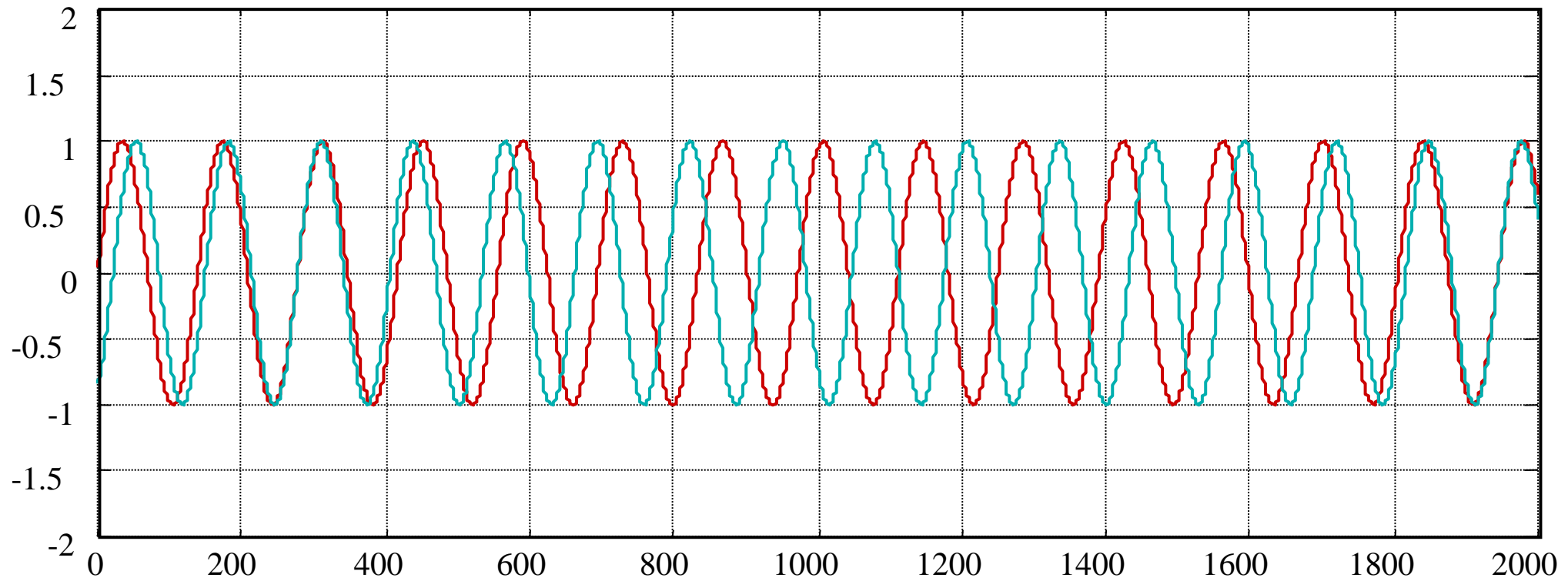


$$e(t) = \cos(\omega_0 - d\omega)t + \cos(\omega_0 + d\omega)t$$

$$e(t) = 2 \cos \left[\frac{(\omega_0 - d\omega) + (\omega_0 + d\omega)}{2} t \right] \cos \left[\frac{(\omega_0 - d\omega) - (\omega_0 + d\omega)}{2} t \right]$$

$$e(t) = 2 \cos \left[\omega_0 t \right] \cos \left[d\omega t \right]$$

V.4.A Distorsion des signaux - Temps de propagation de groupe



$$s(t) = \cos\left[(\omega_0 - d\omega)t + \varphi_{(\omega_0 - d\omega)}\right] + \cos\left[(\omega_0 + d\omega)t + \varphi_{(\omega_0 + d\omega)}\right]$$

V.4.A Distorsion des signaux - Temps de propagation de groupe

$$s(t) = \cos\left((\omega_0 - d\omega)t + \varphi_{(\omega_0 - d\omega)}\right) + \cos\left((\omega_0 + d\omega)t + \varphi_{(\omega_0 + d\omega)}\right)$$

$$s(t) = 2 \cos\left(\omega_0 t + \frac{\varphi_{(\omega_0 - d\omega)} + \varphi_{(\omega_0 + d\omega)}}{2}\right) \cos\left(d\omega t + \frac{\varphi_{(\omega_0 + d\omega)} - \varphi_{(\omega_0 - d\omega)}}{2}\right)$$

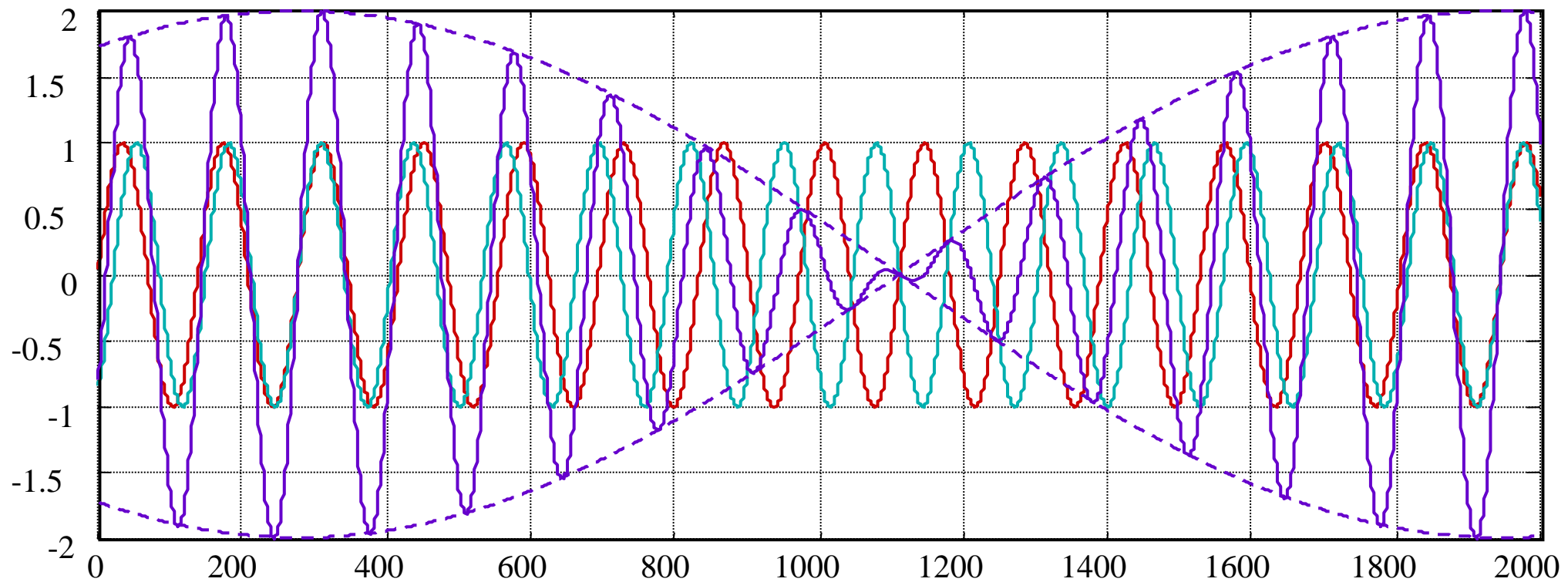
$$\varphi_{(\omega_0 + d\omega)} = \varphi_{(\omega_0)} + \left. \frac{d\varphi}{d\omega} \right|_{\omega_0} d\omega$$

$$\varphi_{(\omega_0 - d\omega)} = \varphi_{(\omega_0)} - \left. \frac{d\varphi}{d\omega} \right|_{\omega_0} d\omega$$



$$s(t) = 2 \cos(\omega_0 t + \varphi_{(\omega_0)}) \cos\left(d\omega t + \left. \frac{d\varphi}{d\omega} \right|_{\omega_0} d\omega\right)$$

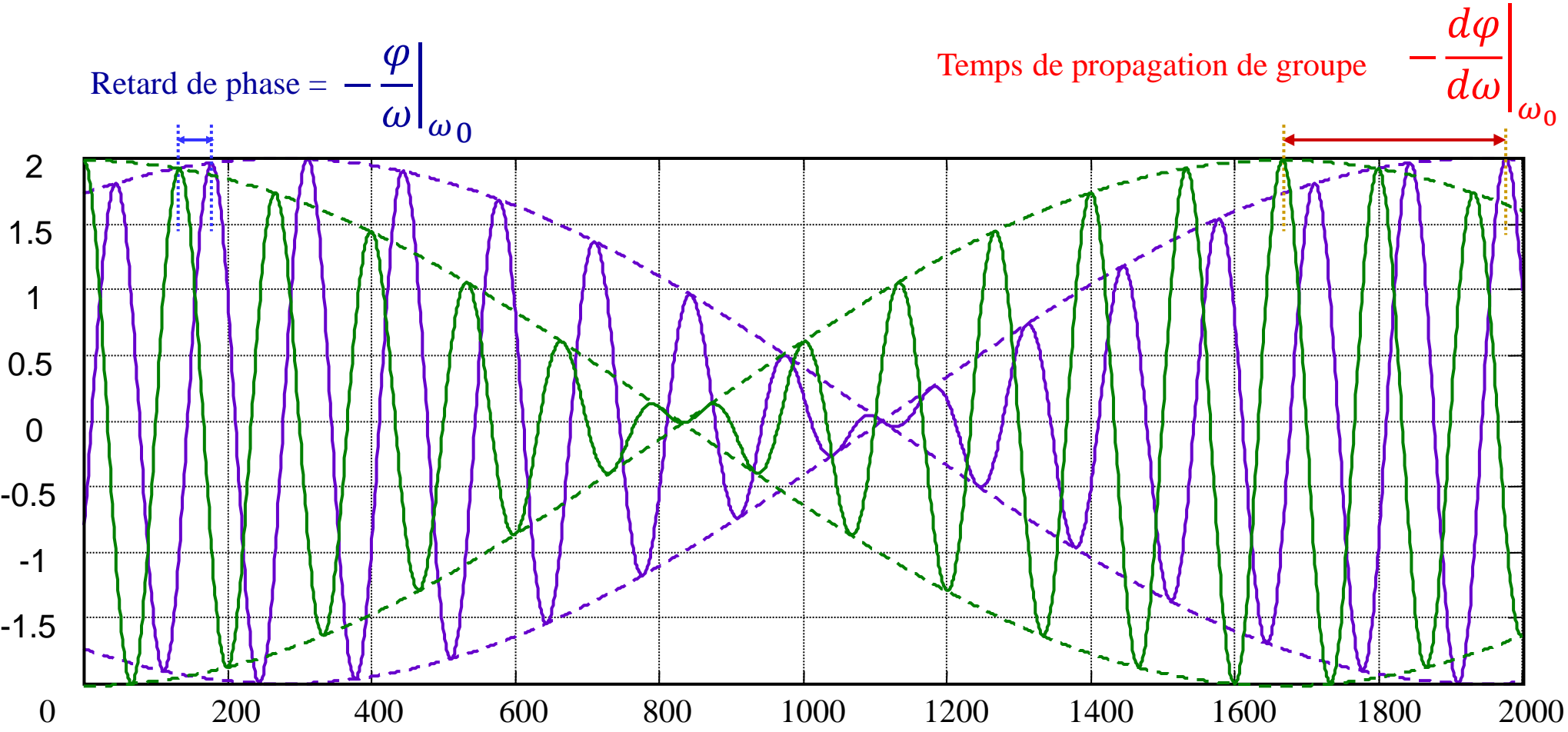
V.4.A Distorsion des signaux - Temps de propagation de groupe



$$s(t) = 2 \cos[\omega_0 t + \varphi(\omega_0)] \quad \cos \left[d\omega t + \left. \frac{d\varphi}{d\omega} \right|_{\omega_0} d\omega \right]$$

$$s(t) = 2 \cos \left[\omega_0 \left(t + \frac{\varphi(\omega_0)}{\omega_0} \right) \right] \quad \cos \left[d\omega \left(t + \left. \frac{d\varphi}{d\omega} \right|_{\omega_0} \right) \right]$$

V.4.A Distorsion des signaux - Temps de propagation de groupe



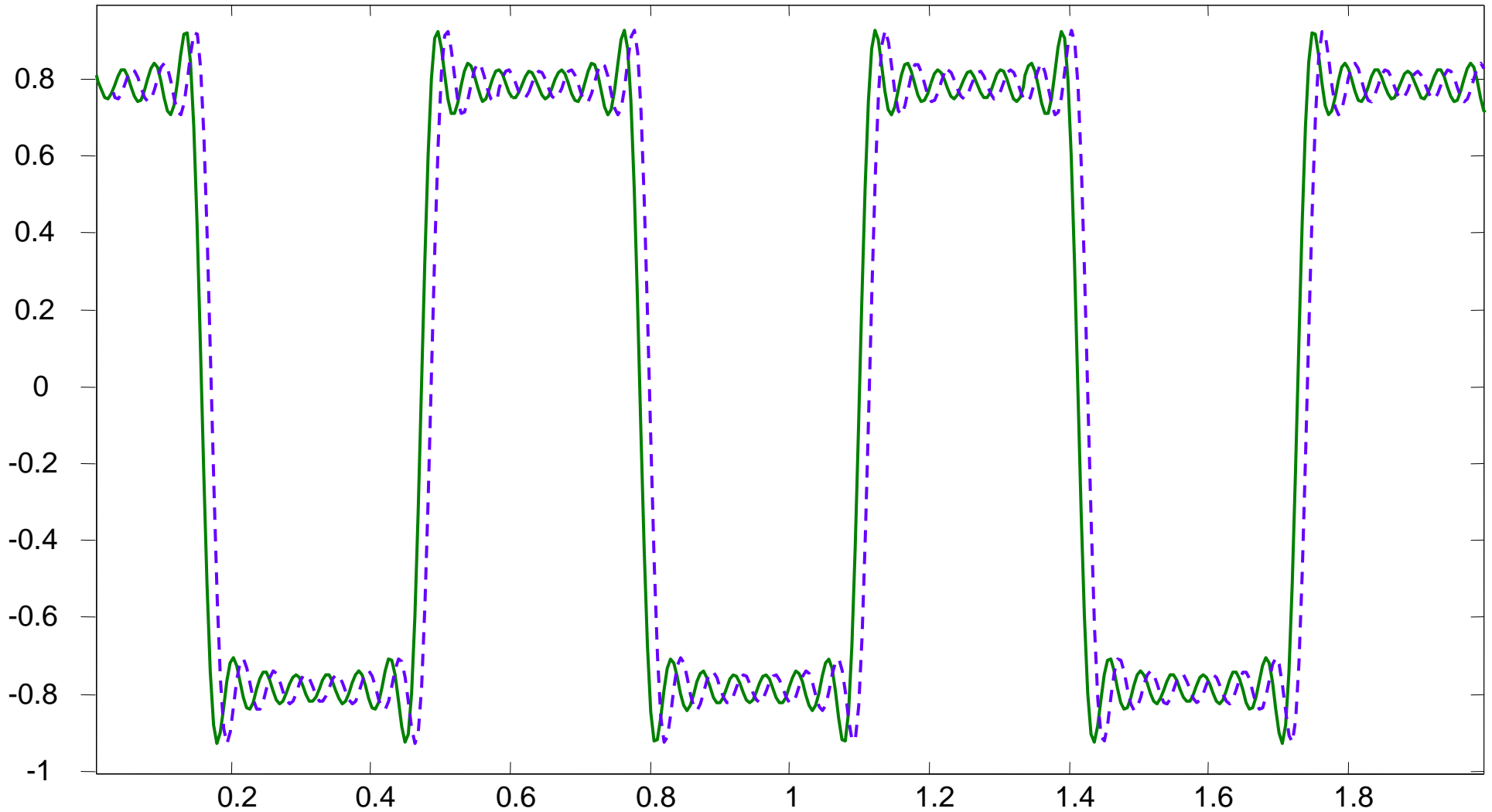
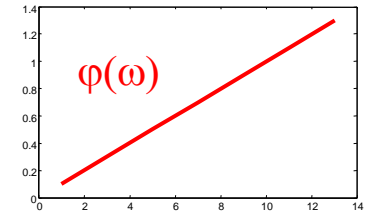
$$e(t) = 2 \cos(\omega_0 t) \cos(d\omega t)$$

$$s(t) = 2 \cos\left(\omega_0\left(t + \frac{\varphi}{\omega}\Big|_{\omega_0}\right)\right) \cos\left(d\omega\left(t + \frac{d\varphi}{d\omega}\Big|_{\omega_0}\right)\right)$$

V.4.A Distorsion des signaux - Temps de propagation de groupe

Carré initial

Carré filtré avec déphasage linéaire en fct fréq

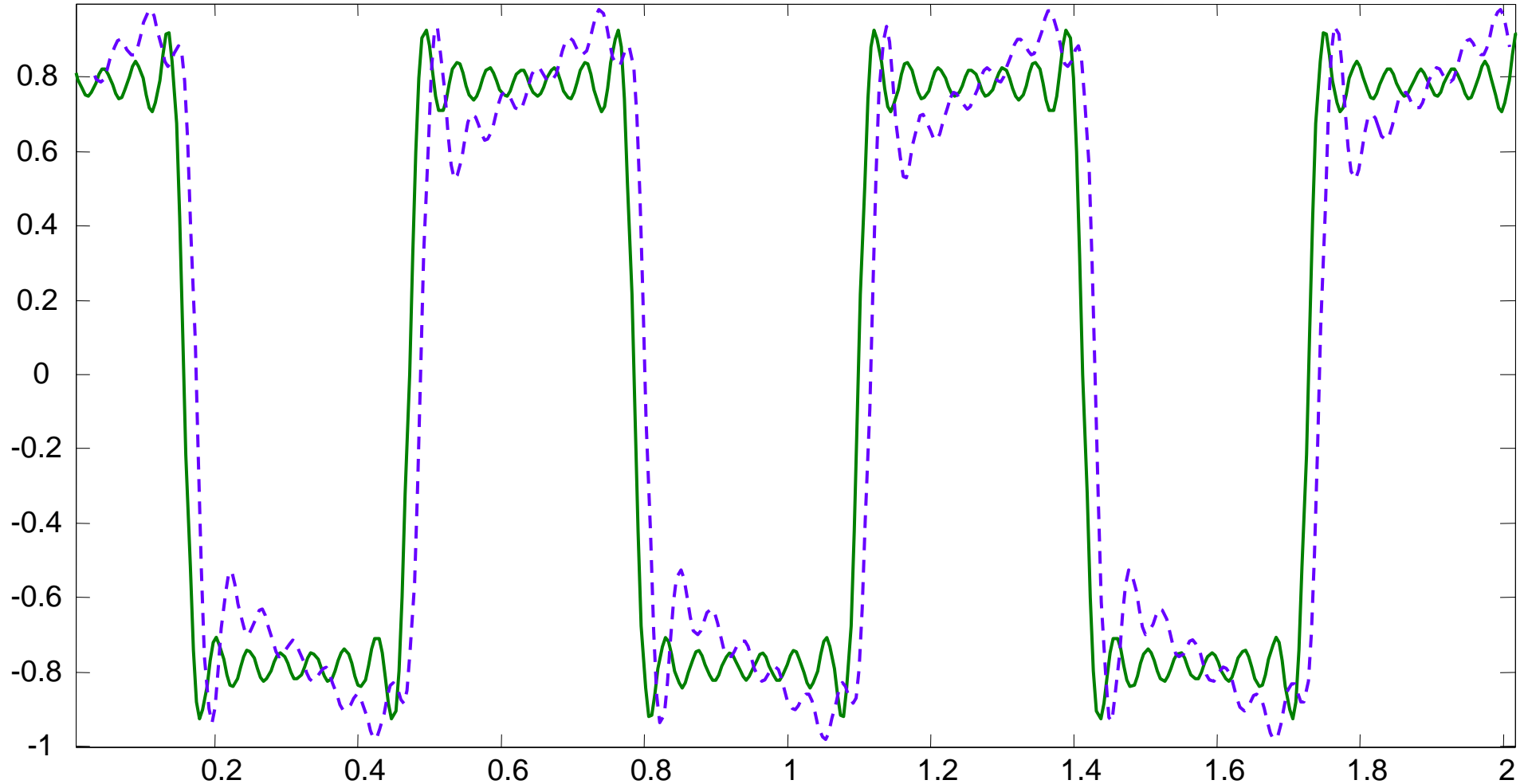
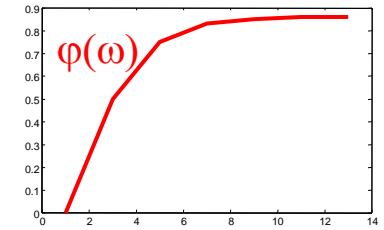


V.4.A Distorsion des signaux - Temps de propagation de groupe

Carré initial

Carré filtré avec déphasage NON linéaire en fct fréq

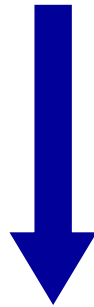
→ Déformation



V.4.A Distorsion des signaux - Temps de propagation de groupe

si phase est une fonction linéaire de la fréquence

cad si $\frac{d\varphi}{d\omega} = \text{constante en fonction de la fréquence}$



Pas de déformation des signaux qui traversent les filtres

V.4.B Filtres de Butterworth

V.4.B Filtres de Butterworth

$$|H(\omega)|^2 = \frac{1}{a_n \omega^{2n} + 1}$$

On choisit -3dB comme de gain de référence

cad que ce filtre doit posséder un gain de -3dB à la fréquence de référence $\omega_p = 1$

cad $G(\omega = \omega_p) = -3dB$ Ou encore $|H(\omega_p)|^2 = \frac{1}{a_n \omega_p^{2n} + 1} = \frac{1}{2}$



$$a_n = 1 / \omega_p^{2n}$$

d'où $|H(\omega)|^2 = \frac{1}{\frac{\omega^{2n}}{\omega_p^{2n}} + 1}$

en fréquence normalisée, on a $\omega_n = \frac{\omega}{\omega_p}$ donc on remplace ω par $(\omega_n \omega_p)$



$$\boxed{|H(\omega_n)|^2 = \frac{1}{\omega_n^{2n} + 1}}$$

V.4.B Filtres de Butterworth

Calcul de la fonction de transfert $H(p_n)$

$$H(p_n) H(-p_n) = |H(\omega_n)|^2 \Big|_{\omega_n^2 = -p_n^2}$$

$$H(p_n) H(-p_n) = \frac{1}{\omega_n^{2n} + 1} \Big|_{\omega_n^2 = -p_n^2}$$

$$H(p_n) H(-p_n) = \frac{1}{(-p_n^2)^n + 1} = \frac{1}{(-1)^n p_n^{2n} + 1}$$

On cherche les pôles de $H(p_n) H(-p_n)$

$$(-1)^n p_n^{2n} + 1 = 0$$

V.4.B Filtrés de Butterworth

Prenons par exemple une fonction d'ordre 2

$$H(p_n)H(-p_n) = \frac{1}{(-1)^2 p_n^4 + 1}$$

pôles $p_n^4 + 1 = 0$

cad $p_n^4 = -1$

donc $p_n^4 = e^{j(\pi+2k\pi)} = e^{j(2k+1)\pi}$

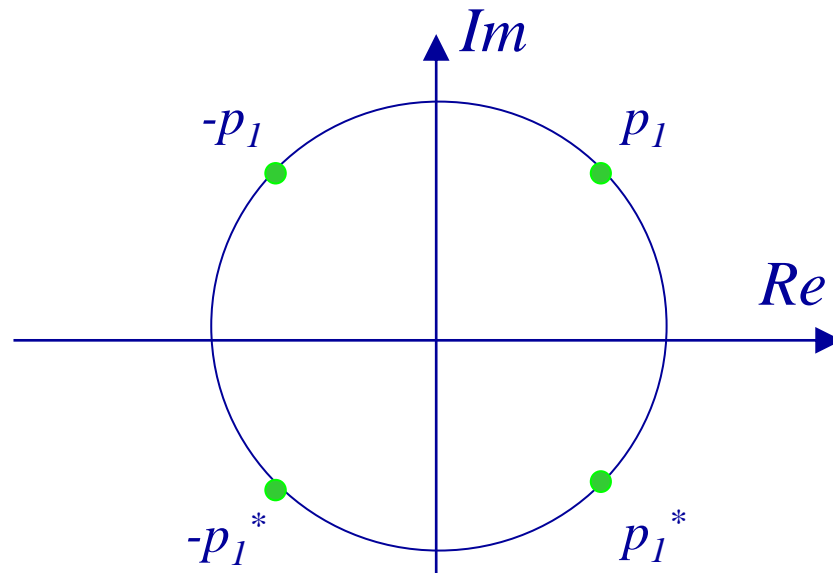
donc $p_n = e^{j(2k+1)\pi/4}$

donc $p_n = e^{j\pi/4} ; e^{j3\pi/4} ; e^{j5\pi/4} ; e^{j7\pi/4}$

V.4.B Filtrés de Butterworth

qui se répartissent comme suit :

$$p_1 = e^{j\pi/4} ; \quad -p_1 = e^{j3\pi/4} ; \quad -p_1^* = e^{j5\pi/4} ; \quad p_1^* = e^{j7\pi/4}$$

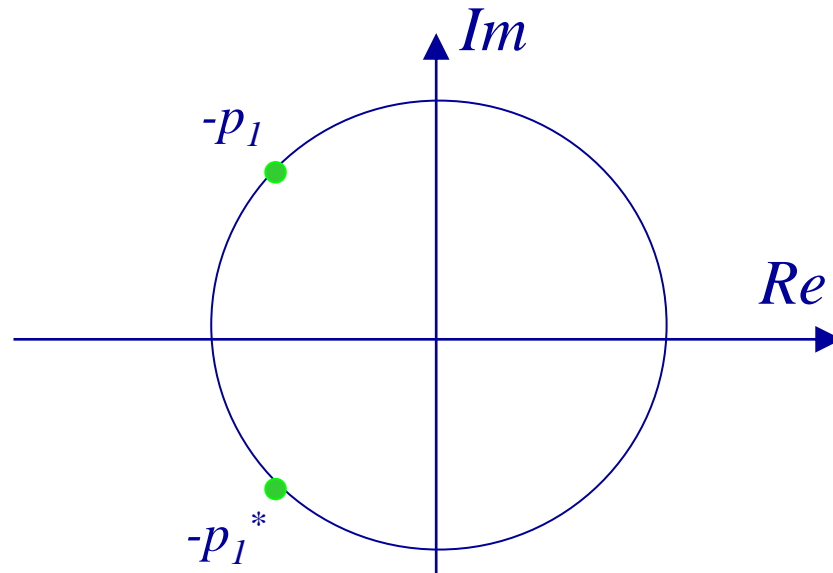


Pour calculer $H(p)$ on ne doit garder que les pôles à partie réelle négative

V.4.B Filtrés de Butterworth

$$; \quad -p_1 = e^{j3\pi/4} ;$$

$$; \quad p_1^* = e^{j7\pi/4}$$



et $H(p_n)$ vaut :

$$H(p_n) = \frac{K}{(p_n - e^{j3\pi/4})(p_n - e^{j5\pi/4})}$$

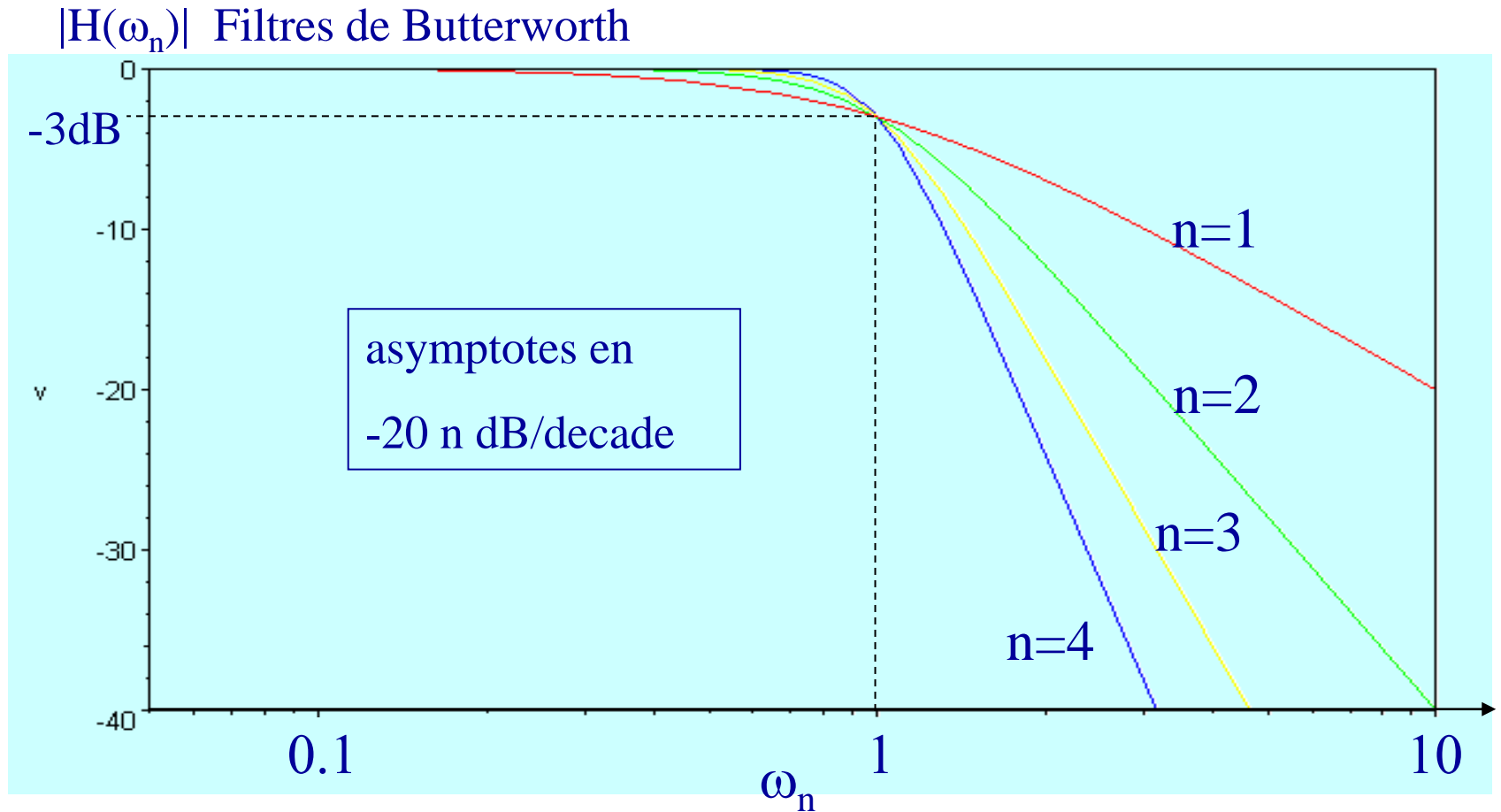
cad

$$H(p_n) = \frac{1}{1 + \sqrt{2} p_n + p_n^2}$$

V.4.B Filtrés de Butterworth

n	$1/H(p_n)$
1	p_n+1
2	$p_n^2+1,414p_n+1$
3	$(p_n+1)(p_n^2+p_n+1)$
4	$(p_n^2+0,7654p_n+1)(p_n^2+1,8478p_n+1)$
5	$(p_n+1)(p_n^2+0,6180p_n+1)(p_n^2+1,6180p_n+1)$
6	$(p_n^2+0,5176p_n+1)(p_n^2+1,414p_n+1)(p_n^2+1,9318p_n+1)$
7	$(p_n+1)(p_n^2+0,4450p_n+1)(p_n^2+1,247p_n+1)(p_n^2+1,8022p_n+1)$
8	$(p_n^2+0,3986p_n+1)(p_n^2+1,111p_n+1)(p_n^2+1,6630p_n+1)(p_n^2+1,9622p_n+1)$

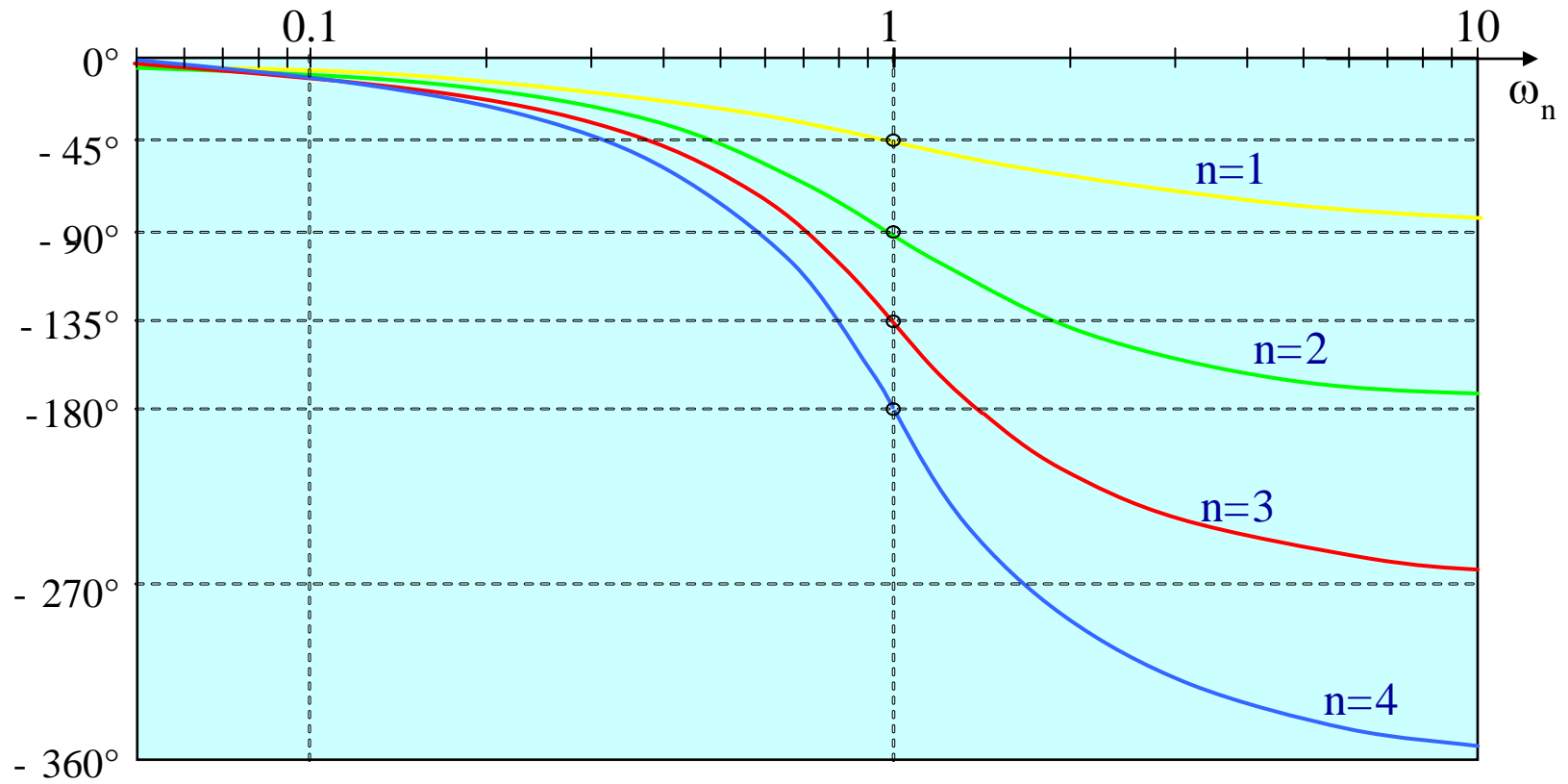
V.4.B Filtres de Butterworth



- pulsation de référence ($\omega_n=1$) = pulsation de coupure à -3dB
- pas d'ondulation dans la bande

V.4.B Filtres de Butterworth

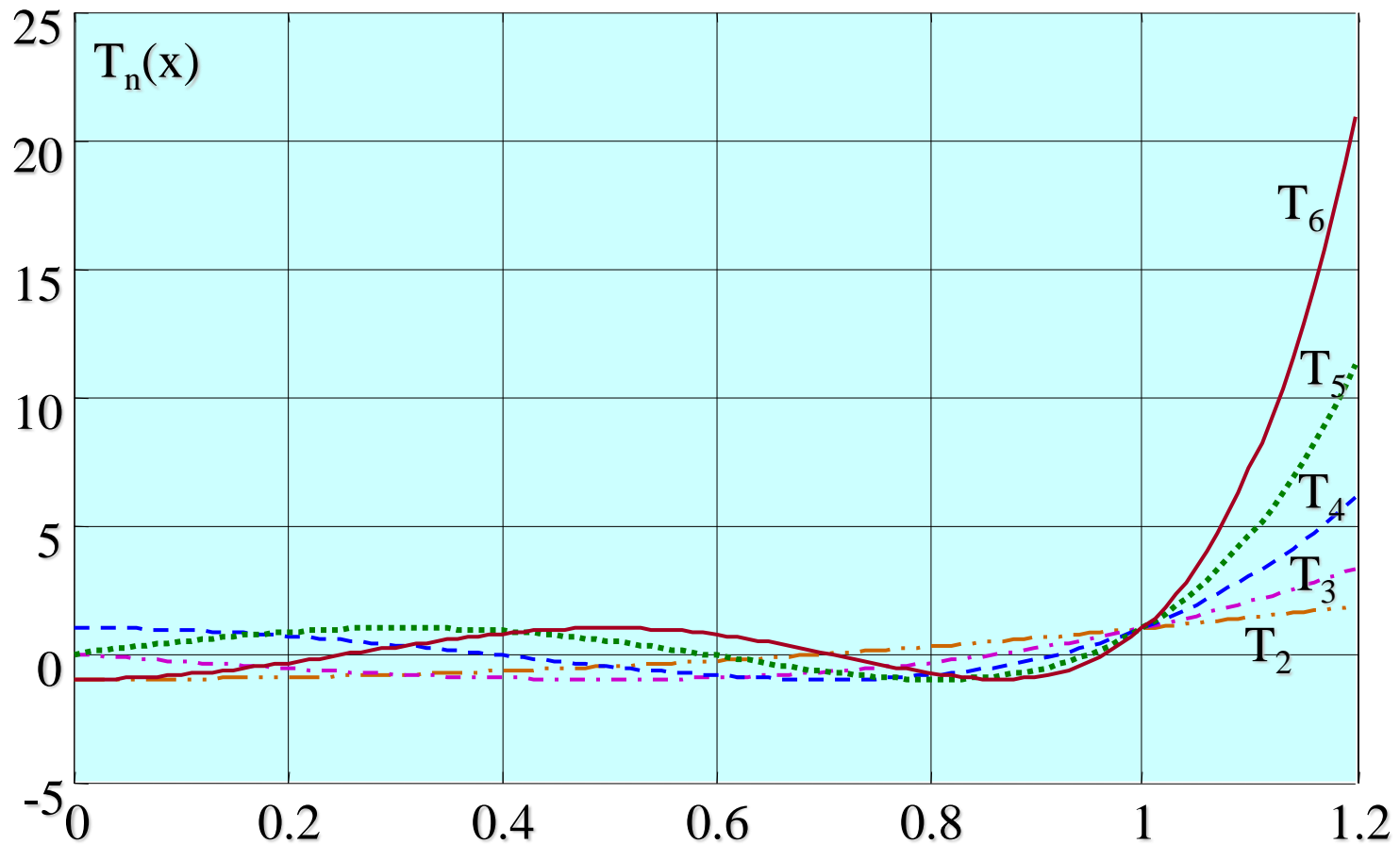
Phase de $H(\omega_n)$ Filtres de Butterworth



V.4.C Filtres de Chebychev

Polynomes de Chebychev

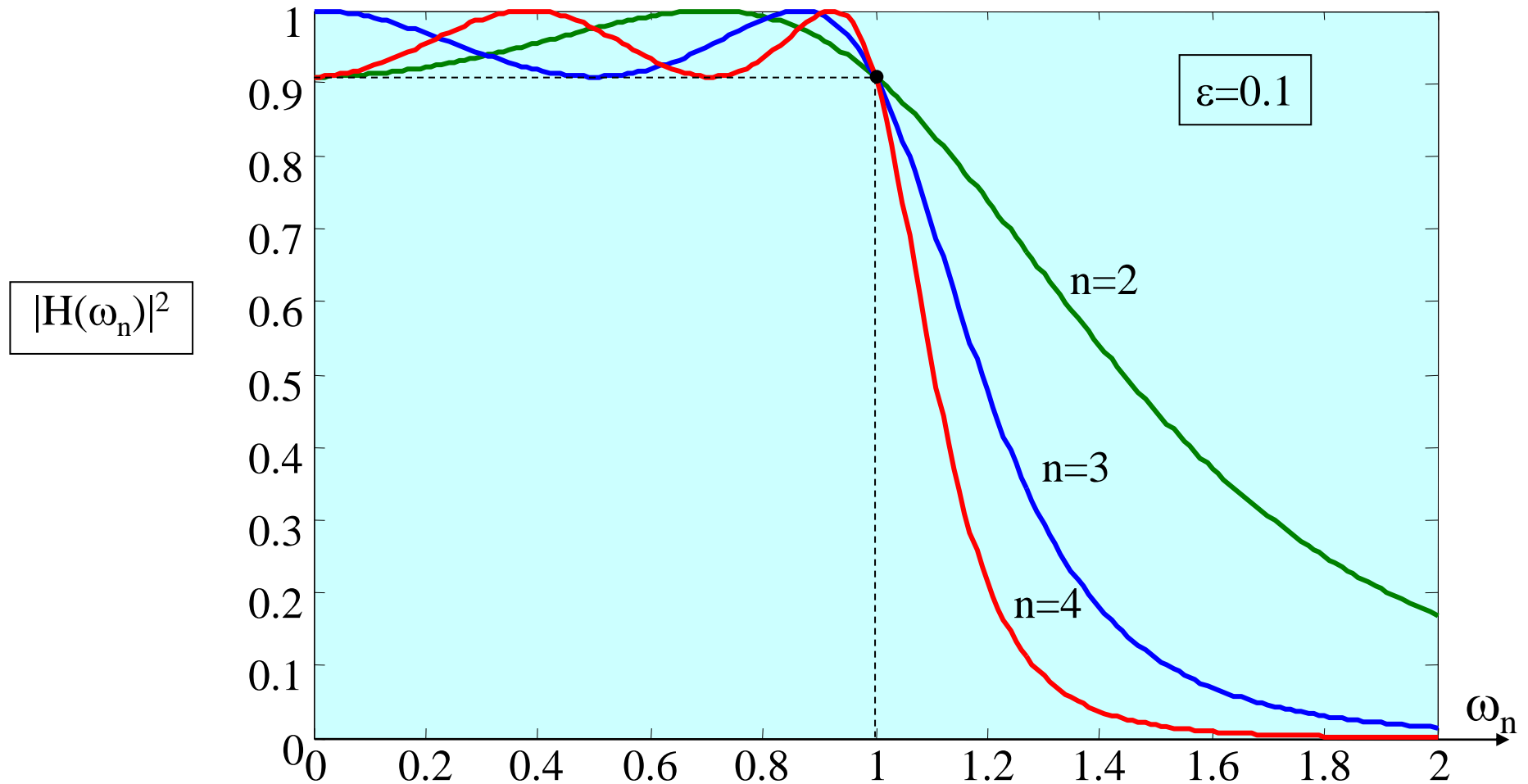
$$T_n(x) = 2xT_{n-1}(x) - T_{n-2}(x) \quad T_0(x) = 1 \quad T_1(x) = x$$



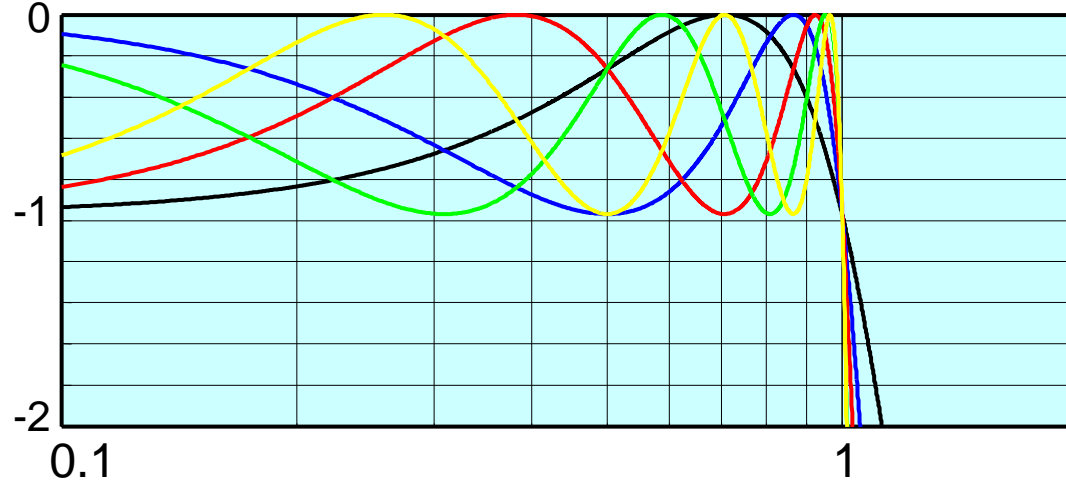
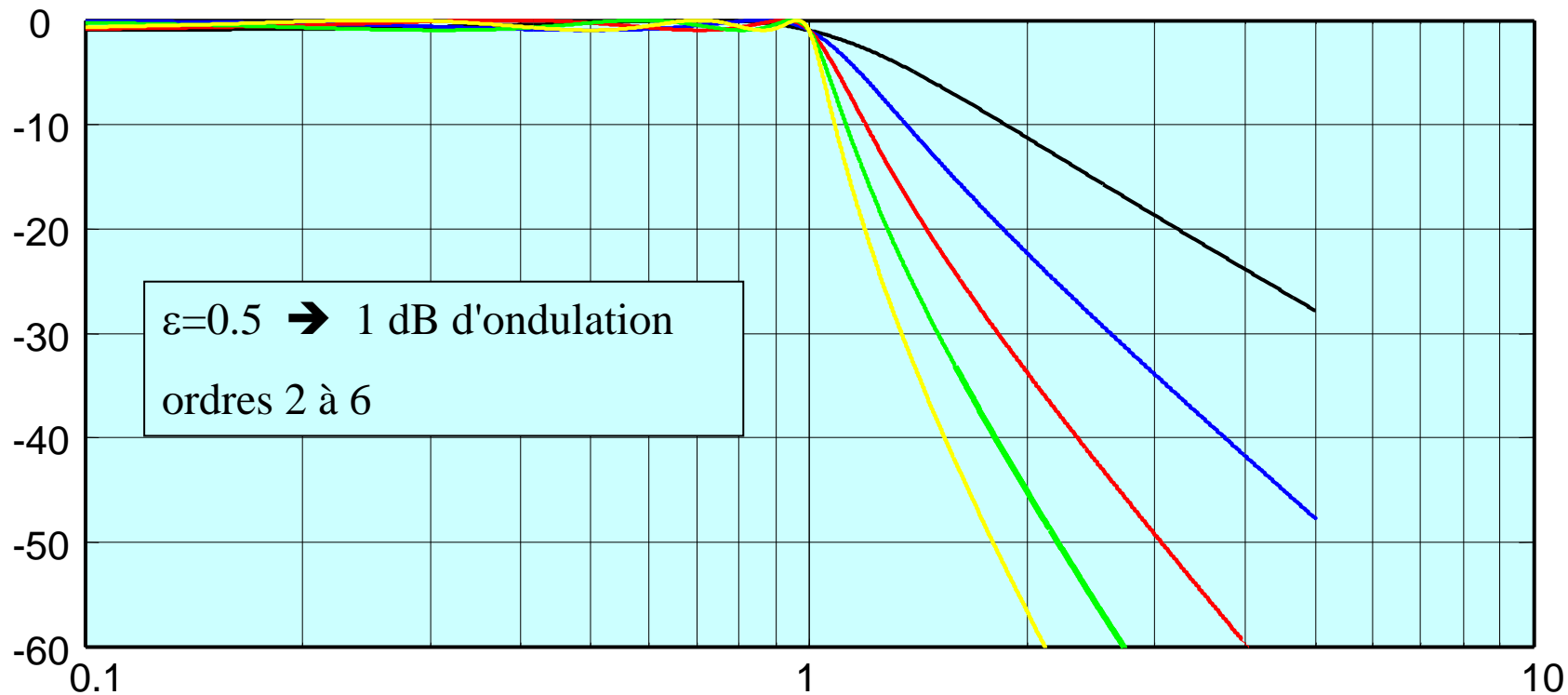
V.4.C Filtres de Chebychev

Filtre de Chebychev

$$A^2(\omega_n) = \frac{1}{|H(\omega_n)|^2} = 1 + \varepsilon^2 T_n^2(\omega_n)$$



V.4.C Filtres de Chebychev



$$A^2(\omega_n) = \frac{1}{|H(\omega_n)|^2} = 1 + \varepsilon^2 T_n^2(\omega_n)$$

V.4.C Filtres de Chebychev

Propriétés de Filtres de Chebychev

$$A^2(\omega_n) = \frac{1}{|H(\omega_n)|^2} = 1 + \varepsilon^2 T_n^2(\omega_n)$$

- n extrema dans la bande passante
- "equal ripple"
- ondulation fonction de ε
- ondulation $\varepsilon=1 \rightarrow$ ondulation=3 dB
 $\varepsilon=0.5 \rightarrow$ ondulation=1 dB
- $|H(\omega_n=1)| = -$ ondulation $\rightarrow \neq -3$ dB en général
- asymptotes en $-20n$ dB/decade
- Coupure + raide que Butterworth
- phase – linéaire que Butterworth

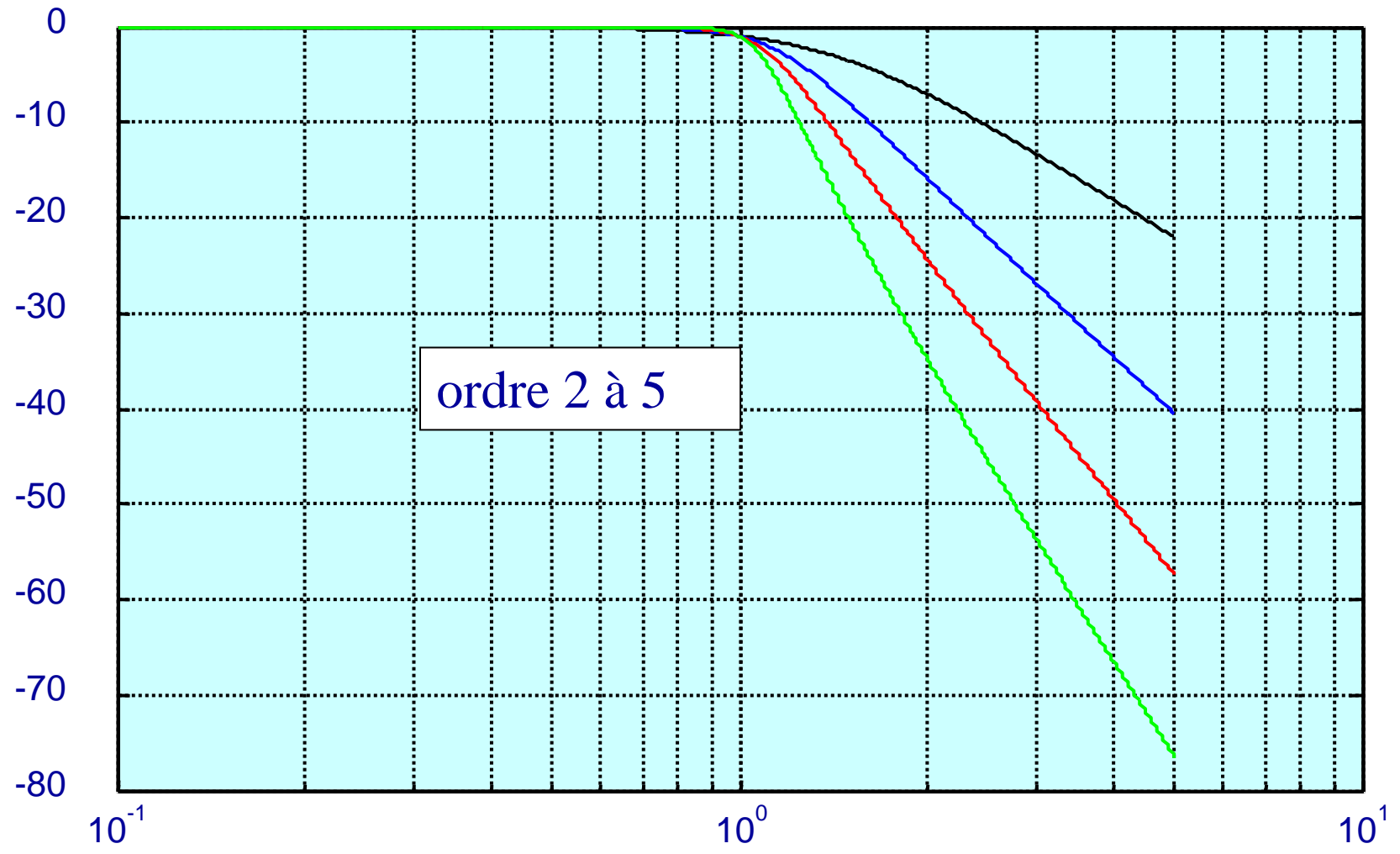
V.4.D Filtrés de Legendre

$$A^2(\omega_n) = \frac{1}{|H(\omega_n)|^2} = 1 + \varepsilon^2 L_n(\omega_n^2)$$

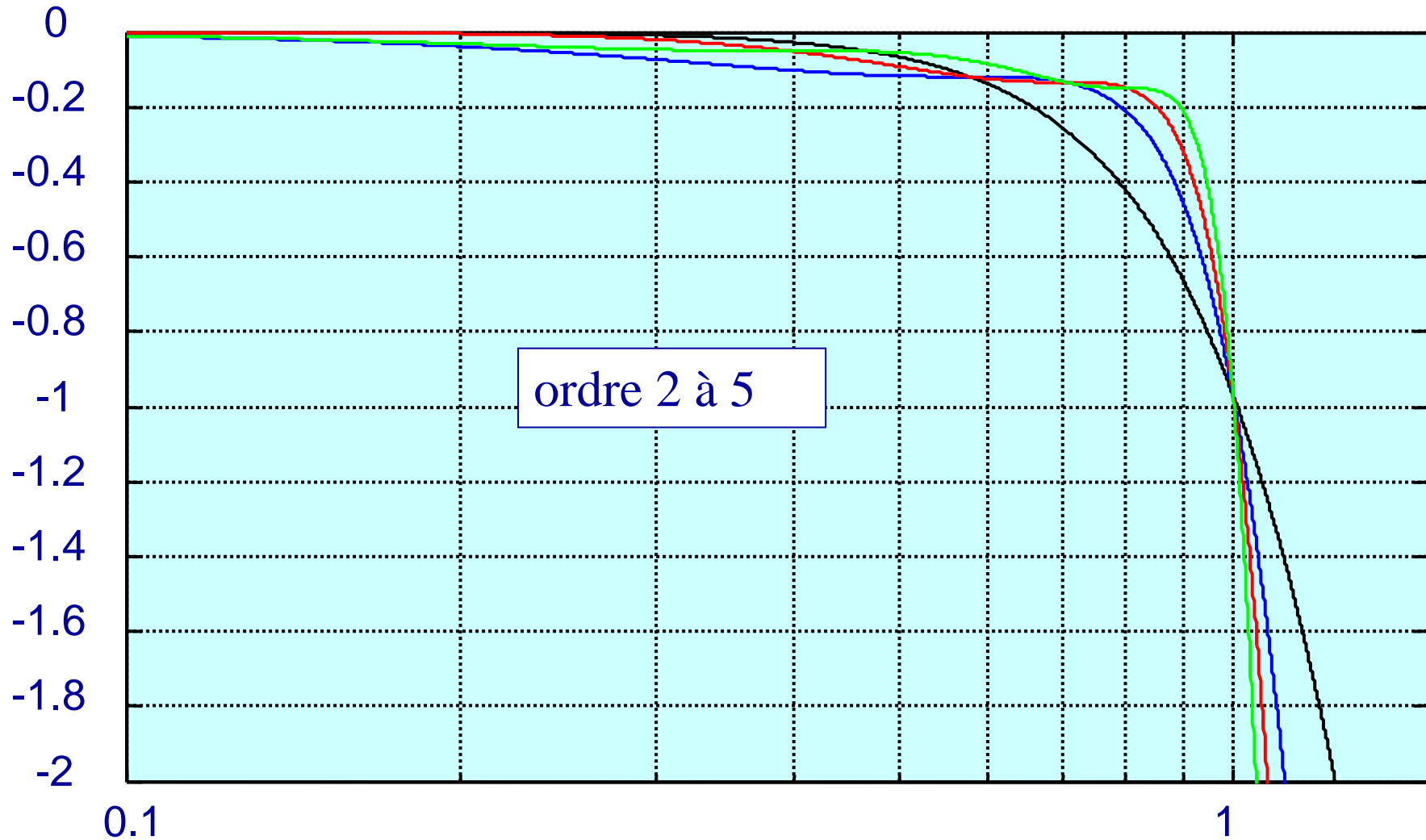
où $L_n(x)$

n	$L_n(x)$
1	x
2	x^2
3	$3x^3 - 3x^2 + x$
4	$6x^4 - 8x^3 + 3x^2$
5	$20x^5 - 40x^4 + 28x^3 - 8x^2 + x$
6	$50x^6 - 120x^5 + 105x^4 - 40x^3 + 6x^2$

V.4.D Filtres de Legendre



V.4.D Filtres de Legendre



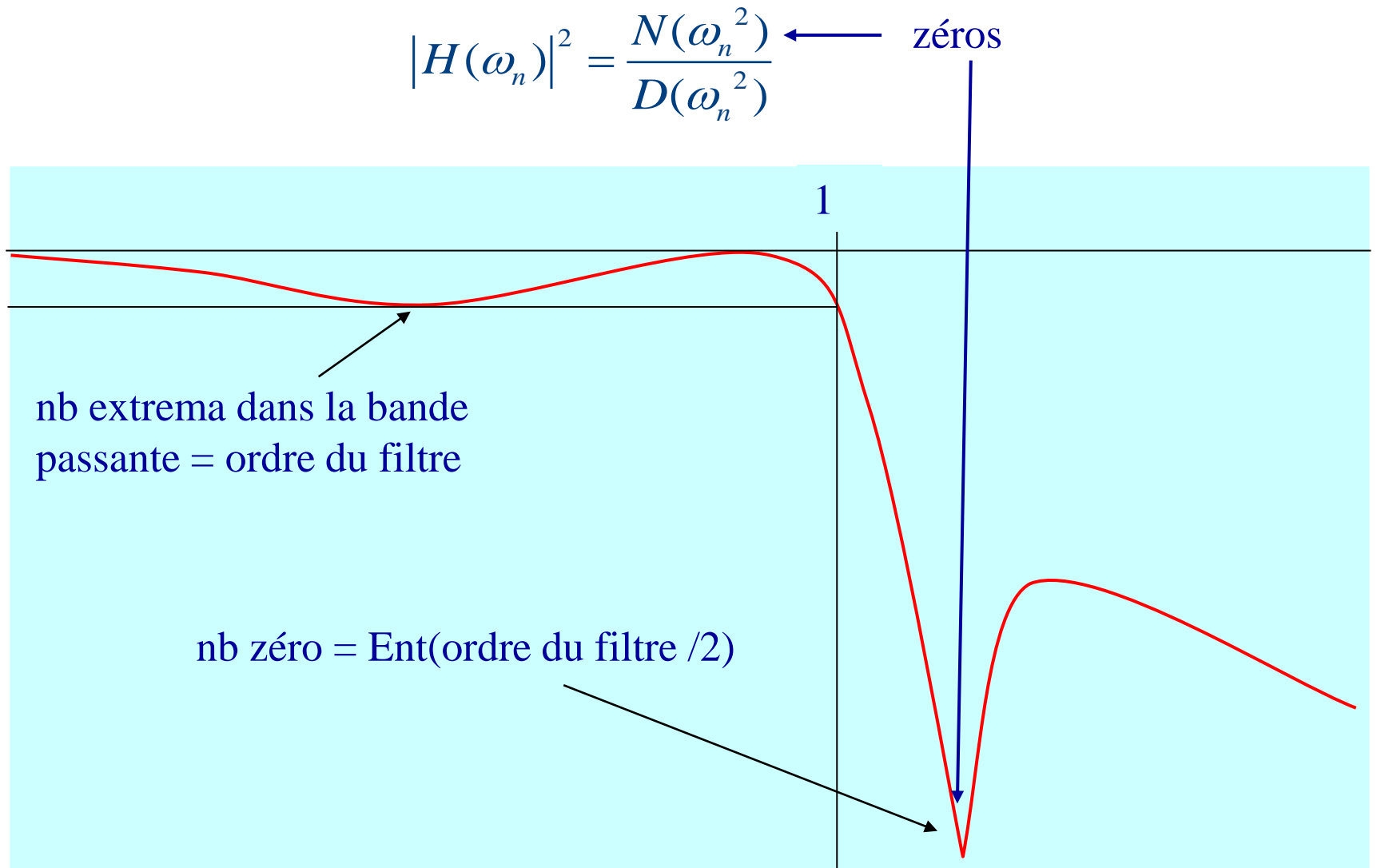
$\varepsilon=1 \rightarrow$ gain de -3 dB et donc une ondulation= 3 dB dans la bande passante
 $\varepsilon=0.5 \rightarrow$ gain de -1 dB et donc une ondulation= 1 dB dans la bande passante

V.4.D Filtres de Legendre

Propriétés de Filtres de Legendre

- ondulation fonction de ϵ
- asymptotes en $-20n$ dB/decade
- Coupure + raide que Butterworth mais moins que Chebychev
- phase – linéaire que Butterworth mais plus que Chebychev

V.4.E Filtrés de Cauer

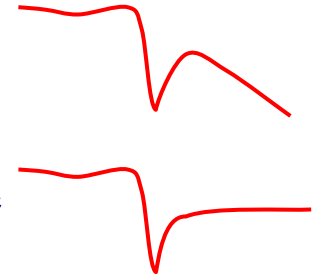


V.4.E Filtrés de Cauer

Propriétés des Filtrés de Cauer

$$|H(\omega_n)|^2 = \frac{N(\omega_n^2)}{D(\omega_n^2)}$$

- n oscillations dans la bande passante
- $|H(\omega_n=1)| = -$ ondulation $\rightarrow \neq -3$ dB en général
- asymptotes
 - ordres impairs : -20 dB/decade
 - ordres pairs : asymptote horizontale
- Coupure + raide que Chebychev
- phase – linéaire que Chebychev

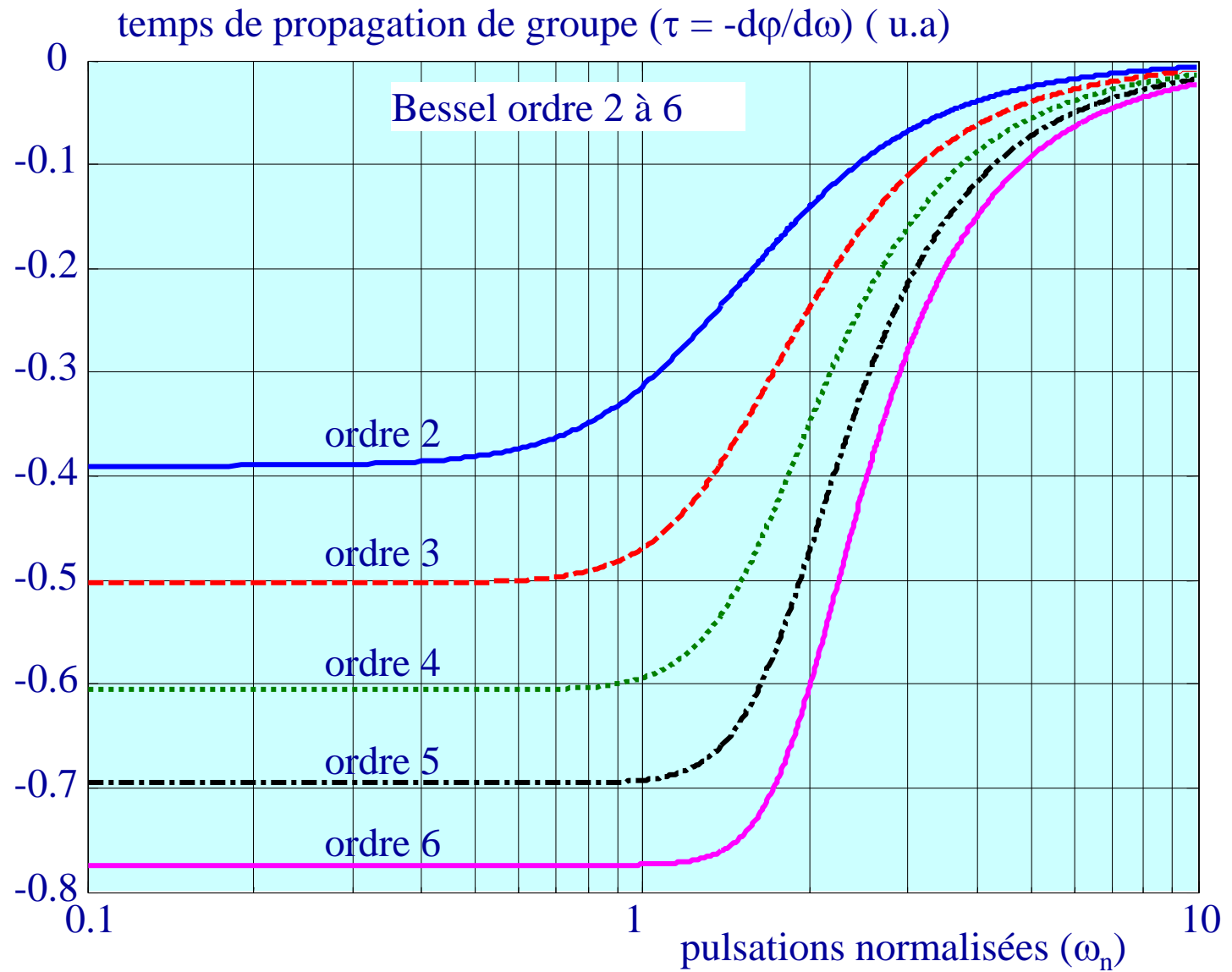


Recherche de la phase la + linéaire possible

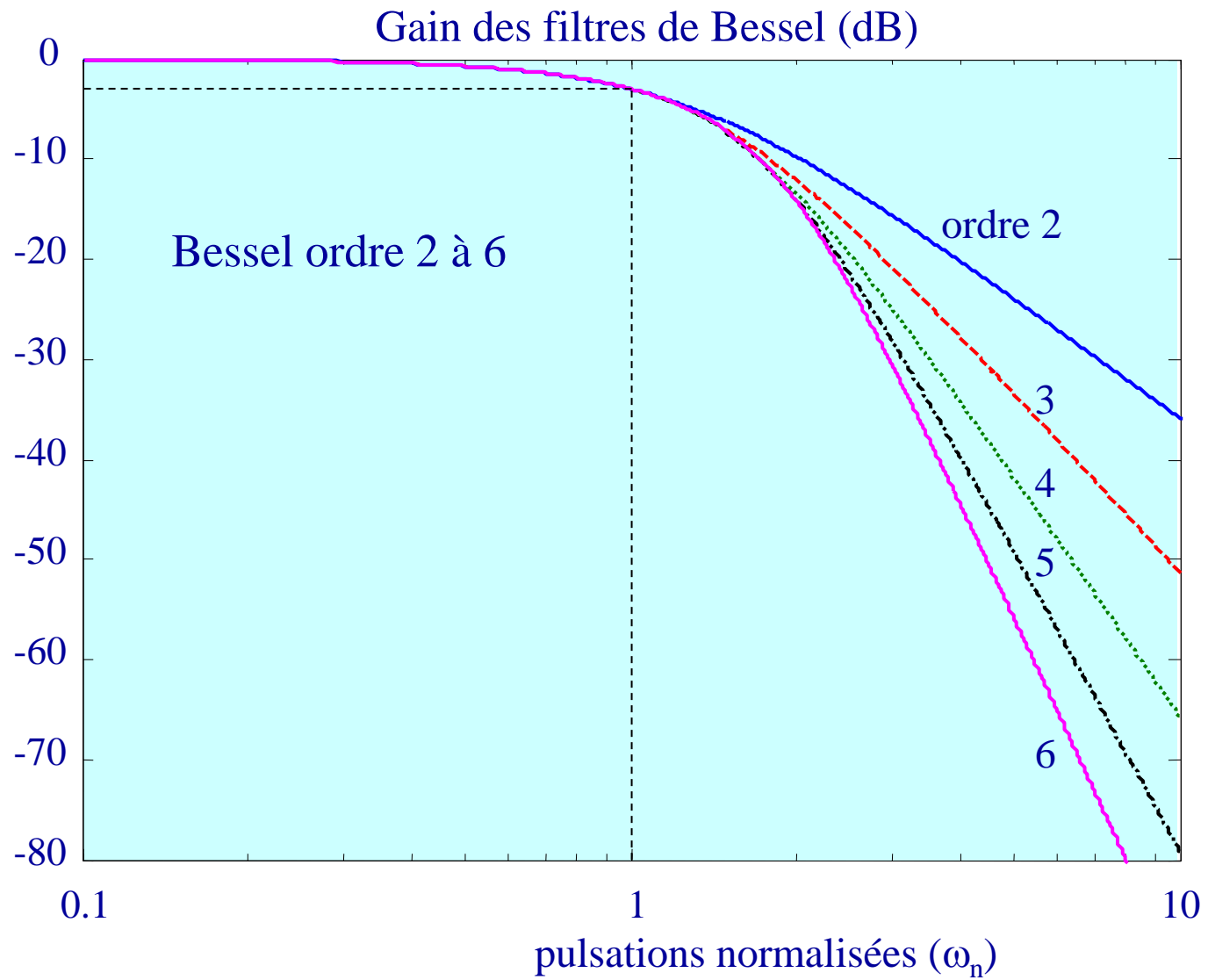


Distorsion du signal la + faible possible

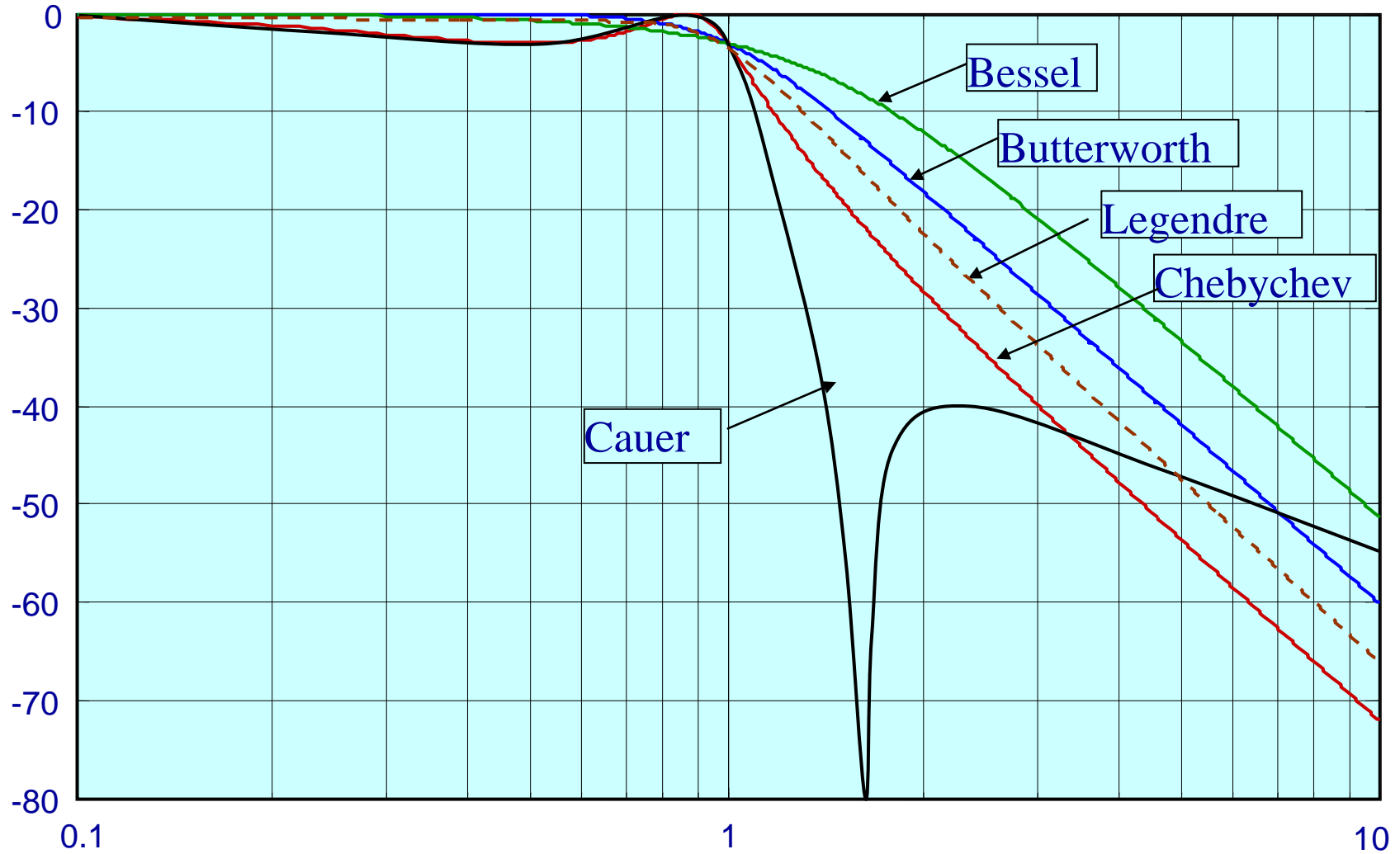
V.4.F Filtres de Bessel



V.4.F Filtres de Bessel

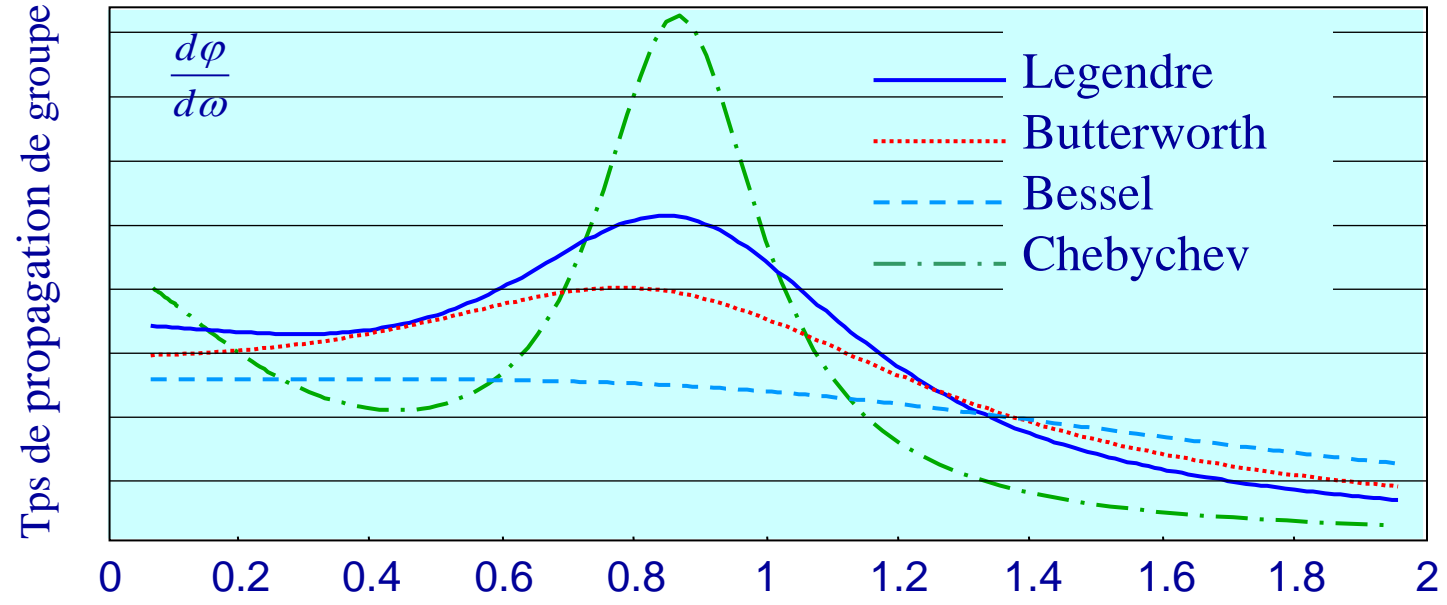
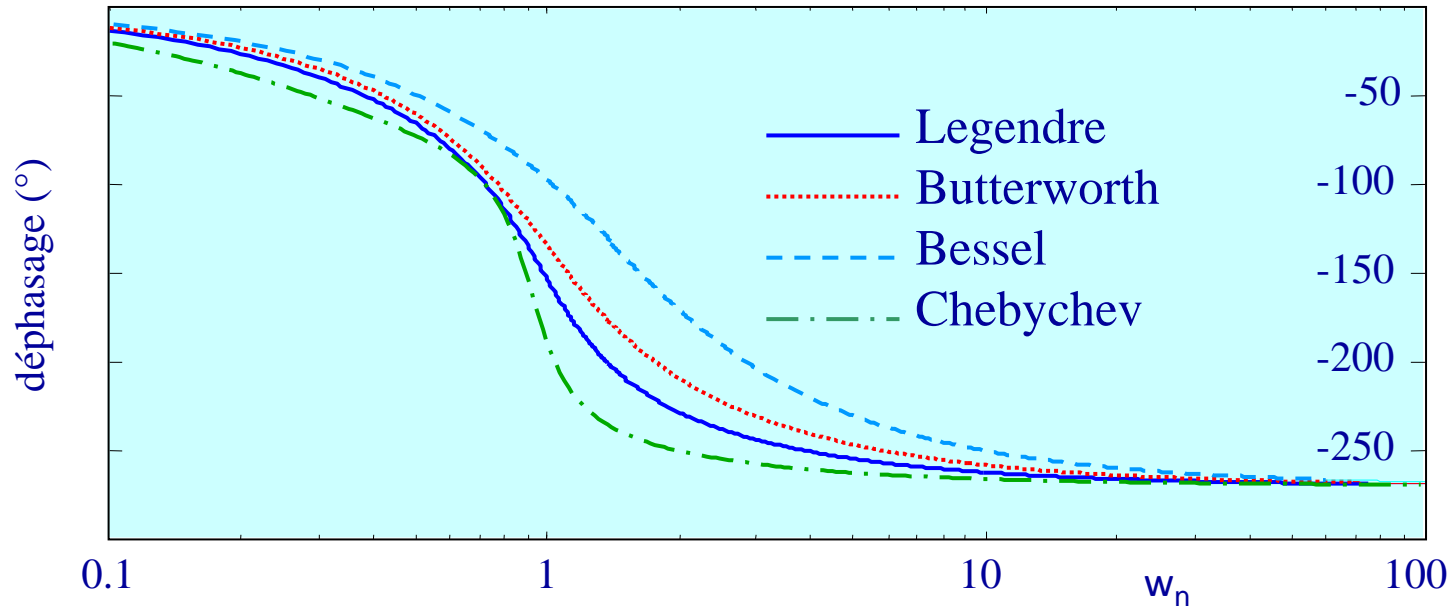


V.4.H Comparaison des prototypes normalisés à - 3 dB



V.4.H Comparaison des prototypes normalisés à - 3 dB

Phases comparées
et linéarité



V.5 Synthèse des Filtres Passifs

Voir poly chapitre V.5 → série d'exercices

V.6 Synthèse des Filtrés Actifs

V.6 Synthèse des Filtrés Actifs

$$b_n \frac{d^n s(t)}{dt^n} + b_{n-1} \frac{d^{n-1} s(t)}{dt^{n-1}} + \dots + b_0 s(t) = a_m \frac{d^m e(t)}{dt^m} + a_{m-1} \frac{d^{m-1} e(t)}{dt^{m-1}} + \dots + a_0 e(t)$$

T.L.

$$H(p) = \frac{S(p)}{E(p)} = \frac{a_m p^m + a_{m-1} p^{m-1} + \dots + a_0}{b_n p^n + b_{n-1} p^{n-1} + \dots + b_0}$$

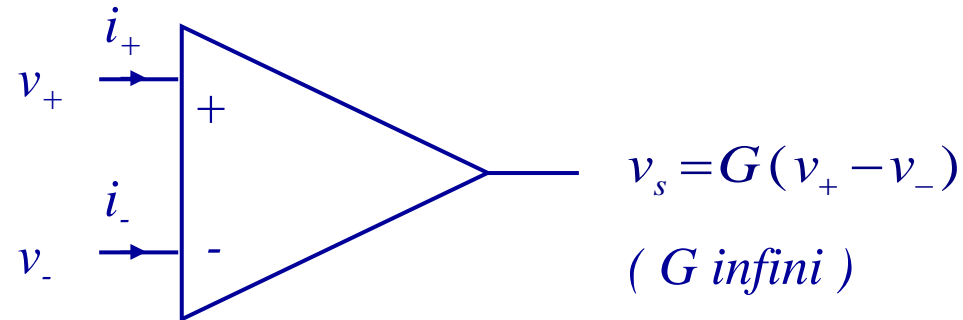
$$H(p) = \prod \left[\begin{array}{c} \text{Pbas}_1 \\ \frac{1}{1 + \tau p} \times \frac{\tau p}{1 + \tau p} \times \frac{1}{1 + 2\zeta\tau p + \tau^2 p^2} \times \\ \frac{\tau p}{1 + 2\zeta\tau p + \tau^2 p^2} \times \frac{\tau^2 p^2}{1 + 2\zeta\tau p + \tau^2 p^2} \times \frac{1 + \tau^2 p^2}{1 + 2\zeta\tau p + \tau^2 p^2} \end{array} \right]$$

Pbande_2
Phaut_2
Cbande_2

V.6.B Rappels sur les montages à AOP

V.6.B Rappel sur les montage à AOP

Rappel sur les Amplificateur Opérationnels Parfaits



donc pour avoir $v_s \neq \infty$ (ou $\pm V_{alim}$) il faut

$$v_+ = v_-$$

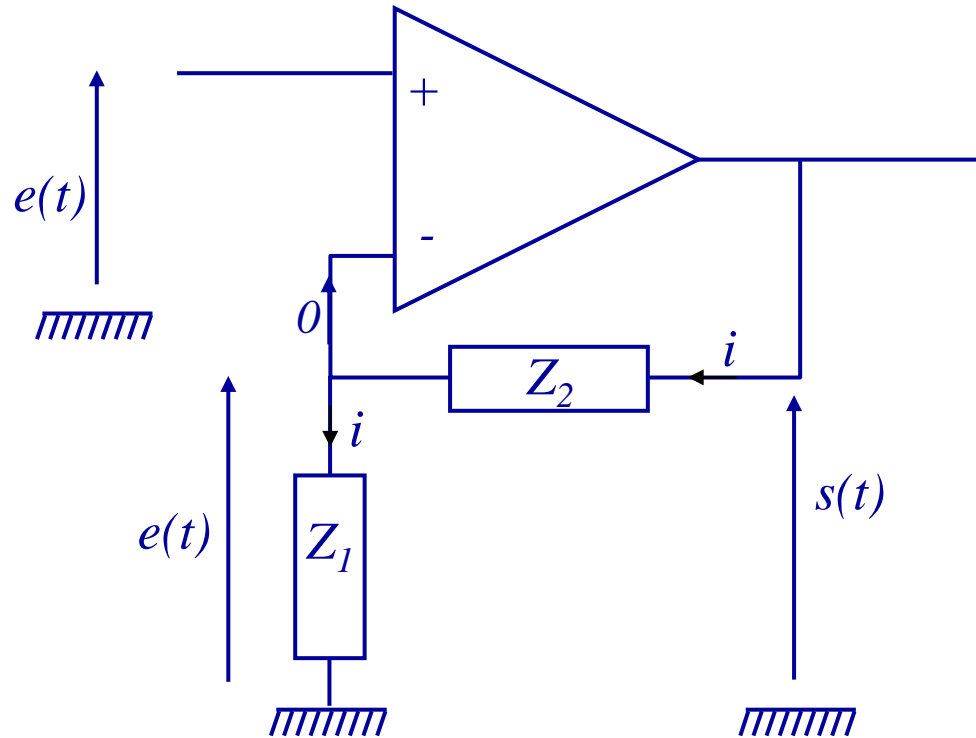
de plus les impédances d'entrée sont infinies

donc i_+ et i_- sont nul

$$i_+ = i_- = 0$$

V.6.B Rappel sur les montage à AOP

Ampli non-inverseur



$$v_+ = v_- \implies v_- = e$$

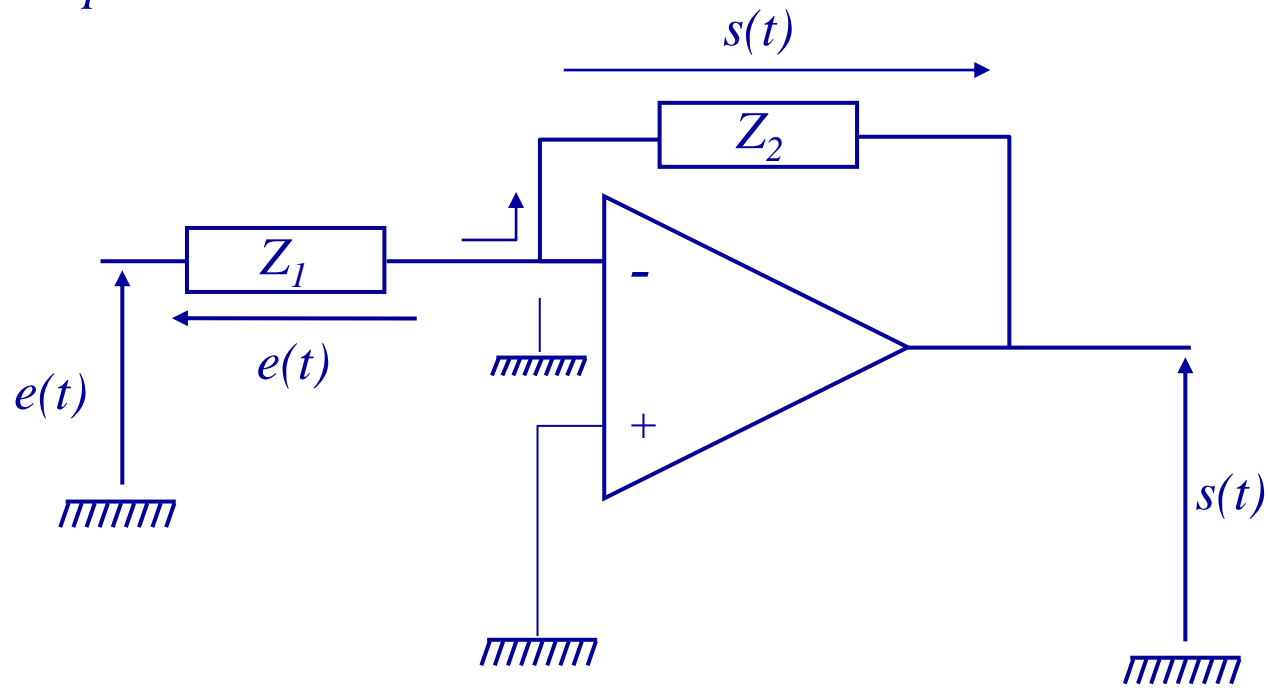
$$e = \frac{Z_1}{Z_1 + Z_2} s \implies s = \left(1 + \frac{Z_2}{Z_1} \right) e$$

si $Z_1 = R_1$ et $Z_2 = R_2$ alors

$$s = \left(1 + \frac{R_2}{R_1} \right) e$$

V.6.B Rappel sur les montage à AOP

Ampli inverseur

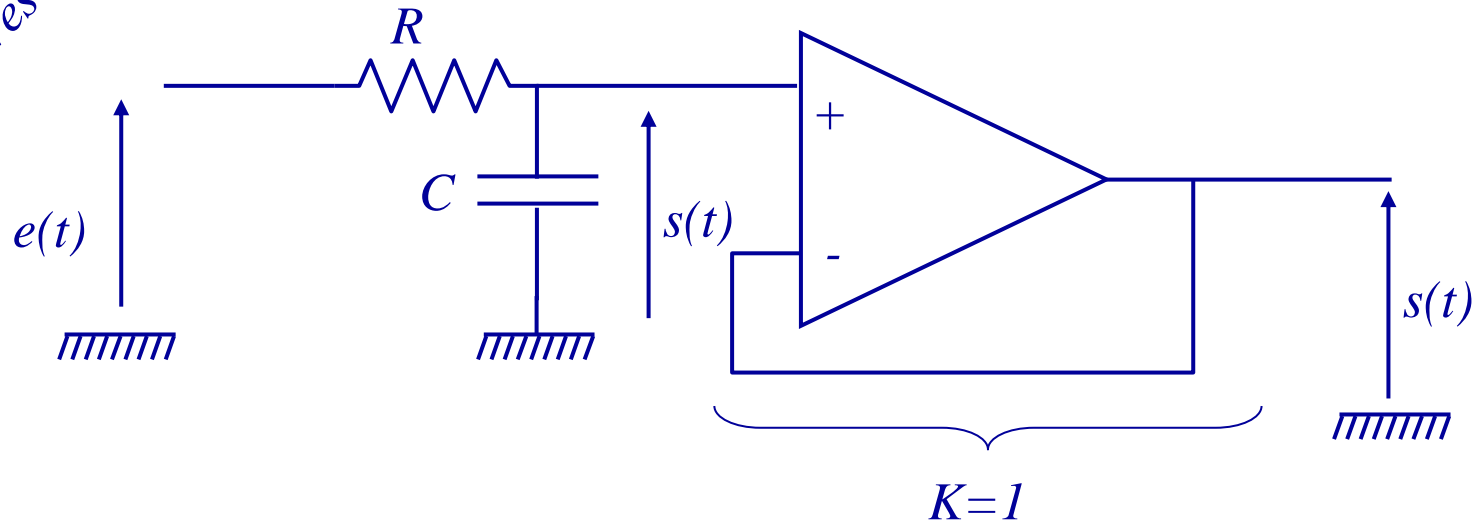


$$v_+ = v_- = 0 \quad \Rightarrow \quad i_{Z_1} = i_{Z_2} \quad \Rightarrow \quad \frac{e}{Z_1} = \frac{-s}{Z_2} \quad \Rightarrow \quad \boxed{\frac{s}{e} = -\frac{Z_2}{Z_1}}$$

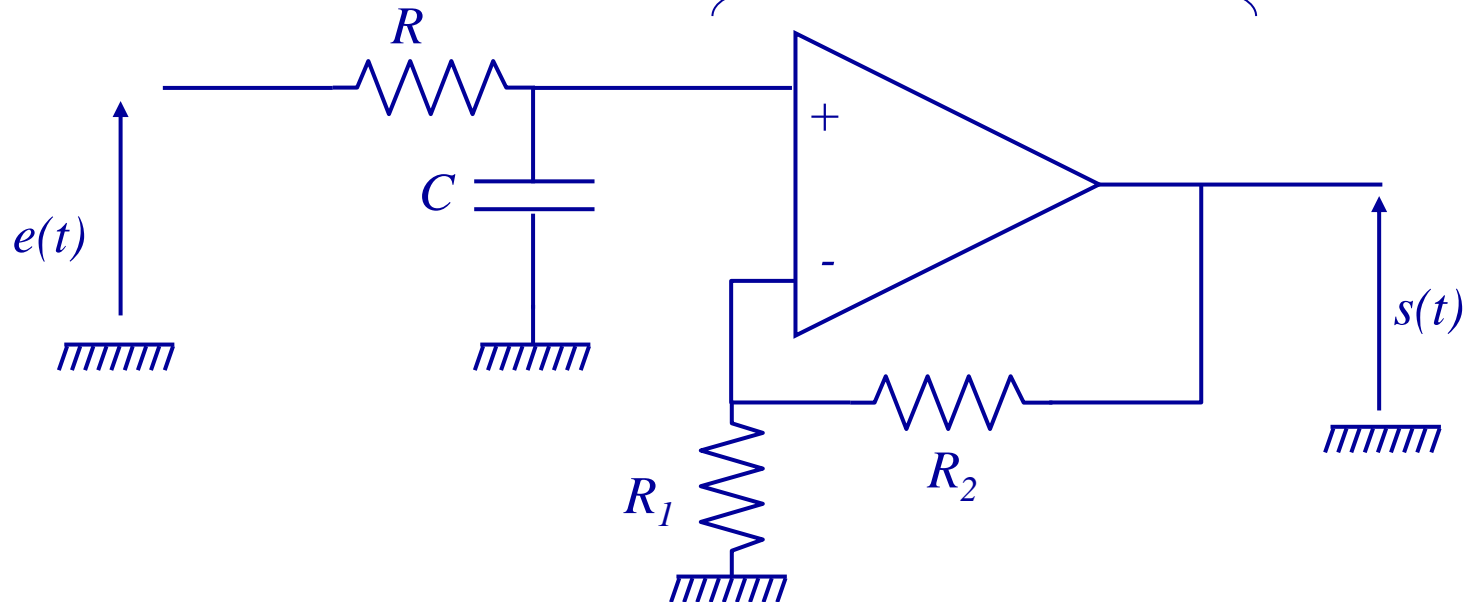
$$\text{Si } Z_1 = R_1 \text{ et } Z_2 = R_2 \quad \Rightarrow \quad \boxed{\frac{s}{e} = -\frac{R_2}{R_1}}$$

V.6.B Rappel sur les montage à AOP

Passe Bas du 1^{er} ordres

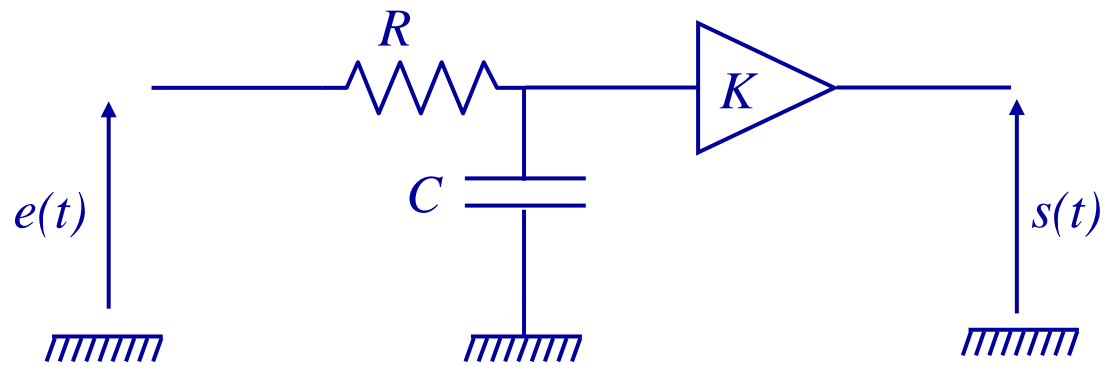


$$K = 1 + R_2 / R_1$$



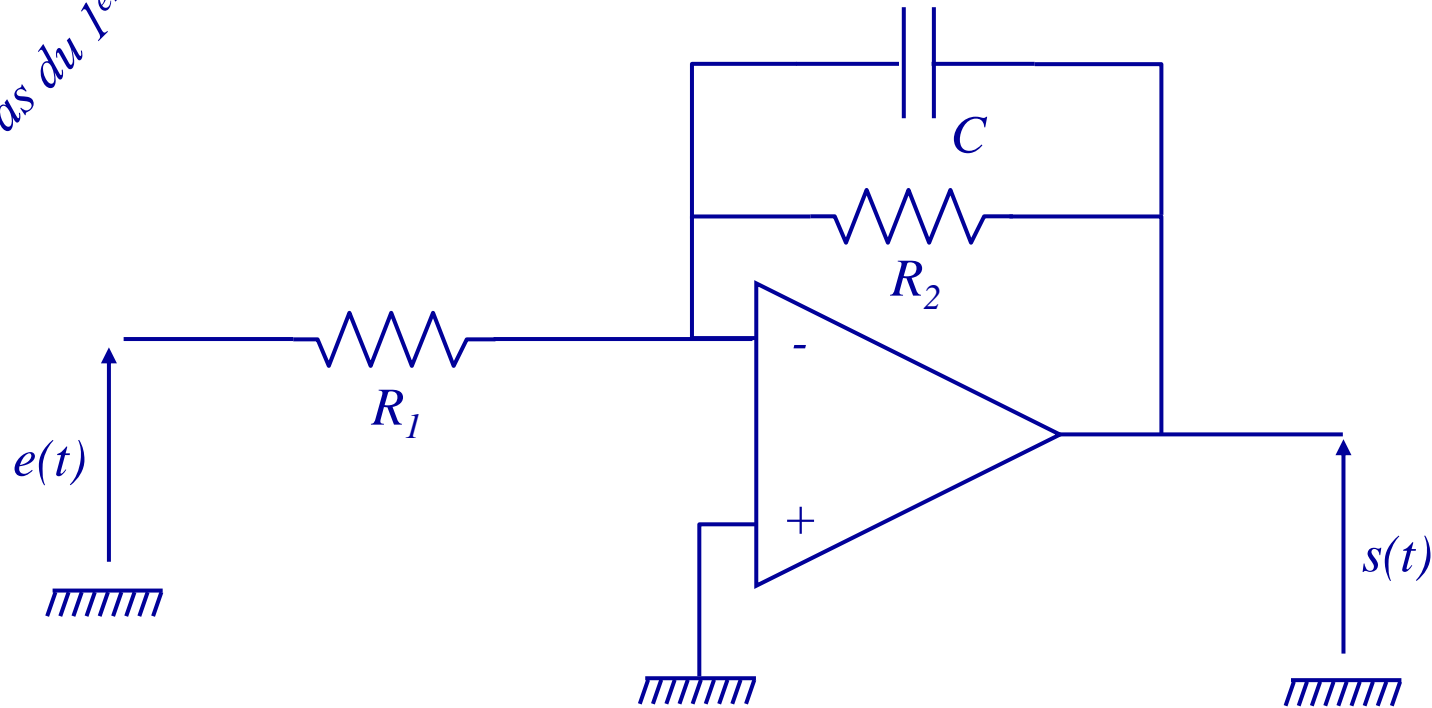
V.6.B Rappel sur les montage à AOP

Passe Bas du 1^{er} ordres



V.6.B Rappel sur les montage à AOP

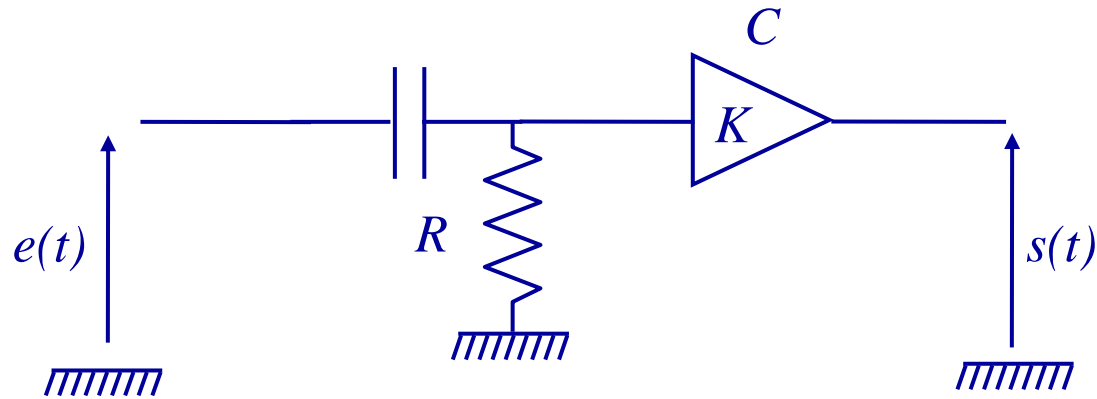
Passe Bas du 1^{er} ordres



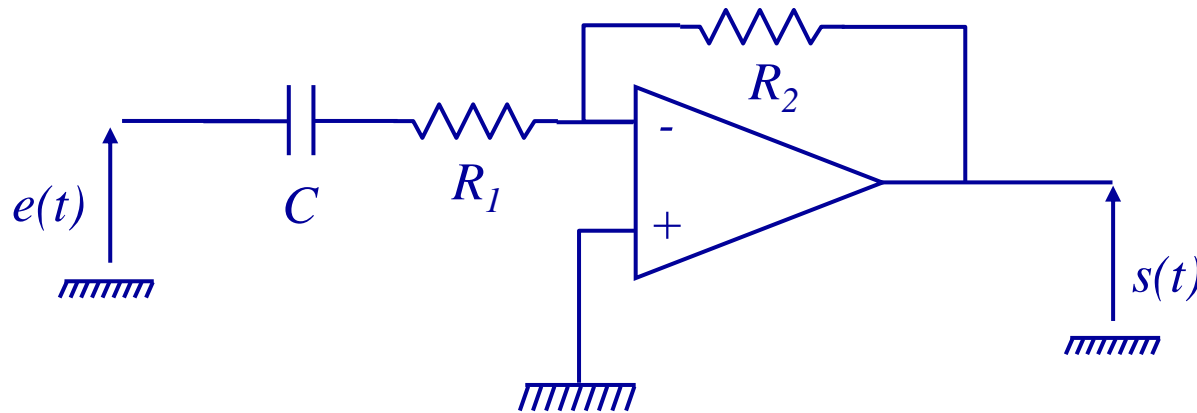
$$H = -\frac{R_2 // C}{R_1} = -\frac{1}{R_1} \frac{R_2 / Cp}{\frac{1}{Cp} + R_2} = \frac{-R_2 / R_1}{1 + R_2 Cp}$$

V.6.B Rappel sur les montage à AOP

Passé Haut du 1^{er} ordres



$$H = K \frac{RC p}{1 + RC p}$$



$$H = \frac{-R_2}{R_1 + 1/Cp} = \frac{-R_2 Cp}{1 + R_1 Cp}$$

V.6.C Synthèse par variable d'état

ou

Filtres à intégrateurs

V.6.C Filtres à intégrateurs

Comment réaliser ces différentes fonctions ?

Prenons par exemple
un filtre passe haut du
second ordre :

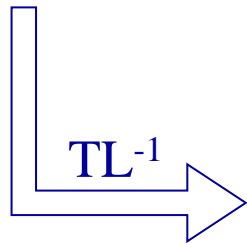
$$H(p) = \frac{S(p)}{E(p)} = \frac{K p^2}{\frac{p^2}{\omega_N^2} + 2\zeta \frac{p}{\omega_N} + 1}$$

$$S(p) \left(\frac{p^2}{\omega_N^2} + 2\zeta \frac{p}{\omega_N} + 1 \right) = E(p) K p^2$$

en divisant par $\frac{p^2}{\omega_N^2}$

$$S(p) \left(1 + 2\zeta \frac{\omega_N}{p} + \frac{\omega_N^2}{p^2} \right) = E(p) K \omega_N^2$$

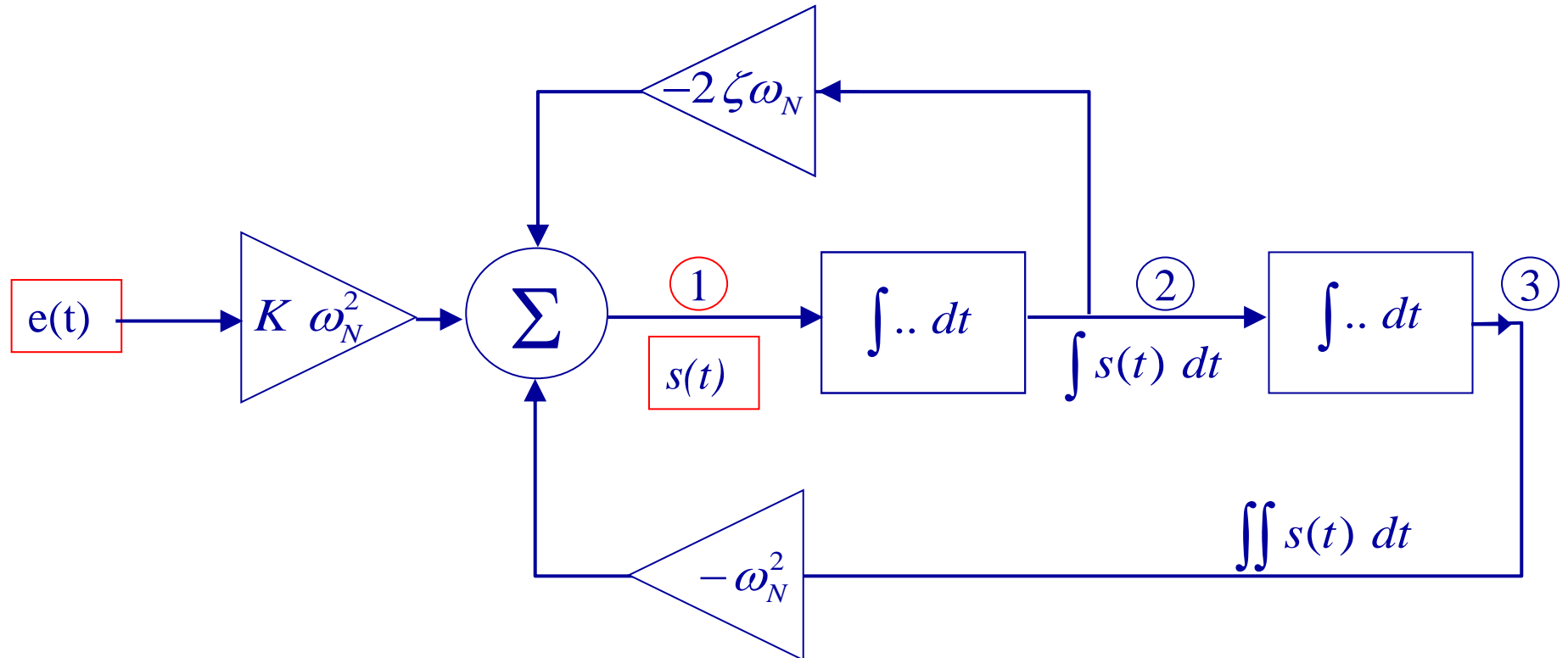
$$S(p) = K \omega_N^2 E(p) - 2\zeta \omega_N \frac{S(p)}{p} - \omega_N^2 \frac{S(p)}{p^2}$$



$$s(t) = K \omega_N^2 e(t) - 2\zeta \omega_N \int s(t) dt - \omega_N^2 \iint s(t) dt$$

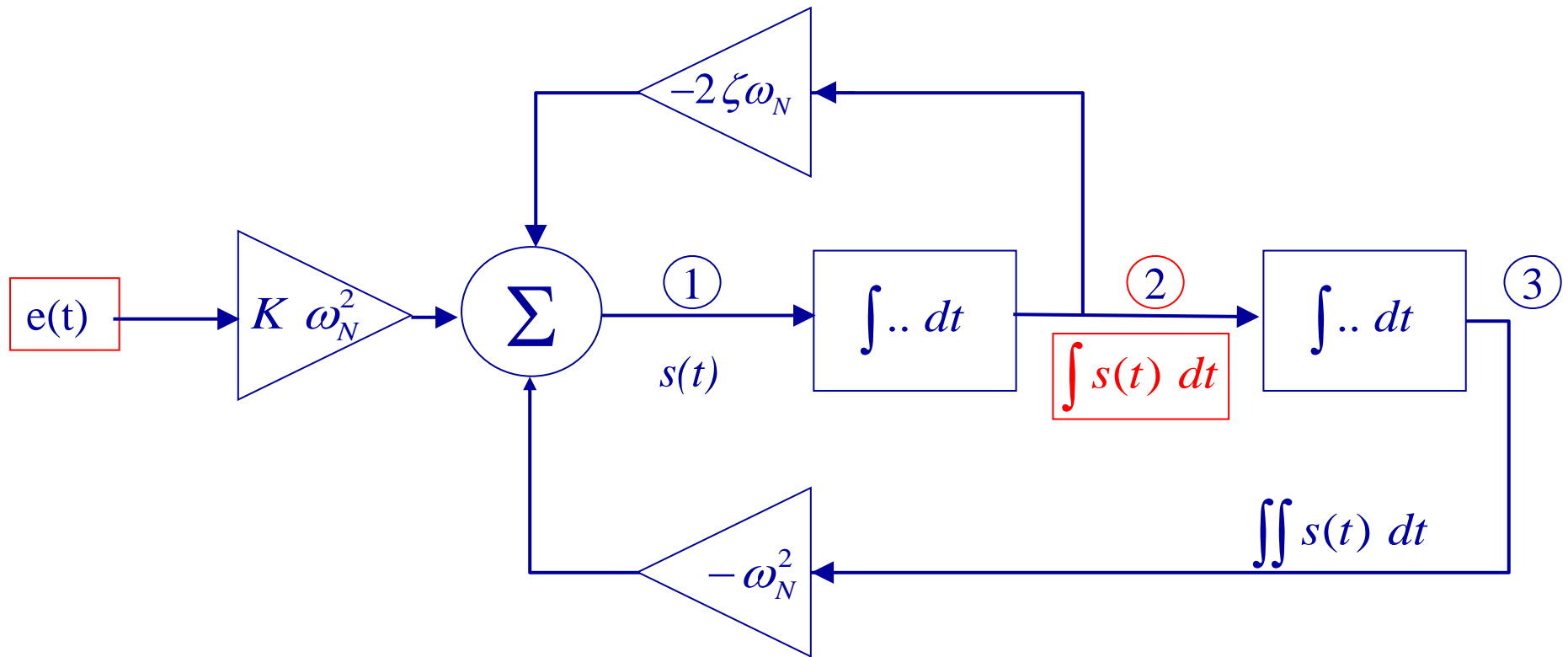
V.6.C Filtres à intégrateurs

$$s(t) = K \omega_N^2 e(t) - 2\zeta\omega_N \int s(t) dt - \omega_N^2 \iint s(t) dt$$



en sortie ① on obtient $s_1(t) =$ réponse du filtre passe haut du second ordre

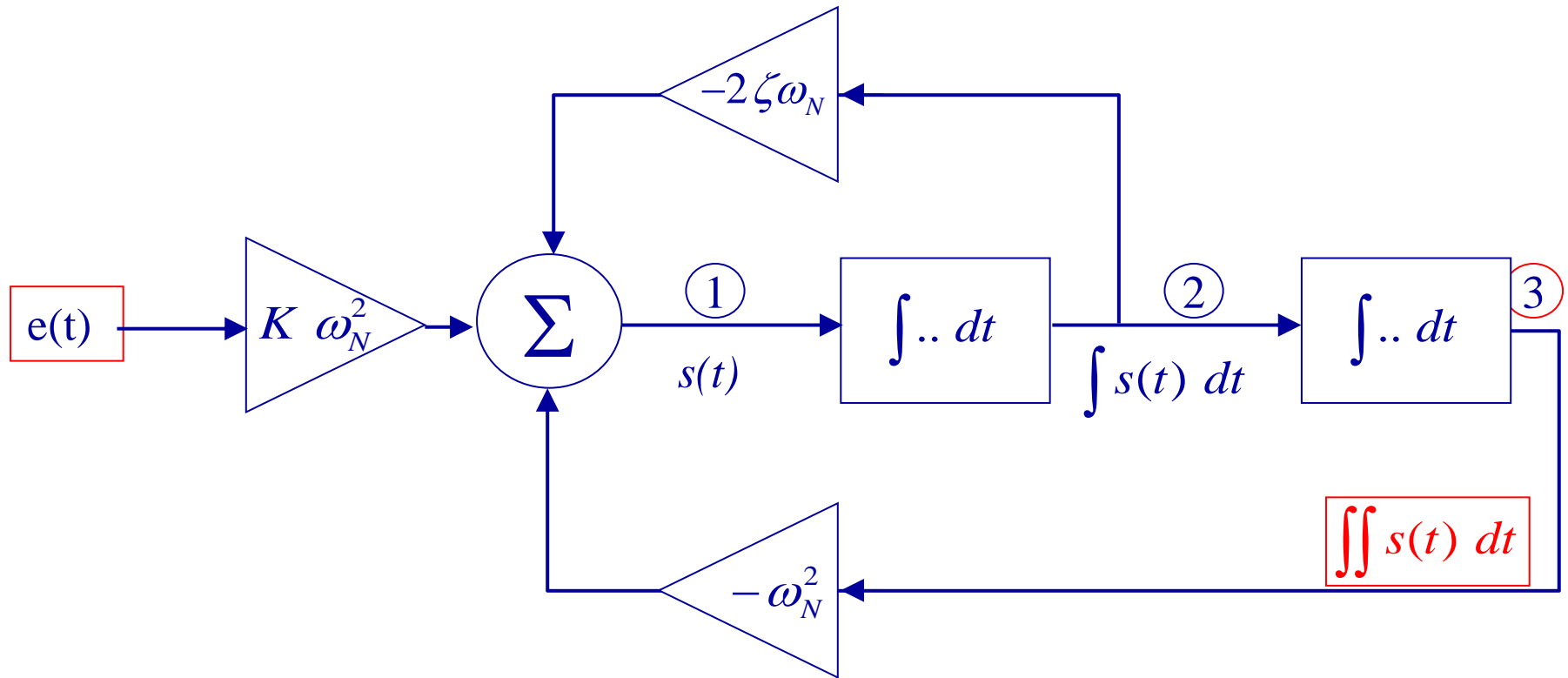
V.6.C Filtres à intégrateurs



et en sortie ② on obtient $\int s(t) dt \longrightarrow \frac{S(p)}{p} = \frac{1}{p} \frac{K p^2}{\frac{p^2}{\omega_N^2} + 2\zeta \frac{p}{\omega_N} + 1} E(p)$

cad $S_2(p) = \frac{K p}{\frac{p^2}{\omega_N^2} + 2\zeta \frac{p}{\omega_N} + 1} E(p)$ qui est un passé bande du second ordre

V.6.C Filtres à intégrateurs



et en sortie ③ on obtient $\iint s(t) dt$

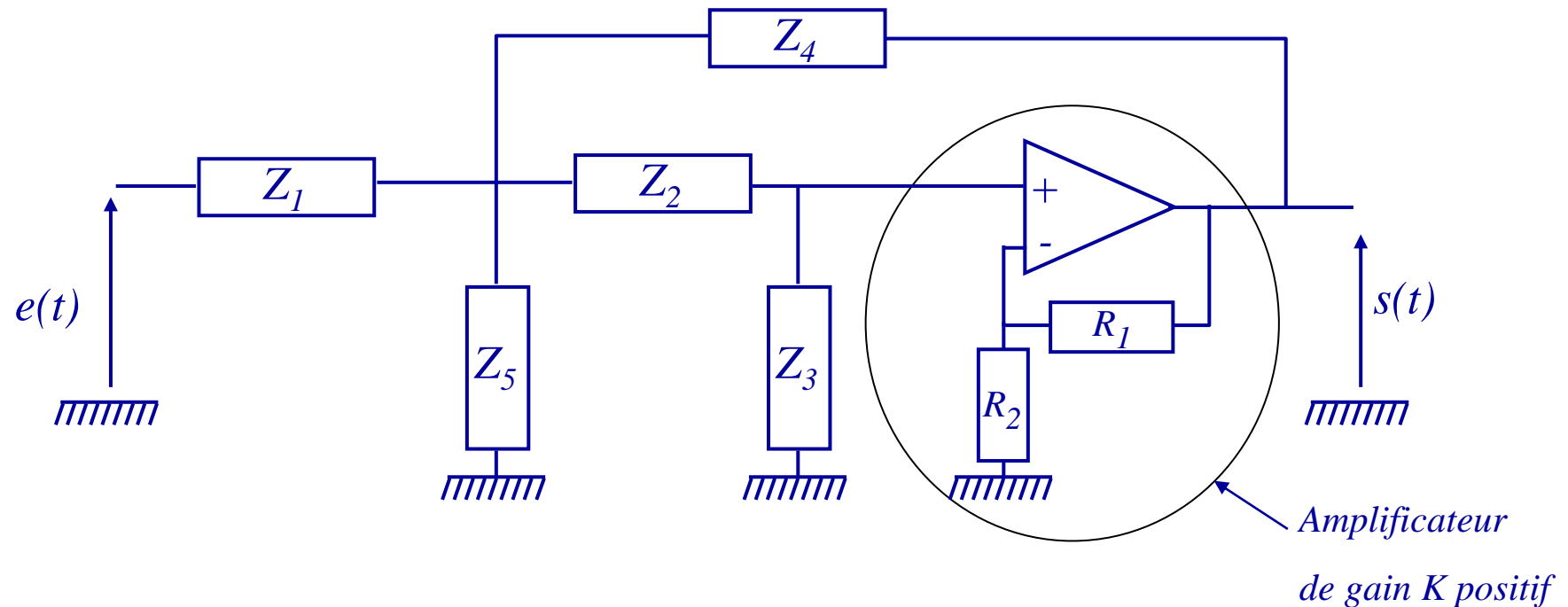
cad $S_3(p) = \frac{S}{p^2} = \frac{K}{\omega_N^2 + 2\zeta \frac{p}{\omega_N} + 1} E(p)$ qui est un passé bas du second ordre

V.6 Synthèse des Filtres actifs

V.6.D Filtres de Sallen Key

V.6.D Filtrés de Sallen Key

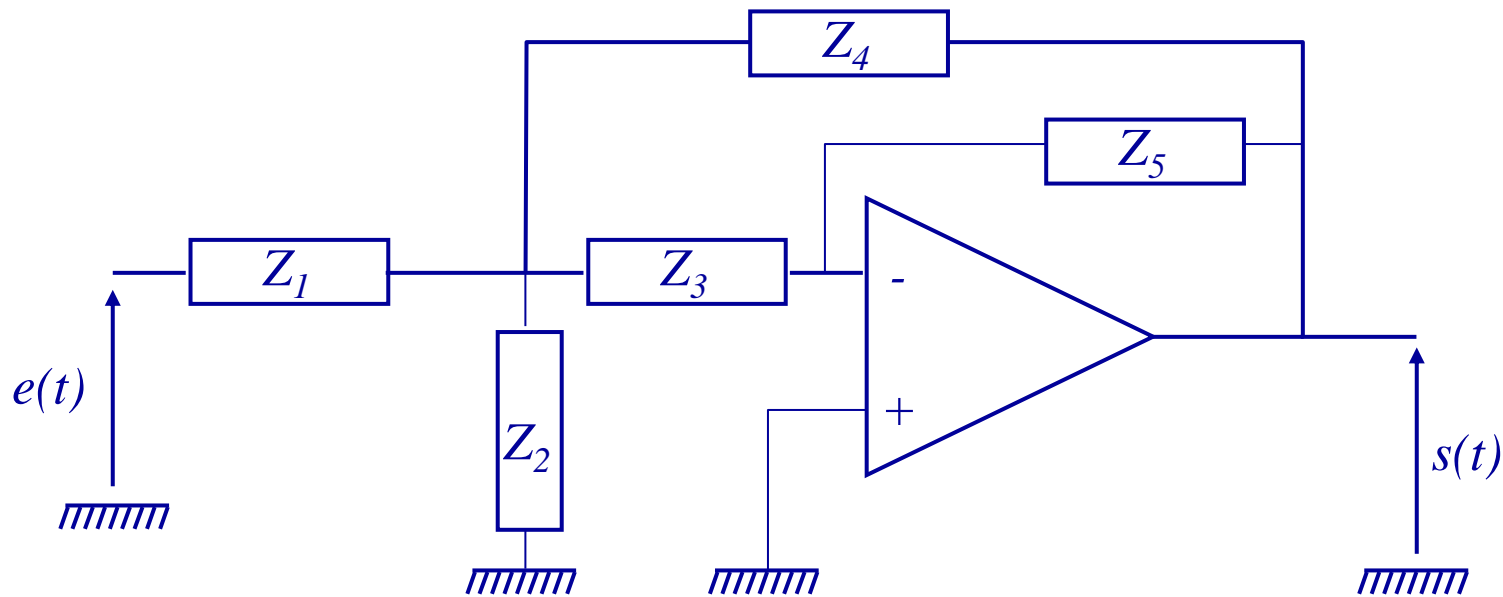
Structure Générale de Sallen-Key du 2^{ème} ordre



(développés dans le chapitre suivant)

V.6.D Filtrés de Sallen Key

Structure Générale de Rauch du 2^{ème} ordre

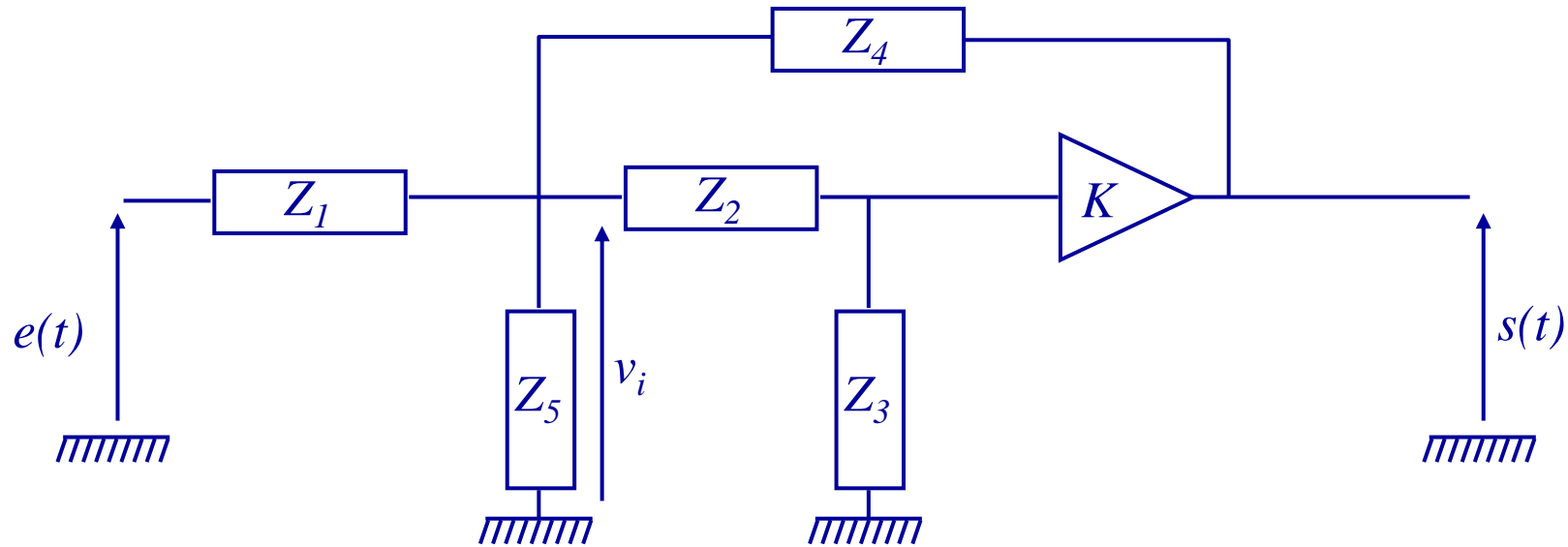


mais les structures à 1 AOP de type Sallen-Key ou Rauch ont une sensibilité croissante avec le coefficient de qualité $Q=1/(2\zeta)$

➔ Utilisable avec des $Q < 15$ cad $\zeta > 0.03$

V.6.D Filtrés de Sallen Key

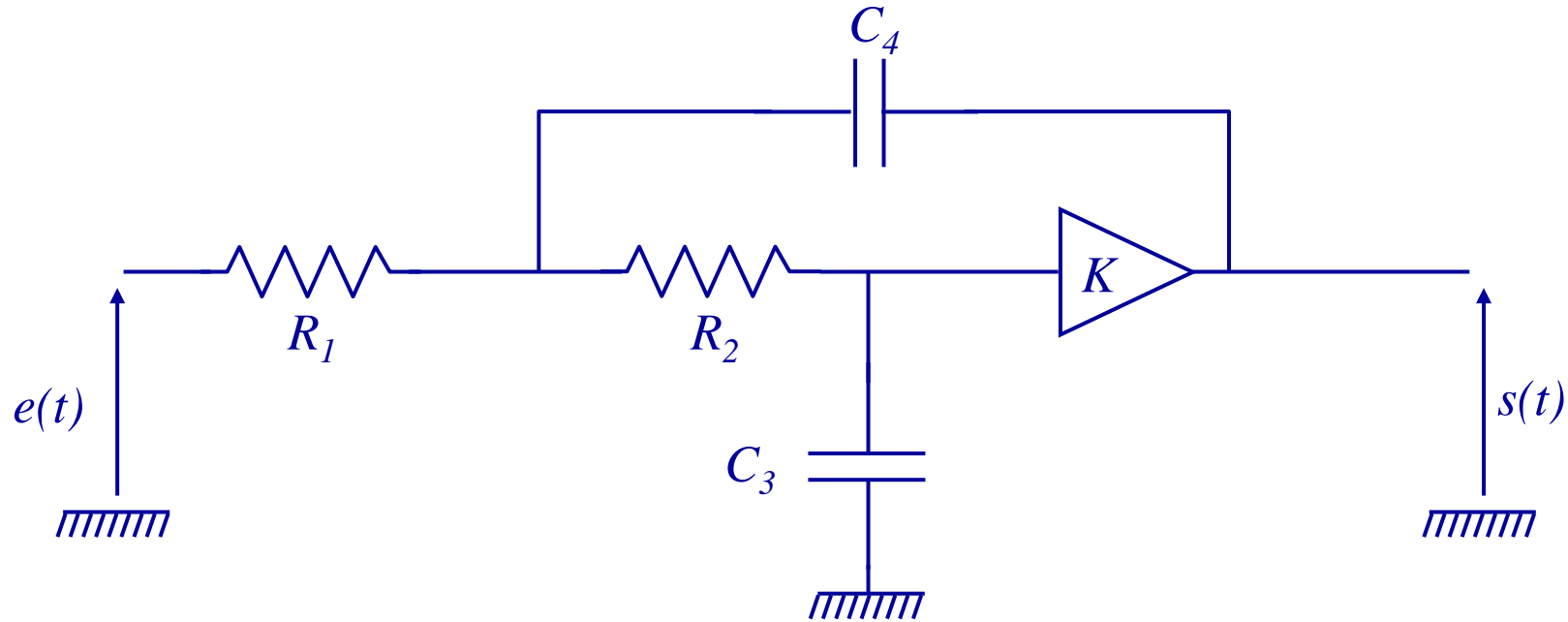
Structure Générale des Sallen-Key du 2^{ème} ordre



$$H = \frac{K Y_1 Y_2}{\left(Y_1 + Y_4 + Y_5 + \frac{1}{Z_2 + Z_3} \right) (Y_2 + Y_3) - K Y_2 Y_4}$$

V.6.D Filtrés de Sallen Key

Passé Bas de Sallen-Key (2eme ordre)



$$Z_1 = R_1$$

$$Z_2 = R_2$$

$$Y_3 = C_3 p$$

$$Y_4 = C_4 p$$

$$Z_5 = \infty$$

$$H = \frac{K}{R_1 R_2 C_3 C_4 p^2 + [(R_1 + R_2) C_3 + R_1 C_4 (1 - K)] p + 1}$$

V.6.D Filtres de Sallen Key

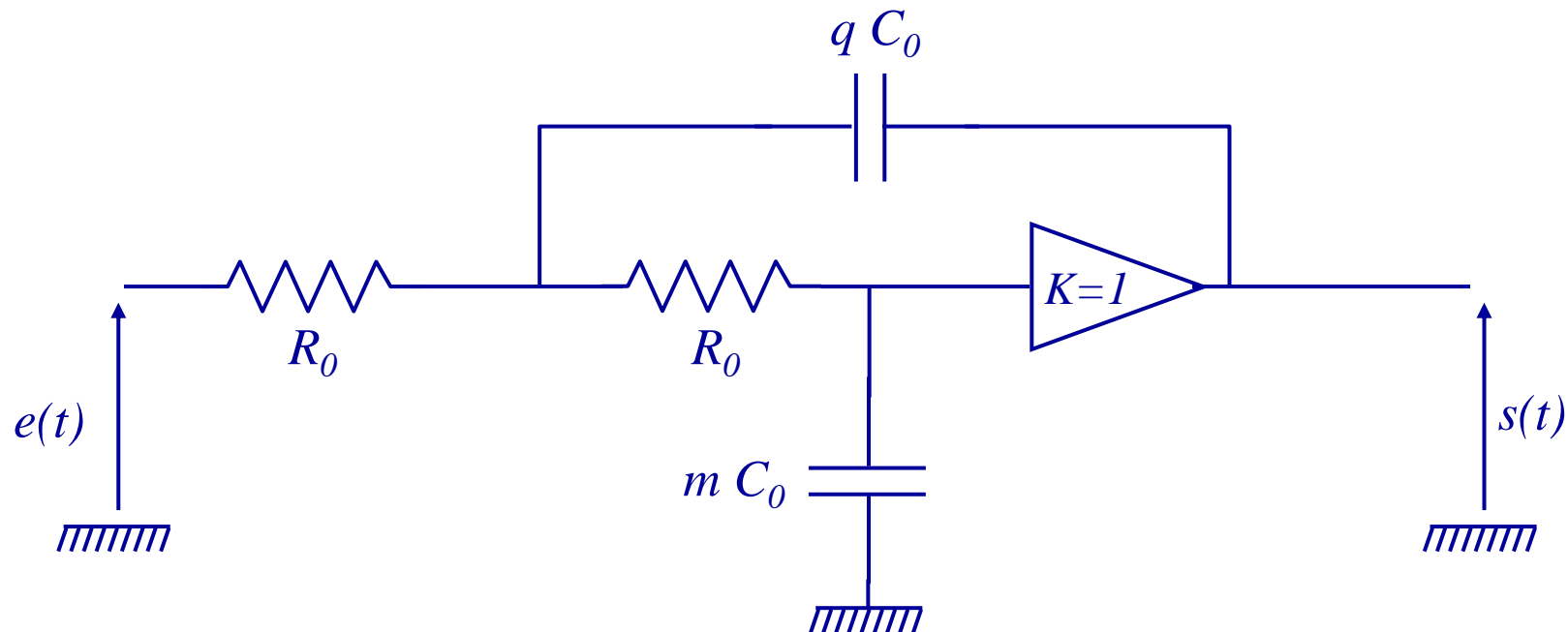
Passé Bas de Sallen-Key
$$H = \frac{K}{R_1 R_2 C_3 C_4 p^2 + [(R_1 + R_2) C_3 + R_1 C_4 (1 - K)] p + 1}$$

$$R_1 = R_2 = R_0$$

$$C_4 = q C_0$$

$$C_3 = m C_0$$

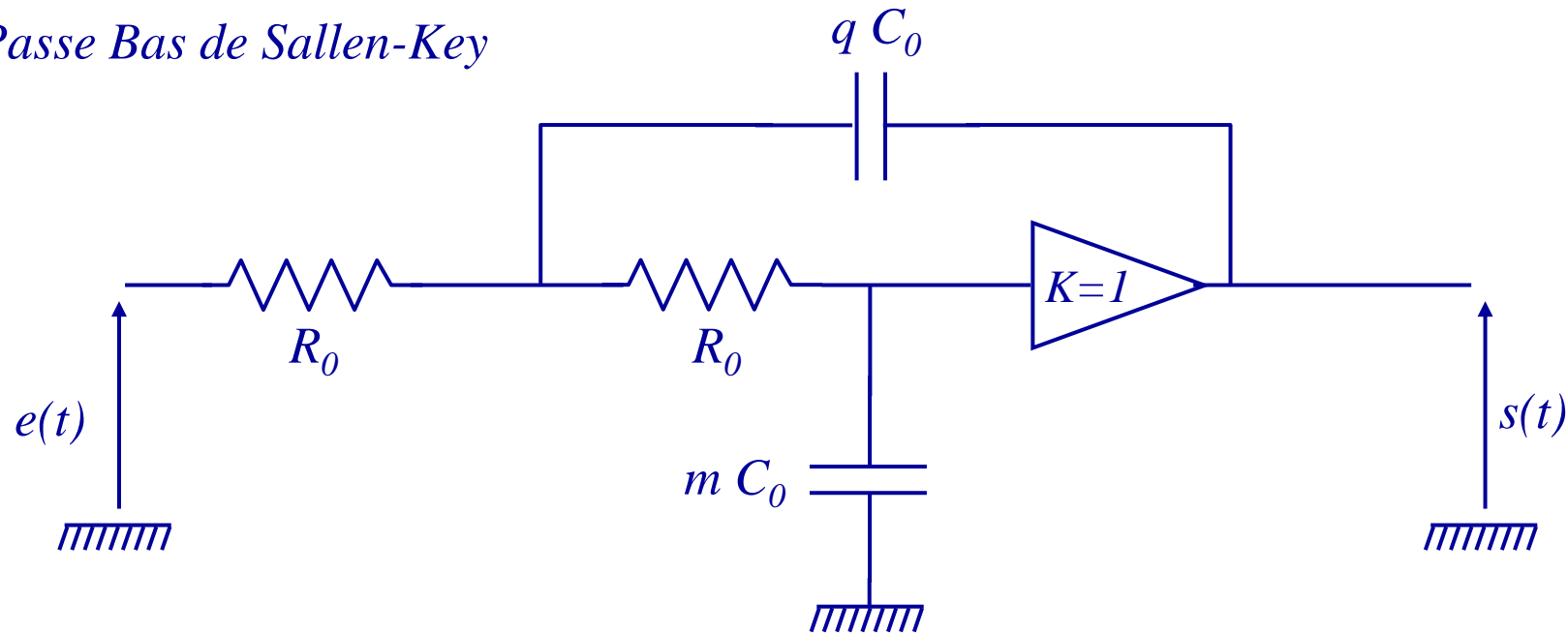
$$K=1$$



$$H = \frac{1}{mq(R_0 C_0)^2 p^2 + 2m R_0 C_0 p + 1}$$

V.6.D Filtres de Sallen Key

Passé Bas de Sallen-Key



$$H = \frac{1}{mq(R_0 C_0)^2 p^2 + 2mR_0 C_0 p + 1}$$

$$H = \frac{1}{\frac{p^2}{\omega_N^2} + 2\zeta \frac{p}{\omega_N} + 1}$$

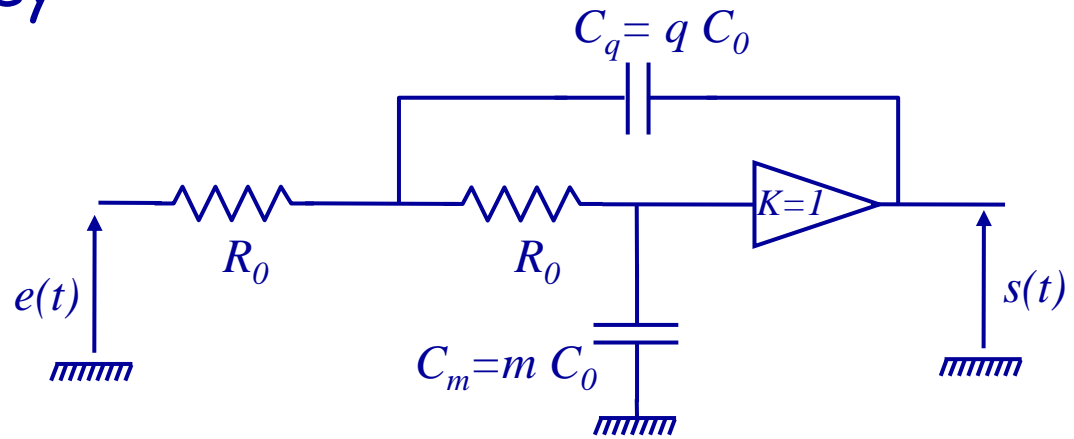
$$\omega_N = \frac{1}{R_0 C_0 \sqrt{mq}}$$

$$\zeta = \sqrt{\frac{m}{q}}$$

$$Q = \frac{1}{2\zeta} = \frac{1}{2} \sqrt{\frac{q}{m}}$$

V.6.D Filtres de Sallen Key

Normalisation



Impédance de référence : R_0

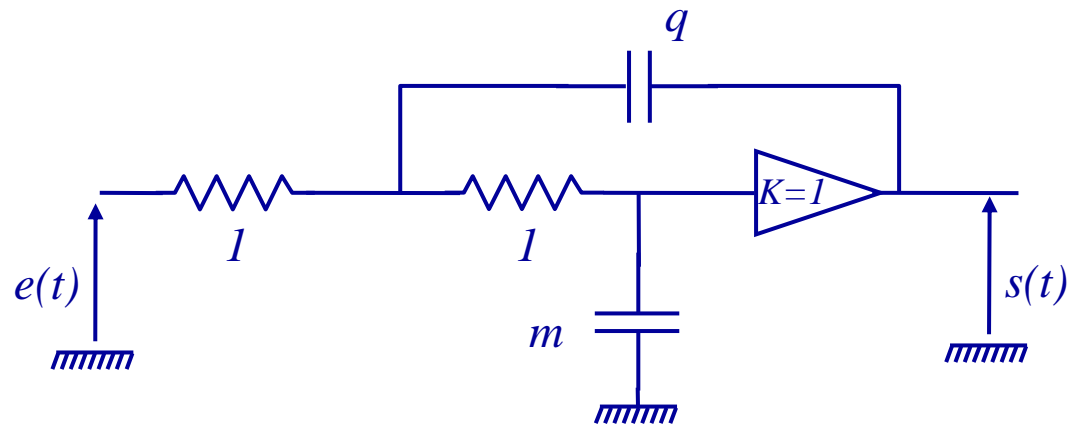
Pulsation de référence : $\omega_0 = \frac{1}{R_0 C_0}$

$$c_0 = R_0 C_0 \omega_0 = 1$$

$$r_0 = \frac{R_0}{R_0} = 1$$

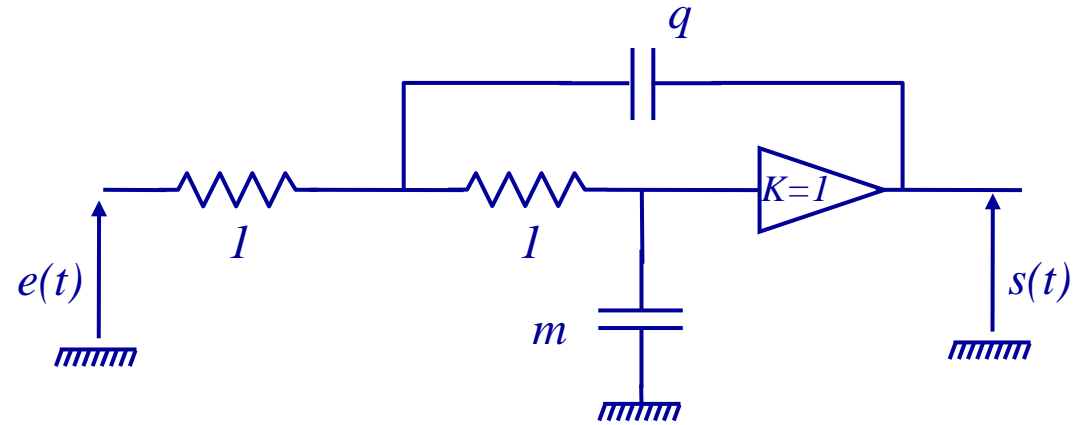
$$c_m = m c_0$$

$$c_q = q c_0$$



V.6.D Filtres de Sallen Key

Normalisation



$$H = \frac{1}{mq(R_0C_0)^2 p^2 + 2mR_0C_0p + 1}$$

où $\omega_0 = \frac{1}{R_0C_0}$

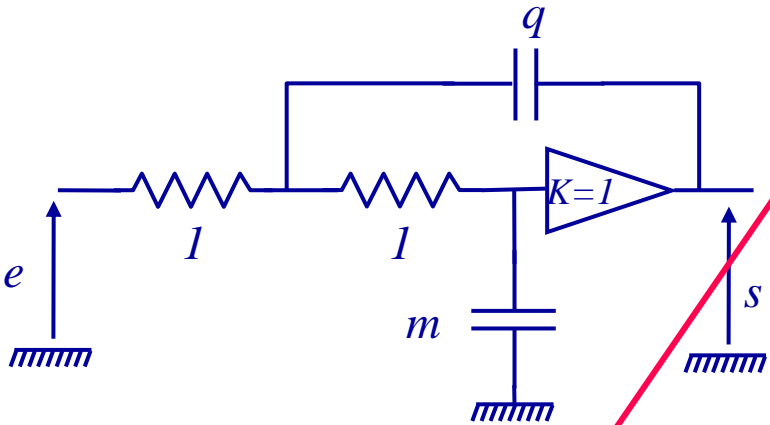
$$\rightarrow H = \frac{1}{mq \left(\frac{1}{\omega_0^2} \right) p^2 + 2m \left(\frac{1}{\omega_0} \right) p + 1}$$

$$\rightarrow \boxed{H = \frac{1}{mq p_n^2 + 2m p_n + 1}}$$

V.6.D Filtrés de Sallen Key

Exemple de filtre Passe Bas

Butterworth d'ordre 2



N	CIRCUIT	m	q	V _m	F _m	FONCTION DE TRANSMISSION
2	1	0.7071	1.4142	-	-	$(p^2 + 1.4142p + 1)$
3	1 2	0.5000 1.0000	1.9999	1.15	0.707	$(p^2 + 1.0000p + 1)$ $(p + 1)$
4	1 2	0.9238 0.3826	1.0823 2.6131	- 1.41	- 0.840	$(p^2 + 1.8477p + 1)$ $(p^2 + 0.7653p + 1)$
5	1 2 3	0.8090 0.3090 1.0000	1.2360 3.2360	- 1.70	- 0.899	$(p^2 + 1.6180p + 1)$ $(p^2 + 0.6180p + 1)$ $(p + 1)$
6	1 2 3	0.9659 0.7071 0.2588	1.0352 1.4142 3.8636	- - 1.99	- - 0.930	$(p^2 + 1.9318p + 1)$ $(p^2 + 1.4142p + 1)$ $(p^2 + 0.5176p + 1)$
7	1 2 3 4	0.9007 0.6234 0.2225 1.0000	1.1099 1.6038 4.4939	- 1.02 2.30	- 0.471 0.949	$(p^2 + 1.8019p + 1)$ $(p^2 + 1.2469p + 1)$ $(p^2 + 0.4450p + 1)$ $(p + 1)$
8	1 2 3 4	0.9807 0.8714 0.5755 0.1950	1.0195 1.2026 1.7999 5.1258	- - 1.08 2.61	- - 0.618 0.961	$(p^2 + 1.9615p + 1)$ $(p^2 + 1.6629p + 1)$ $(p^2 + 1.1111p + 1)$ $(p^2 + 0.3901p + 1)$
9	1 2 3 4 5	0.9396 0.7660 0.5000 0.1736 1.0000	1.0641 1.3054 1.9999 5.7587	- - 1.15 2.92	- - 0.707 0.969	$(p^2 + 1.8793p + 1)$ $(p^2 + 1.5320p + 1)$ $(p^2 + 1.0000p + 1)$ $(p^2 + 0.3472p + 1)$ $(p + 1)$

Tableau Bu 5. — Filtrés passe-bas et passe-haut de Butterworth. Valeur des éléments et des grandeurs de réglage.

Passe Bas d'ordre 2 de Salen-Key :

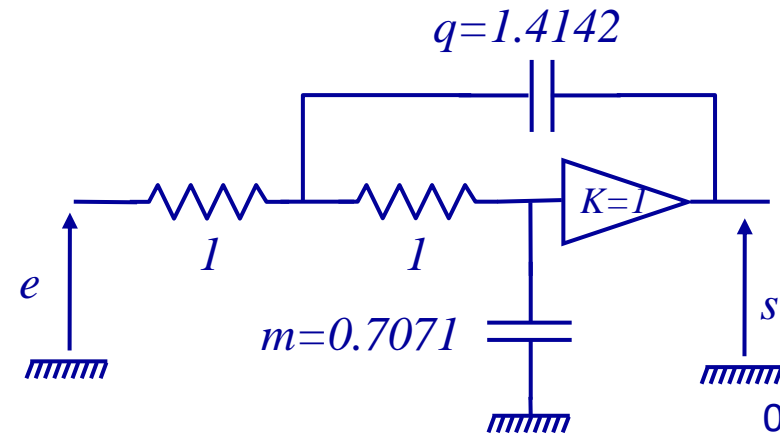
$$\zeta = \sqrt{\frac{m}{q}} = 0.707$$

$$m=0.7071 ; q=1.4142$$

$$H = \frac{1}{p_n^2 + 1.4142 p_n + 1}$$

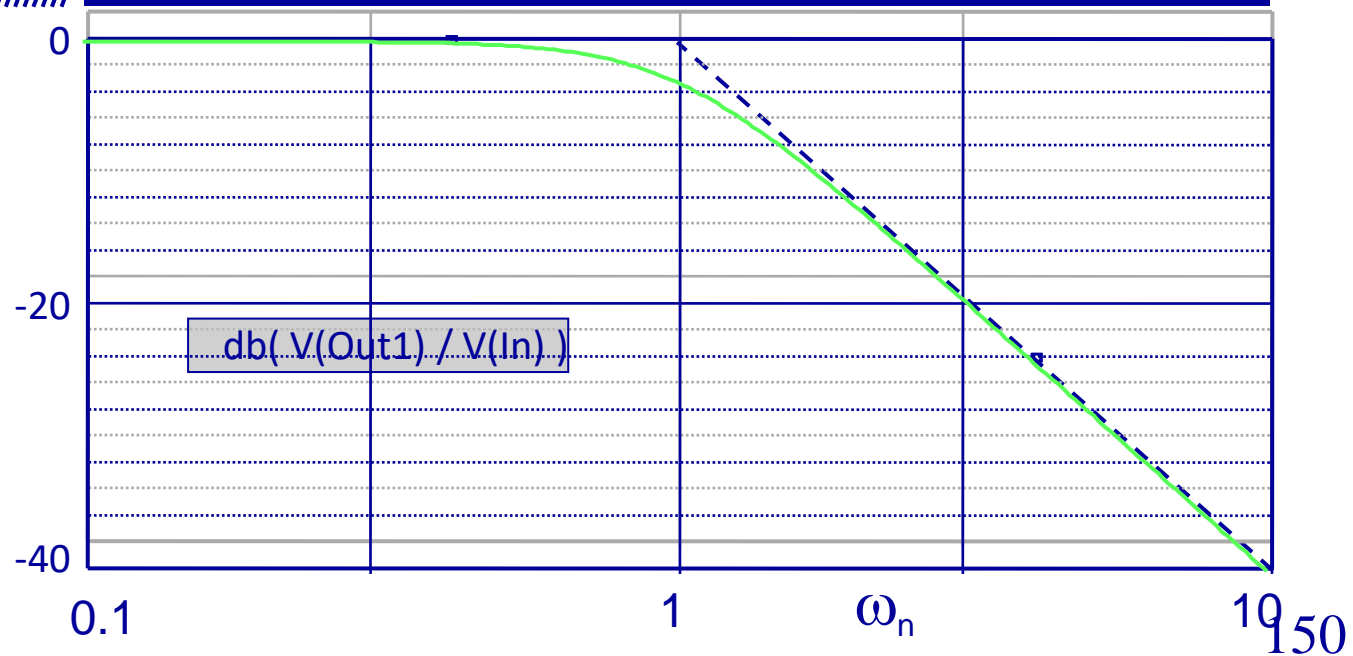
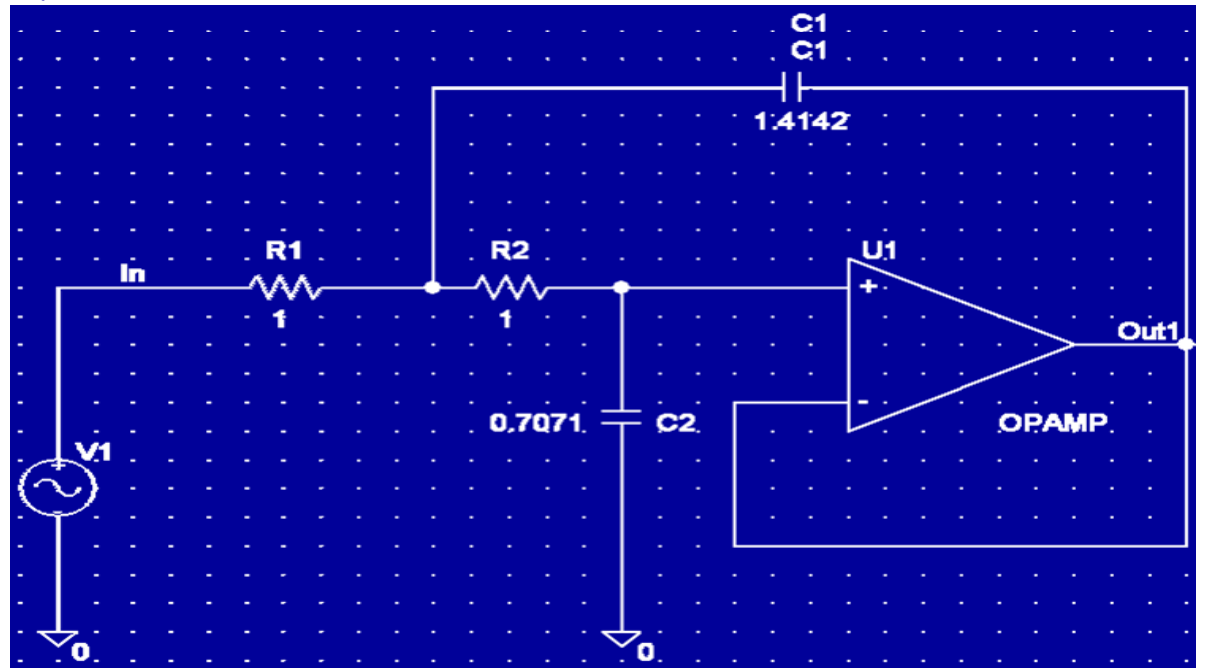
V.6.D Filtres de Sallen Key

filtre normalisé



$$\zeta = \sqrt{\frac{m}{q}} = 0.707$$

PasseBasOrdre2_Normalise_Parfait.sch

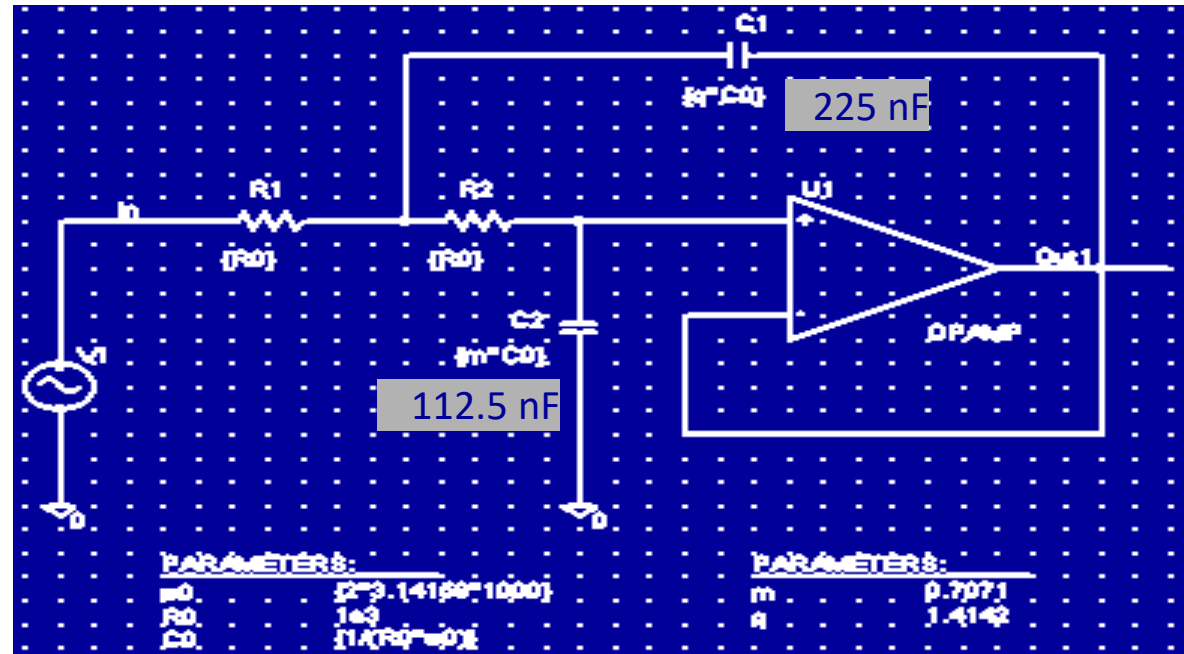


V.6.D Filtres de Sallen Key

filtre dénormalisé à $f_0 = 1 \text{ kHz}$

$$R_0 = 1 \text{ k}\Omega \quad \omega_0 = 2\pi 10^3$$

$$C_0 = \frac{1}{R_0 \omega_0} = 159 \text{ nF}$$



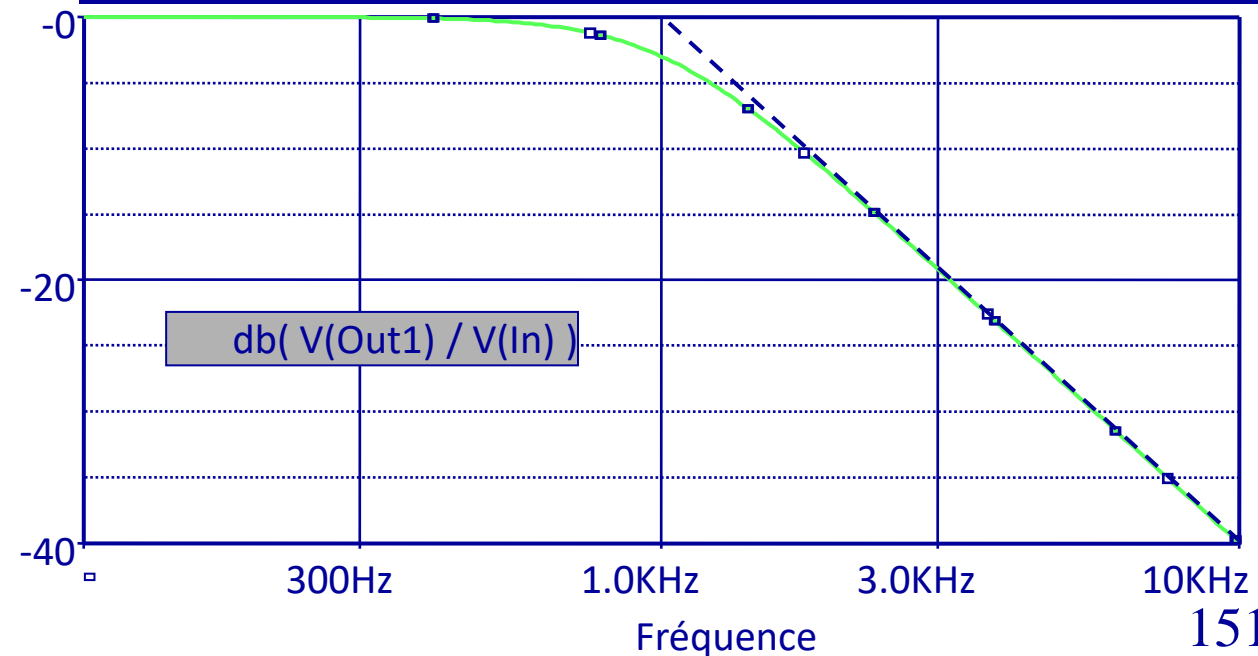
PARAMÈTERS:

w0	2*3.14159*1000
R0	1e3
C0	1/(R0*w0)

PARAMÈTERS:

m	0.7071
n	1.4142

PasseBasOrdre2 Parfait.sch



V.6.D Filtrés de Sallen Key

Exemple d'un filtre Passe Bas

Prototype de Butterworth d'ordre 4

$$m_1 = 0.9238 ; q_1 = 1.0823$$

$$m_2 = 0.3826 ; q_2 = 2.6131$$

$$\zeta_1 = \sqrt{\frac{m_1}{q_1}} = 0.924$$

$$\zeta_2 = \sqrt{\frac{m_2}{q_2}} = 0.383$$

résonance

N	CIRCUIT	m	q	V _m	F _m	FONCTION DE TRANSMISSION
2	1	0.7071	1.4142	-	-	(P ² + 1.4142P + 1)
3	1 2	0.5000 1.0000	1.9999	1.15	0.707	(P ² + 1.0000P + 1) (P + 1)
4	1 2	0.9238 0.3826	1.0823 2.6131	- 1.41	- 0.840	(P ² + 1.8477P + 1) (P ² + 0.7653P + 1)
5	1 2 3	0.8090 0.3090 1.0000	1.2360 3.2360	- 1.70	- 0.899	(P ² + 1.6180P + 1) (P ² + 0.6180P + 1) (P + 1)
6	1 2 3	0.9659 0.7071 0.2588	1.0352 1.4142 3.8636	- - 1.99	- - 0.930	(P ² + 1.9318P + 1) (P ² + 1.4142P + 1) (P ² + 0.5176P + 1)
7	1 2	0.9009 0.6234	1.1099 1.6038	- 1.02	- 0.471	(P ² + 1.8019P + 1) (P ² + 1.2469P + 1)

Tableau Bu 5. — Filtrés passe-bas et passe-haut de Butterworth. Valeur des éléments et des grandeurs de réglage.

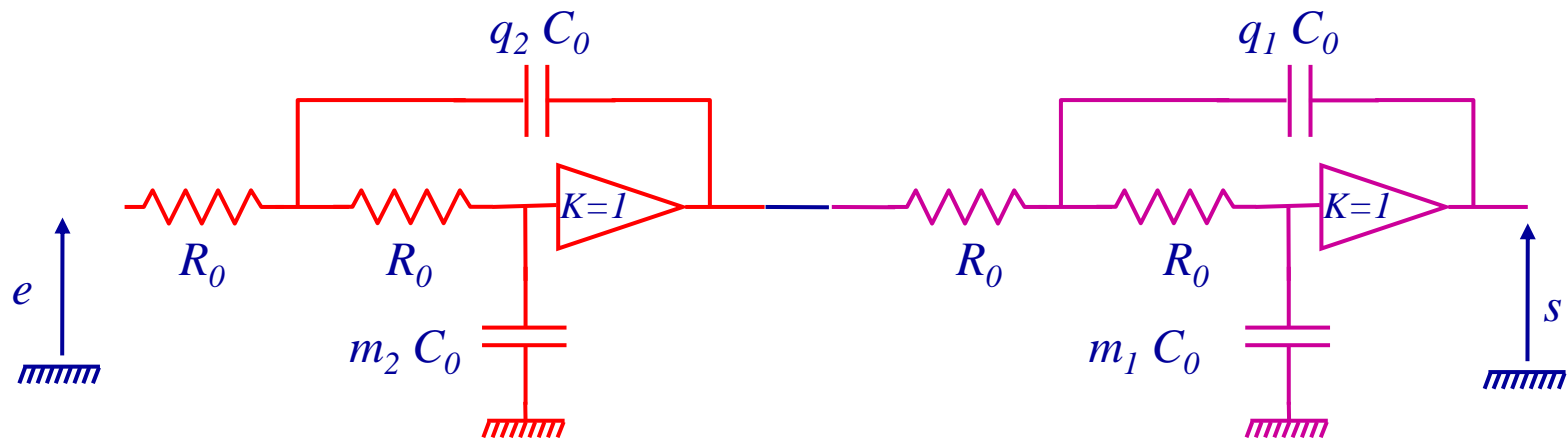
$$G(\omega_r = 0.840 \omega_0) = V_m = 1.41$$

$$H = \frac{1}{p_n^2 + 1.8477 p_n + 1} \cdot \frac{1}{p_n^2 + 0.7653 p_n + 1}$$

V.6.D Filtres de Sallen Key

Passé Bas de Sallen-Key : exemple Passé Bas de Butterworth d'ordre 4

$$H = \frac{1}{p_n^2 + 0.7653 p_n + 1} \quad \frac{1}{p_n^2 + 1.8477 p_n + 1}$$



$$m_2 = 0.3826 ; q_2 = 2.6131$$

$$m_1 = 0.9238 ; q_1 = 1.0823$$

$$G(\omega_r = 0.840 \omega_0) = V_m = 1.41$$

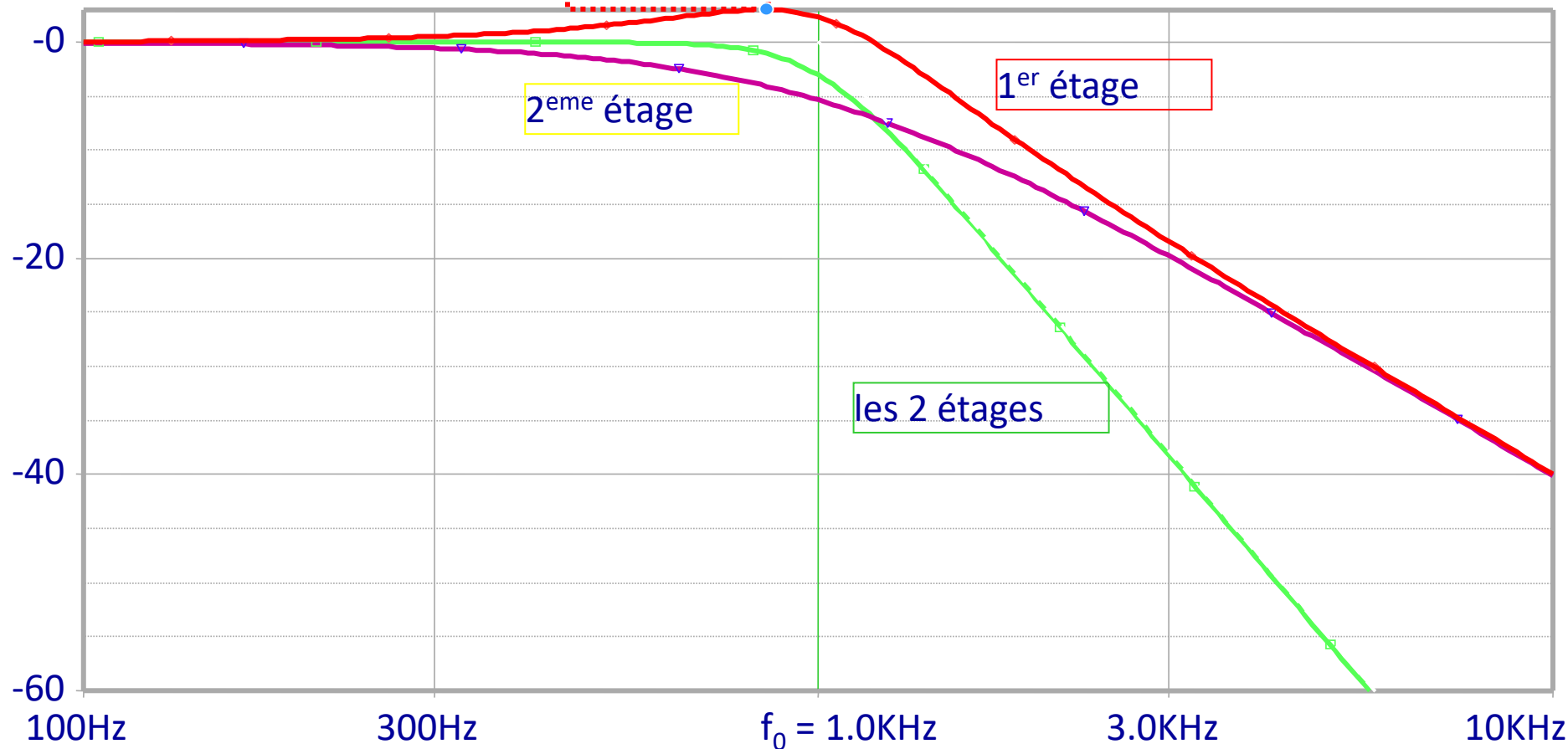
V.6.D Filtres de Sallen Key

Passé Bas de Sallen-Key : exemple Passé Bas de Butterworth d'ordre 4

4	1	0.9238	1.0823	-	-	$(P^2 + 1.8477P + 1)$
	2	0.3826	2.6131	1.41	0.840	$(P^2 + 0.7653P + 1)$

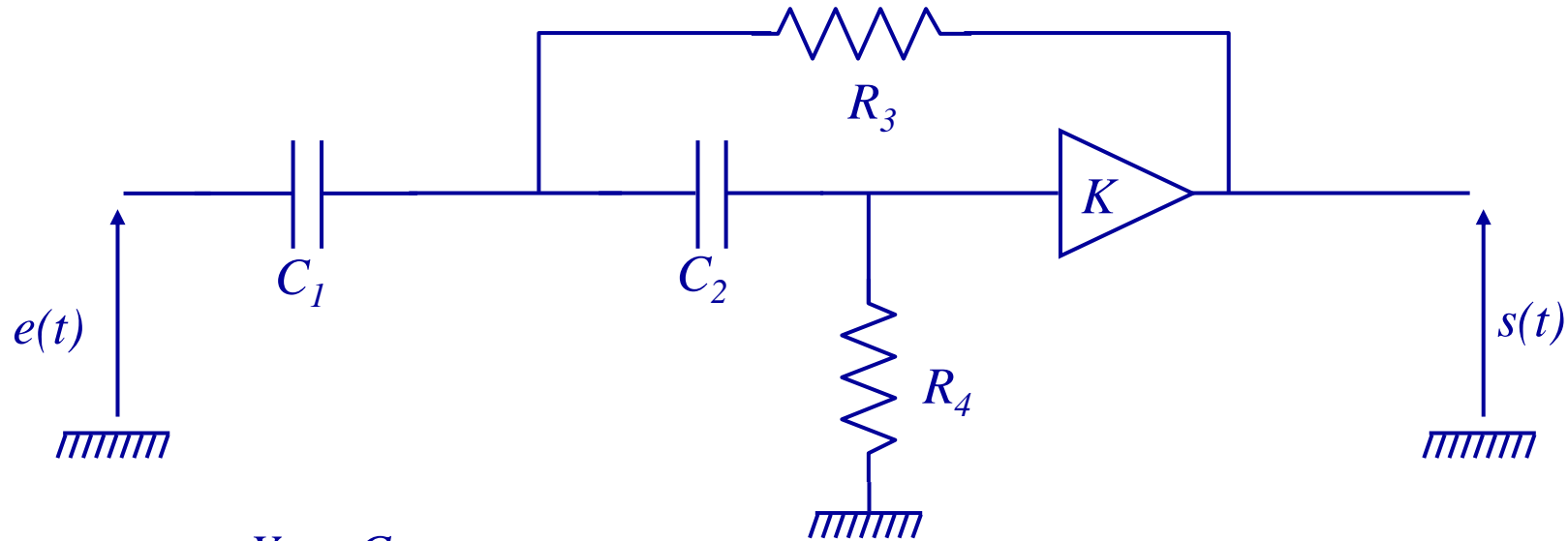
$V_m = 1.41 = 3\text{dB}$

$f_r = 0.840 f_0$



V.6.D Filtres de Sallen Key

Passé Haut de Sallen-Key



$$Y_1 = C_1 p$$

$$Y_2 = C_2 p$$

$$Z_3 = R_3$$

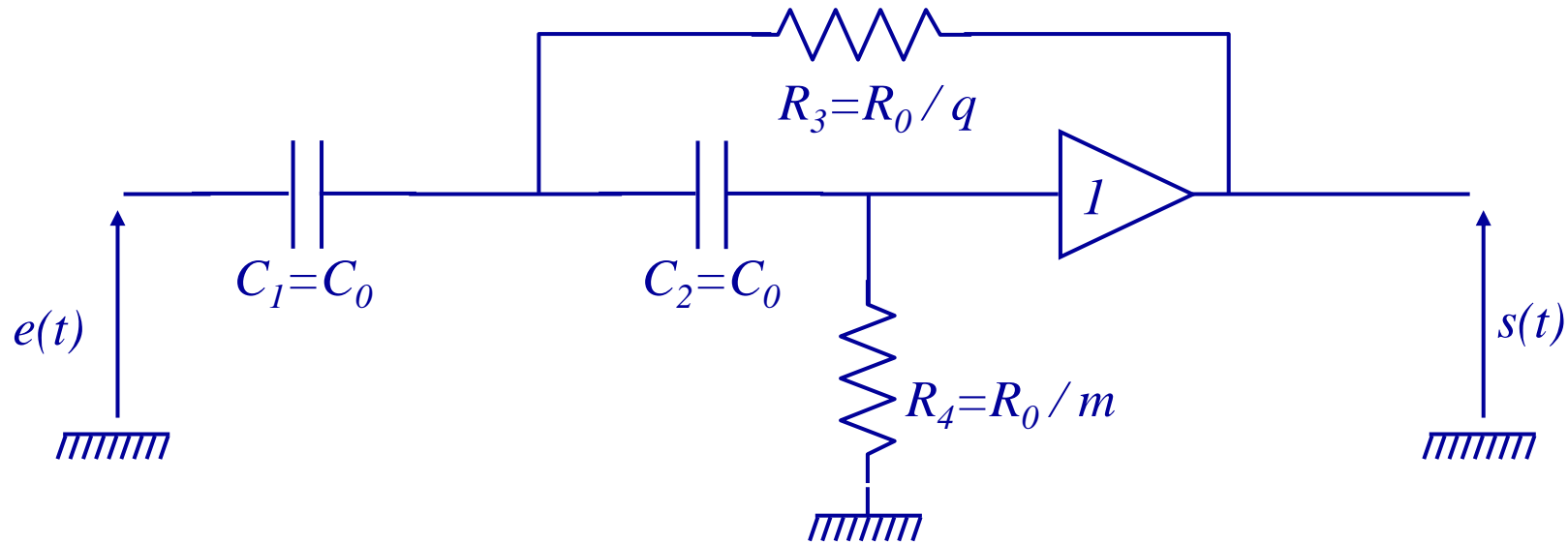
$$Z_4 = R_4$$

$$Z_5 = \infty$$

$$H = \frac{K R_3 R_4 C_1 C_2 p^2}{R_3 R_4 C_1 C_2 p^2 + [R_3 (C_1 + C_2) + C_2 (1 - K) R_4] p + 1}$$

V.6.D Filtres de Sallen Key

Passé Haut de Sallen-Key



$$C_1 = C_2 = C_0$$

$$R_4 = R_0/m$$

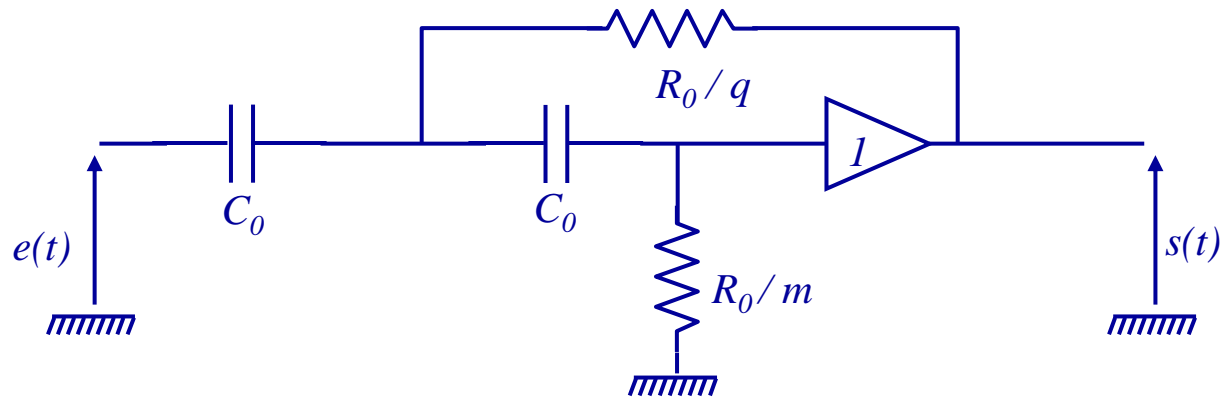
$$R_3 = R_0/q$$

$$K=1$$

$$H = \frac{R_0^2 C_0^2 p^2 / (mq)}{R_0^2 C_0^2 p^2 / (mq) + 2R_0 C_0 p / q + 1}$$

V.6.D Filtres de Sallen Key

Passé Haut de Sallen-Key



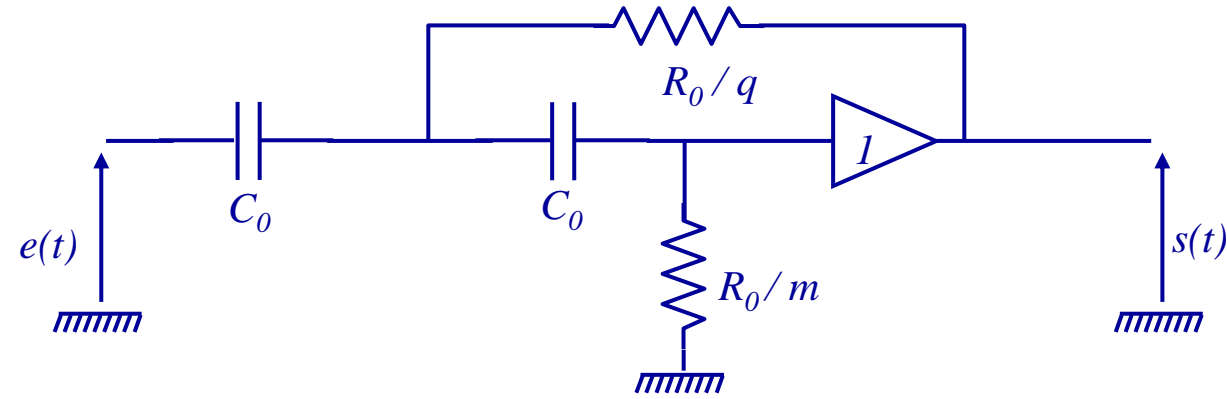
$$H = \frac{R_0^2 C_0^2 p^2 / (mq)}{R_0^2 C_0^2 p^2 / (mq) + 2 R_0 C_0 p / q + 1}$$

$$H = \frac{\frac{p^2}{\omega_N^2}}{\frac{p^2}{\omega_N^2} + 2\zeta \frac{p}{\omega_N} + 1}$$

$$\omega_N = \frac{\sqrt{mq}}{R_0 C_0} \quad \zeta = \sqrt{\frac{m}{q}}$$

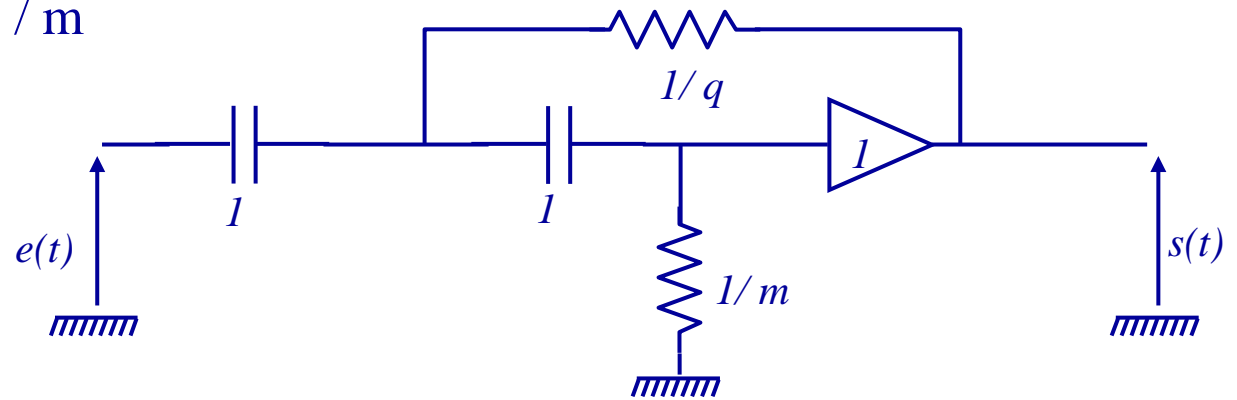
V.6.D Filtrés de Sallen Key

Passé Haut de Sallen-Key



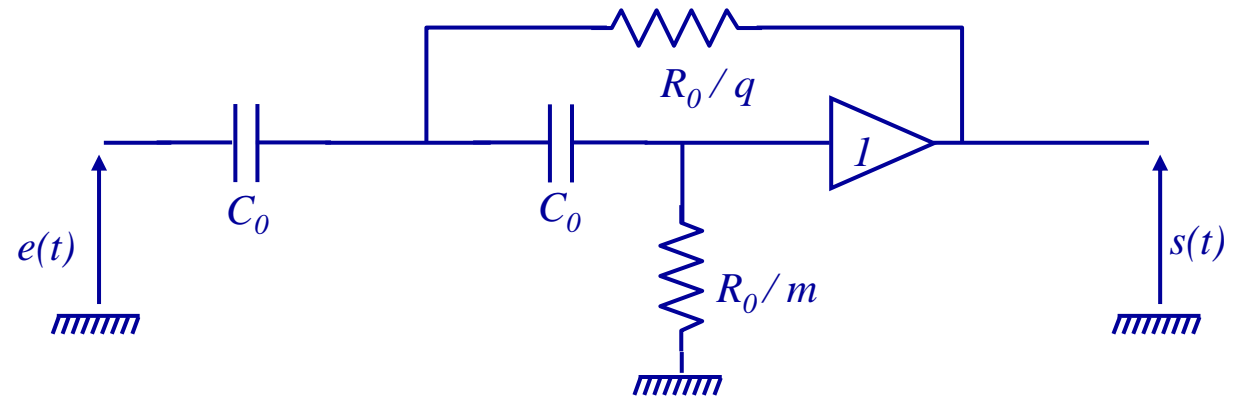
avec R_0 et $\omega_0 = \frac{1}{R_0 C_0}$

- R_0 \longrightarrow 1
- C_0 \longrightarrow 1
- R_0/q \longrightarrow $1/q$
- R_0/m \longrightarrow $1/m$



V.6.D Filtrés de Sallen Key

Normalisation



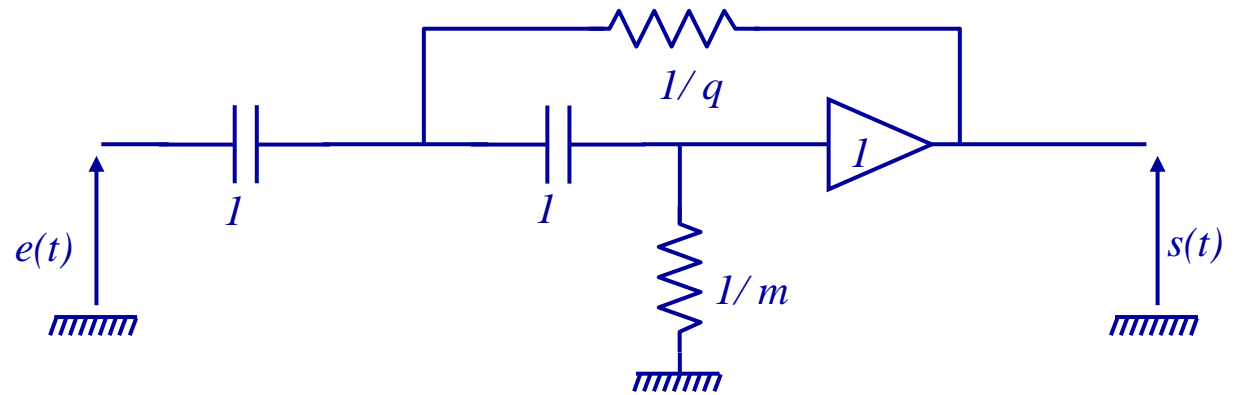
Impédance de référence : R_0

Pulsation de référence : $\omega_0 = \frac{1}{R_0 C_0}$

$$c_0 = R_0 C_0 \omega_0 = 1$$

$$r_m = \frac{R_0 / m}{R_0} = \frac{1}{m}$$

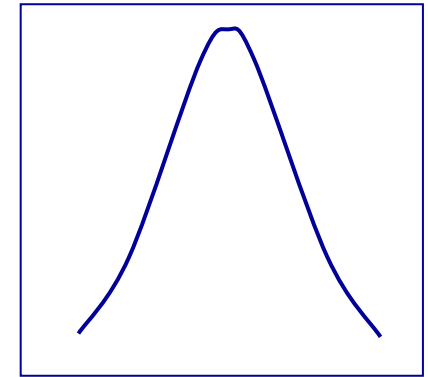
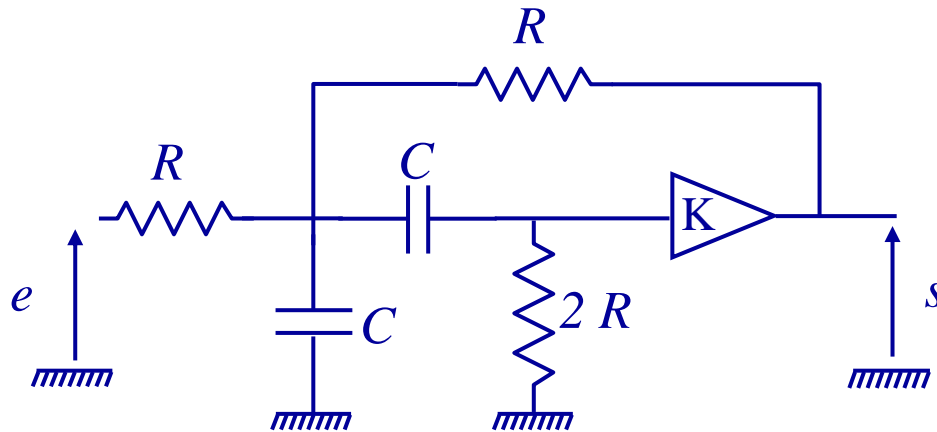
$$r_q = \frac{R_0 / q}{R_0} = \frac{1}{q}$$



V.6.D Filtres de Sallen Key

Passé Bande de Sallen-Key

Fonction du 2^{ème} ordre (mais pentes en $\pm 20\text{dB/dec}$) \rightarrow Passé Bande du 1^{er} ordre



$$H = \frac{K p / \omega_0}{p^2 / \omega_0^2 + 2\zeta p / \omega_0 + 1}$$

$$\omega_0 = \frac{1}{RC}$$

$$\zeta = \frac{3-K}{2}$$

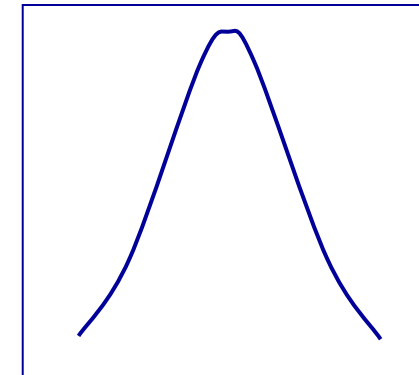
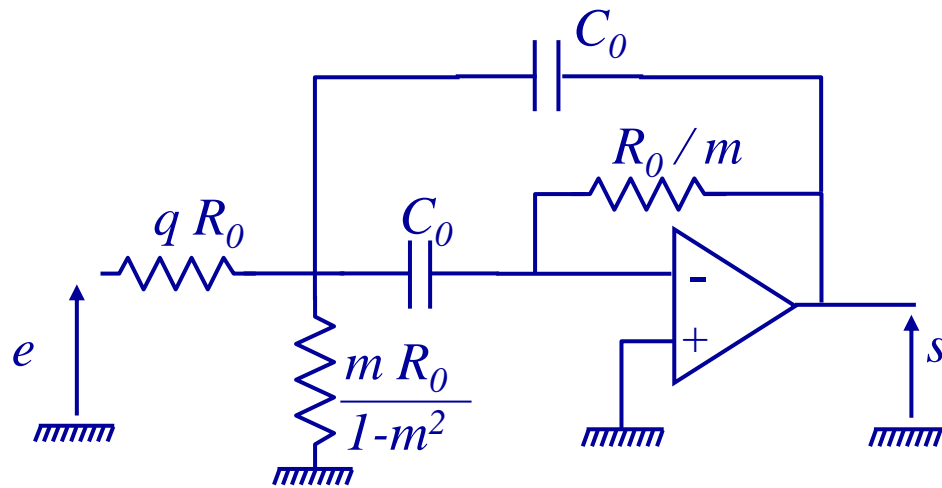
$$\text{Gain à } \omega_0 : G_0 = \frac{K}{3-K}$$

mais structure trop sensible aux écarts de valeur

V.6.D Filtrés de Sallen Key

↳ Passé Bande de Rauch

Fonction du 2^{ème} ordre (mais pentes en $\pm 20\text{dB/dec}$) → Passé Bande du 1^{er} ordre



$$G_0 = \frac{1}{4}$$

$$H = \frac{m p_n}{p_n^2 + 2m p_n + 1}$$

$$\zeta = m$$

$$\omega_N = 1$$

V.6.D Filtres de Sallen Key

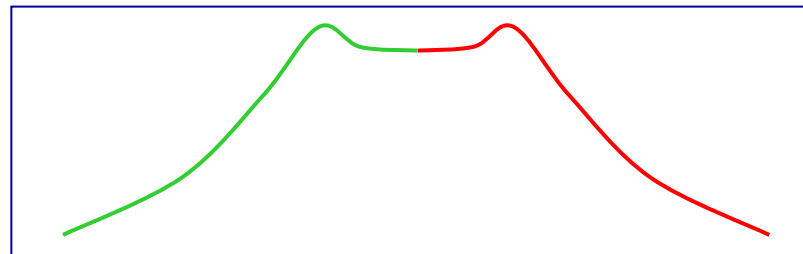
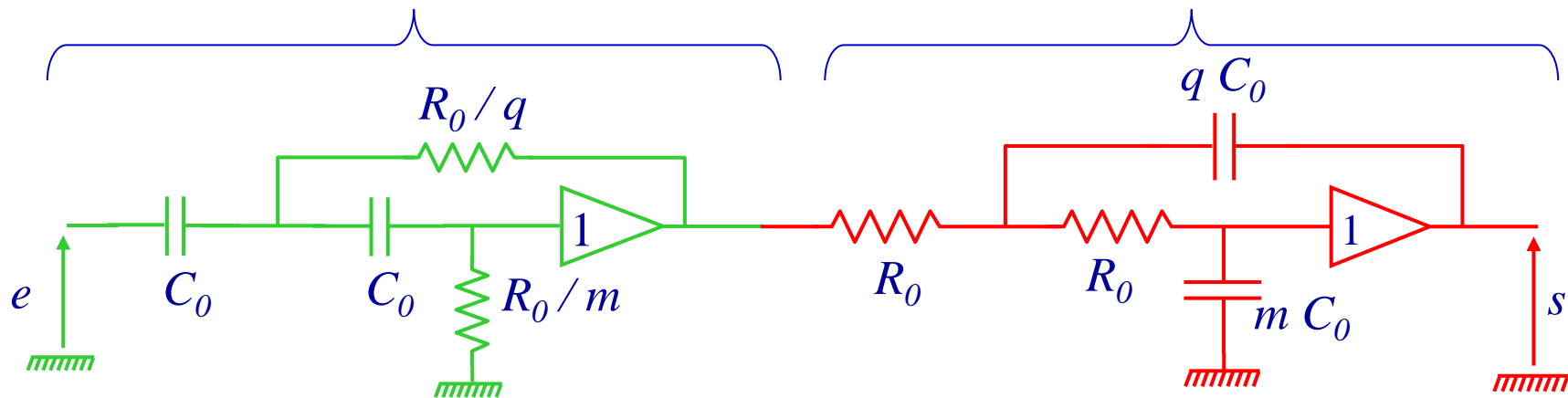
Passé Bande de Sallen-Key du 2^{ème} ordre (pentes en $1/p^2$ en ± 40 dB/dec)

Association

d'un filtre *Passé Haut* du 2^{ème} ordre

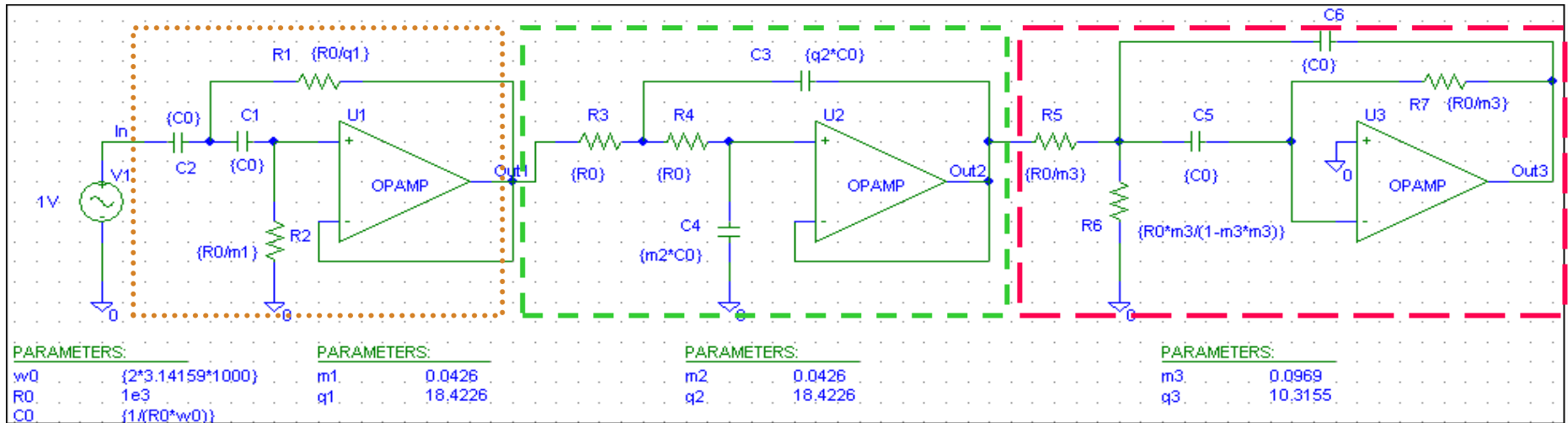
et

d'un filtre *Passé Bas* du 2^{ème} ordre



V.6.D Filtres de Sallen Key

Chebyshev Ordre 3 de bande relative de 20% (pentes en $1/p^3 \pm 60\text{dB/dec}$)

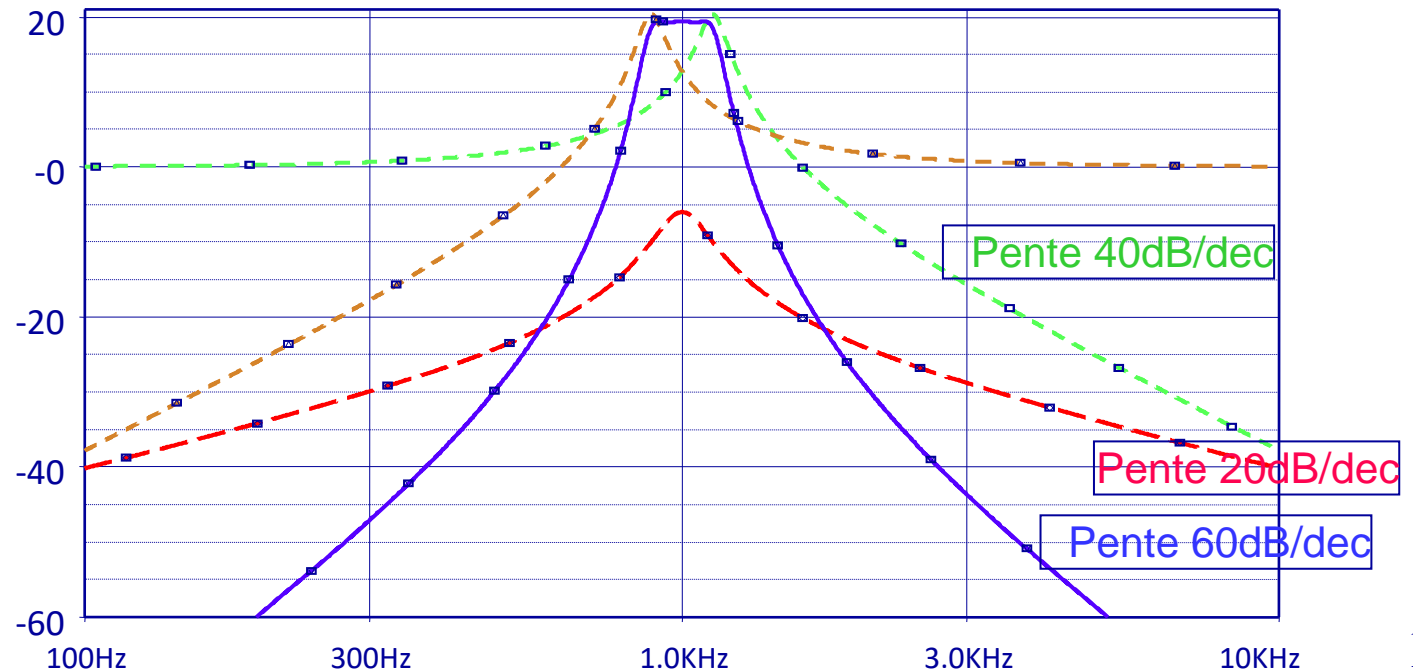


db(V(Out1)/V(In))

db(V(Out2)/V(Out1))

db(V(Out3)/V(Out2))

db(V(Out3)/V(In))



V.6.E Filtrés de Sallen Key - sensibilité

Rappel sur la sensibilité

Soit une fonction $f(x_1, x_2, \dots, x_n)$,

la sensibilité notée $S_{x_i}^f$ vaut :
$$S_{x_i}^f = \frac{\partial f / f}{\partial x_i / x_i} = x_i \frac{\partial f / \partial x_i}{f} = x_i \frac{\partial}{\partial x_i} [\ln(f)]$$

Elle représente la variation relative de la fonction f par rapport à la variation relative du paramètre x_i

exemple : $f(x,y) = x^2 + 3y$

$$S_x^f = \frac{\partial f / f}{\partial x / x} = x \frac{\partial f / \partial x}{f} = x \frac{2x}{x^2 + 3y}$$
$$S_y^f = \frac{\partial f / f}{\partial y / y} = y \frac{\partial f / \partial y}{f} = y \frac{3}{x^2 + 3y}$$

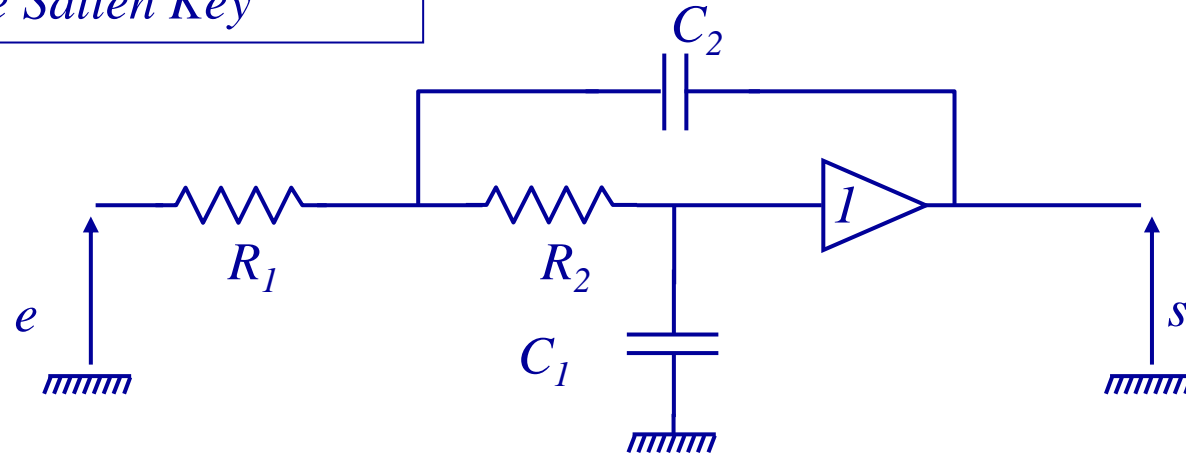
A.N : en $x=1$ et $y=1$ $S_x^f = 0.5$ (50%) $S_y^f = 0.75$ (75%)

si x varie 20% ($dx/x = 0.2$) alors f varie de $[dx/x] * [S_x]$ soit $0.2 * 0.5 = 0.1 = (10\%)$

si y varie 20% ($dy/y = 0.2$) alors f varie de $[dy/y] * [S_y]$ soit $0.2 * 0.75 = 0.15 = (15\%)$ 164

V.6.E Filtrés de Sallen Key - sensibilité

Sensibilité d'un filtre de Sallen Key



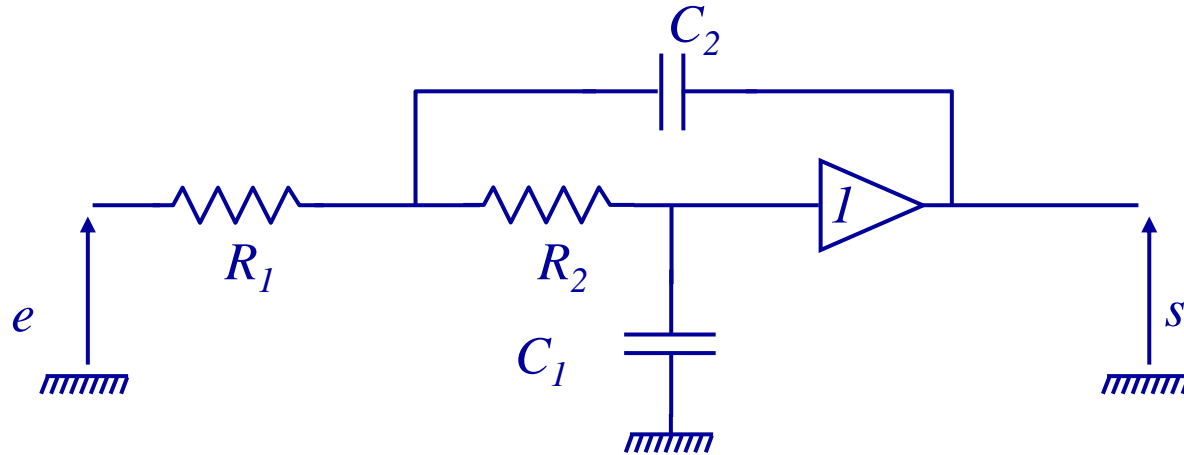
$$H = \frac{1}{R_1 R_2 C_1 C_2 p^2 + [(R_1 + R_2) C_1] p + 1}$$

$$\omega_N = \frac{1}{\sqrt{R_1 R_2 C_1 C_2}}$$

$$\zeta = \frac{C_1 [R_1 + R_2]}{2 \sqrt{R_1 R_2 C_1 C_2}}$$

V.6.E Filtres de Sallen Key - sensibilité

Sensibilité d'un filtre de Sallen Key



$$\omega_N = \frac{1}{\sqrt{R_1 R_2 C_1 C_2}}$$

$$\zeta = \frac{C_1 [R_1 + R_2]}{2 \sqrt{R_1 R_2 C_1 C_2}}$$

$$S_{R_i}^{\omega_N} = \frac{\partial \omega_N / \omega_N}{\partial R_i / R_i} = R_i \frac{\partial}{\partial R_i} [\ln(\omega_N)]$$

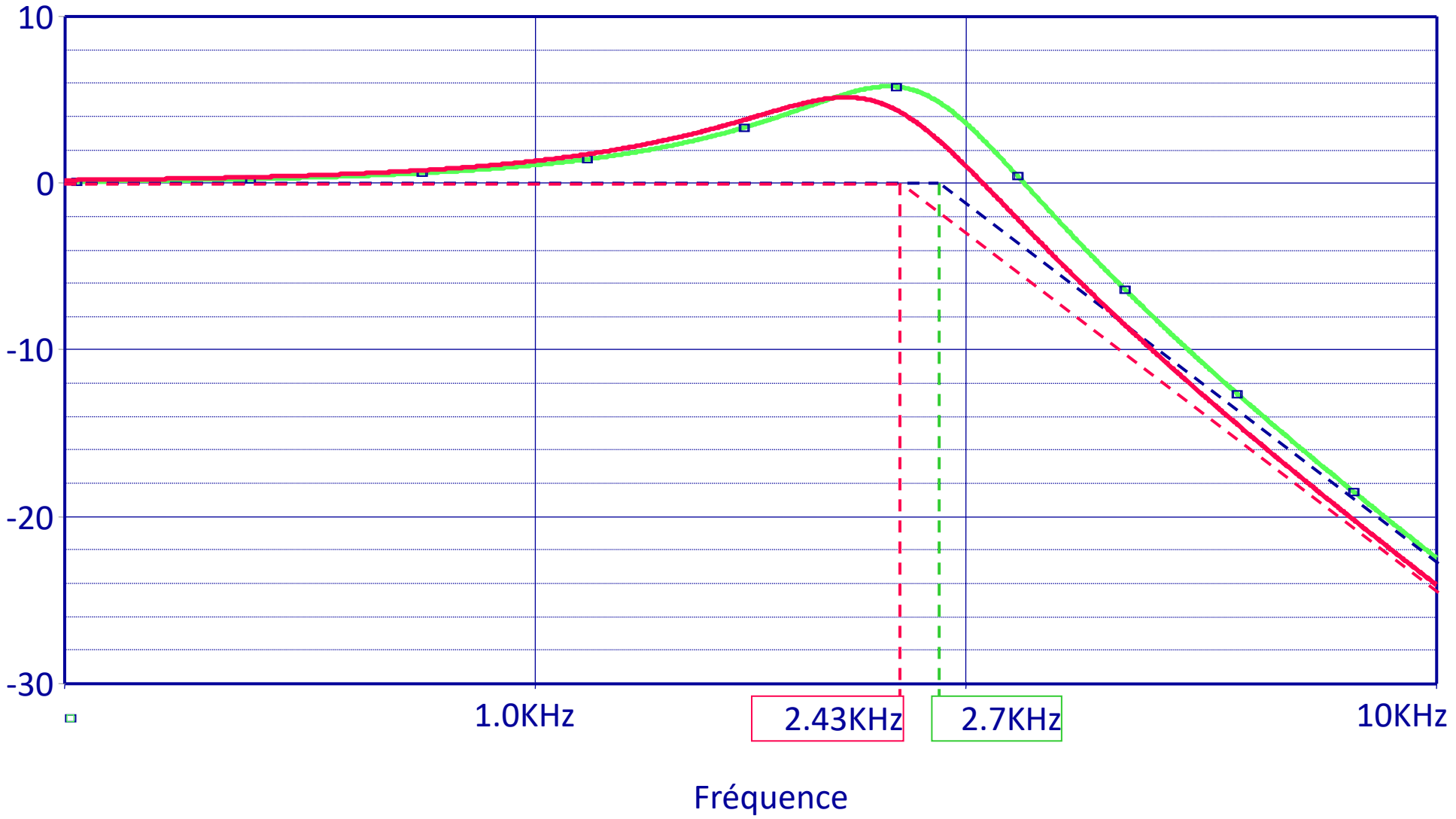
$$S_{R_1}^{\omega_N} = R_1 \frac{\partial}{\partial R_1} \left[\ln \left(\frac{1}{\sqrt{R_1 R_2 C_1 C_2}} \right) \right] = -\frac{1}{2} R_1 \frac{\partial}{\partial R_1} [\ln(R_1 R_2 C_1 C_2)] = -\frac{1}{2} R_1 \underbrace{\frac{\partial}{\partial R_1} [\ln(R_1)]}_{1/R_1} = -\frac{1}{2}$$

$$S_{R_2}^{\omega_N} = S_{C_1}^{\omega_N} = S_{C_2}^{\omega_N} = -\frac{1}{2}$$

V.6.E Filtres de Sallen Key - sensibilité

Sensibilité d'un filtre de Sallen Key

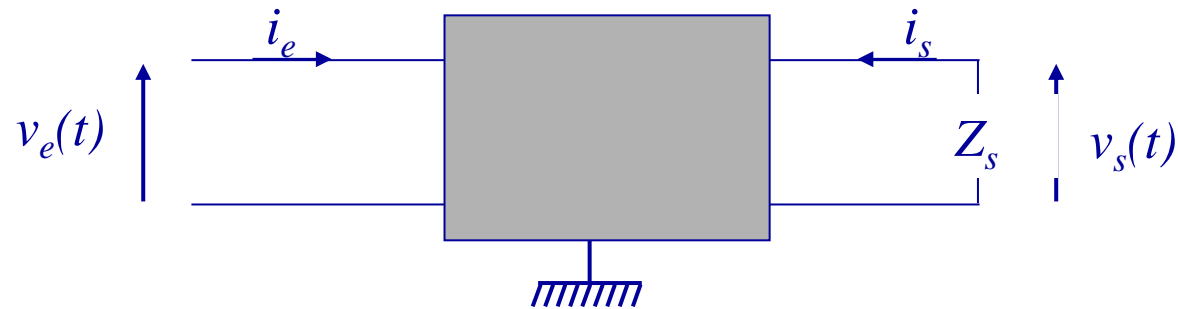
$$S_{C_1}^{\omega_N} = -\frac{1}{2} \quad \frac{\delta C_1}{C_1} = 20\% \quad \rightarrow \quad \frac{\delta \omega_N}{\omega_N} = -10\%$$



V.7 Synthèse avancée des Filtrés actifs

Traité sur le poly de cours mais pas en cours

V.7 Synthèse avancée des Filtrés Actifs



$$\begin{array}{l} v_e = k v_s \\ i_s = -k' i_e \end{array} \left| \begin{array}{l} \rightarrow \\ \rightarrow \end{array} \right. \frac{v_e}{i_e} = \frac{k v_s}{i_s / (-k')} = -k k' \frac{v_s}{i_s} \left| \begin{array}{l} \rightarrow \\ \rightarrow \end{array} \right. \boxed{Z_e = K Z_s}$$

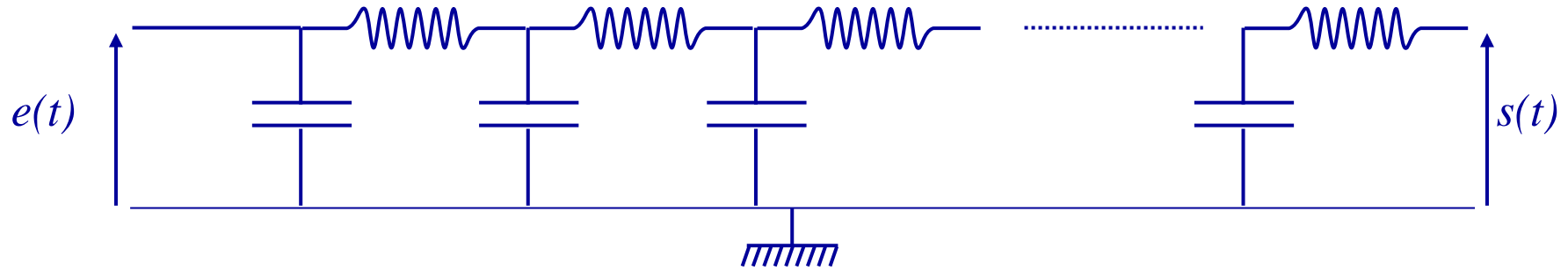
Si K est négatif on parle de Negative Impedance Converter (NIC)

Si K est positif on parle de Positive Impedance Converter (PIC)

Si K est complexe on parle de Generalised Impedance Converter (GIC)

V.7 Synthèse avancée des Filtrés Actifs

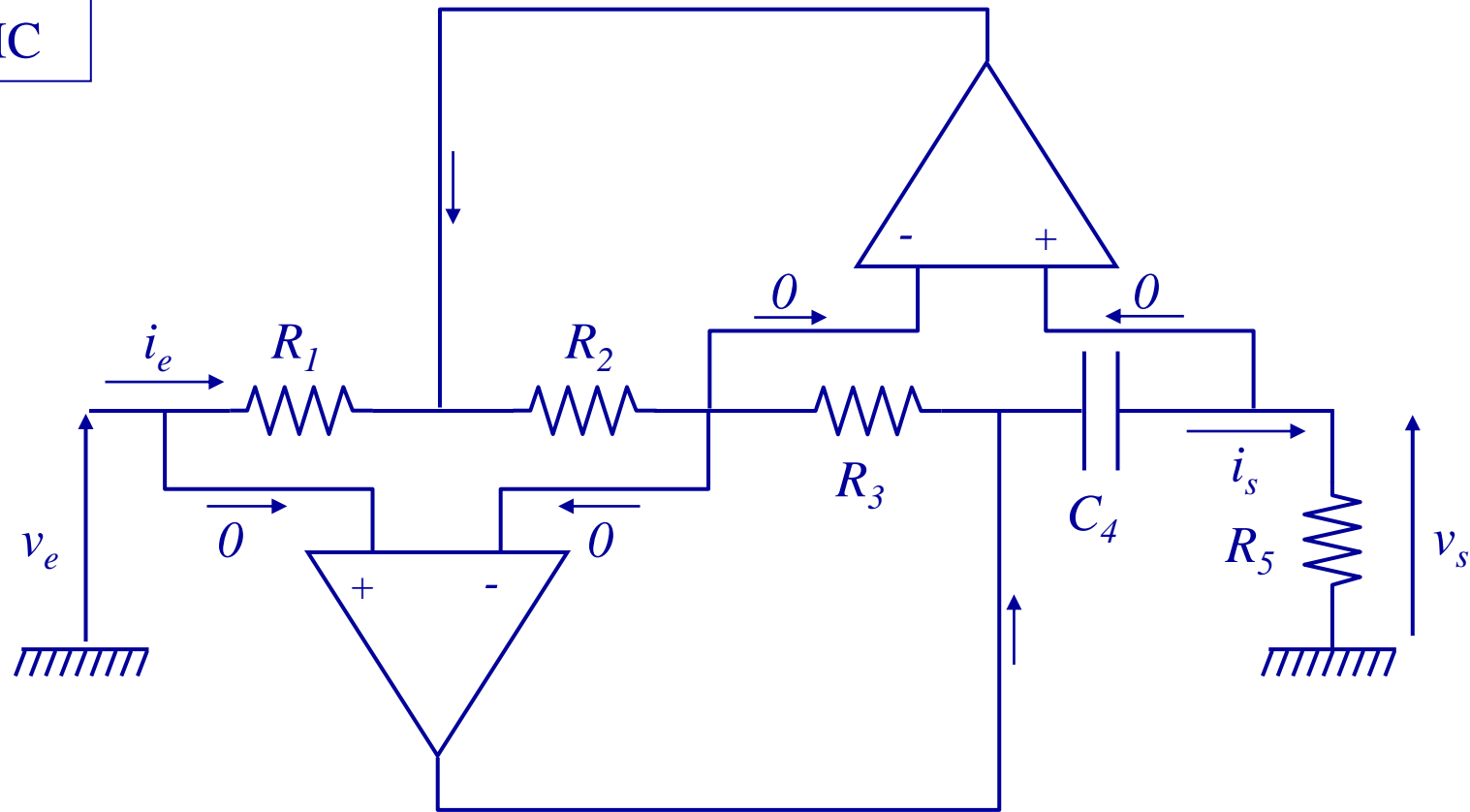
On part d'une structure de filtre passif en échelle



et on simule les inductances par des circuits actifs sans utiliser de self

V.7 Synthèse avancée des Filtrés Actifs

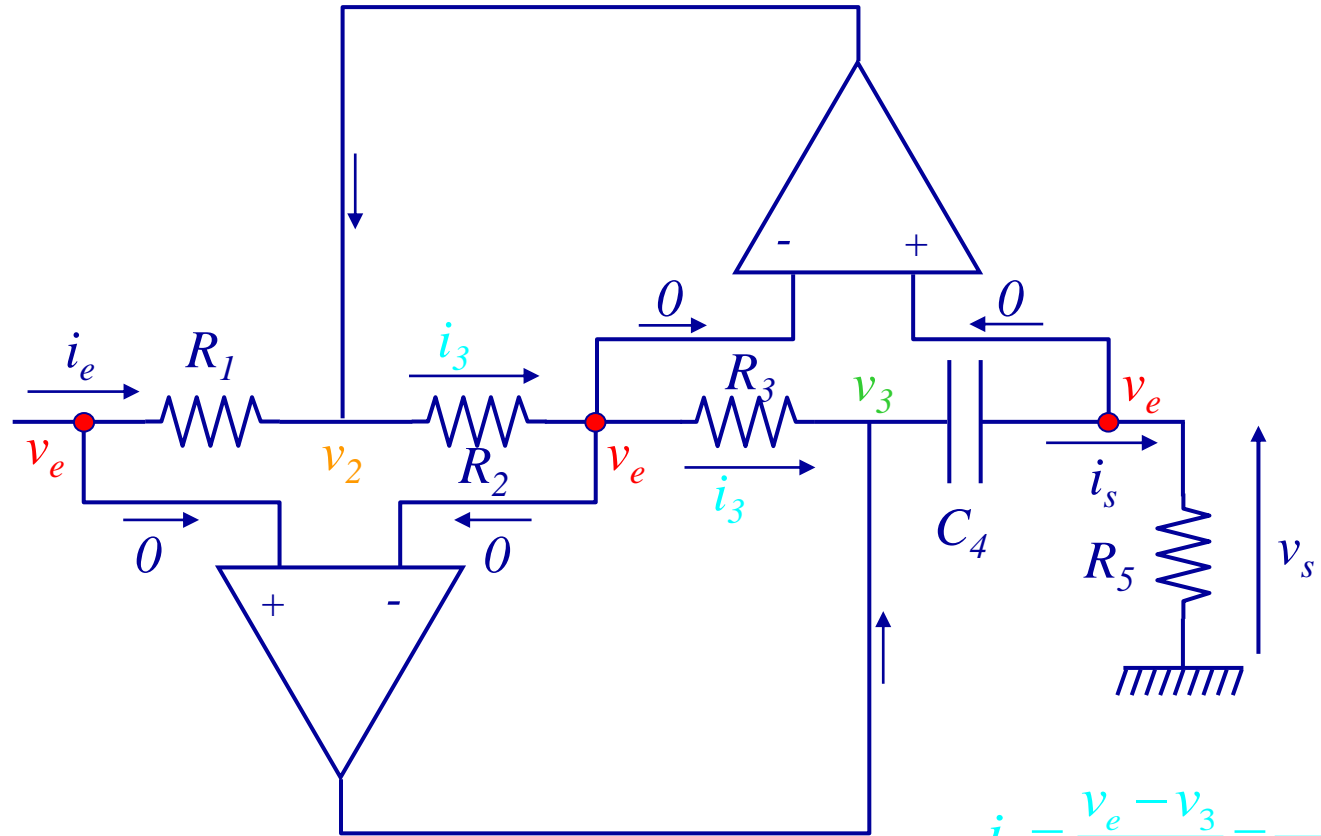
GIC



$$Z_e = \frac{v_e}{i_e} = \frac{R_1 R_3 R_5 C_4}{R_2} p = L p$$

équivalent à une self en parallèle (mise à la masse)

V.7 Synthèse avancée des Filtrés Actifs



$$i_s = \frac{v_s}{R_5}$$

or $v_s = v_e$

$$\frac{v_3 - v_e}{Z_{C_4}} = (v_3 - v_e) C_4 p = \frac{v_e}{R_5}$$

$$v_3 = v_e \left(\frac{1}{R_5 C_4 p} + 1 \right)$$

$$i_3 = \frac{v_e - v_3}{R_3} = \frac{-v_e}{R_3 R_5 C_4 p}$$

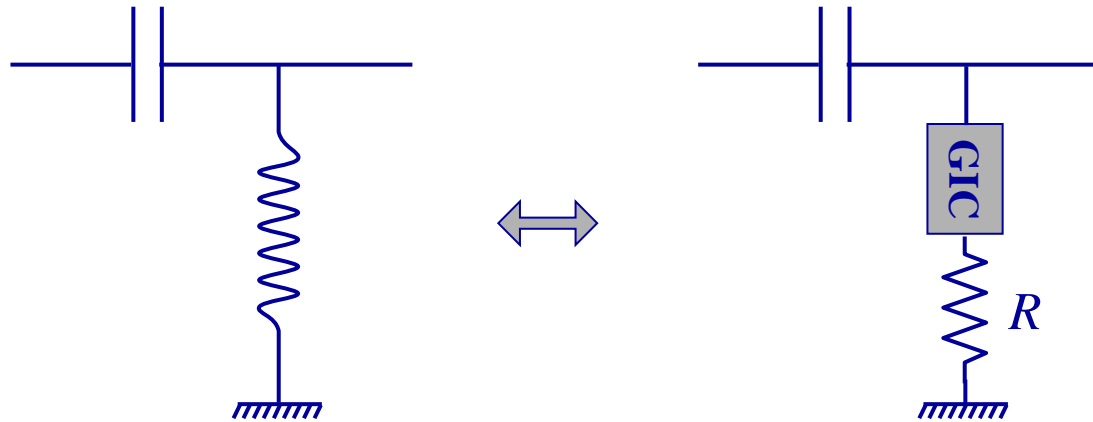
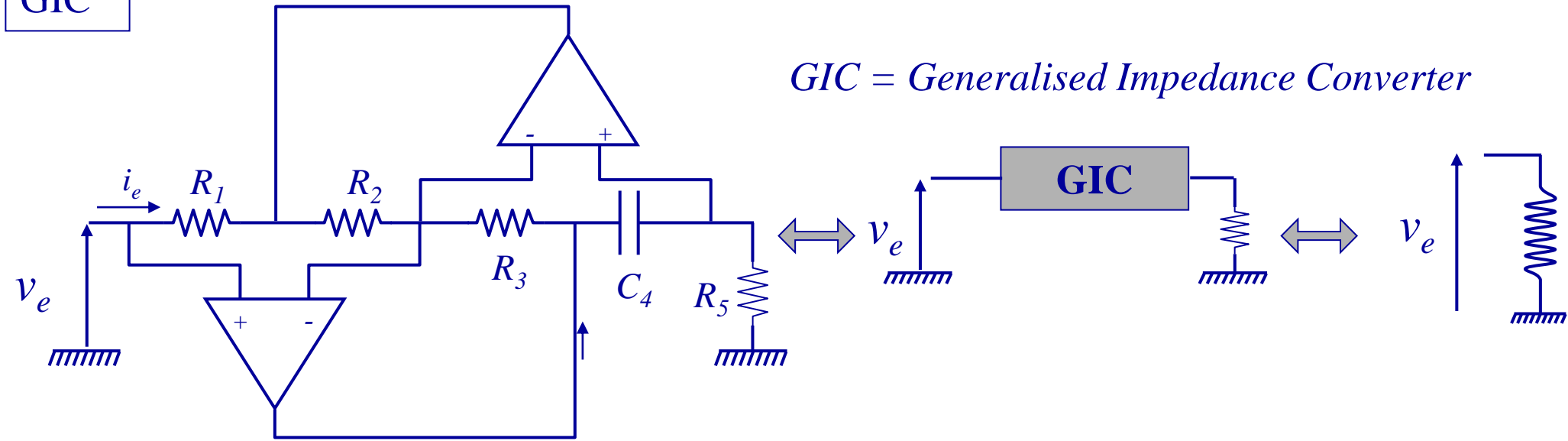
$$i_3 = \frac{v_2 - v_e}{R_2} = \frac{-v_e}{R_3 R_5 C_4 p} \quad \longrightarrow \quad v_2 = v_e \left(-\frac{R_2}{R_3 R_5 C_4 p} + 1 \right)$$

$$i_e = \frac{v_e - v_2}{R_1} = v_e \left(\frac{R_2}{R_1 R_3 R_5 C_4 p} \right) \quad \longrightarrow \quad \boxed{Z_e = \frac{v_e}{i_e} = \frac{R_1 R_3 R_5 C_4 p}{R_2}}$$

V.7 Synthèse avancée des Filtrés Actifs

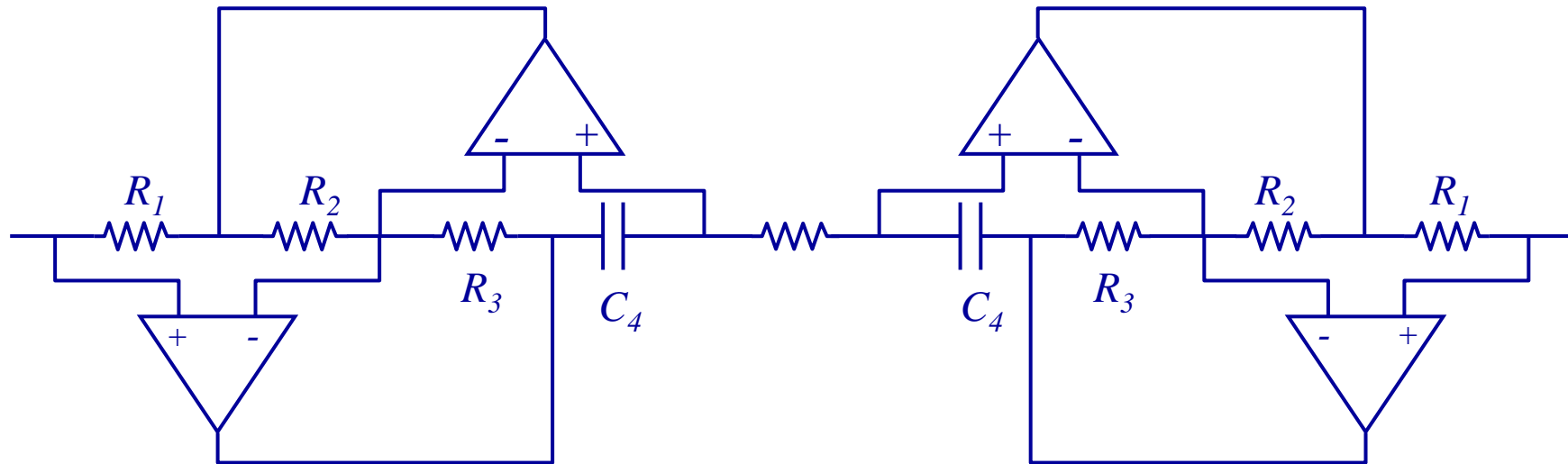
GIC

GIC = Generalised Impedance Converter



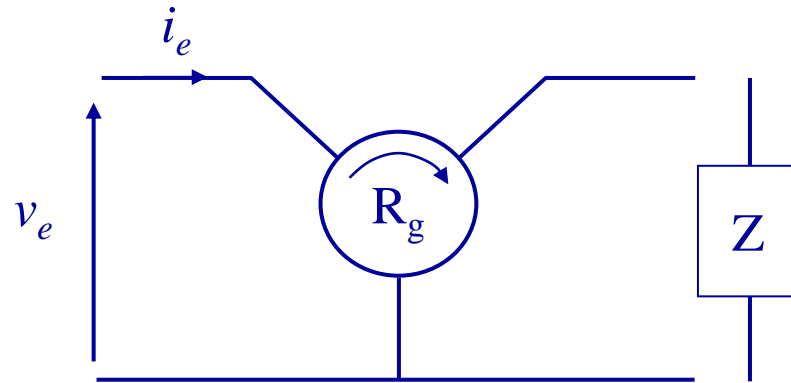
V.7 Synthèse avancée des Filtrés Actifs

Pour simuler une inductance en série, il faut 2 GIC

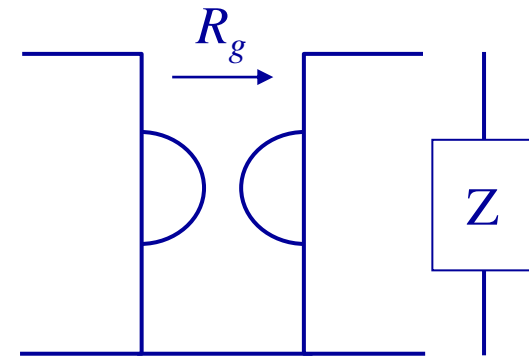


V.7 Synthèse avancée des Filtrés Actifs

Gyrateur



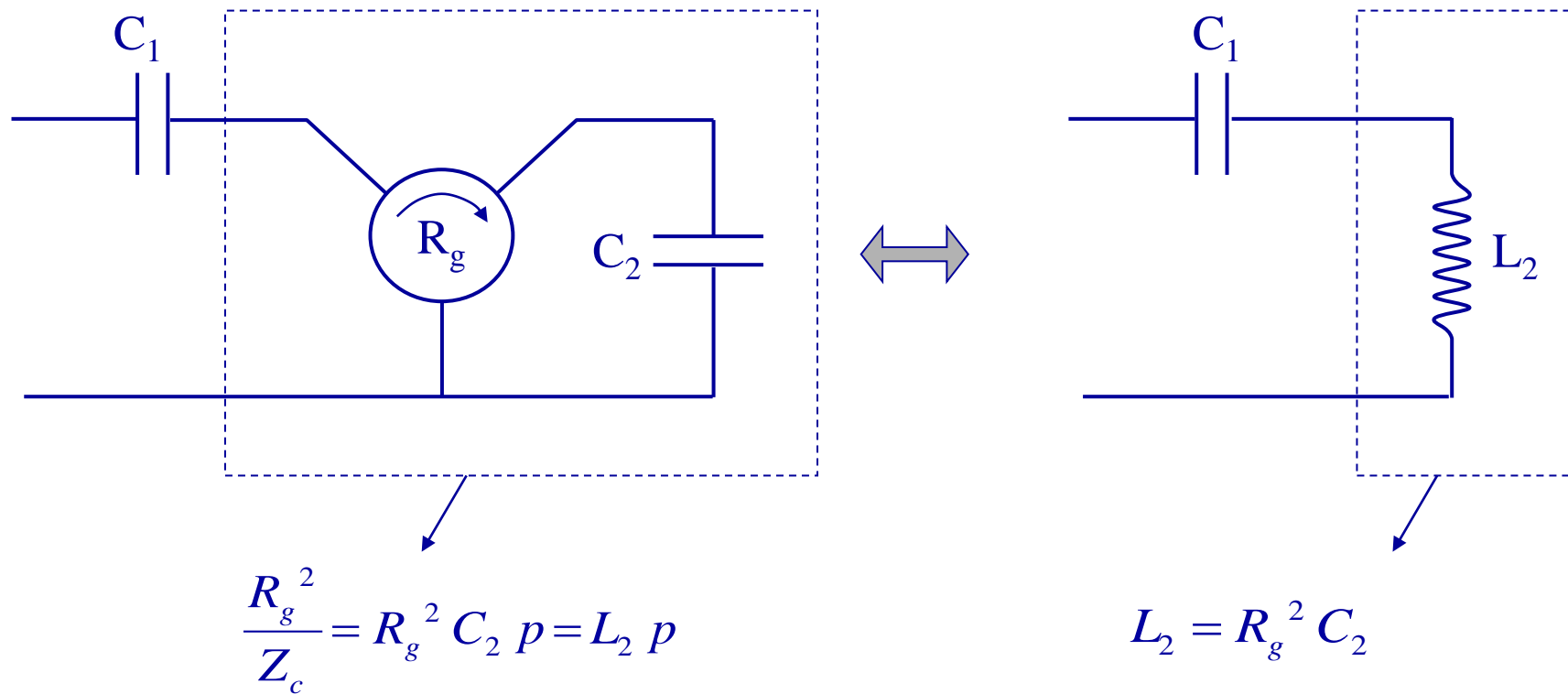
ou



$$Z_e = \frac{v_e}{i_e} = \frac{R_g^2}{Z}$$

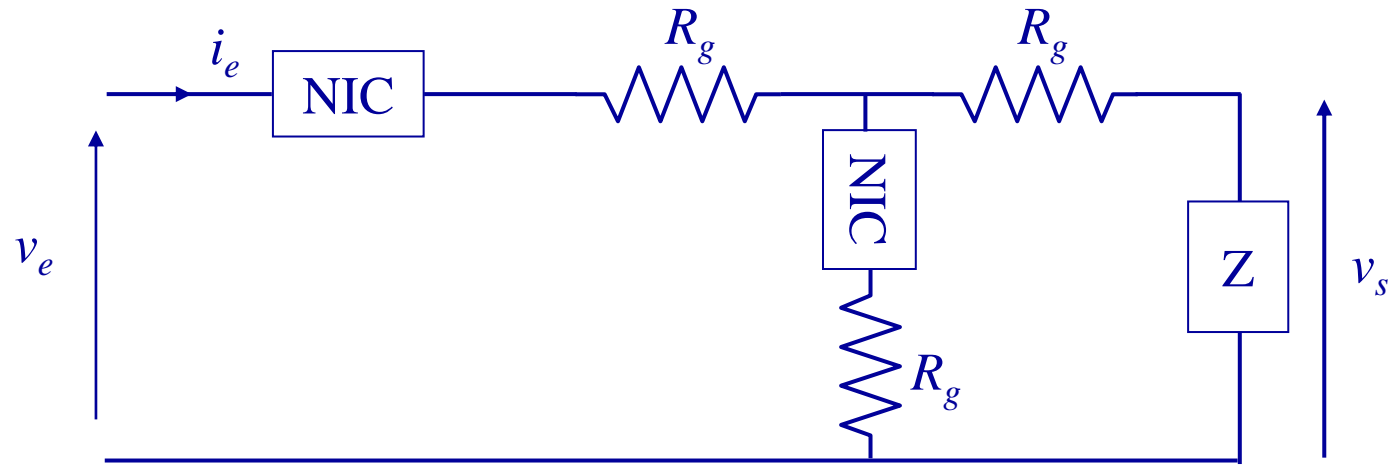
V.7 Synthèse avancée des Filtrés Actifs

Utilisation du Gyrateur



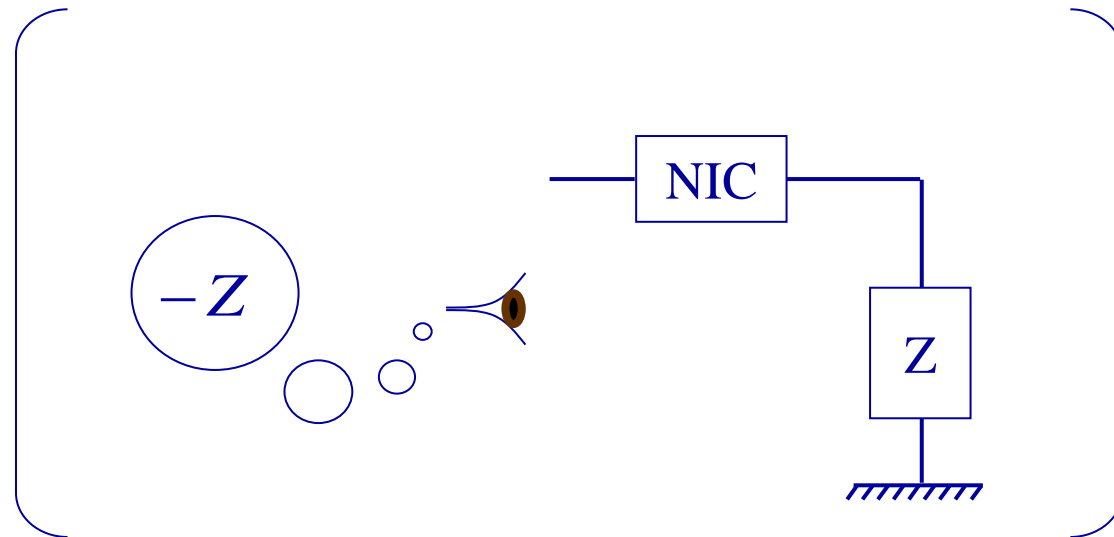
V.7 Synthèse avancée des Filtrés Actifs

Structure d'un Gyrateur ?



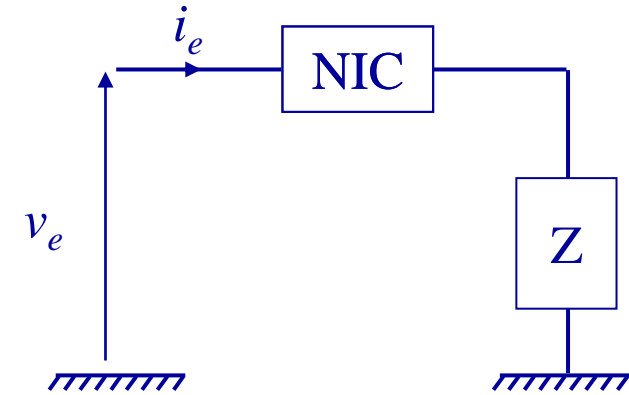
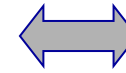
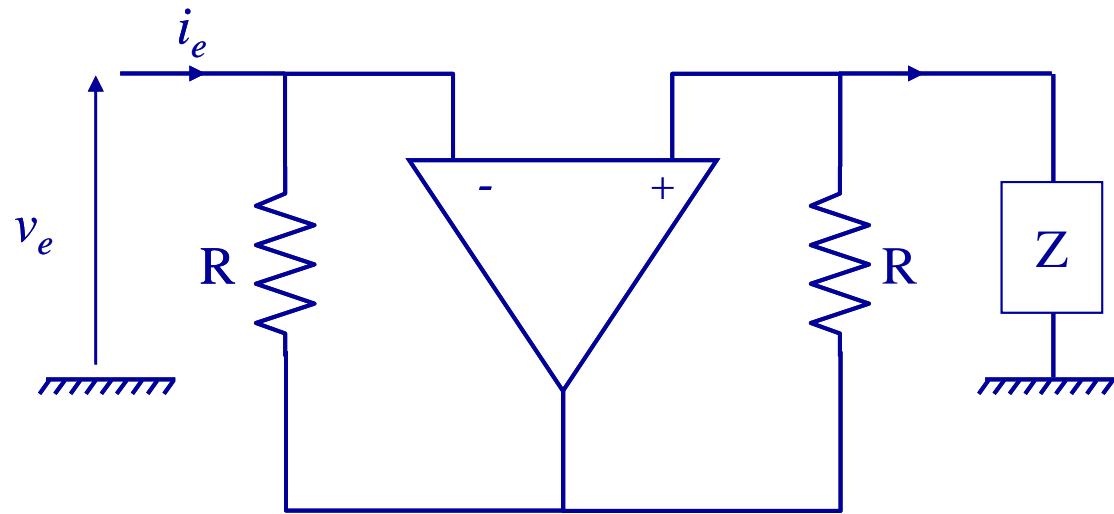
$$Z_e = \frac{v_e}{i_e} = \frac{R_g^2}{Z}$$

où



V.7 Synthèse avancée des Filtrés Actifs

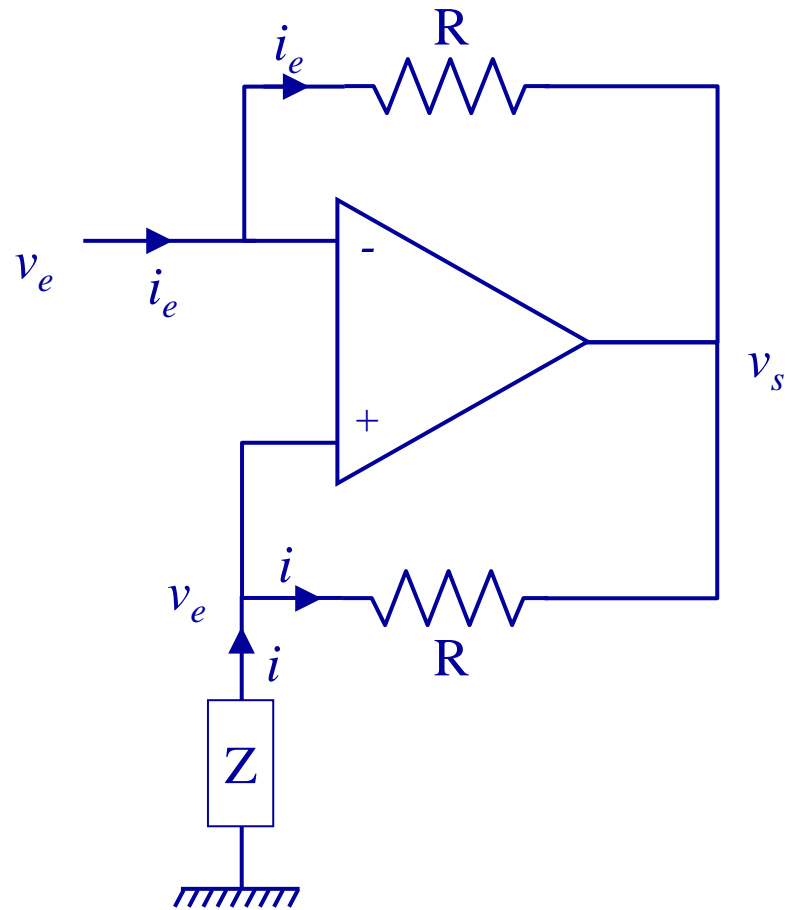
Structure d'un NIC ?



$$Z_e = \frac{v_e}{i_e} = -Z$$

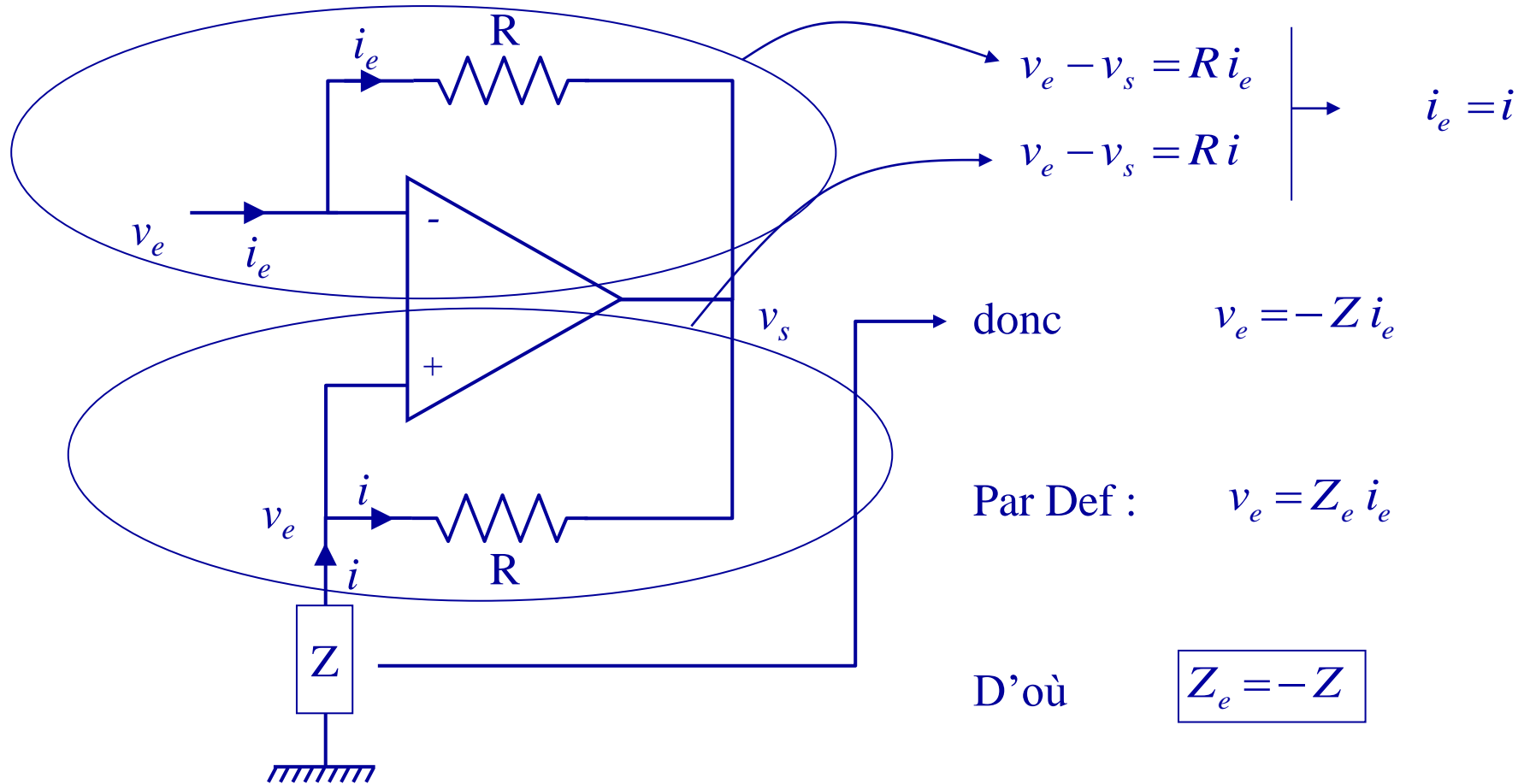
V.7 Synthèse avancée des Filtrés Actifs

Calcul du NIC



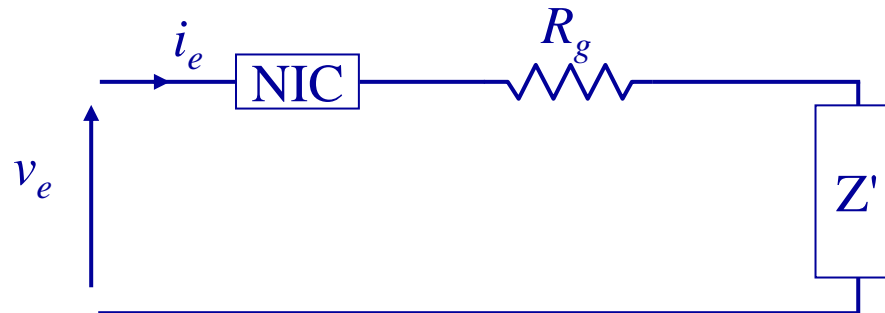
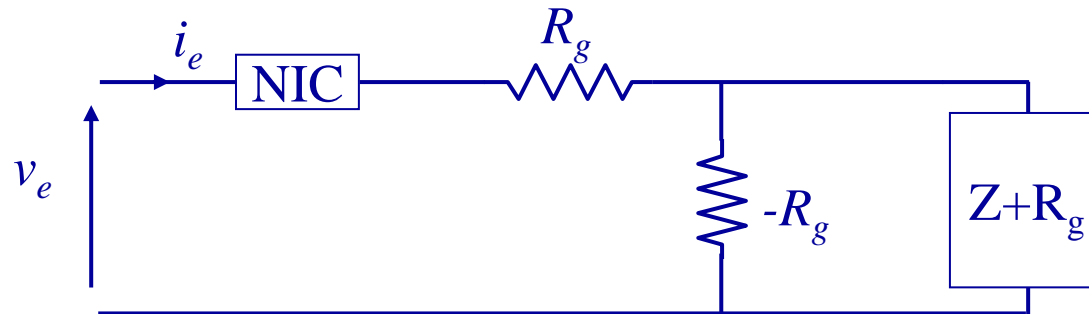
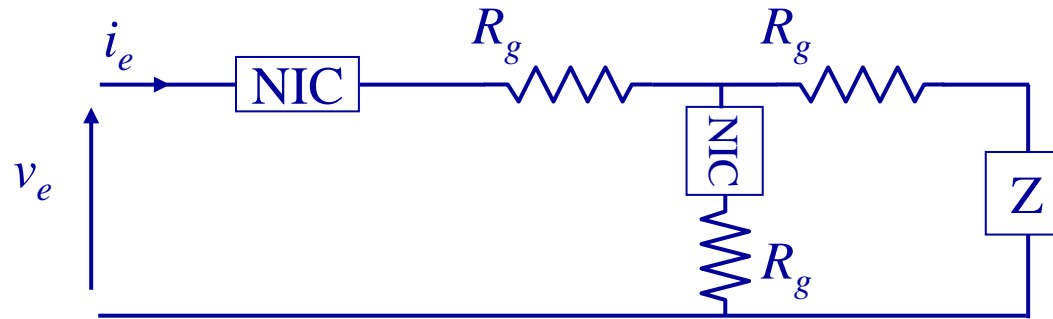
V.7 Synthèse avancée des Filtrés Actifs

Calcul du NIC



V.7 Synthèse avancée des Filtrés Actifs

Calcul du Gyrateur (1/2)

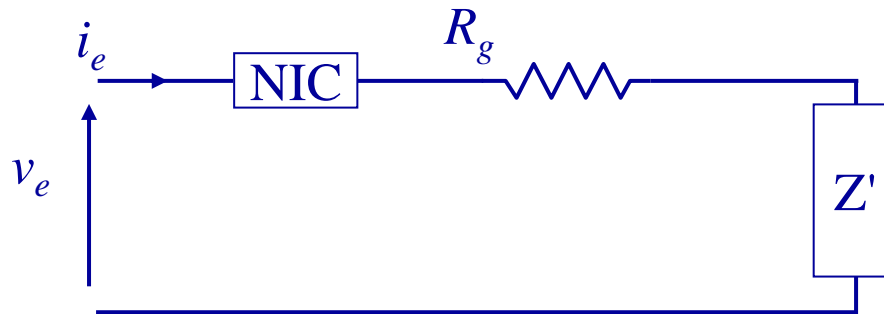


$$Z' = (Z + R_g) // (-R_g)$$

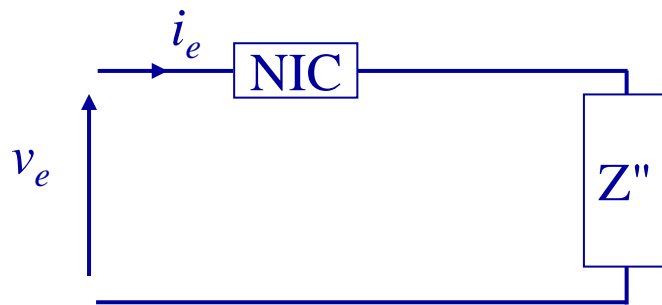
$$Z' = \frac{(Z + R_g)(-R_g)}{Z}$$

V.7 Synthèse avancée des Filtrés Actifs

Calcul du Gyrateur (2/2)

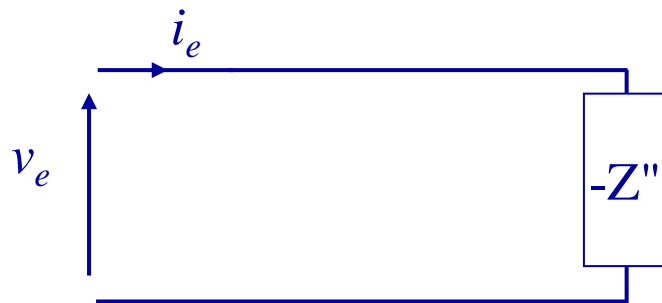


$$Z' = \frac{(Z + R_g)(-R_g)}{Z}$$



$$Z'' = \frac{(Z + R_g)(-R_g)}{Z} + R_g$$

$$Z'' = \frac{-R_g^2}{Z}$$



$$Z_e = -Z'' = \frac{R_g^2}{Z}$$

Bibliographie sur le filtrage analogique

Analyse et synthèse des filtres actifs analogiques, Gérard Mangiante,
Ed. Lavoisier

(Bibliothèque Physique Enseignement 612.382 MAN)

Filtres actifs, P. Bildstein, Ed. de la radio (épuisé)

Mathématiques Générales, Jacques Velu, Ed. Dunod (équations différentielles)

(Bibliothèque Maths-Info Enseignement 03.5 VEL 03E)

Les Mathématiques en Licence, 1^{ère} année Tome 2, E. Azoulay, J. Avignant, G. Auliac, Ed.
EdiScience (équations différentielles)

(Bibliothèque Maths-Info Enseignement 03.5 AZO 2(1).03Q)

Traitement Analogique du signal – Le filtrage analogique, Sylvain Larribe

http://sylvain.larribe.free.fr/CNAM/2004-2005/CNAM_2005_Filtrage.pdf

VI Autres systèmes de traitement du signal analogique

Fonctions élémentaires

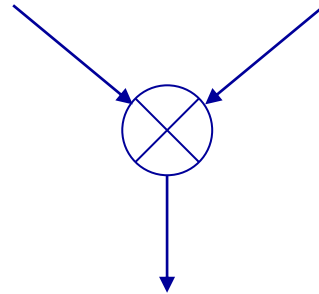
- Multiplieur ou Mélangeur
- Déphaseur
- Oscillateurs - PLL - Synthétiseurs
- Additionneur
- Diviseur
- Modulations
- Amplificateurs - faible bruit (LNA) - puissance (PA)

VI.1 Autres systèmes - Mélangeur

Mélangeur parfait ou Multiplieur

$$s_a = a \cos(2\pi f_a t + \varphi_a)$$

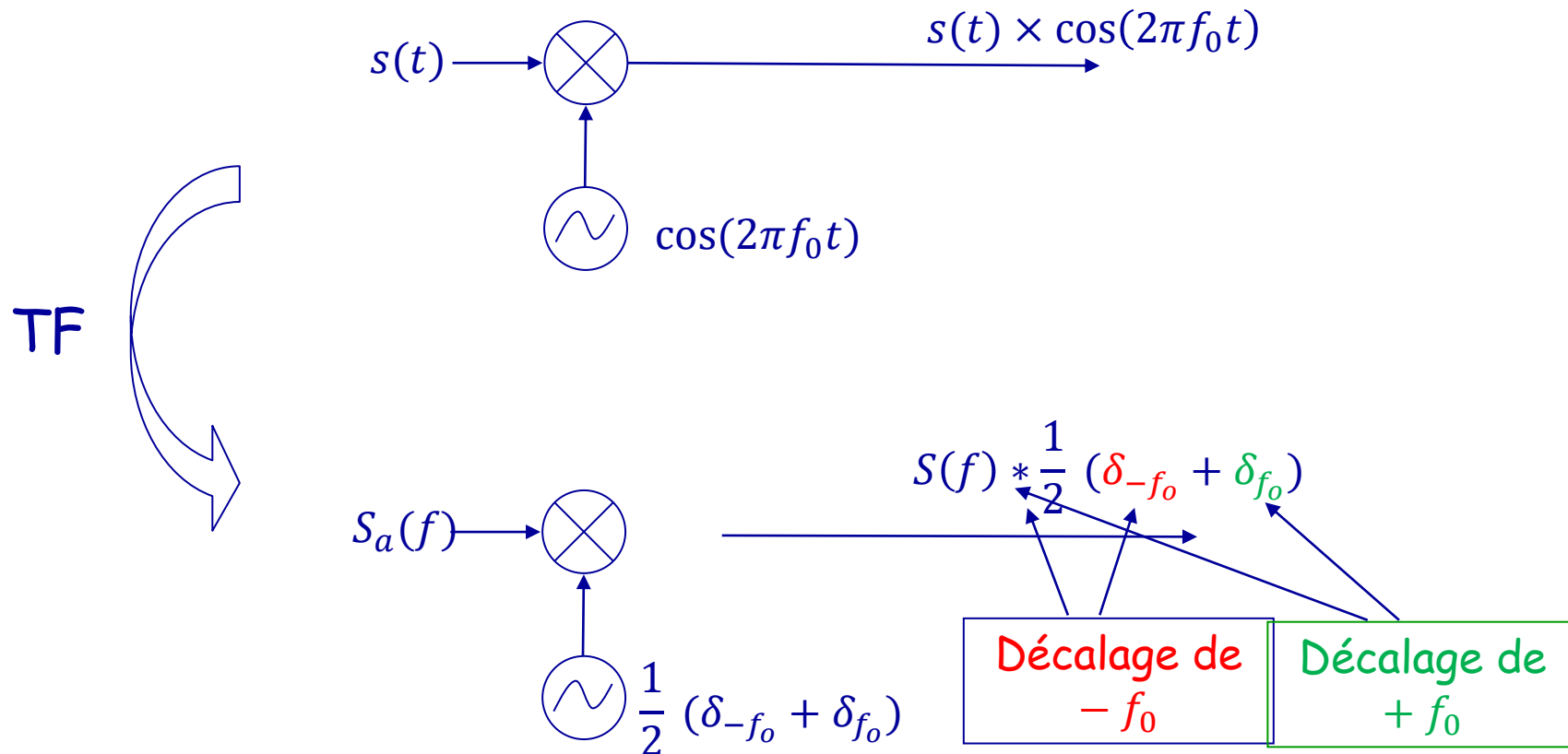
$$s_b = b \cos(2\pi f_b t + \varphi_b)$$



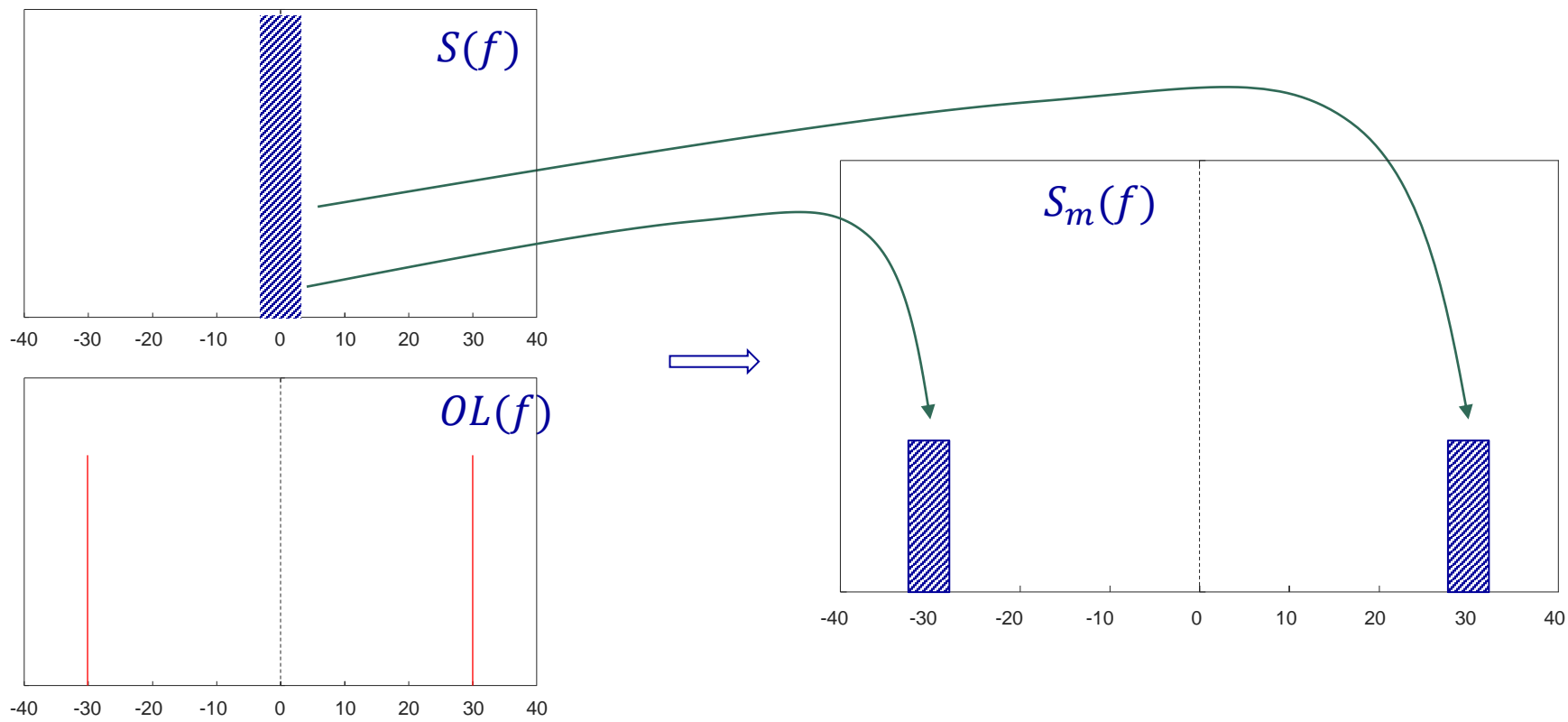
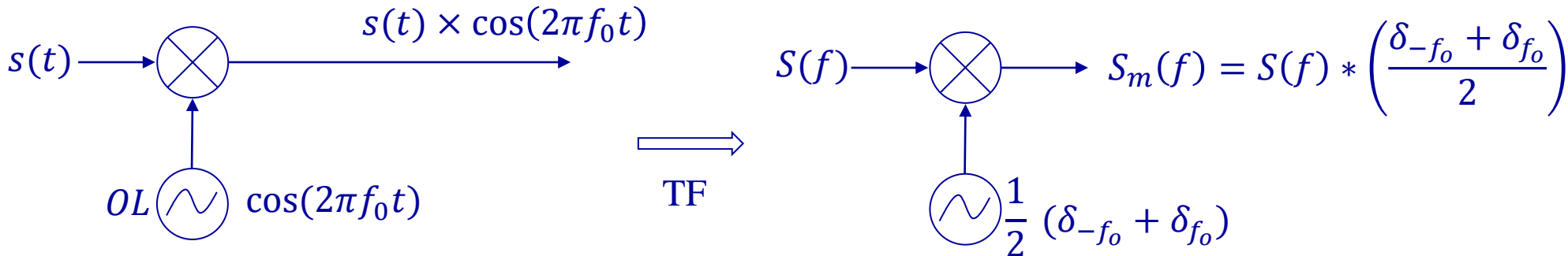
$$s_a \times s_b = \frac{ab}{2} [\cos(2\pi(f_a + f_b)t + \varphi_a + \varphi_b) + \cos(2\pi(f_a - f_b)t + \varphi_a - \varphi_b)]$$

VI.1 Autres systèmes - Mélangeur

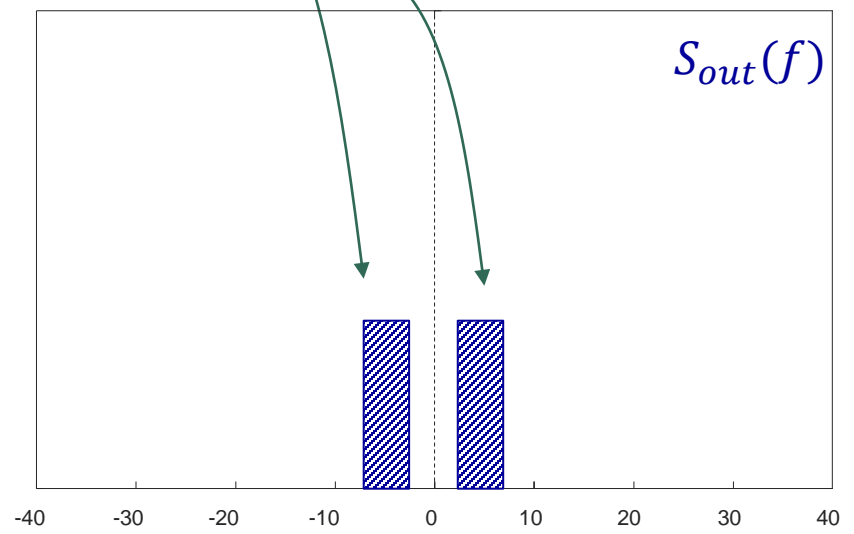
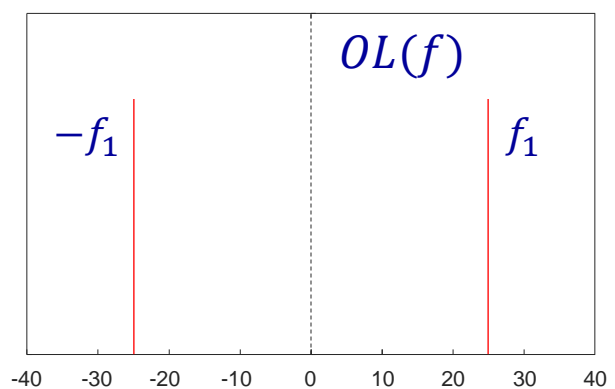
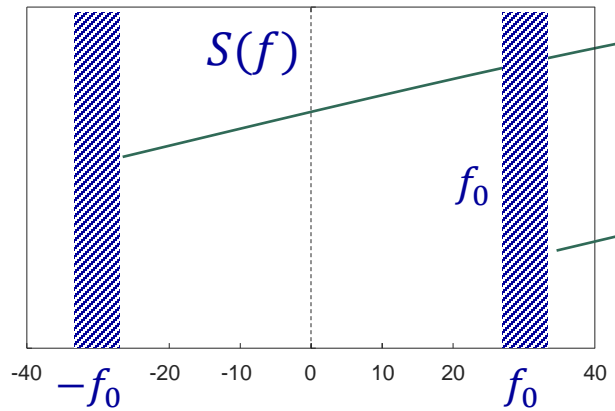
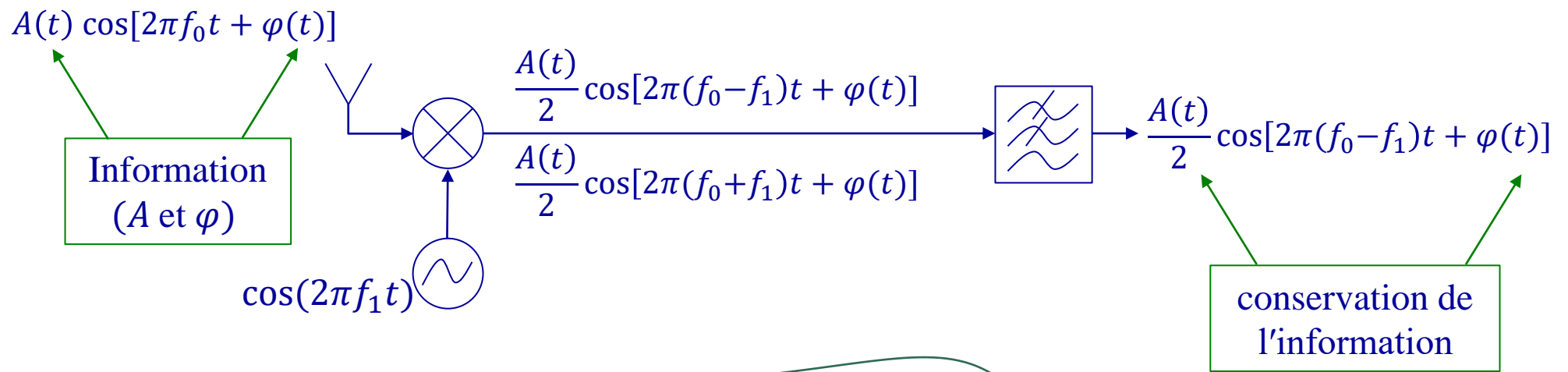
Mélangeur parfait ou Multiplieur \rightarrow transposition de fréquence



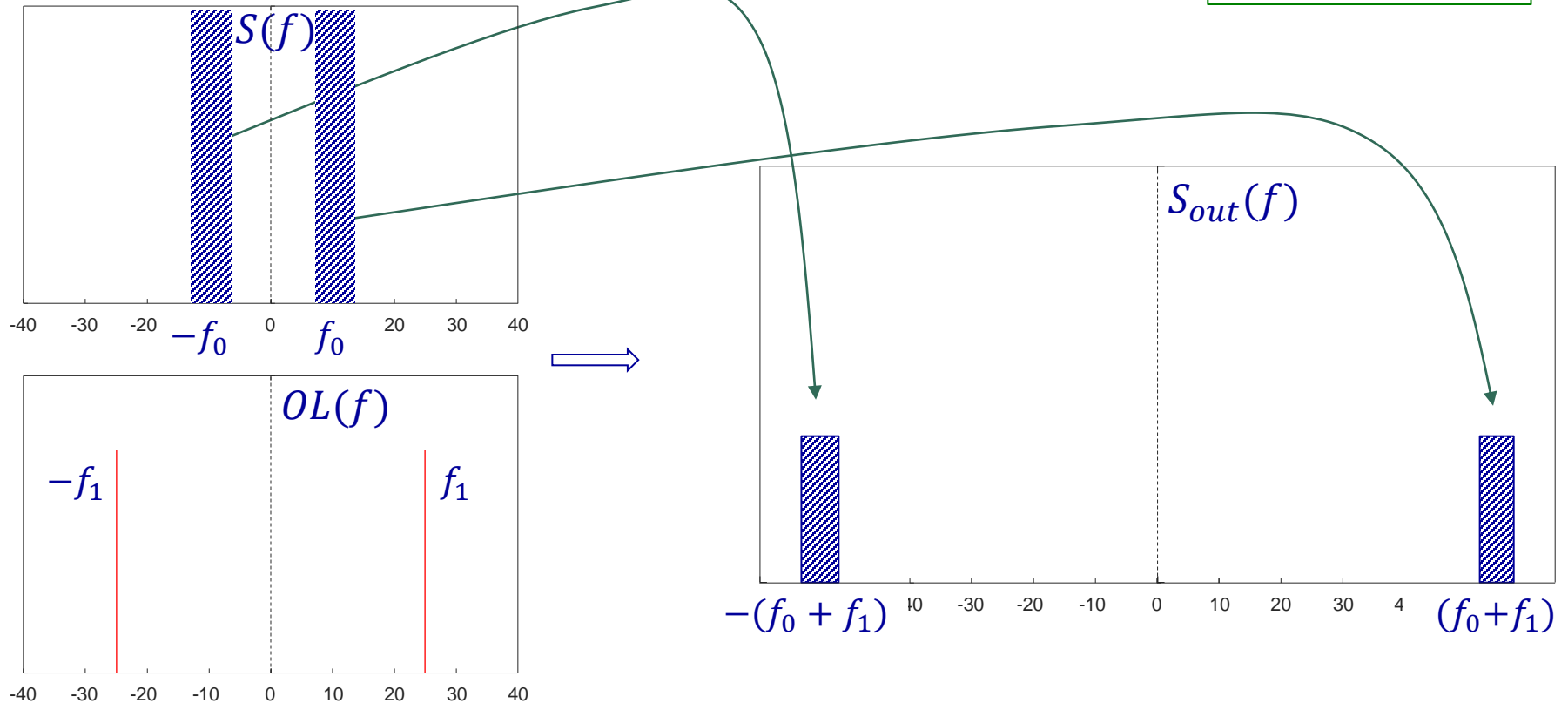
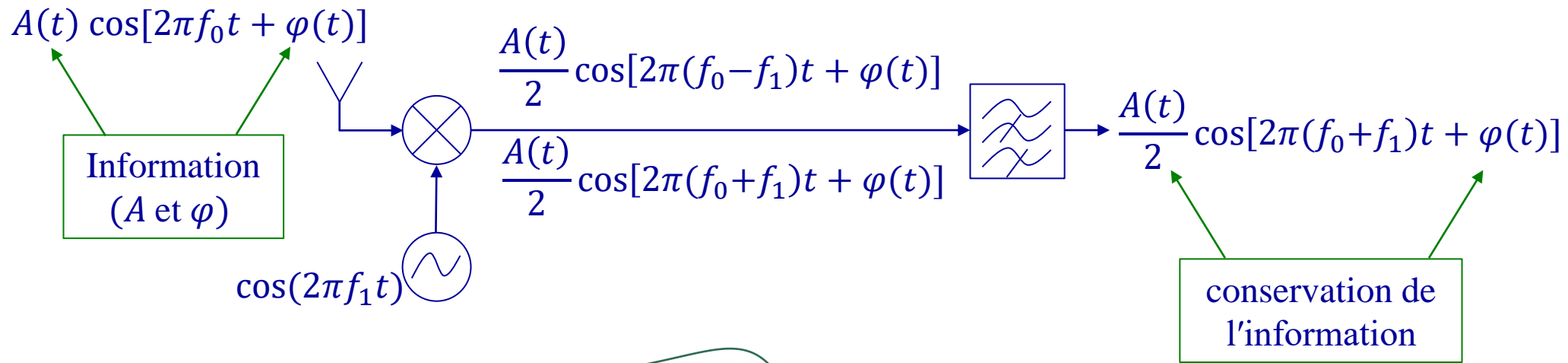
VI.1 Autres systèmes - Mélangeur - transposition de fréquence



VI.1 Autres systèmes - Mélangeur - RF down converter



VI.1 Autres systèmes - Mélangeur - RF Up converter

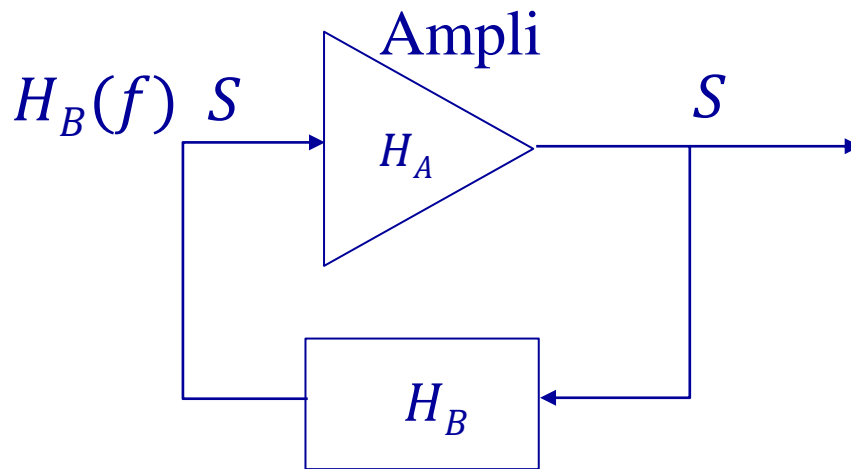


VI.1 Autres systèmes - Mélangeur

Mélangeurs réels

Oscillateurs - PLL

VI.2 Autres systèmes - Oscillateur - PLL



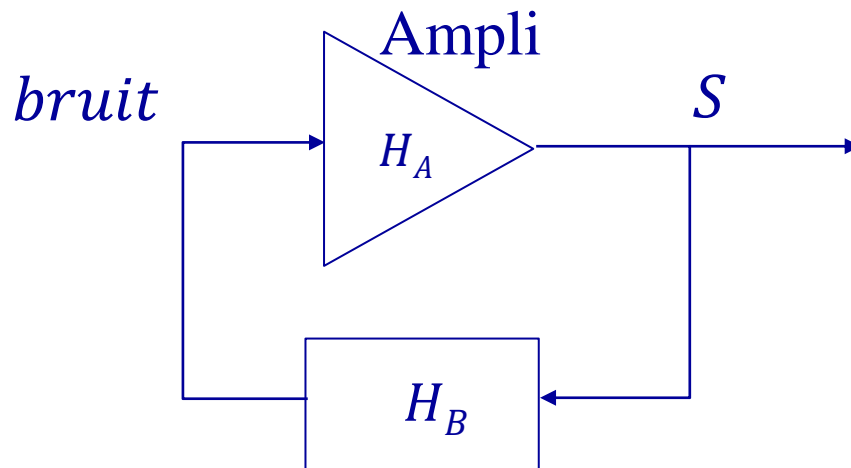
$$S = H_A(f) H_B(f) S$$

→ Le circuit oscille à la fréquence f telle que $H_A(f) \cdot H_B(f) = 1$

f est telle que

$$|H_A(f)| \cdot |H_B(f)| = 1 \quad \text{et} \quad \arg[H_B(f)] = -\arg[H_A(f)]$$

Oscillateurs



→ Le circuit oscille à la fréquence f telle que $H_A(f) \cdot H_B(f) = 1$

Oscillateurs

H_B est constitué d'un circuit résonant



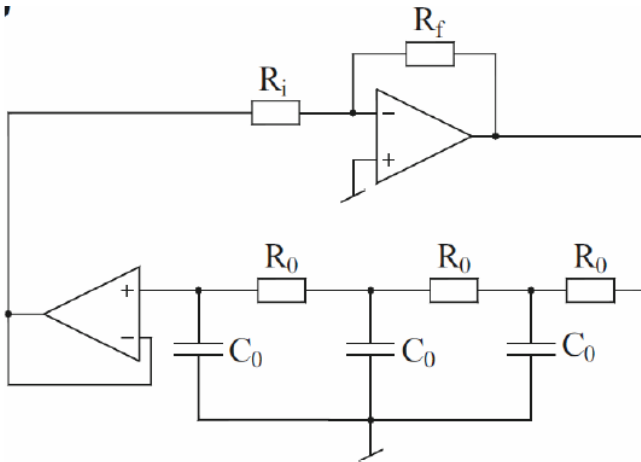
Céramique

quartz

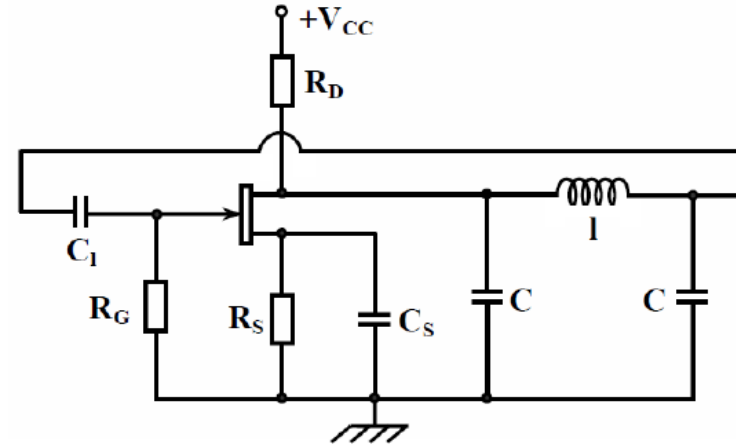
onde de surface

diélectrique

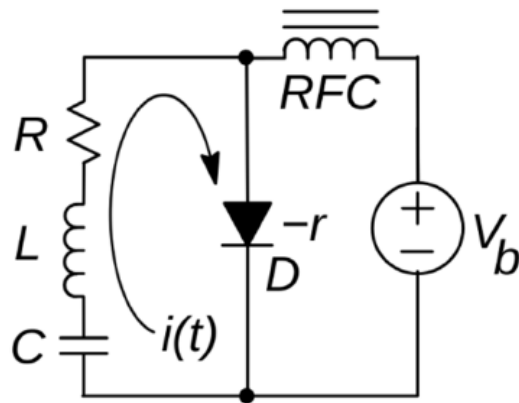
Oscillateurs



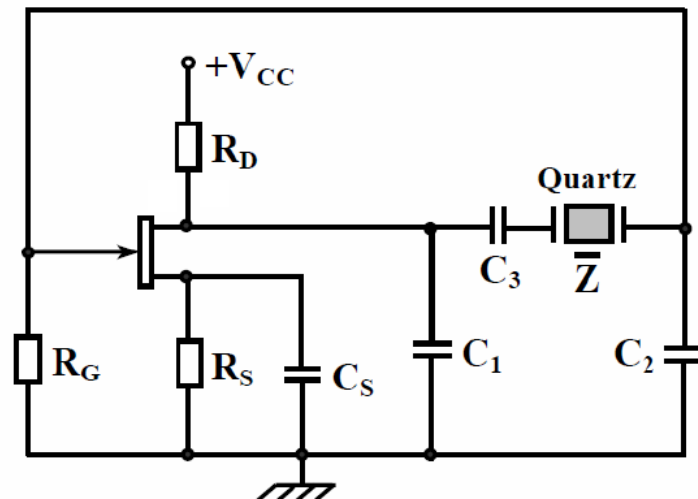
À AOP et cellule de déphasage (3RC)



Oscillateur Collpits



Oscillateur à diode Gunn (R négative)

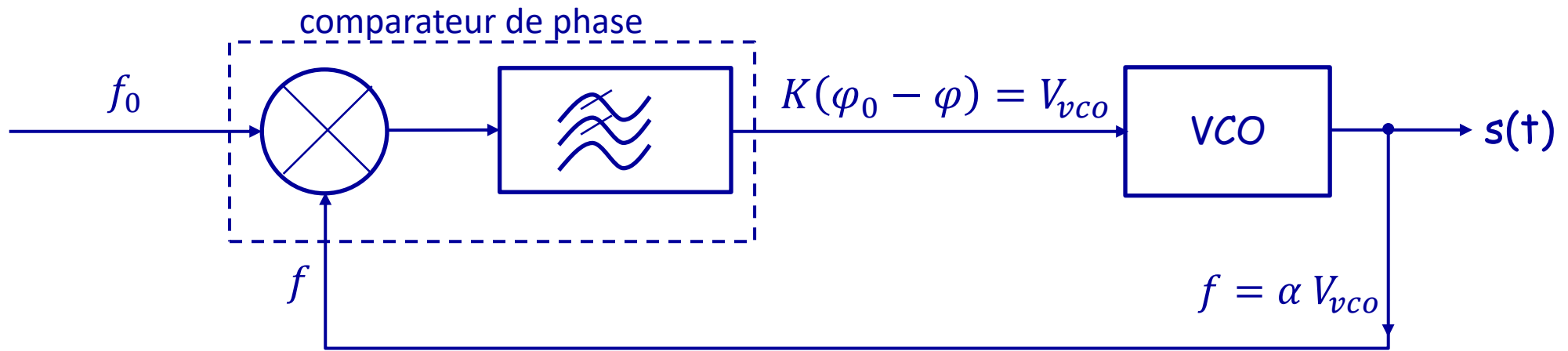


Oscillateur stabilisé à quartz

Les fréquences d'oscillation de ces dispositifs sont fixes ou faiblement variables autour d'une fréquence centrale

➔ Phase-Locked Loop (PLL)

VI.2 Autres systèmes - Oscillateur - PLL



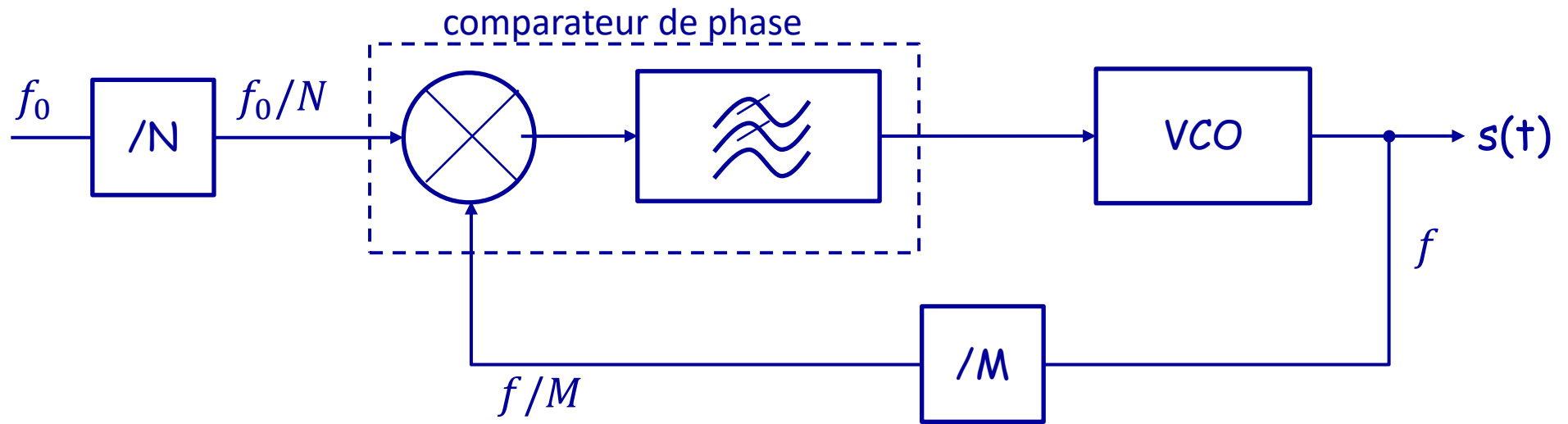
Si $f = f_0 \implies \Delta\varphi = cste \implies V_{vco} = cste \implies f \text{ reste } cste = f_0$ Boucle verrouillée

Si $f > f_0 \implies \Delta\varphi \downarrow \implies V_{vco} \downarrow \implies f \downarrow \implies f = f_0 \implies \text{verrouillée}$

Si $f < f_0 \implies \Delta\varphi \uparrow \implies V_{vco} \uparrow \implies f \uparrow \implies f = f_0 \implies \text{verrouillée}$

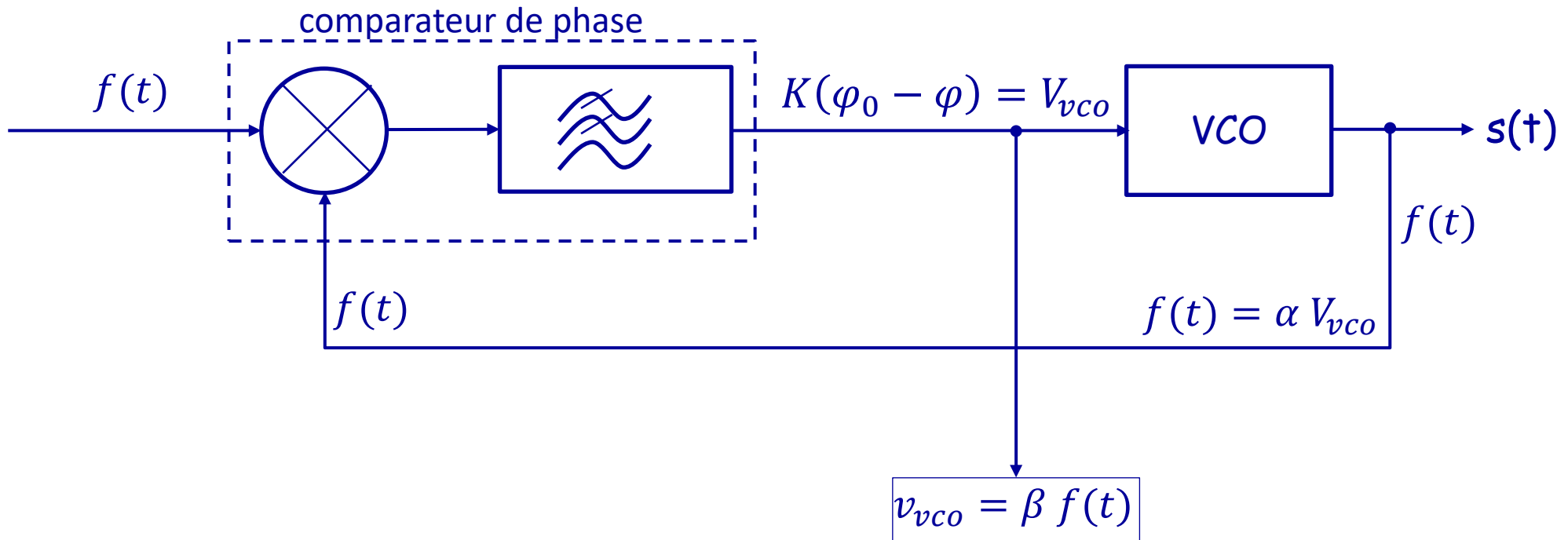
VI.2 Autres systèmes - Oscillateur - PLL

Application : synthétiseur



Boucle verrouillée $\Rightarrow \frac{f}{M} = \frac{f_0}{N} \Rightarrow f = f_0 \frac{M}{N}$

Application : démodulation FM



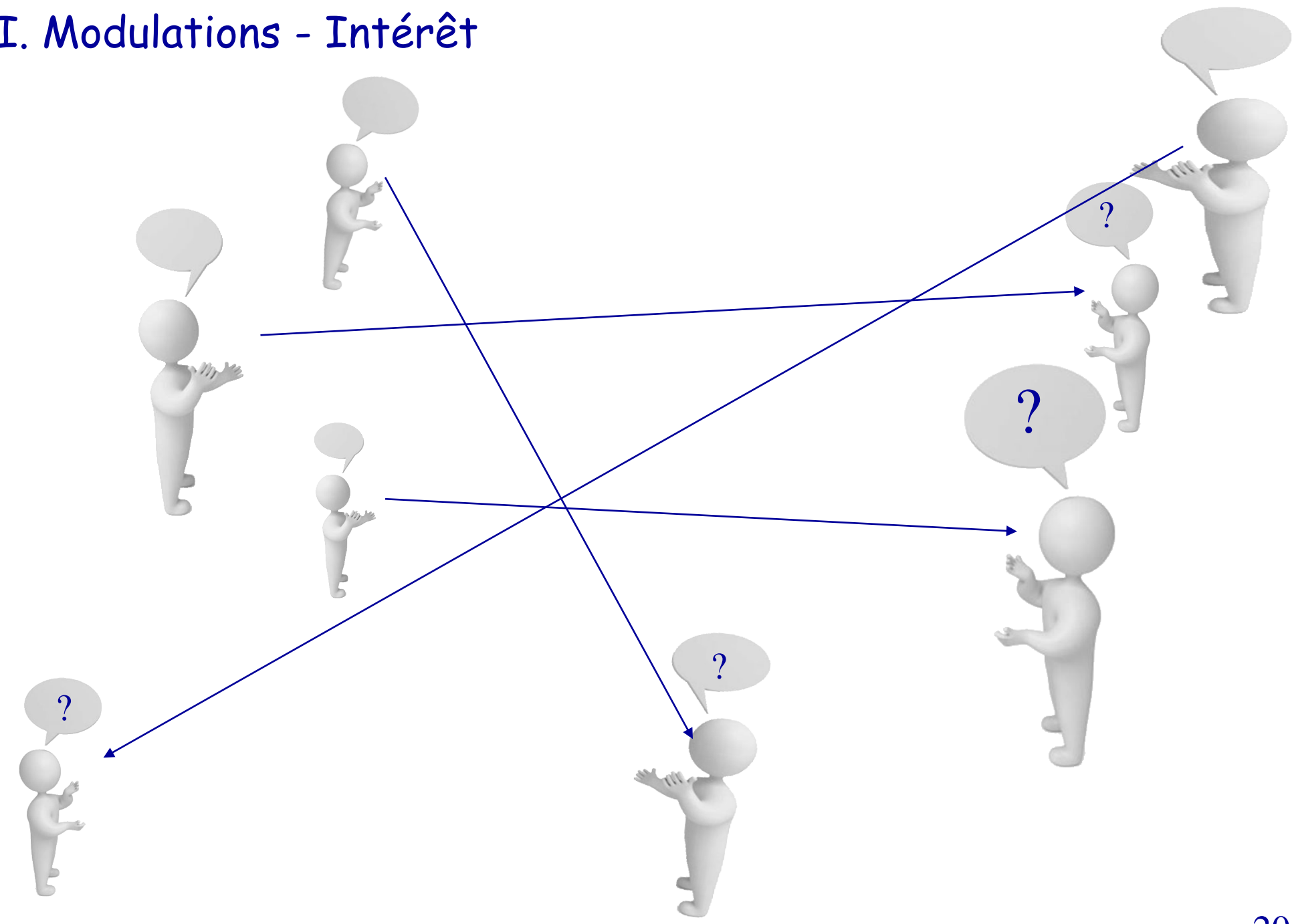
VI.3 Autres systèmes - Déphaseurs

Déphaseurs

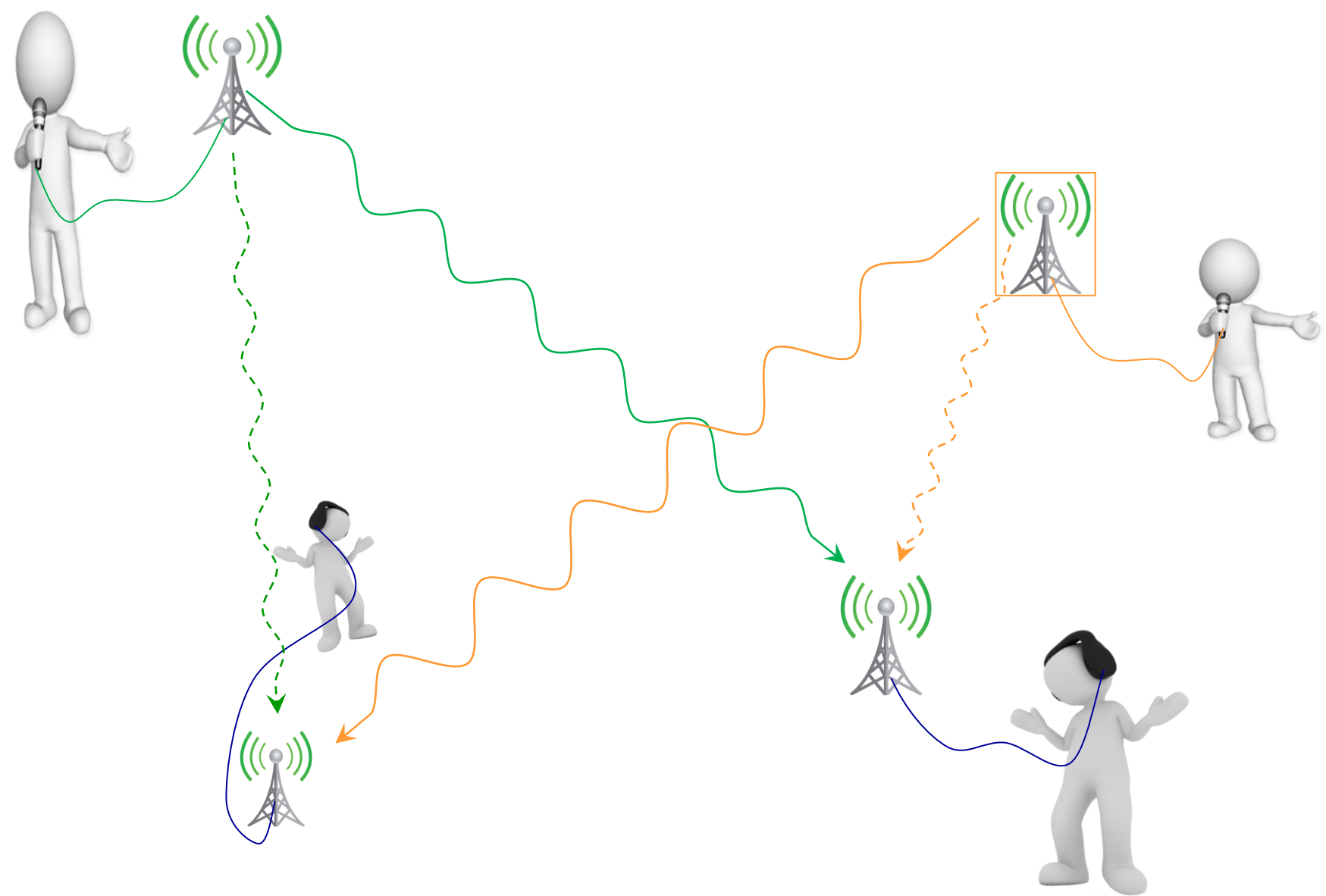
VII. Modulations

Intérêt de la modulation

VII. Modulations - Intérêt



VII. Modulations - Intérêt

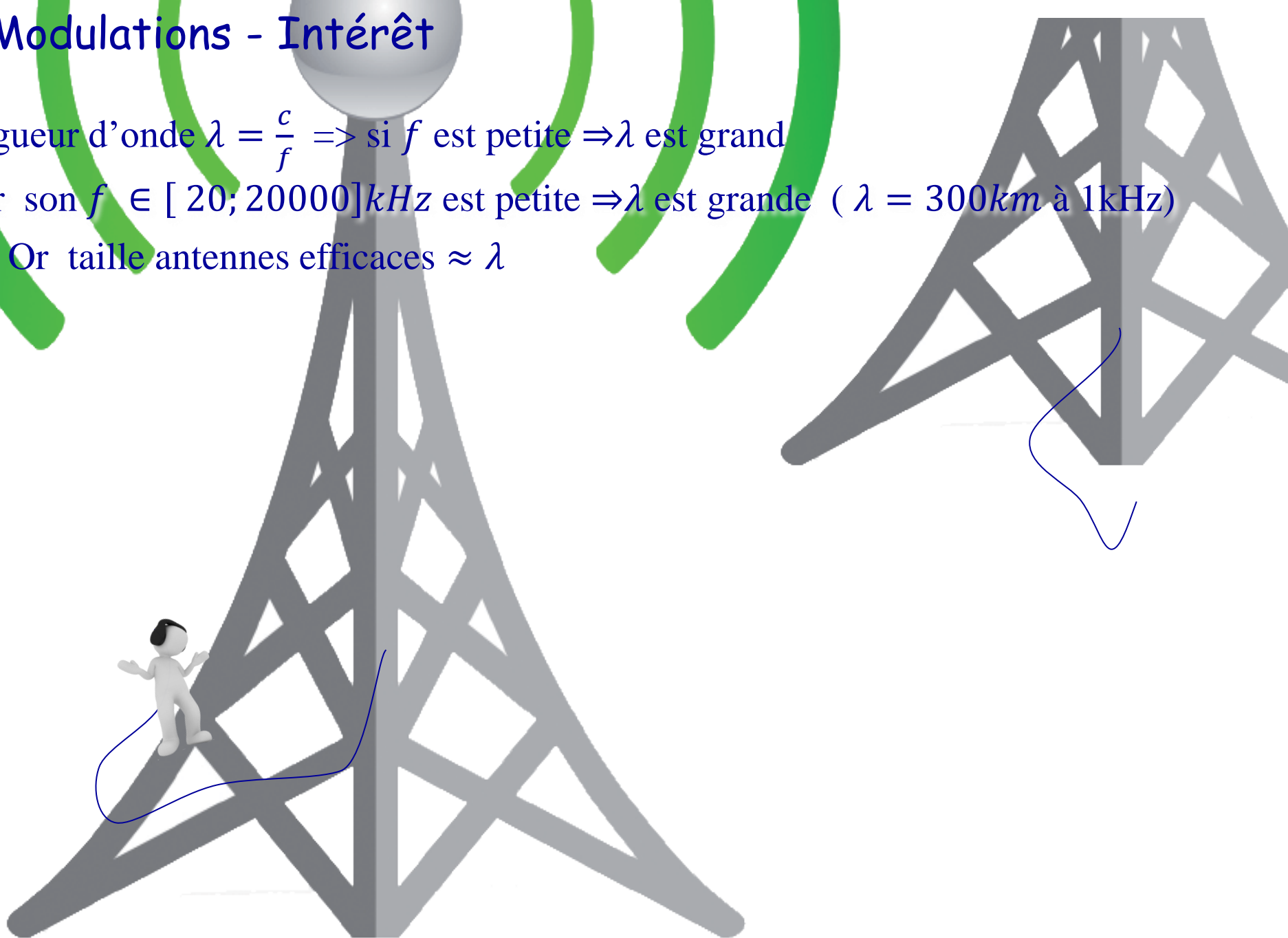


VII. Modulations - Intérêt

Longueur d'onde $\lambda = \frac{c}{f} \Rightarrow$ si f est petite $\Rightarrow \lambda$ est grand

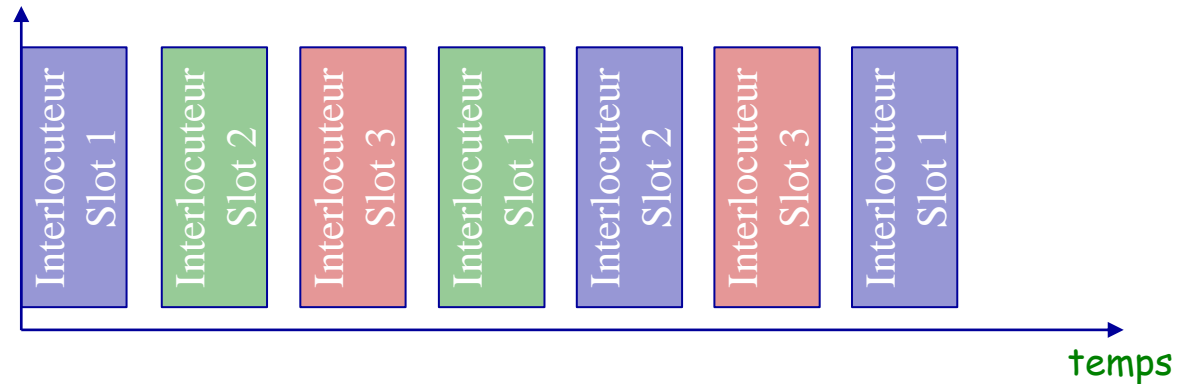
Or son $f \in [20; 20000]kHz$ est petite $\Rightarrow \lambda$ est grande ($\lambda = 300km$ à $1kHz$)

Or taille antennes efficaces $\approx \lambda$

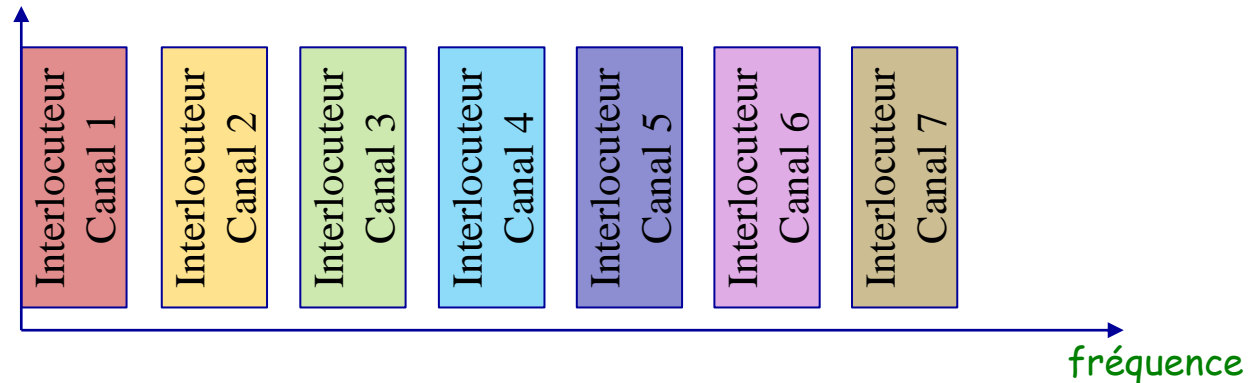


VII. Modulation - comment se partager l'espace ?

- En « parlant » chacun son tour → Multiplexage temporel



- En se divisant l'espace des fréquences → Multiplexage fréquentiel

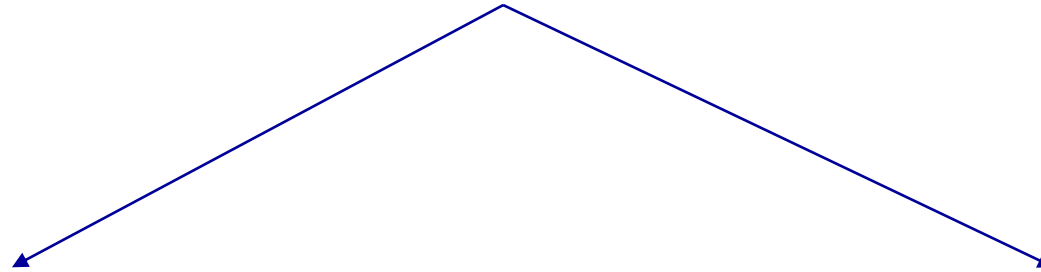


VII. Modulation

Modulation



transposition à des fréquences plus élevées



information autour d'une
fréquence



Plusieurs canaux fréquentiel

Pour se partager l'espace

Longueurs d'onde plus faibles



Taille des antennes plus petites

VII. Modulation - Qu'est ce que c'est ?

Transposition du spectre de l'information $s(t)$ de la bande de base (BB) autour de $f = 0$ vers des fréquences plus élevées f_0

+ « codage » de l'information dans l'amplitude ou dans la phase

Exemple 1 | amplitude = $s(t)$ | Signal modulé $s_m(t) = s(t) \cos[2\pi f_0 t]$

↳ Modulation d'amplitude (AM) car information dans l'amplitude du signal modulé

Exemple 2 | $f(t) = f_0 + k s(t)$
 $\theta(t) = \int_0^t 2\pi f(t) dt$ | Signal modulé $s_m(t) = \cos[2\pi f_0 t + 2\pi k \int_0^t s(t) dt]$

↳ Modulation de fréquence (FM) car information dans la fréquence du signal modulé

Exemple 3 | $\theta(t) = m s(t)$ | Signal modulé $s_m(t) = \cos[2\pi f_0 t + m s(t)]$

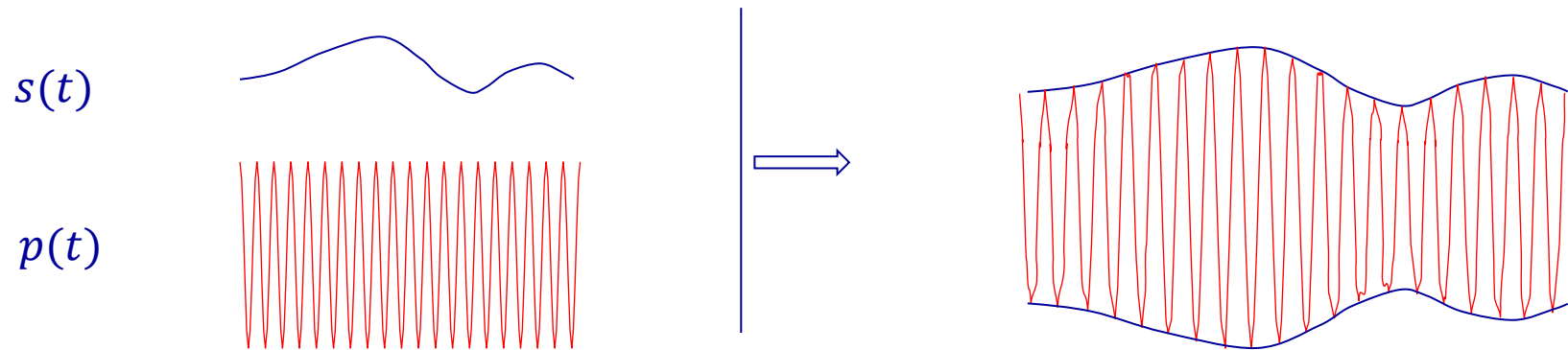
↳ Modulation de phase (PM) car information dans la phase du signal modulé

Modulation d'amplitude (AM)

VII. Modulation AM

information	$s(t)$ (signal modulant)	\Longrightarrow	Signal modulé $s_m(t) = A(1 + m s(t)) \cos(2\pi f_0 t)$
Porteuse	$p(t) = A \cos(2\pi f_0 t)$		

Exemple d'une information de forme quelconque

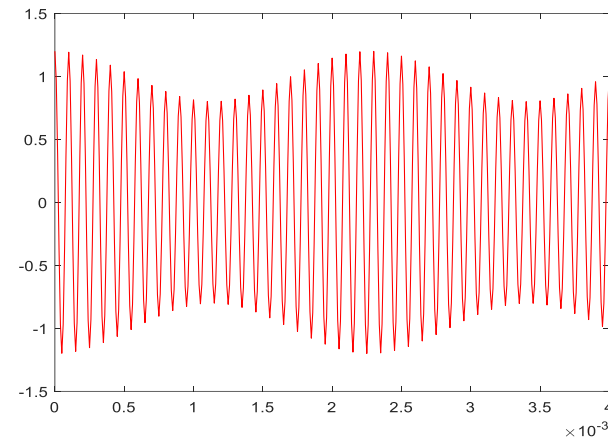
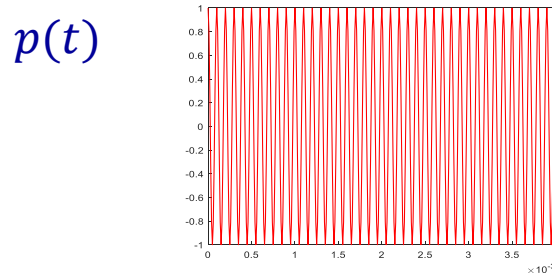
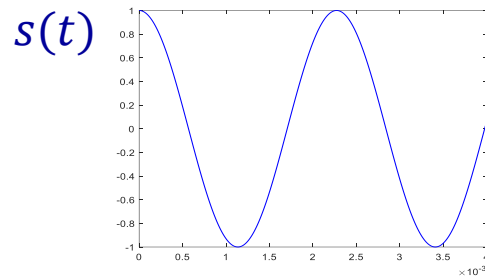


VII. Modulation AM

Exemple d'information sinusoidale (note de musique LA (440Hz))

information $s(t) = B \cos(2\pi 440 t)$
porteuse $p(t) = A \cos(2\pi f_0 t)$

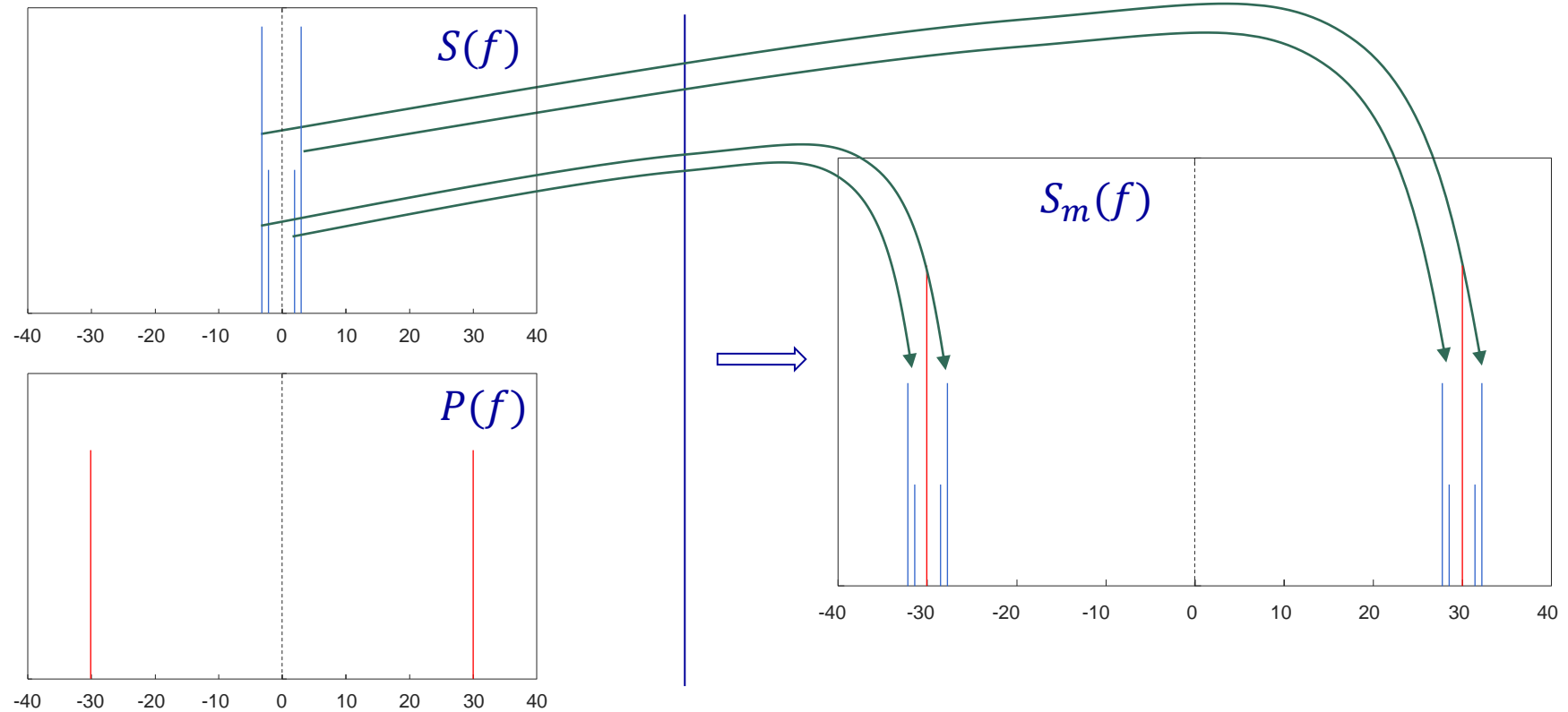
⇒ Signal modulé $s_m(t) = A (1 + m s(t)) \cos(2\pi f_0 t)$



VII. Modulation AM

Exemple d'une information double sinusoidale (2kHz et 3kHz)

Information $s(t) = \cos(2\pi 2000 t) + 2 \cos(2\pi 3000 t)$ | \Rightarrow $s_m(t) = A (1 + m s(t)) \cos(2\pi f_0 t)$
porteuse $p(t) = A \cos(2\pi f_0 t)$ | $S_m(f) = \frac{A}{2} (1 + m S(f)) * (\delta_{f_0} + \delta_{-f_0})$



Modulation de fréquence (FM)

VII. Modulation FM

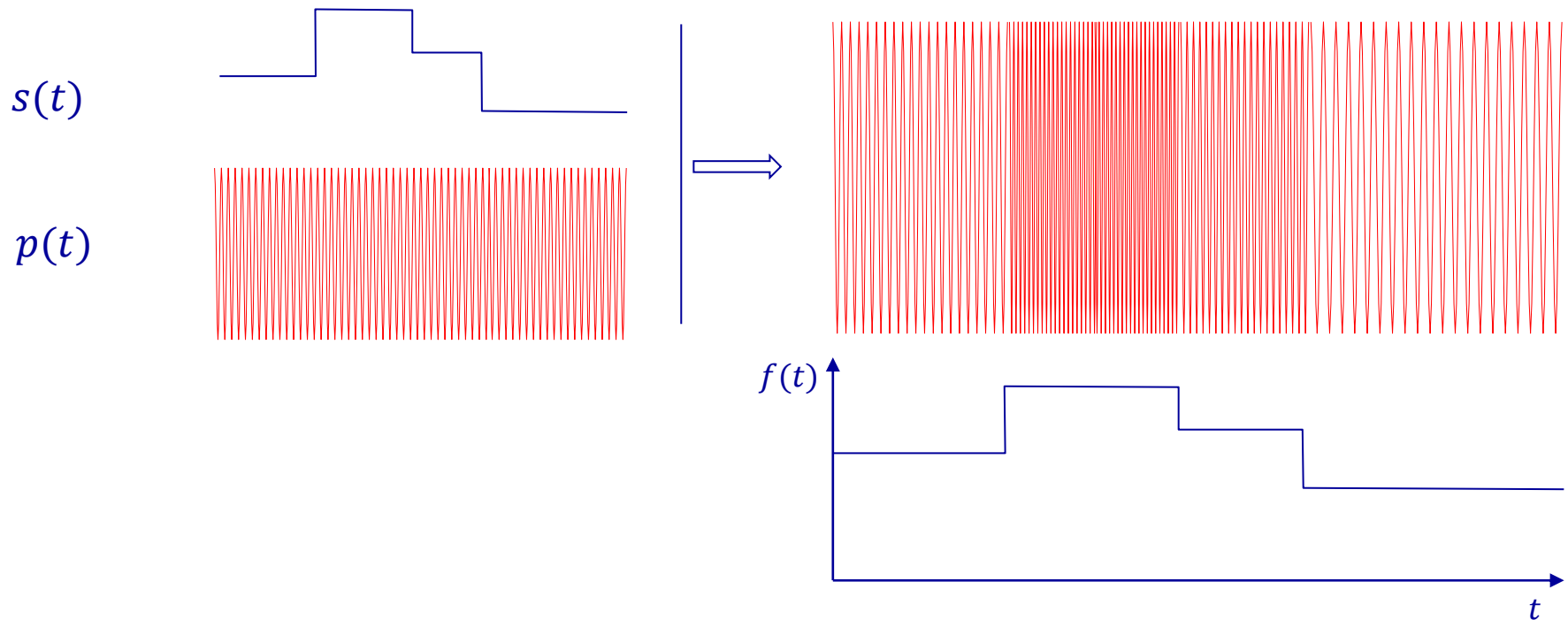
information $s(t)$ (signal modulant) \implies

$$f(t) = f_0 + k s(t)$$

Or $\omega(t) = \frac{d\theta}{dt}$ \implies $\theta(t) = \int_0^t \omega(t) dt$

\implies Signal modulé $s_m(t) = \cos[2\pi f_0 t + 2\pi k \int_0^t s(t) dt]$

Exemple d'une information de forme quelconque

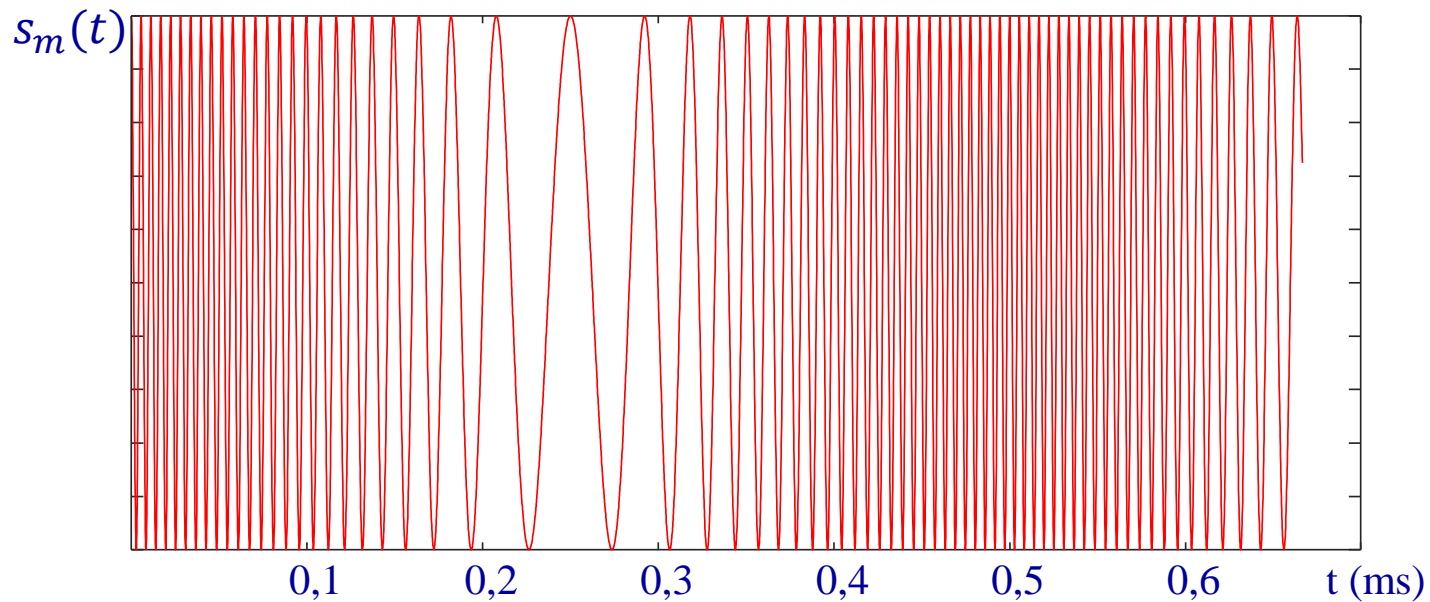
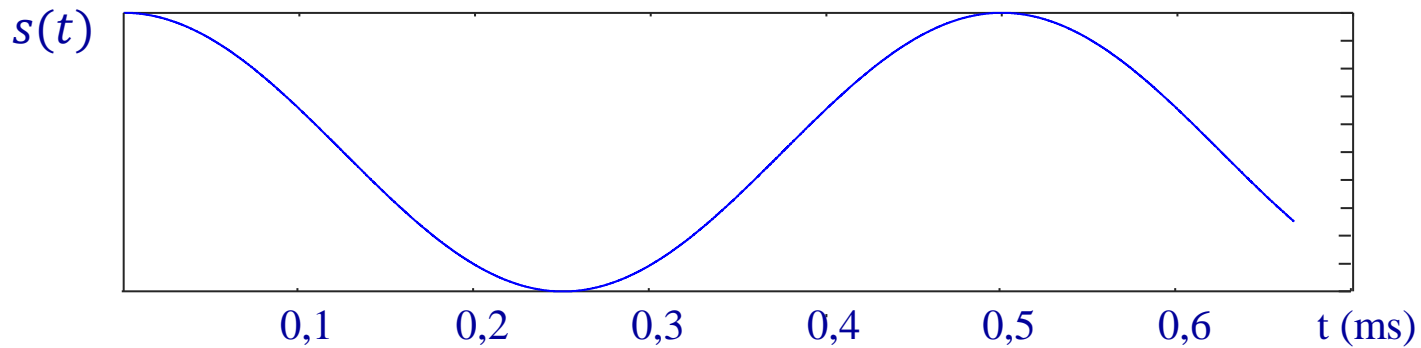


VII. Modulation FM

Exemple d'information sinusoidale (par ex une note : LA \rightarrow 440Hz)

information $s(t) = \cos(2\pi 440 t) \implies f(t) = f_0 + k s(t) \implies \theta(t) = \int_0^t \omega(t) dt$

\implies Signal modulé $s_m(t) = \cos[2\pi f_0 t + 2\pi k \int_0^t s(t) dt]$



($m = 0,8$)

VII. Modulation FM

$$s_m(t) = \cos\left[\omega_0 t + 2\pi k \int_0^t s(t) dt\right] \quad \text{où} \quad s(t) = \cos(\omega_m t) \quad \text{où} \quad \omega_m = 2\pi 440$$

$$s_m(t) = \cos[\omega_0 t + m \sin(\omega_m t)] = \operatorname{Re}\left[e^{j[\omega_0 t + m \sin(\omega_m t)]}\right] = \operatorname{Re}\left[e^{j\omega_0 t} e^{j[m \sin(\omega_m t)]}\right]$$

$$\text{où } m = 2\pi k / \omega_m$$

or $e^{j[m \sin(\omega_m t)]} = \sum_{-\infty}^{+\infty} J_n(m) e^{jn\omega_m t}$ Où $J_n(m)$ est la fonction de Bessel d'ordre n

$$s_m(t) = \operatorname{Re}\left[e^{j\omega_0 t} \sum_{-\infty}^{+\infty} J_n(m) e^{jn\omega_m t}\right]$$

$$s_m(t) = \operatorname{Re}\left[\sum_{-\infty}^{+\infty} J_n(m) e^{j[\omega_0 + n\omega_m]t}\right]$$

$$s_m(t) = \sum_{-\infty}^{+\infty} J_n(m) \cos[(\omega_0 + n\omega_m)t] \quad \text{or } J_{-n} = (-1)^n J_n$$

$$s_m(t) = J_0(m) \cos(\omega_0 t) + \sum_{1}^{+\infty} J_n(m) [\cos[\omega_0 + n\omega_m]t + (-1)^n \cos[\omega_0 - n\omega_m]t]$$

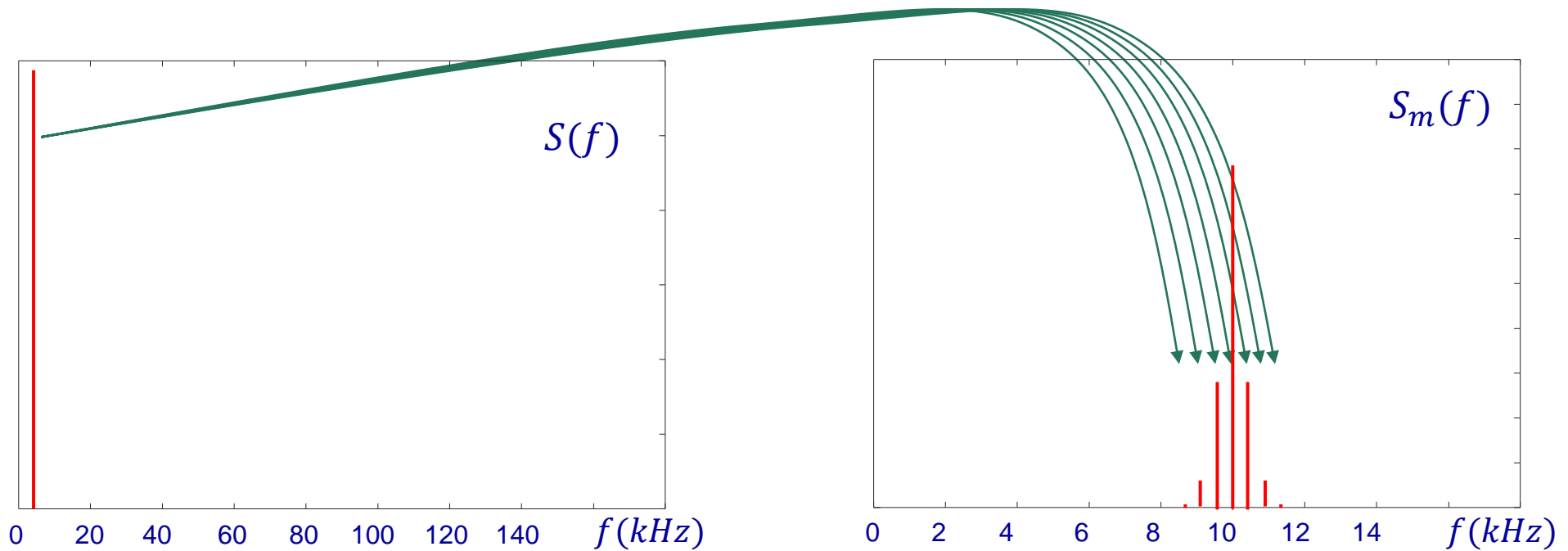
VII. Modulation FM

fonction de Bessel d'ordre n $J_n(m)$

n	0	1	2	3	4	5	6	7	8	9	10
m											
0	1,000										
0,1	0,998	0,050	0,001								
0,2	0,990	0,100	0,005								
0,3	0,978	0,148	0,011	0,001							
0,4	0,960	0,196	0,020	0,001							
0,5	0,939	0,242	0,031	0,003							
0,6	0,912	0,287	0,044	0,004							
0,7	0,881	0,329	0,059	0,007	0,001						
0,8	0,846	0,369	0,076	0,010	0,001						
0,9	0,808	0,406	0,095	0,014	0,002						
1	0,765	0,440	0,115	0,020	0,003						
1,5	0,512	0,558	0,232	0,061	0,012	0,002					
2	0,224	0,577	0,353	0,129	0,034	0,007	0,001				
3	-0,260	0,339	0,486	0,309	0,132	0,043	0,011	0,003	0,001		
4	-0,397	-0,066	0,364	0,430	0,281	0,132	0,049	0,015	0,004	0,001	
5	-0,178	-0,328	0,047	0,365	0,391	0,261	0,131	0,053	0,018	0,006	0,002

VII. Modulation FM

n	0	1	2	3	4	5	6	7	8	9	10
m											
0,8	0,846	0,369	0,076	0,010	0,001						



information à 440Hz

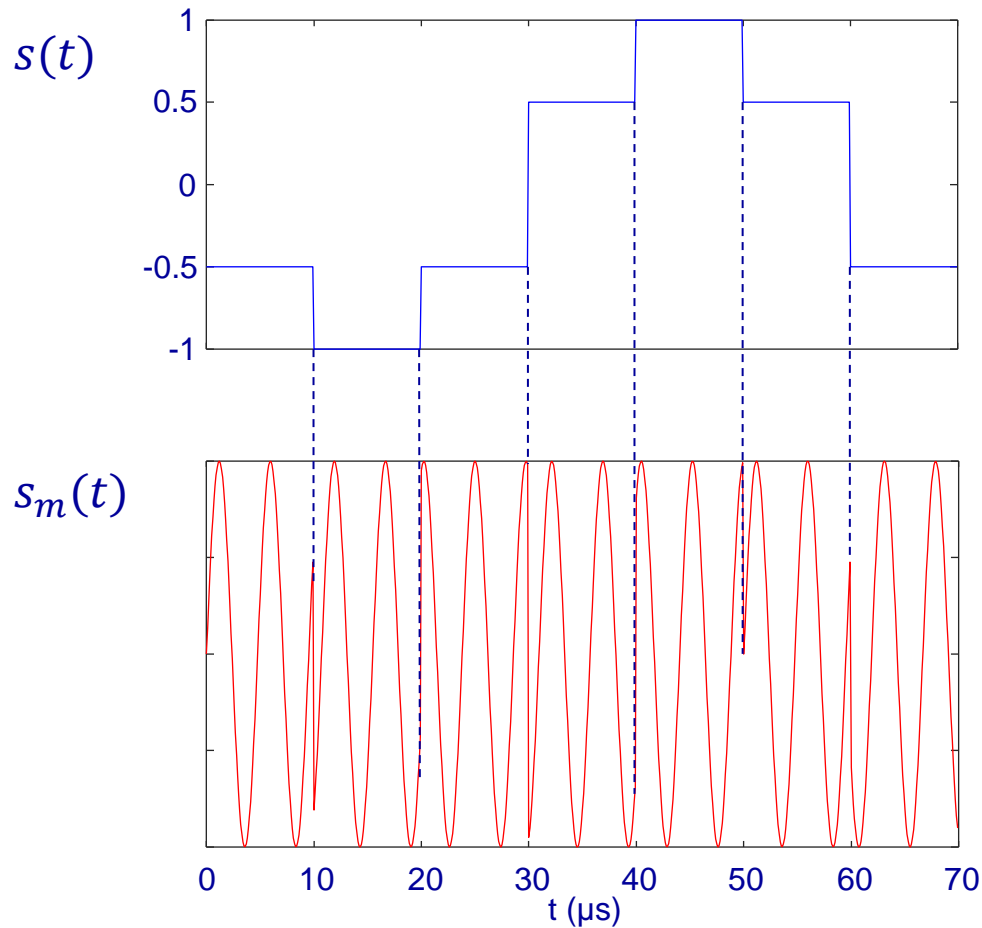
($m = 0,8$)

signal modulé autour de $f_0 = 10\text{kHz}$
 → spectre $\in [9 ; 11]$ kHz

Modulation de Phase (PM)

VII. Modulation PM

information $s(t)$ (signal modulant) | \Longrightarrow Signal modulé $s_m(t) = A \cos(2\pi f_0 t + m s(t))$
Porteuse $p(t) = A \cos(2\pi f_0 t)$



information numérique
4 états (-1 ; -0,5 ; 0,5 ; 1)

VII. Modulations

Modulation IQ

VII. Modulations IQ

$$s_m(t) = A_m(t) \cos(2\pi f_0 t + \phi(t))$$

$$s_m(t) = A_m(t) \cos \phi(t) \cos(2\pi f_0 t) - A_m(t) \sin \phi(t) \sin(2\pi f_0 t)$$

$$s_m(t) = \underbrace{A_m(t) \cos(\phi(t))}_{I(t)} \cos(2\pi f_0 t) + \underbrace{A_m(t) \sin(\phi(t))}_{Q(t)} \cos\left(2\pi f_0 t + \frac{\pi}{2}\right)$$

$$s_m(t) = I(t) \times \cos(2\pi f_0 t) + Q(t) \times \cos\left(2\pi f_0 t + \frac{\pi}{2}\right)$$

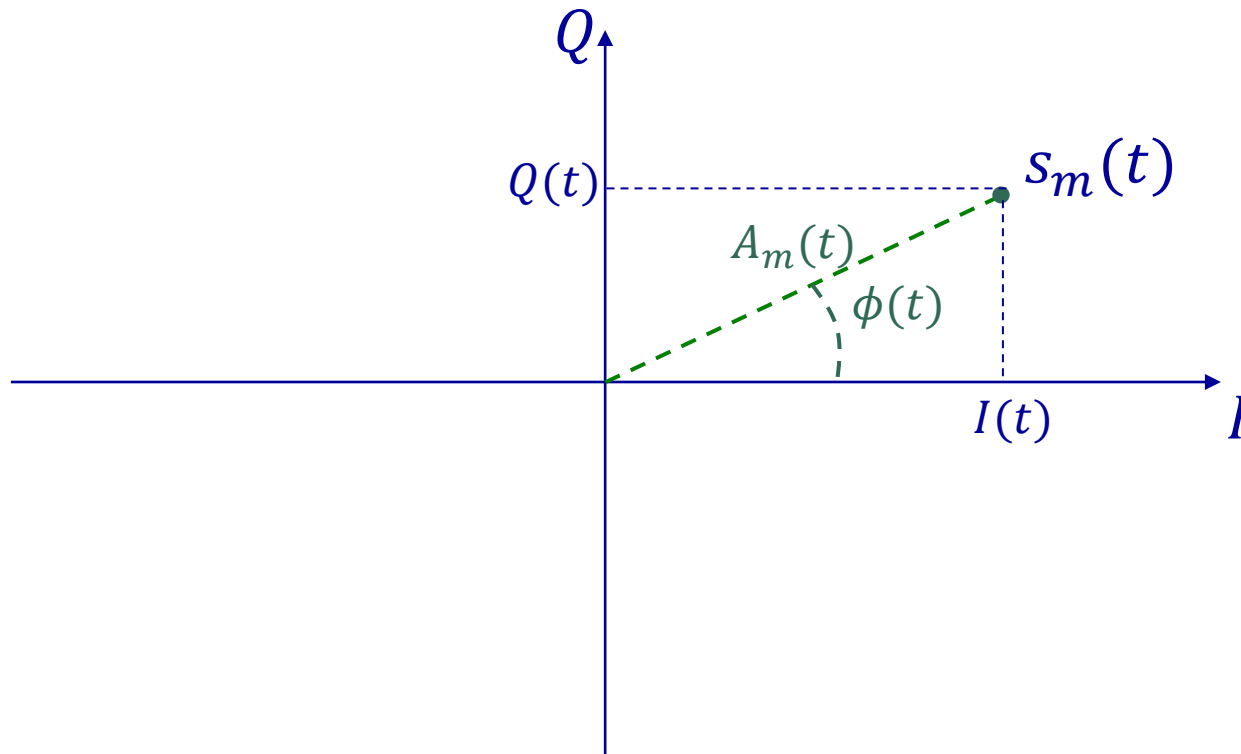
↑
Porteuse à f_0

↑
Porteuse en quadrature à f_0

VII. Modulations IQ

$$s_m(t) = A_m(t) \cos(\phi(t)) \cos(2\pi f_0 t) - A_m(t) \sin(\phi(t)) \cos\left(2\pi f_0 t + \frac{\pi}{2}\right)$$

$$s_m(t) = I(t) \cos(2\pi f_0 t) + Q(t) \cos\left(2\pi f_0 t + \frac{\pi}{2}\right)$$



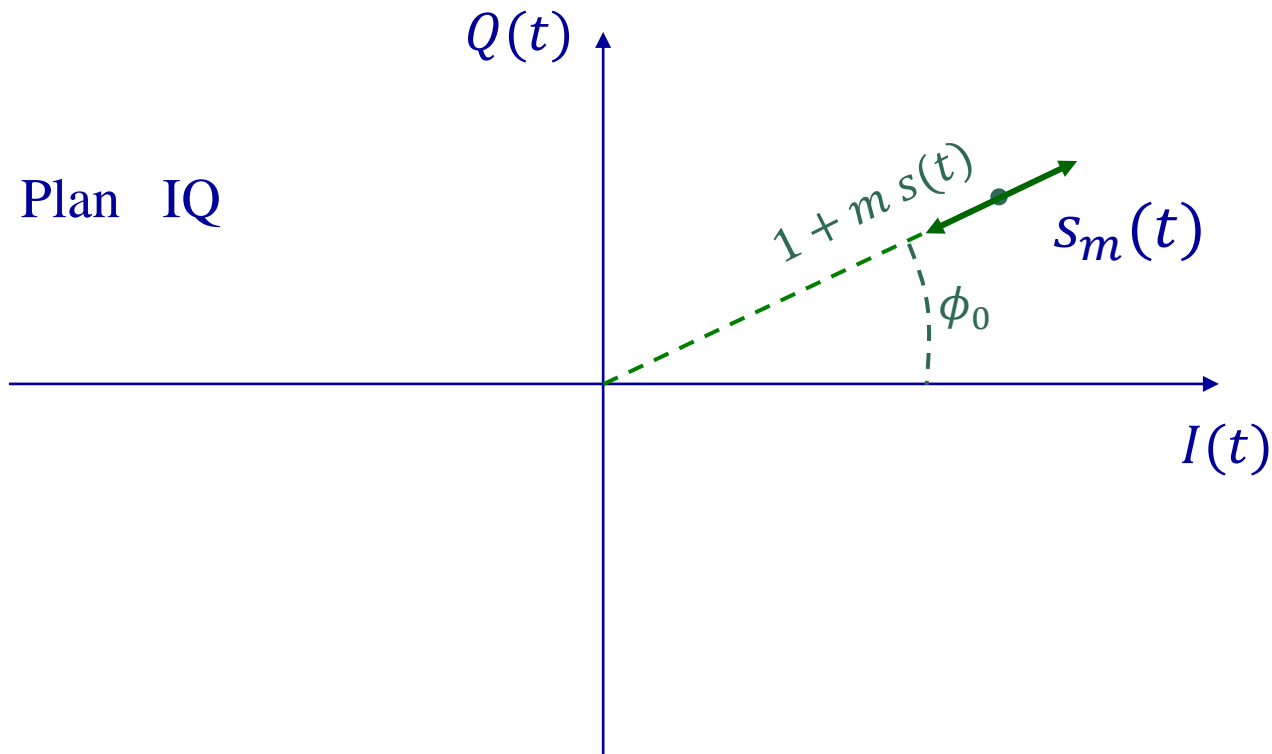
Plan IQ

VII. Modulations IQ

modulation d'amplitude

$$s_m(t) = (1 + m s(t)) \cos(2\pi f_0 t + \phi_0) \quad \text{Seule l'amplitude varie}$$

$$s_m(t) = \underbrace{(1 + m s(t)) \cos(\phi_0)}_{I(t)} \cos(2\pi f_0 t) + \underbrace{(1 + m s(t)) \sin(\phi_0)}_{Q(t)} \cos\left(2\pi f_0 t + \frac{\pi}{2}\right)$$

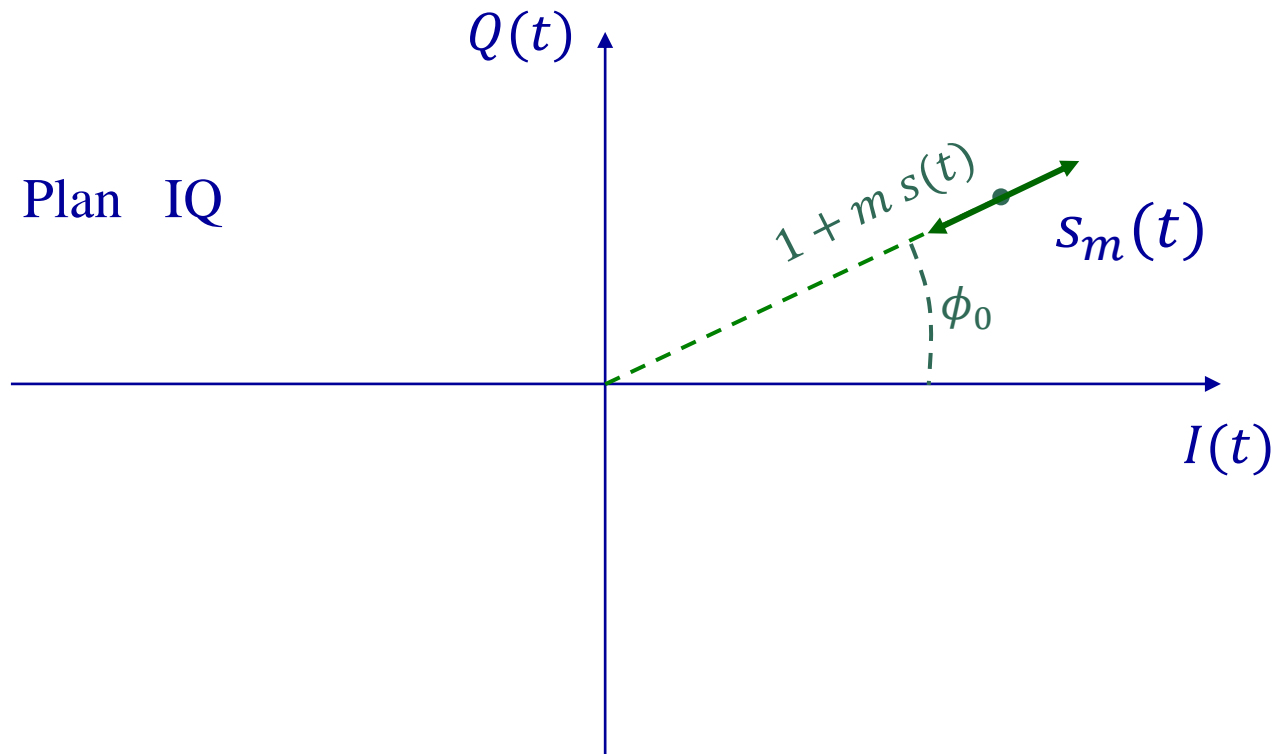


VII. Modulations IQ

modulation d'amplitude

$$s_m(t) = A_m(t) \cos(2\pi f_0 t + \phi_0)$$

l'amplitude varie et la phase est fixe

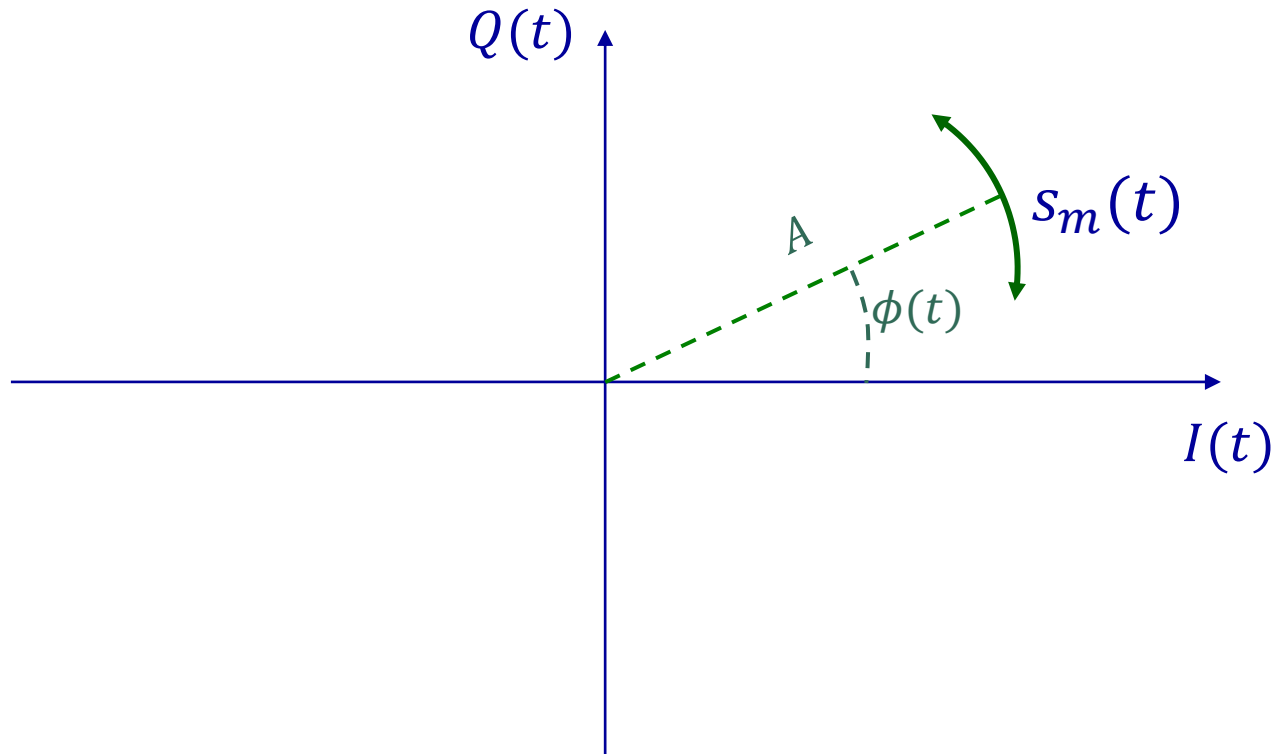


VII. Modulations IQ

modulation de fréquence

$$s_m(t) = A \cos\left[2\pi f_0 t + 2\pi m \int_0^t s(t) dt\right] = A \cos[2\pi f_0 t + \phi(t)]$$

$$s_m(t) = \underbrace{A \cos(\phi(t))}_{I(t)} \cos(2\pi f_0 t) + \underbrace{A \sin(\phi(t))}_{Q(t)} \cos\left(2\pi f_0 t + \frac{\pi}{2}\right)$$

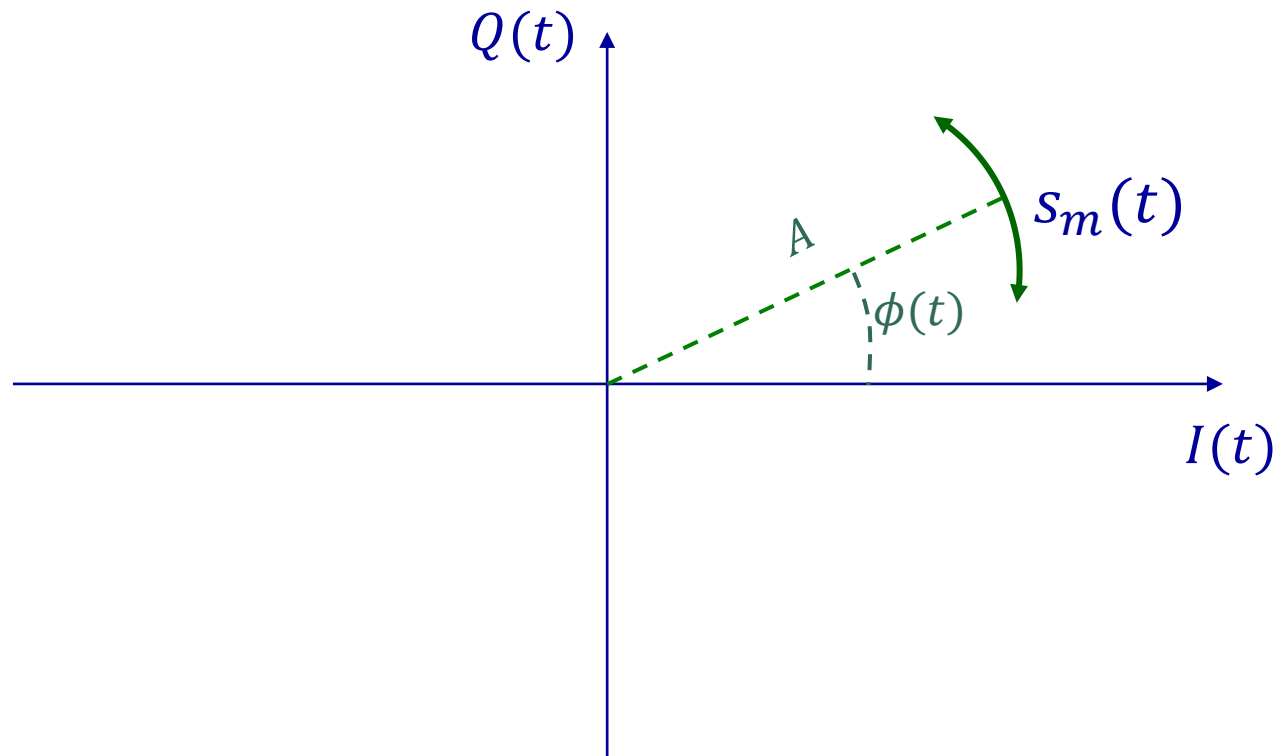


VII. Modulations IQ

modulation de fréquence

$$s_m(t) = A_0 \cos \left[2\pi f_0 t + 2\pi m \int_0^t s(t) dt \right]$$
$$= A_0 \cos[2\pi f_0 t + \phi(t)]$$

l'amplitude est fixe et la phase varie

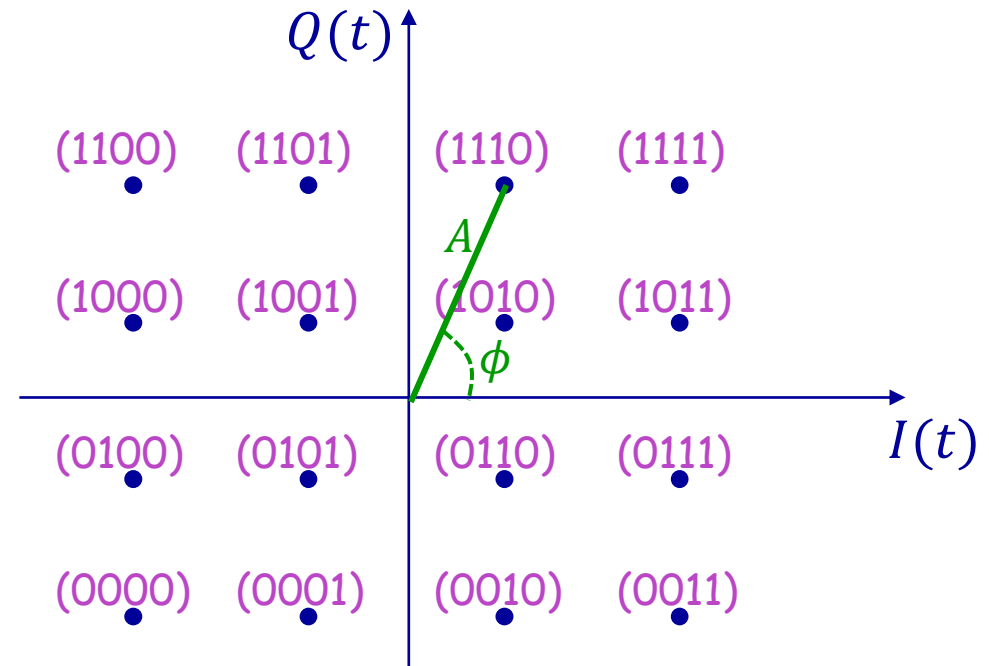


VII. Modulations IQ

modulation numérique

$$s_m(t) = \underbrace{A(t) \cos(\phi(t))}_{I(t)} \cos(2\pi f_0 t) + \underbrace{A(t) \sin(\phi(t))}_{Q(t)} \cos\left(2\pi f_0 t + \frac{\pi}{2}\right)$$

Par exemple : modulation 16QAM \rightarrow I et Q ont 4 valeurs possibles \rightarrow 16 états
 $\rightarrow 2^4$ états \rightarrow chaque état \equiv 4 bits



VII. Modulations IQ

modulation numérique

$$s_m(t) = \underbrace{A(t) \cos(\phi(t))}_{I(t)} \cos(2\pi f_0 t) + \underbrace{A(t) \sin(\phi(t))}_{Q(t)} \cos\left(2\pi f_0 t + \frac{\pi}{2}\right)$$

Par exemple : modulation 16QAM → I et Q ont 4 valeurs possibles → 16 états
 → 2^4 états → chaque état \equiv 4 bits

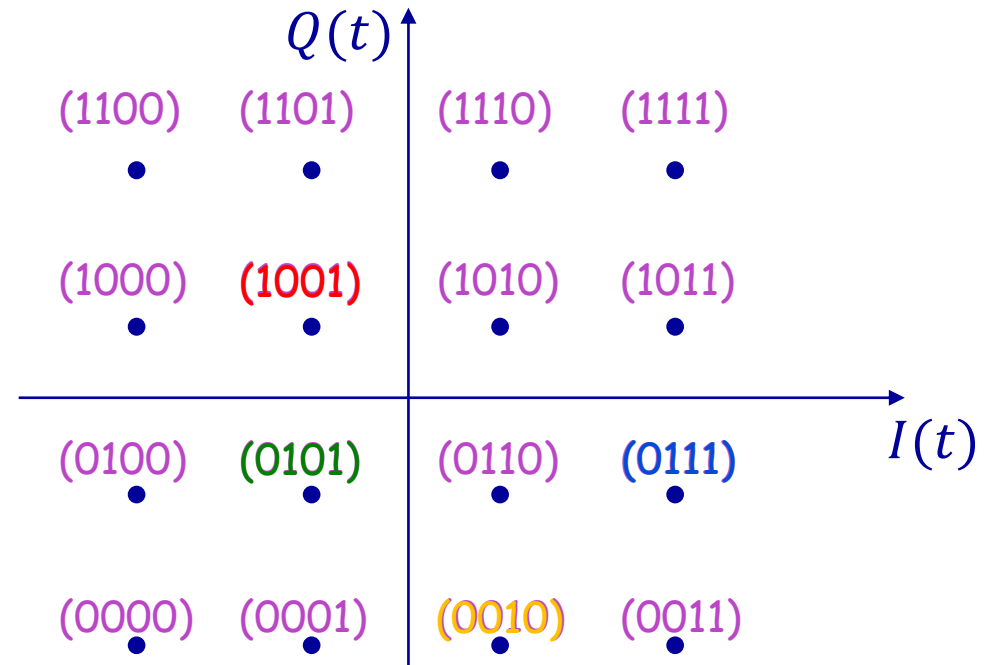
Par exemple

0101100101110010

info = 0101 1001 0111 0010

I/Q = -1/-1 -1/+1 +3/-1 +1/-3

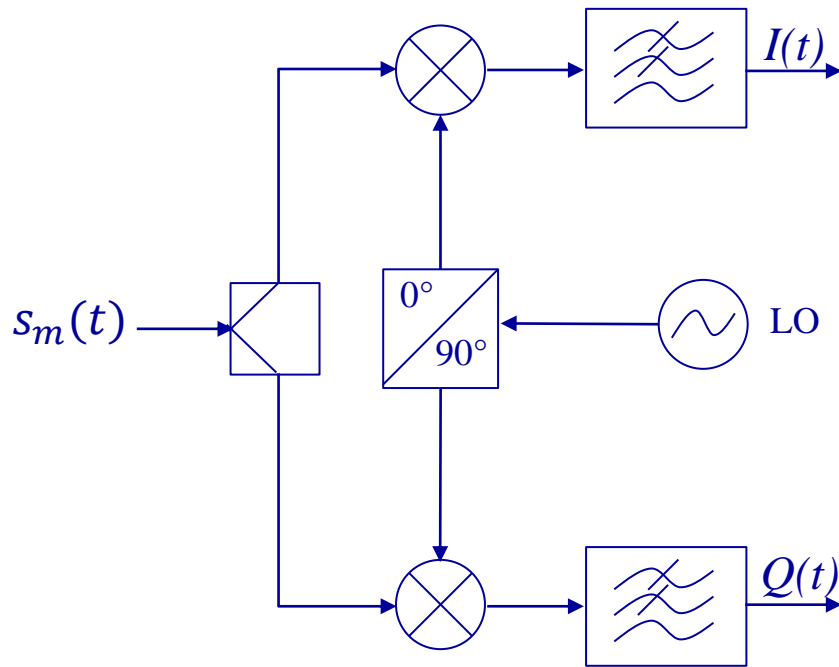
A/ ϕ = 1,4/ 225° 1,4/ 135° 4,2/ 342° 3,3/ 288°



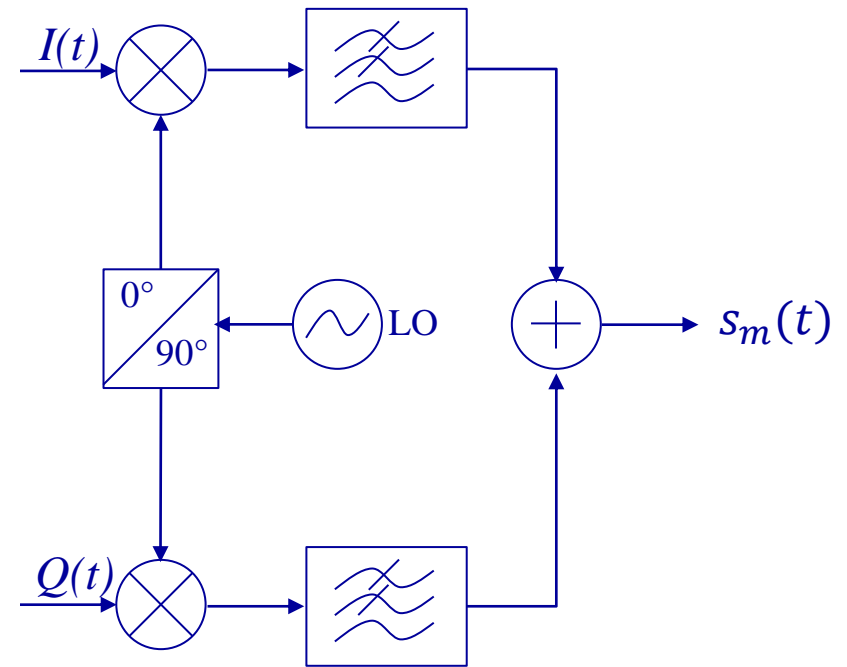
VII. Modulations IQ

Intérêt de la décomposition IQ

$$s_m(t) = \underbrace{A(t) \cos(\phi(t))}_{I(t)} \cos(2\pi f_0 t) + \underbrace{A(t) \sin(\phi(t))}_{Q(t)} \cos\left(2\pi f_0 t + \frac{\pi}{2}\right)$$



Démodulateur IQ

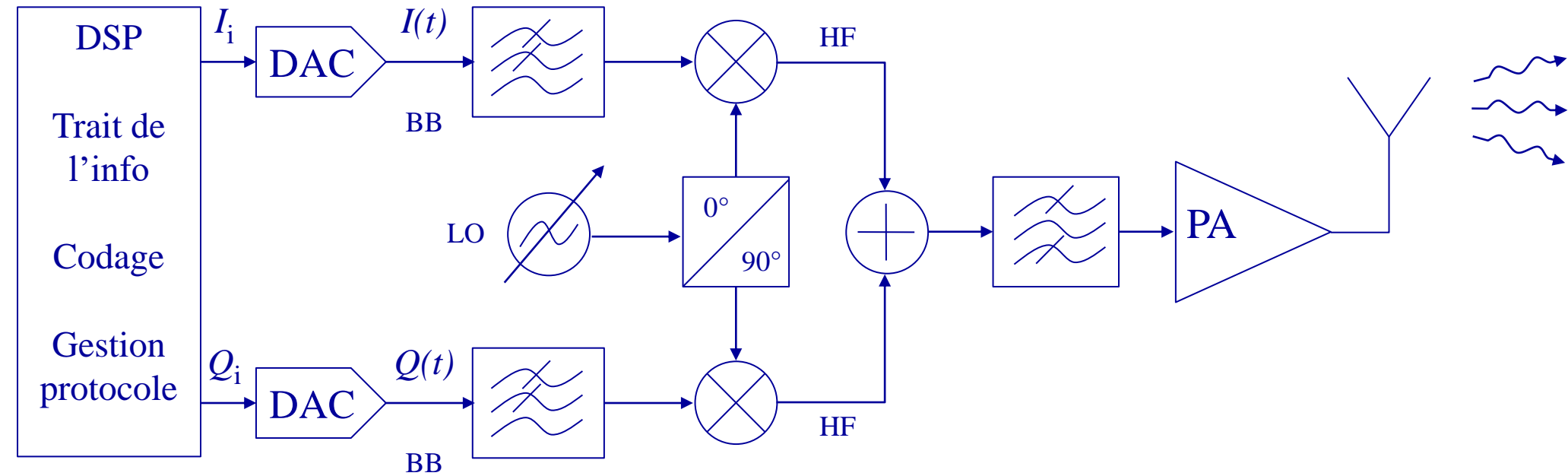


Modulateur IQ

VIII. Architecture d'un émetteur/ récepteur

VIII. Architecture d'un émetteur/ récepteur

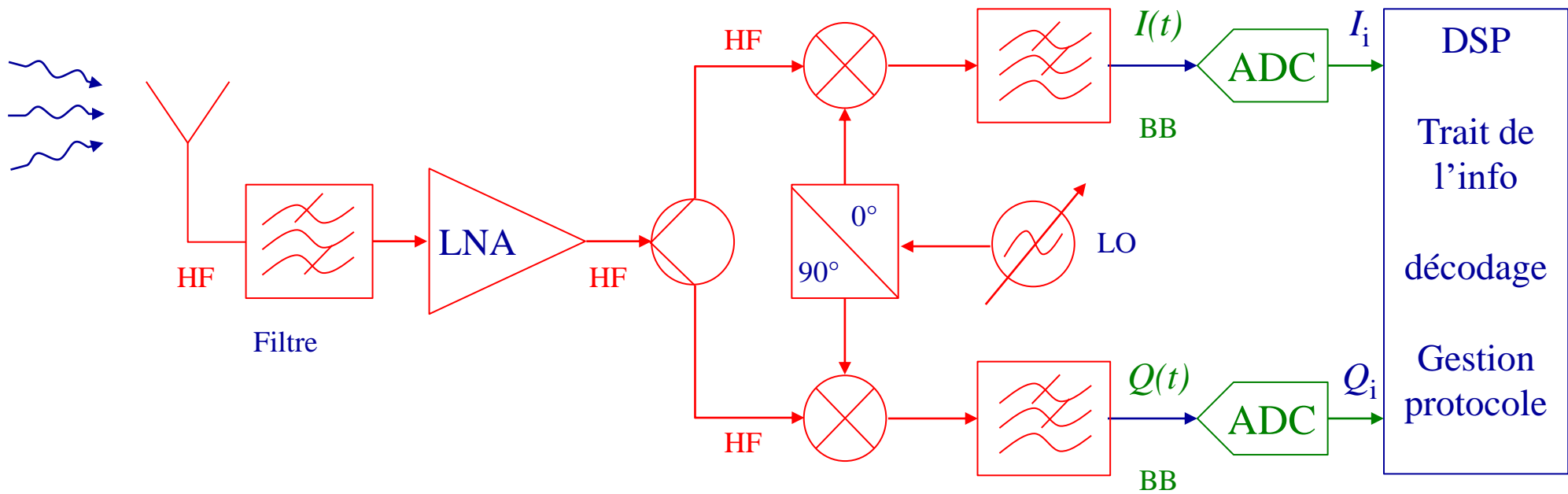
Emetteur



Emetteur homodyne

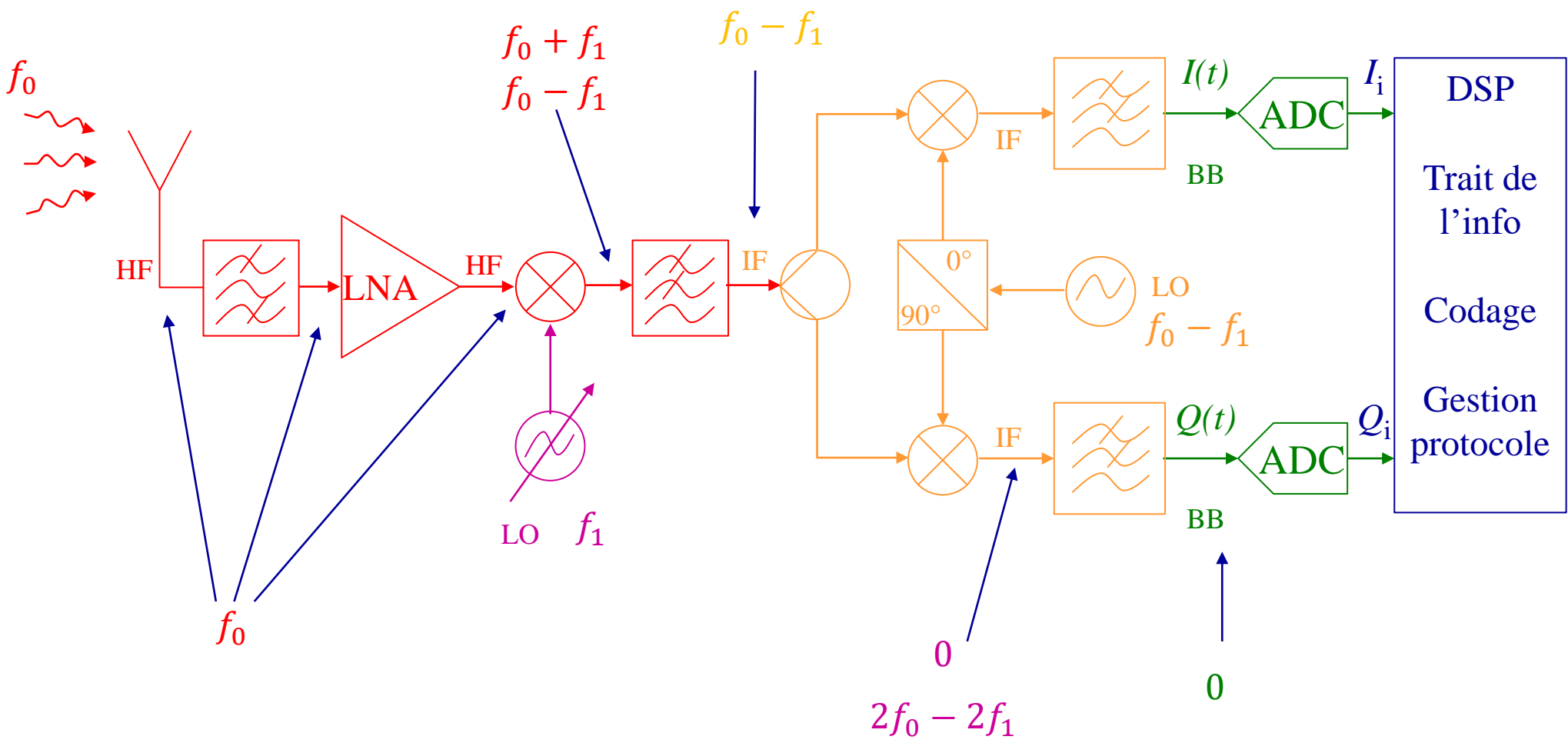
VIII. Architecture d'un émetteur/ récepteur

Récepteur homodyne



VIII. Architecture d'un émetteur/ récepteur

Récepteur hétérodyne



VIII. Architecture d'un émetteur/ récepteur



Integrated Dual RF Transmitters and Observation Receiver

Data Sheet

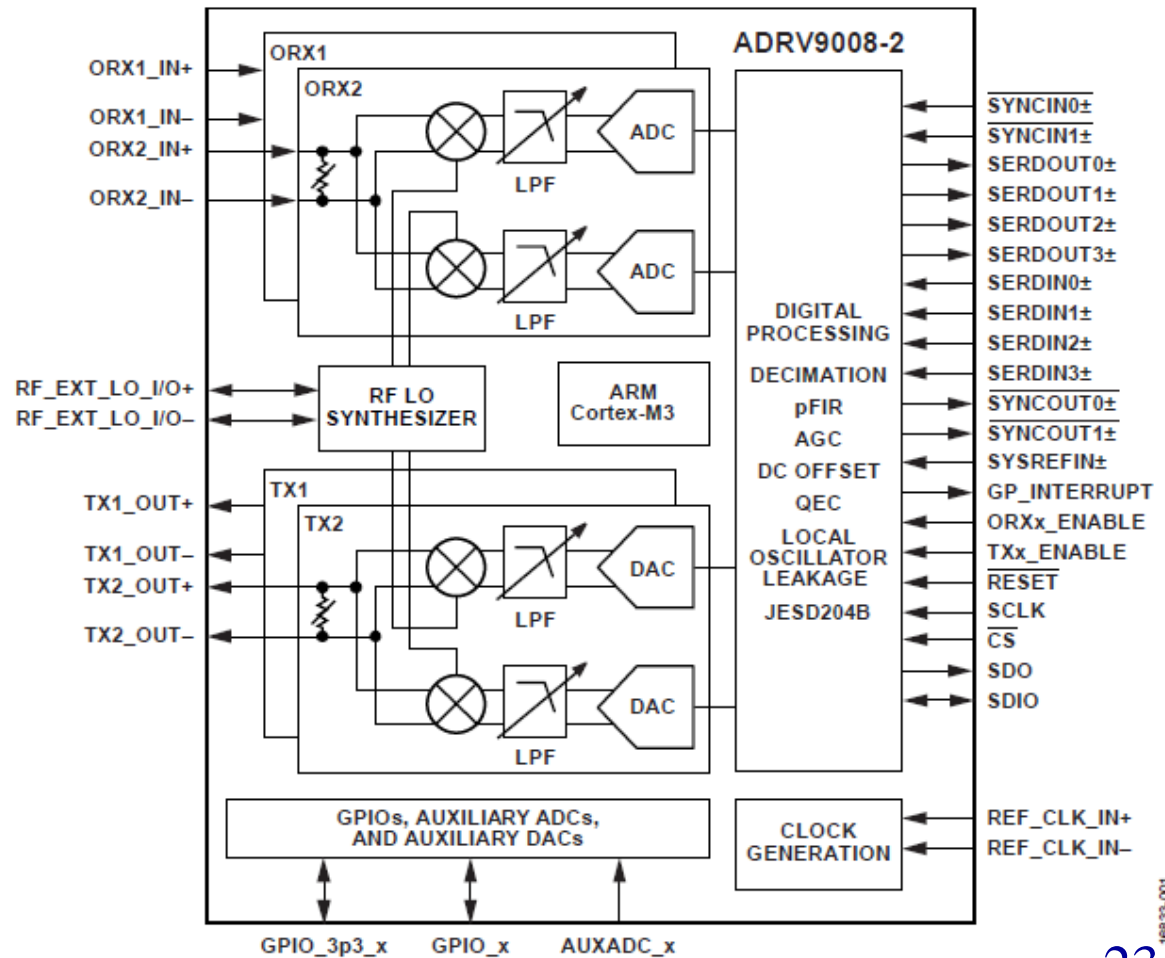
ADRV9008-2

FEATURES

- Dual transmitters
- Dual input shared observation receiver
- Maximum tunable transmitter synthesis bandwidth: 450 MHz
- Maximum observation receiver bandwidth: 450 MHz
- Fully integrated fractional-N RF synthesizers
- Fully integrated clock synthesizer
- Multichip phase synchronization for RF LO and baseband clocks
- JESD204B datapath interface
- Tuning range (center frequency): 75 MHz to 6000 MHz

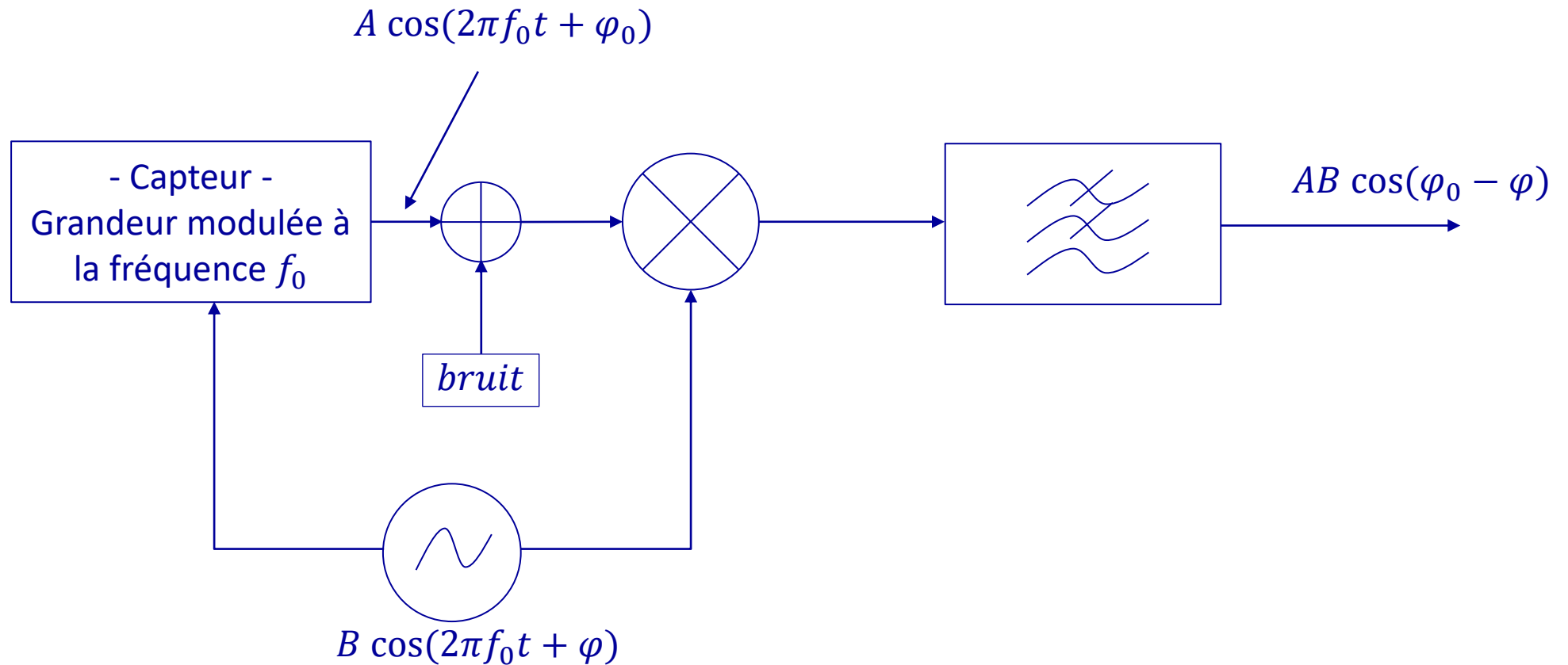
APPLICATIONS

- 2G/3G/4G/5G macrocell base stations
- Active antenna systems
- Massive multiple input, multiple output (MIMO)
- Phased array radars
- Electronic warfare
- Military communications
- Portable test equipment



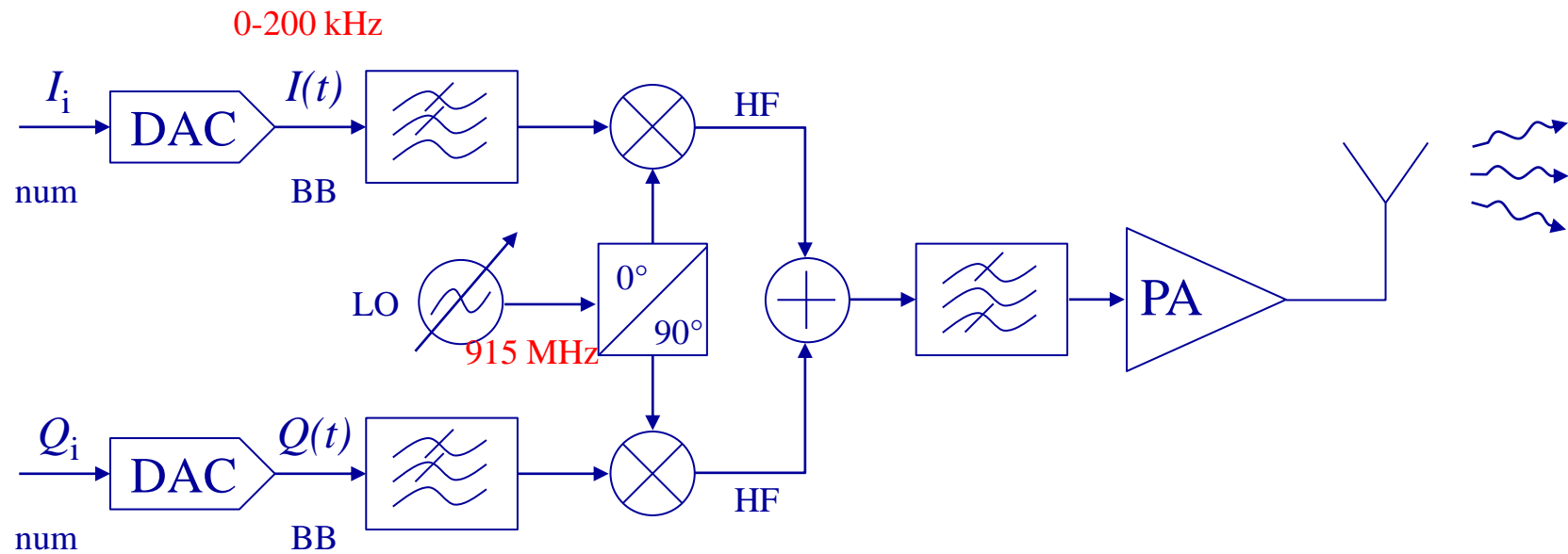
IX. Détecteur synchrone

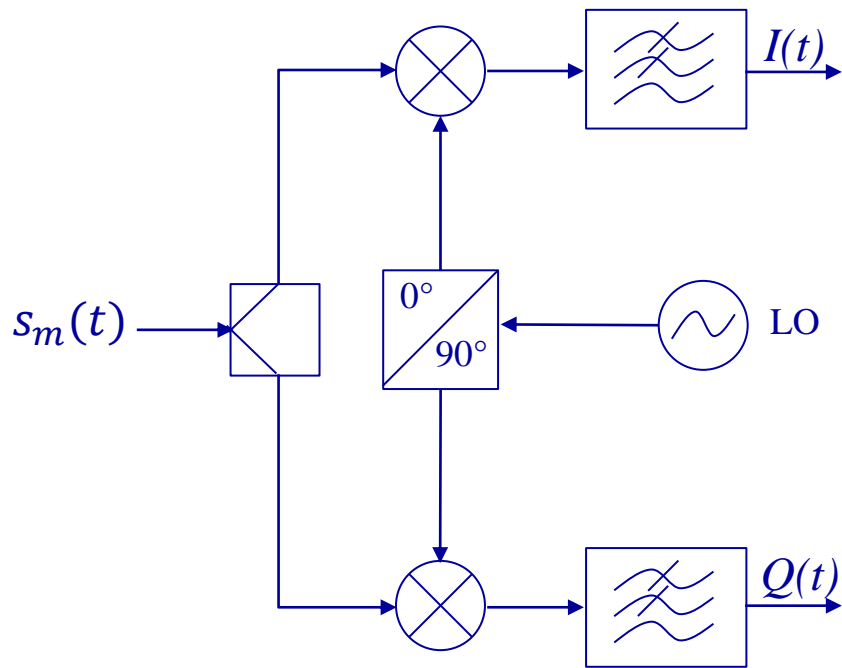
IX. Détecteur synchrone



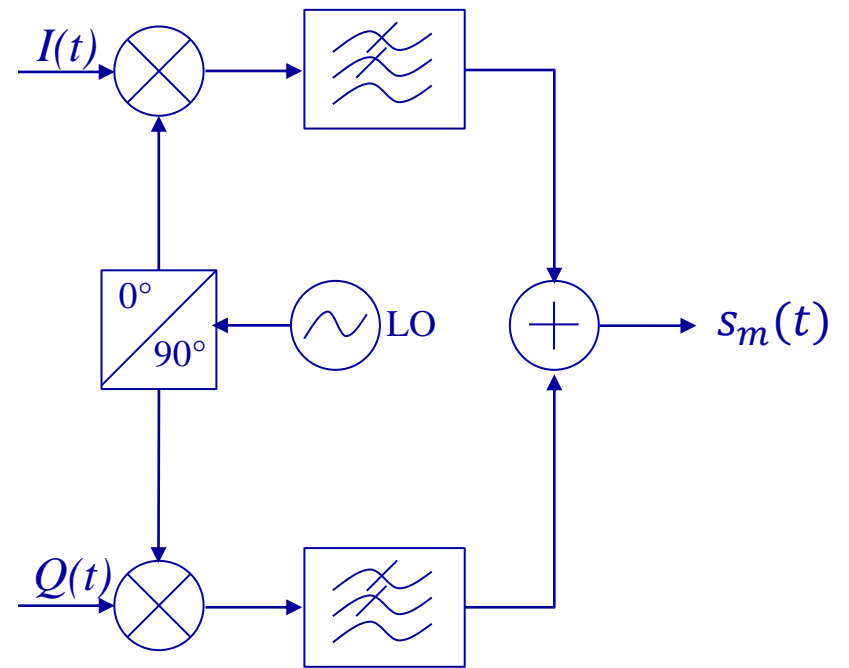
Fin TSA

Architecture d'un émetteur homodyne en télécommunication





Démodulateur IQ



Modulateur IQ